

UACM

Universidad Autónoma
de la Ciudad de México

Nada humano me es ajeno

COLEGIO DE CIENCIA Y TECNOLOGÍA

LICENCIATURA EN INGENIERÍA EN SISTEMAS ELECTRÓNICOS
INDUSTRIALES

**Diseño, implementación y aplicaciones de un bootloader para
microcontroladores**

TRABAJO RECEPCIONAL

QUE PARA OBTENER EL TÍTULO DE LICENCIADO EN
INGENIERÍA EN SISTEMAS ELECTRÓNICOS INDUSTRIALES

PRESENTA

ERNESTO DAVID ROJAS SERRANO

DIRECTOR DEL TRABAJO

Dr. Daniel Noriega Pineda

Ciudad de México, agosto de 2017.

SISTEMA BIBLIOTECARIO DE INFORMACIÓN Y DOCUMENTACIÓN



UNIVERSIDAD AUTÓNOMA DE LA CIUDAD DE MÉXICO COORDINACIÓN ACADÉMICA

RESTRICCIONES DE USO PARA LAS TESIS DIGITALES

DERECHOS RESERVADOS ©

La presente obra y cada uno de sus elementos está protegido por la Ley Federal del Derecho de Autor; por la Ley de la Universidad Autónoma de la Ciudad de México, así como lo dispuesto por el Estatuto General Orgánico de la Universidad Autónoma de la Ciudad de México; del mismo modo por lo establecido en el Acuerdo por el cual se aprueba la Norma mediante la que se Modifican, Adicionan y Derogan Diversas Disposiciones del Estatuto Orgánico de la Universidad de la Ciudad de México, aprobado por el Consejo de Gobierno el 29 de enero de 2002, con el objeto de definir las atribuciones de las diferentes unidades que forman la estructura de la Universidad Autónoma de la Ciudad de México como organismo público autónomo y lo establecido en el Reglamento de Titulación de la Universidad Autónoma de la Ciudad de México.

Por lo que el uso de su contenido, así como cada una de las partes que lo integran y que están bajo la tutela de la Ley Federal de Derecho de Autor, obliga a quien haga uso de la presente obra a considerar que solo lo realizará si es para fines educativos, académicos, de investigación o informativos y se compromete a citar esta fuente, así como a su autor ó autores. Por lo tanto, queda prohibida su reproducción total o parcial y cualquier uso diferente a los ya mencionados, los cuales serán reclamados por el titular de los derechos y sancionados conforme a la legislación aplicable.

**Diseño, implementación y aplicaciones de un
bootloader para microcontroladores.**

ERNESTO DAVID ROJAS SERRANO

Agosto 2017

Agradecimientos

A mis padres, familiares y amigos, en especial a mi hermana que ha sido mi inspiración.

Índice general

1. Introducción	1
1.1 Objetivo general	2
1.2 Objetivos específicos.....	2
2. Antecedentes	3
2.1 ¿Que es un microcontrolador?	3
2.2 ¿Que es un bootloader?	3
2.3 Aplicaciones de un bootloader	4
2.4 Definición formal de un bootloader	5
2.5 Precauciones a tomar en cuenta	6
3. Desarrollo JBoot	9
3.1 Definiendo características	10
3.2 Organización en memoria JBoot.....	13
3.3 Diagrama de flujo	14
3.4 Series XLP vs Legacy	15
3.5 Comparación Jboot frente a otros bootloader.....	16
4. JLoader	18
4.1 Formato intel	18
4.2 Funcionamiento de JLoader	25
4.3 Requerimientos de sistema para utilizar JLoader	27
4.4 Funcionamiento de Jloader-Jboot.....	28
5. Aplicación 1	30
5.1 Letreros LED.....	30
5.1.1 Planteamiento del problema.....	30

5.1.2 Desarrollo	31
5.1.3 Diagrama de flujo de pantalla sin animación	36
5.1.4 Diagrama de flujo de pantalla con animación	39
5.5.5 Resultados	40
5.1.6 Conclusión	40

6.Diseño de controlador 41

6.1 Tarjeta DAQ	42
6.2 Serie USB- 600X de NI	42
6.3 Comparación salida del DAQ vs Osciloscopio	45
6.4 Añadiendo ruido a la salida del DAQ 43	46
6.5 Observaciones sobre sobre el firmware del DAQ	48
6.6 Resultados experimentales	50
6.7 Proceso de identificación de la función de trasferencia	54
6.8 Actualización del firmware del DAQ	56
6.9 Modelo electromecánico de la planta	59
6.10 Utilización de matlab para la identificación de la planta	61
6.10.1 Resultados de la identificación	62
6.11 Transformada Z del controlador PID	63
6.12 Modelo del controlador en similitud	66
6.13 Respuesta del sistema no sintonizado	69
6.14 Sintonización del sistema	71
6.14.1 Parámetros de desempeño	71
6.15 Resultados obtenidos	75

7. Aplicación 2 Control de posición 77

7.1 Planteamiento del problema	77
7.2 Desarrollo	77
7.3 Análisis de la señal de control	86
7.3.1 Aproximación 1	87
7.3.2 Aproximación 2	88
7.4 Ecuación de la razón de cambio de la señal de control	90
7.5 Control de giro del motor	90

7.6 Ecuaciones PWM	92
7.7 Implantación del controlador en el microcontrolador	96
7.8 Resultados	99
7.9 Conclusión	100

Índice de figuras

3.1.1 Memoria programa	10
3.2.1 Organización en memoria.....	13
3.3.1 Diagrama de flujo JBoot	14
4.2.1 Funcionamiento de JLoader	25
4.4.1 Funcionamiento Jloader-JBoot	28
5.1.2.1 Esquemático de la pantalla.....	32
5.1.2.2 Formato general de la palabra de control	33
5.1.3.1 Diagrama de flujo de pantalla sin animación	36
5.1.4.1 Diagrama de flujo de pantalla con animación	39
6.2.1 DAQ	44
6.3.1 Diagrama de conexión	46
6.4.1 Comparación señal sin ruido digital vs señal con ruido digital	47
6.5.1 Diagrama de flujo de firmware utilizado para la comparación	49
6.6.1 Comparación entre ambas señales	50
6.6.2 Comparación de subida	50
6.6.3 Comparación cambio de sentido de giro	51
6.6.4 Comparación de bajada	52
6.6.5 Gráfica del error de medición	53
6.7.1 Simulink instrument control toolbox	54
6.7.2 Modo de sistema de comunicación	55
6.7.3 Datos recibidos por el DAQ	56
6.8.1 Diagrama de bloques	57
6.8.2 Datos recibidos por el DAQ	58
6.9.1 Modelo electromecánico	59
6.10.1 Ventana principal de la herramienta de identificación	61
6.10.2 Definiendo polos y zeros	61
6.10.1 .1 Resultado de concordancia con la señal física	62
6.10.1.2 Comparación de la señal física con el modelo encontrado	63

6.12 Modelo de simulink	68
6.13.1 Setpoint de entrada	69
6.13.2 Setpoint vs respuesta del sistema	69
6.13.3 Señal de controlador	70
6.13.4 Señal del error	70
6.14 Respuesta al escalón	71
6.14.1 Parámetros de desempeño	72
6.14.2 Respuesta del sistema no sintonizado	73
6.14.3 Respuesta del sistema sintonizado	73
6.14.4 Gráfica con los ajustes de las ganancias	74
6.15 Setpoint vs respuesta del controlador	75
6.15.1 Señal de control	75
6.15.2 Señal de error	76
7.2 Setpoint(Aplicación).....	79
7.2.1 Setpoint vs salida del sistema	80
7.2.2 Señal de control	80
7.2.3 Señal del error	81
7..7.1 <i>Diagrama de flujo del firmware para el control de posición</i>	98

Capítulo 1

Introducción

En la actualidad lo más probable es que encontremos un procesador/microcontrolador en la mayoría de los dispositivos que utilizamos a diario, por ejemplo teléfonos inteligentes, microondas, pantallas de televisión, computadoras, refrigeradores, etc.

Todos estos dispositivos incluyen características iniciales, para el caso de un teléfono inteligente podría ser un sistema operativo con versiones actualizables, para el caso de una pantalla de televisión son las aplicaciones que permiten acceder a diversos servicios de streaming, y para el caso de una computadora sería el firmware del bios.

Aquí es importante hacer notar que el mercado se rige generalmente por dos factores, por un lado se encuentra al factor económico y por otro lado el factor de la innovación, estos factores influyen en el producto final que es vendido al consumidor, por parte del factor económico este está sujeto a un presupuesto de desarrollo, este presupuesto muchas veces es muy ajustado, por lo tanto no se puede invertir más allá de lo que se tiene calculado, aun cuando el margen de ganancia es amplio, como consecuencia se lanza al mercado dispositivos que no se encuentran debidamente optimizados, ahora por parte del factor innovación este se debe a la rapidez en la cual el dispositivo debe ser lanzado al mercado, dando nuevamente como consecuencia un dispositivo que no ha sido optimizado.

Dicho de otra forma, estos dispositivos vienen con versiones de firmware poco optimizadas o con errores de programación, y debido a que a diario se diseñan y fabrican nuevos dispositivos los fabricantes necesitan actualizar sus dispositivos, es aquí donde los bootloaders son utilizados para solventar esos problemas:

La ventaja de un bootloader se puede resumir en dos partes:

- Permite corregir errores.
- Permite añadir nuevas características.

Corregir errores

Un bootloader se encarga de re-programar el firmware del dispositivo, esto con el fin de corregir los errores de programación/optimización que pueda contener.

Un ejemplo podría ser mejorar la respuesta de la pantalla táctil de un teléfono inteligente, o bien mejorar el consumo energético del dispositivo, esto por lo general se debe a la baja optimización del código que controla el dispositivo.

Añadir nuevas características

Un bootloader es capaz de actualizar el firmware con el objetivo de soportar nuevos dispositivos, o bien puede ser utilizado para añadir nuevas características de hardware que no estaban implementadas en un inicio.

Por lo general, los dispositivos están diseñados para poder soportar futuras tecnologías, un ejemplo sería soportar el formato 4k en la cámara del teléfono inteligente o bien poder desbloquear el teléfono utilizando la cámara frontal.

1.1. Objetivo general

Diseñar un bootloader para microcontroladores y proponer diversos escenarios donde puede ser utilizado.

1.2. Objetivos específicos

- Crear una plantilla genérica para el diseño de un bootloader.
- Demostrar las ventajas que presenta un dispositivo con un bootloader frente a dispositivos con programación permanente.

Capítulo 2

Antecedentes

En el siguiente capítulo se explicara de manera general que es un bootloader, de que consta, algunas aplicaciones y precauciones a tomar en cuenta.

2.1. ¿Qué es un microcontrolador?

Un microcontrolador es un circuito integrado programable, donde en su interior posee los mismos elementos que una computadora digital (unidad central de procesamiento, memoria y dispositivos de entrada-salida) y opcionalmente algunos dispositivos periféricos como convertidores analógicos-digitales, digitales-analógicos, circuitos generadores de modulación por ancho de pulso, puertos de comunicación serie, comparadores analógicos, entre otros, que auxilian al microcontrolador a cumplir la tarea para la que ha sido programado.

Un microcontrolador es un sistema cerrado porque todos los elementos que necesita para funcionar están dentro del mismo chip y no es posible modificar las características técnicas del dispositivo, a comparación de un sistema abierto al cual se le puede añadir nuevas características, un ejemplo de un sistema abierto sería una computadora, a este tipo de sistemas se le puede añadir más memoria RAM, más espacio en disco duro, tarjetas de video dedicadas, etc.

2.2. ¿Qué es un bootloader?

Un Bootloader es un segmento de código pre-programado que reside en la memoria programa de un microcontrolador, este código se ejecuta cada vez que el microcontrolador es energizado o cada vez que el microcontrolador se reinicia.

La función principal de un bootloader es re-programar la memoria de programa del microcontrolador, dicho de otra forma se encarga de modificar la programación principal del microcontrolador, por ejemplo supongamos que se ha programado un microcontrolador

para que prenda y apague un foco cada día a la misma hora, el programa principal se va a encargar de obedecer estas instrucciones, por lo tanto va a encargarse de encender y apagar el foco a la hora determinada, ahora bien, si el programador no tomó en cuenta que existe el horario de verano, el foco se va a encender una hora antes o una hora después de la hora que se desea, para solucionar este problema se puede utilizar el bootloader del microcontrolador para corregir la programación inicial y así indicarle que existe un cambio en la hora de prendido y apagado del foco, sin la necesidad de hardware especial o modificaciones físicas, el nuevo firmware puede ser transmitido desde internet o bien el usuario puede hacer esta actualización desde su computadora.

2.3. Aplicaciones de un bootloader

- Automatización

Sin importar cuál sea el proceso a controlar, el sistema de control debe ser flexible, tanto para añadir nuevas tareas, como para actualizar los parámetros de control que pudiera tener.

En sistemas basados en algoritmos de control convencionales se pueden actualizar los parámetros en línea, de manera que solo se actualizan las variables guardadas dentro de la memoria programa, la desventaja que esto presenta respecto a una re-programación total de la memoria se encuentra en la etapa de diseño, mientras que para el sistema que actualiza las variables internas se necesita un código adicional para manejar la información, el bootloader puede re-programar de manera rápida y eficiente el firmware lo cual se traduce en tiempos de diseño menores.

En sistemas de control flexibles, a los cuales se les puede añadir nueva tareas, no basta con poder modificar las variables internas ya que puede darse el caso que sea necesario añadir sensores adicionales, lo cual implica modificar el perfil de hardware del microcontrolador, por lo tanto es indispensable contar con un bootloader.

- Robótica

Este podría ser probablemente el campo donde la utilización de un bootloader es crítico, esto se debe al hecho de que el ajuste de los sensores y la programación de los algoritmos

se deben evaluar una vez que los módulos estén interconectados y situados en la estructura final del robot, puesto que se van a requerir ajustes posteriores la actualización del firmware va a ser continuo, por lo tanto se debe contar con un medio que sea capaz de re-programar la memoria programa de manera rápida, eficiente y sobre todo confiable, se podría utilizar ICSP/ISP (*In-Circuit Serial Programming/In-System Programming*) pero eso supone contar con hardware especializado para programar el microcontrolador, además de tiempo de diseño y costos adicionales, mientras que con la utilización de un bootloader se evitan estos inconvenientes.

- Internet de las cosas

En la actualidad los dispositivos tienden a ser dispositivos *inteligentes*, ya no es suficiente que un reloj de simplemente la hora, ahora es indispensable que pueda comunicarse con los demás dispositivos, aun cuando se traten de cosas opuestas, por ejemplo un teléfono celular o un refrigerador, esta es la propuesta del internet de las cosas o por sus siglas en inglés (IoT), básicamente se trata de una interconexión masiva de todos los dispositivos independientemente del tipo de dispositivo.

Aquí es donde es vital contar con un medio que sea capaz de añadir nuevas funciones a los dispositivos, de lo contrario su utilidad y tiempo de vida se ven comprometido, dicho de otra forma se vuelve obsoleto en muy poco tiempo.

2.4. Definición formal de un bootloader

En las primeras etapas del desarrollo de microcontroladores programar la memoria programa requería laboratorios y maquinas especializadas, con forme fue avanzando la tecnología se podía reprogramar estos chips mediante rayos ultra violetas, luego se dio un salto a memorias eléctricamente re-programables los cuales requerían de voltajes y secuencias muy estrictas para lograr re-programar la memoria, actualmente los microcontroladores cuentan con registros e instrucciones diseñadas para tal fin, esto significa que dentro del mismo encapsulado se cuenta con todo lo necesario para re-programar la memoria.

Un bootloader es un segmento de códigos que se encuentra alojado, ya sea en la parte baja o alta de la memoria de programa del microcontrolador, este segmento de código se encarga de atender una solicitud para re-programar la memoria de programa del microcontrolador, en caso contrario, si no se le hace dicha petición, el código debe ser capaz de apuntar hacia la posición de memoria donde reside el programa principal, este segmento de código se ejecuta cada vez que el dispositivo es energizado, o bien cada vez que se reinicia el microcontrolador.

Un programa (generalmente de computadora) se encarga de decodificar los datos del nuevo programa para posteriormente enviarlos al bootloader, dependiendo del bootloader, la forma en que éste recibe los datos puede ser mediante diferentes módulos de comunicación, los más comunes son UART, I2C, SPI y USB.

Por lo tanto un bootloader se conforma de dos partes:

- Programa servidor
- Programa cliente

Programa servidor.- Es el encargado de decodificar y enviar la cadena de valores que contiene las nuevas instrucciones a ser programadas dentro del programa principal.

Programa cliente.- Se encarga de recibir y programar las cadenas de valores dentro de la memoria programa del microcontrolador.

Para el caso de esta tesis el programa servidor es un programa que funciona bajo el sistema operativo windows, desarrollado en visual net, denominado JLoader, y un programa cliente desarrollado en lenguaje de bajo nivel identificado como JBoot.

2.5. Precauciones a tomar en cuenta

Como se mencionó anteriormente, el bootloader se va a ejecutar cuando se energiza o se reinicia el microcontrolador, el diseño del bootloader debe tomar en cuenta los factores que puedan reiniciar el microcontrolador, especialmente en aquellos casos donde se está controlando sistemas en tiempo real o en aquellos procesos donde el tiempo no es crítico.

Tabla de información sobre los diferentes registros que afectan el funcionamiento de un bootloader	
Registro	Descripción
POR	<p><i>Power-on reset</i> por sus siglas en ingles POR, mantiene el microcontrolador en estado de reset hasta que el voltaje de operación alcanza un nivel adecuado para la operación del circuito.</p> <p>Registro de activación: Palabra de configuración.</p> <p>Registro de configuración: No accesible a través de SFR.</p>
BOR	<p><i>Brown-out reset</i> por sus siglas en ingles BOR, mantiene el microcontrolador en estado de reset si el voltaje de operación se encuentra por debajo del threshold establecido.</p> <p>Registro de activación: Palabra de configuración.</p> <p>Registro de configuración: No accesible a través de SFR.</p>
WDT	<p><i>Watchdog timer</i> por sus siglas en ingles WDT, reinicia el microcontrolador cuando se alcanza el valor nominal del tiempo establecido.</p> <p>Registro de activación: Palabra de configuración.</p> <p>Registro de configuración: Accesible a través de SFR.</p>
MCLR	<p><i>Master clear reset</i> por sus siglas en ingles MCLR, restablece los valores por defecto de todos los registros del microcontrolador, y apunta el contador de programa hacia el vector 0x00.</p> <p>Registro de activación: Palabra de configuración.</p> <p>Registro de configuración: No accesible a través de SFR.</p>
Stack overflow	<p>Causara un reset si ocurre un desbordamiento superior en la pila.</p> <p>Registro de activación: Palabra de configuración.</p> <p>Registro de configuración: Accesible a través de SFR.</p>
Stack underflow	<p>Causara un reset si ocurre un desbordamiento inferior en la pila.</p> <p>Registro de activación: Palabra de configuración.</p> <p>Registro de configuración: Accesible a través de SFR.</p>

Cuadro 2.5. : Registros importantes.

El Cuadro 2.5.1 describe los factores que pueden reiniciar el microcontrolador.

Dependiendo del microcontrolador puede o no tener las características mencionadas; Por lo general en cualquier gama antigua (*legacy*) se puede encontrar las opciones MCLR, POR, BOR y WDR, mientras que en gamas de nueva generación para familias medias y altas se encuentran las características anteriores aparte de Stack overflow y Stack underflow.

Capítulo 3

Desarrollo JBoot:

El primer paso para el desarrollo de un bootloader es entender la arquitectura del microcontrolador, para el caso de los microcontroladores de las familias PIC12FXXXX, PIC16FXXXX y PIC18FXXXX de microchip nos encontramos con una arquitectura Harvard, con registros de longitud de 8 bits y un set de instrucciones RISC.

- Arquitectura Harvard

La arquitectura Harvard tiene una memoria programa y una memoria dato separadas, a diferencia de la arquitectura Von Neumann (la cual junta la memoria programa y dato), por lo tanto la arquitectura Harvard es más eficiente para el manejo de datos.

- RISC

Proviene de las siglas en inglés *reduced instruction set computer* (computadora con set de instrucciones reducido), esto significa que solo se requiere aprender un set de instrucciones no mayor de 30 para poder programarlo, a diferencia de un sistema CISC *complex instruction set computer* (computadora con set de instrucciones complejas) el cual puede llegar a tener decenas de instrucciones para una misma acción.

- Memoria de programa

En la Figura 3.1 se muestra la organización de la memoria programa, ésta organización no es exclusiva de un modelo de microcontrolador en específico, por lo tanto se puede utilizar como plantilla para el diseño de un bootloader para la familia 12F y 16F.

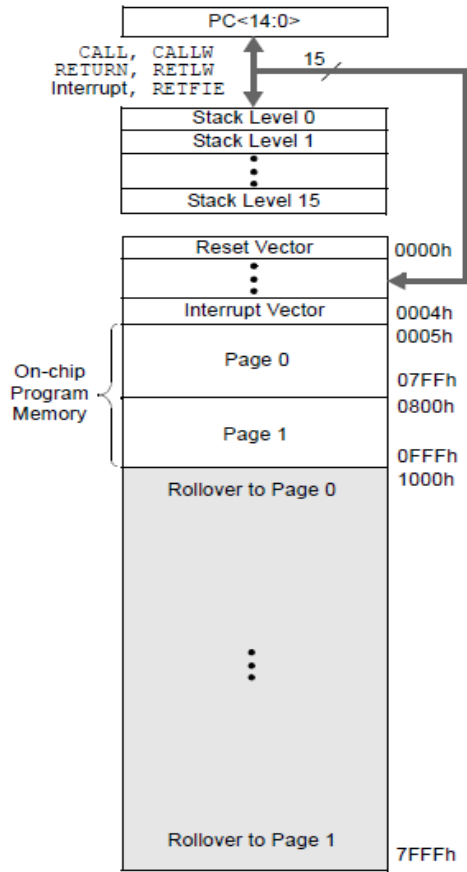


Figura 3.1: Memoria programa.

3.1. Definiendo características

Se requiere definir las características deseadas, JBoot está pensado para ser lo menos invasivo dentro del microcontrolador, a diferencia de otros bootloader JBoot está diseñado para ocupar la menor cantidad de memoria programa posible, no hace uso innecesario de los registros de propósito general para almacenar datos y no modificar el esquema de funcionamiento del microcontrolador, dicho de otra forma no hace re-definición de vectores.

JBoot está diseñado con el objetivo principal de solo programar el microcontrolador, al momento de escribir esta tesis no es capaz de leer la memoria programa, ni la EEPROM del microcontrolador, en futuras versiones se podría añadir estas características.

A continuación se enlistan las características que posee.

1) No re-define el vector de interrupción.

A diferencia de otros bootloader que utilizan las primeras locaciones de memoria, JBoot solo utiliza las dos primeras posiciones en memoria para apuntar al bootloader, por lo tanto el vector de interrupción se mantiene en 0x04, el único cambio que hace JBoot es sobre el vector *reset*, pasa de la dirección 0x00 a la dirección 0x02.

Esto tiene una gran importancia debido a que físicamente no se pueden re-definir los vectores, siendo la estructura de la memoria programa la mostrada en la figura anterior, por lo tanto, si el apuntador al código del bootloader ocupa o excede las primeras cuatro posiciones de memoria, es responsabilidad del programador redefinir las nuevas locaciones para los vectores, en otras palabras, un bootloader que utiliza las primeras cuatro posiciones va a ocupar más espacio porque se tiene que encargarse de apuntar a los nuevos vectores, mientras que JBoot va a utilizar directamente el perfil de hardware del microcontrolador.

2) Dos modos de operación.

El bootloader debe ser capaz de saber cuándo es necesario ejecutar el algoritmo para re-programar la memoria y cuando ejecutar el programa de usuario.

Algunos bootloader utilizan un pin del microcontrolador para tal tarea, si el pin se encuentra en estado “alto” apunta al bootloader de lo contrario si el pin se encuentra en estado “bajo” apunta al programa del usuario o viceversa, la ventaja radica en que el microcontrolador no tiene que esperar ningún tiempo extra para ejecutar el programa del usuario, la desventaja a este tipo de soluciones es que se utiliza un pin extra para poder utilizar el bootloader.

JBoot define un tiempo de espera, si dentro del tiempo de espera recibe una llamada para ejecutar el algoritmo de re-programación apunta a la posición de memoria donde se aloja el bootloader, de lo contrario, si el tiempo se agota apunta a la región de memoria donde se aloja el programa del usuario, este tiempo puede ser definido para que sea lo menos invasivo posible.

3) Comunicación serial.

JBoot utiliza el módulo EUSART del microcontrolador para recibir la nueva información del firmware, se elige este módulo por la flexibilidad que presenta, por una parte en el mercado existen una gran cantidad de módulos de radio frecuencia que se comunican mediante un protocolo serial y por otra parte le permite al usuario la posibilidad de reprogramar la memoria programa, esto le permite obtener los mejor de dos mundos sin necesidad de hardware adicional.

4) Retro-inserción de apuntadores.

JBoot aprovecha las nuevas características de la serie XLP para re-programarse en memoria cada vez que entra en modo de programación de la memoria programa, esto garantiza que no importa si se interrumpe la programación de la memoria, JBoot puede volver a entrar al algoritmo y volver a re-programar toda la memoria, mientras que para series legacy los apuntadores hacia el código de JBoot deben ser especificados en el programa principal.

Cabe señalar que esto no es exclusivo para los microcontroladores de microchip, esto aplica a cualquier microcontrolador de cualquier fabricante que permita leer, escribir y borrar la memoria programa.

5) Comprobación de suma.

Por cada bloque de datos, JBoot calcula la comprobación de sumas para ser comparadas respecto a las del archivo fuente, esto lo hace antes de vaciar los datos en memoria, si por algún motivo no concuerdan, JBoot vuelve a pedir confirmación de datos, una vez que las sumas concuerdan se procede a la grabación de los datos en memoria, esto garantiza la confiabilidad a la hora de la programación en memoria programa.

6) Ocupar la menor cantidad de memoria programa para su funcionamiento.

JBoot utiliza solamente 170 locaciones de memoria programa, comparado con otros bootloader para la misma familia que ocupan alrededor de 1000 locaciones de memoria, esto representa solo el 3% de la memoria programa total del microcontrolador, esta reducción se logra gracias a que JBoot no redefine los vectores.

7) No utiliza FSR para almacenar los datos.

JBoot no hace uso de direccionamiento indirecto para almacenar los datos recibidos en los registros de propósito general, todo lo graba en los latches del microcontrolador es por tal motivo que solo los graba en memoria si la comprobación de sumas es válida, por lo tanto, en cada reprogramación de la memoria programa, no resta ciclos de escritura útil a los registros de propósito general.

3.2. Organización en memoria de JBoot

En la Figura 3.2.1 se muestra la organización en memoria de JBoot.

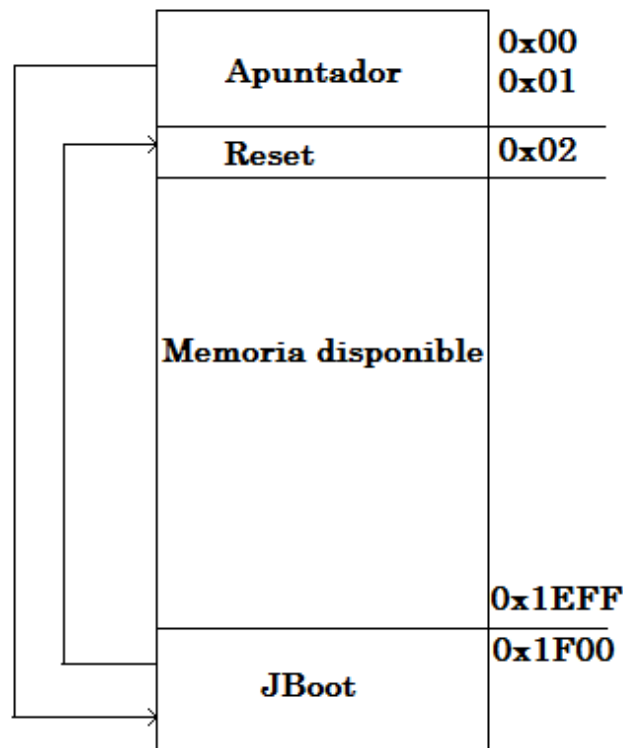


Figura 3.2.1: Organización en memoria de JBoot.

Una vez definidas las características el siguiente paso es programar el algoritmo a partir del diagrama de flujo mostrada en la Figura 3, la cual muestra los bloques requeridos para cada etapa.

3.3 Diagrama de flujo de JBoot:

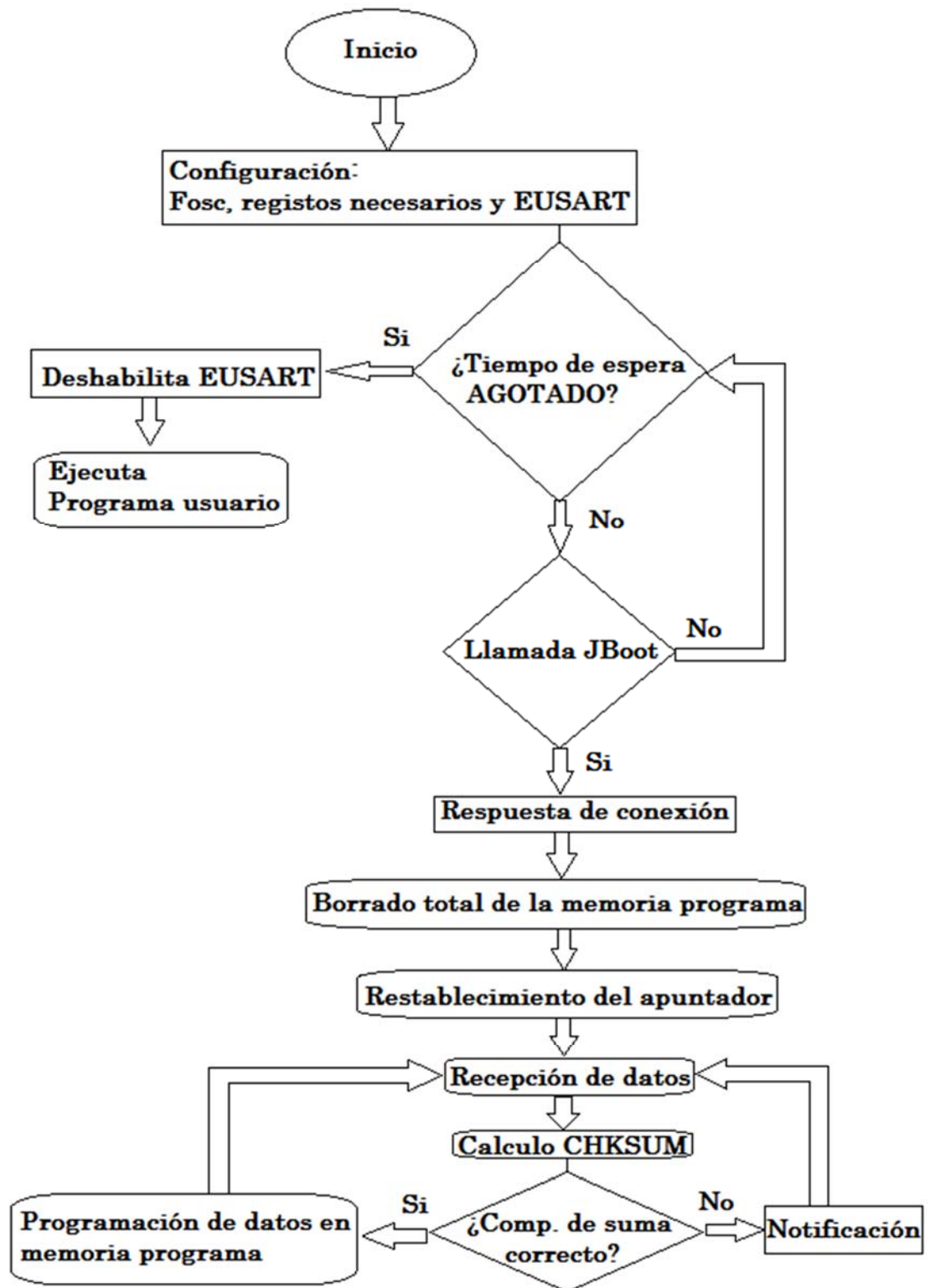


Figura 3.3: Diagrama de flujo JBoot.

3.4 Series XLP vs Legacy

Para la comparación se va a tomar en cuenta que serie de microcontrolador soporta, la serie XLP (Extreme Low Power) fue lanzada por microchip en el año 2009, cualquier microcontrolador anterior a este año es considerada serie legacy.

Tabla comparativa de características que presenta cada serie para el diseño de un bootloader	
Seria XLP	Serie Legacy
<ul style="list-style-type: none"> • ID de revisión: 5-14 bits. • ID de dispositivo: 9- 14 bits. • Registros de configuración (Configuration Word): 2-3. • Longitud de registro de configuración: 14 bits. • Bloques de borrado: 32 palabras. • Bloques de programación: 32 palabras. • Posibilidad de borrar la memoria completa: Si. • Latches de datos: Si. • Latches de dirección: Si. • Programación de locación simple: Si • Llenado de locaciones requerida: No. • Direccionamiento indirecto: Si. 	<ul style="list-style-type: none"> • ID de revisión: 5 bits. • ID de dispositivo: 9 bits. • Registros de configuración (Configuration Word): 2. • Longitud de registro de configuración: 14 bits. • Bloques de borrado: 16 palabras. • Bloques de programación: 4 y 8 palabras. • Posibilidad de borrar la memoria completa: No. • Latches de datos: No. • Latches de dirección: Si • Programación de locación simple: Solo en configuración de palabra. • Llenado de locaciones requerida: Si, el diseñador lo debe implementar en software. • Direccionamiento indirecto: Si.

Cuadro 3.4.1: Diferencias entre XLP y Legacy.

3.5 Comparación JBoot frente a otros bootloader

Se va a comparar JBoot frente a varios bootloaders entre ellos el proporcionado por el fabricante del microcontrolador, existen otros bootloaders pero los diseñadores no han liberado el código para poder ser comparado, de todas maneras se incluyen en el cuadro 3.5.1.

El Cuadro 3.5.1 muestra la comparación entre diferentes bootloaders:

Nombre	Series suportadas	Tamaño (Espacio)	FRS	Comunicación
JBoot	XLP/Legacy	170	No	UART
Tiny bootloader	Legacy	100	Si	UART
Microchip	XLP/Legacy	-	Si	USB/UART/I2C
WLoader	Legacy	1000	-	UART
KarlLunt	Legacy	512	-	UART
PICLOADER	Legacy	2000	-	UART
bootload	Legacy	800	Si	UART
CodeLoader	Legacy	1000	-	UART
Jolt	Legacy	512	-	UART
SGupta	Legacy	256	-	UART
Jogu	Legacy	-	Si	UART
MikroBootloader	XLP/Legacy	-	-	USB
jackdoll	Legacy	768	Si	UART
Pickme Bootloader	Legacy	183	Si	I/O Pin

Cuadro 3.5.1: Cuadro de comparación.

La mayoría de los bootloader comparados utilizan la programación de los datos mediante lotes, mientras que JBoot lo hace en línea, la ventaja reside en que no se hace uso de los registros de propósito general los cuales tienen un ciclo de acceso limitado, por lo tanto no se desgasta su ciclo y no existe latencia lo que se traduce en una programación de memoria más rápida.

Por otra parte solo los bootloaders de empresas soportan la familia XLP de microchip, y teniendo en cuenta que estos bootloader generalmente están diseñados en lenguajes de programación de alto nivel el espacio que utilizan en memoria programa es mayor, esto significa que el usuario puede llegar a tener limitaciones en cuanto al tamaño de su programa principal, mientras que JBoot solo utiliza los últimos 170 locaciones de memoria baja.

Por último cabe señalar que los bootloader creados por empresas soportan diversos protocolos de programación y no solo mediante UART, aunque cabe hacer la aclaración que solo los microcontroladores de la serie 18F cuentan con un módulo USB de lo contrario sería necesario añadir el modulo al diseño, también se debe tener en cuenta que diversos módulos de radiofrecuencia utilizan comunicación serie basados en RS-232, la flexibilidad que supone utilizar un módulo EUSART es mayor.

Capítulo 4

JLoader

Un bootloader por sí mismo es inútil, a menos que el firmware de la aplicación no sea mayor a 10 líneas de código y se esté dispuesto a programar la memoria por bloques de 8 palabras a la vez, de forma que, el usuario tenga que decodificar el archivo manualmente y luego enviarlo al bootloader, por lo tanto es necesario diseñar un servidor que sea capaz de decodificar el archivo hexadecimal para luego transmitirlo al bootloader, es por tal motivo que se decidió diseñar un cliente llamado JLoader, el cual es capaz de entender cualquier archivo hexadecimal independientemente del fabricante y del ensamblador/compilador.

El corazón del servidor es, la capacidad de entender (decodificar) el formato del archivo hexadecimal generado por el ensamblador o compilador, este archivo utiliza una codificación conocida como formato Intel.

4.1 Formato Intel

El archivo hexadecimal es una forma de representar un archivo binario en formato ASCII, debido a que está en formato ASCII en vez de binario es posible guardarlo en cualquier medio no binario como por ejemplo tarjetas perforadas, cintas magnéticas, etc.

Existen diferentes formatos, los cuales son: Intel hex 8 bits, intel hex 16 bits e intel hex 32 bits.

La versión intel hex de 8 bits permite programar dentro de los primeros 16-bits lineales de la memoria, intel hex de 16 bits permite programar bloques de 20 bits segmentados de la memoria, e intel hex 32 bits permite programar 32 bits lineales dentro de la memoria.

Actualmente existen seis tipos diferentes:

- Registro dato (formatos 8,16 y 32 bits)
- Registro final de archivo (formatos 8,16 y 32 bits)
- Registro de segmento dirección extendida (formatos 16 y 32 bits)
- Registro de inicio de segmento de dirección (formatos 16 y 32 bits)

- Registro de dirección lineal extendida (formato 32 bits)
- Registro de inicio de dirección lineal (formato 32 bits)

Registro de datos general

MARK	RECLLEN	OFFSET	RECTYPE	DATA	CHKSUM
1-byte	1-byte	2-byte	1-byte	n-bytes	1-byte

MARK.- Cada uno de los registro del archivo comienza con una marca 0x3A

RECLLEN.- Especifica el número de bytes de datos o información.

OFFSET.- Especifica los 16-bits de inicio de carga, por lo tanto este campo solo puede ser utilizado para datos, en registros donde este campo no es utilizado, esta codificado como 0x30303030.

RECTYPE.- Es utilizado para interpretar la información remanente dentro del registro, este registro puede ser:

- 00 Registro Datos
- 01 Fin de Archivo
- 02 Segmento de Dirección Extendida
- 03 Inicio de Segmento de Direcciones
- 04 Dirección Lineal Extendida
- 05 Inicio de Dirección Lineal

DATA.- Consiste en cero o más bytes codificados en pares de dígitos hexadecimales, la interpretación de este campo depende del valor de RECTYPE.

CHKSUM.- Cada registro termina con una suma de comprobación que contiene la representación ASCII hexadecimal en complemento a dos del resultado de la suma de la conversión de cada par de ASCII a dígitos hexadecimales.

Registro de Dirección Lineal Extendida

MARK	RECLLEN	OFFSET	RECTYPE	ULBA	CHKSUM
1-byte	1-byte	2-byte	04	2-byte	1-byte

El formato de 32-bits de registro de dirección lineal extendida es utilizado para especificar la dirección lineal base o LBA por sus siglas en inglés, tiene una longitud de 32 bits, donde los bits 0-15 son cero y los bits 16-31 son definidos como la parte superior o ULBA por sus siglas en inglés.

La dirección de memoria absoluta para datos subsecuentes se obtiene mediante la siguiente ecuación:

$$(LBA+DRLO+DRI) \text{ MOD } 32$$

- DRLO -> Offset en el campo de dato
- DRI -> Índice dentro del byte de dato
- MOD 32 -> 2^{32}

Se omiten los acarreo para evitar un *wraparound* (0xFFFFFFFF a 0x00000000).

MARK.- Contiene un valor 0x3A.

RECLLEN.- Contiene una cadena ASCII 02 (0x02) la cual es la longitud en bytes de ULBA.

OFFSET.- No se utiliza, contiene una cadena ASCII 00 (0x3030).

RECTYPE.- Contiene una carácter ASCII 04 (0x04) el cual corresponde a un tipo “Dirección Lineal Extendida“

ULBA.- Especifica el valor de 16 bits de ULBA.

CHKSUM.- Contiene el resultado de la suma de los campos RECLLEN, OFFSET, RECTYPE y ULBA en complemento a dos.

Registro de segmento dirección extendida

MARK	RECLLEN	OFFSET	RECTYPE	USBA	CHKSUM
1-byte	1-byte	2-bytes	02	2-bytes	1-byte

El formato de 16 bits de registro de segmento de dirección extendida es utilizada para especificar los bits 4-19 del segmento de dirección base o SBA por sus siglas en inglés, donde los bits 0-3 son cero, los bits 4-19 son definidos como segmento superior de dirección base o USBA por sus siglas en inglés.

La dirección de memoria absoluta para datos subsecuentes se obtiene mediante la siguiente ecuación:

$$SBA + ([DRLO+DRI]) \text{ MOD}16$$

DRLO -> Offset en el campo de dato

DRI -> Índice dentro del byte de dato

MOD16 -> 2^{16}

Se omiten los acarreo para evitar un *wraparound* (0xFFFFFFFF a 0x00000000).

MARK.- Contiene un valor 0x3A.

RECLLEN.- Contiene una cadena ASCII 02 (0x02) la cual es la longitud en bytes de USBA.

OFFSET.- No se utiliza, contiene una cadena ASCII 00 (0x3030).

RECTYPE.- Contiene una carácter ASCII 02 (0x02) el cual corresponde a un tipo "Segmento de Dirección Extendida".

USBA.- Especifica el valor de 16 bits de USBA.

CHKSUM.- Contiene el resultado de la suma de los campos RECLLEN, OFFSET, RECTYPE y USBA en complemento a dos.

Registro Dato

MARK	RECLLEN	OFFSET	RECTYPE	DATA	CHKSUM
1-byte	1-byte	2-byte	00	n-bytes	1-byte

El registro de dato provee un set de dígitos hexadecimales que representan el código ASCII para bytes de datos que crean una porción de la imagen de la memoria programa.

Los campos RECLLEN y OFFSET están rotados dos lugares hacia la izquierda.

MARK.- Contiene un valor 0x3A.

RECLLEN.- Este campo contiene dos dígitos hexadecimales ASCII que especifican el número de bytes de datos, el valor máximo es 'FF' o 0x4646.

OFFSET.- Este campo contiene cuatro dígitos hexadecimales ASCII que representan el offset de LBA o SBA definiendo la dirección en donde se va a situar el primer byte de dato.

RECTYPE.- Contiene una cadena ASCII 00 (0x3030) que corresponde a un tipo “Registro Dato”.

DATA.- Este campo contiene pares de dígitos hexadecimales ASCII, un par por cada byte de dato.

CHKSUM.- Contiene el resultado de la suma de los campos RECLLEN, OFFSET, RECTYPE y DATA en complemento a dos.

Registro de inicio de dirección lineal

MARK	RECLLEN	OFFSET	RECTYPE	EIP	CHKSUM
1-byte	1-byte	2-byte	05	4-byte	1-byte

El registro de inicio de dirección lineal es utilizado para especificar la dirección de ejecución de inicio, el valor dado es de 32 bits para el registro EIP, note que este registro solo especifica la dirección del código dentro los 32 bits de dirección de espacio lineal del 80386, si el código va a empezar la ejecución del 80386 en modo real, entonces el registro de inicio de segmento de dirección debe ser utilizado en vez de este debido a que el registro especifica ambos registros CS e IP necesarios para el modo real.

MARK.- Contiene un valor 0x3A.

RECLLEN.- Contiene una cadena ASCII 04 (0x04) la cual es la cantidad en bytes del registro EIP dentro de este campo.

OFFSET.- No se utiliza, contiene una cadena ASCII 00 (0x3030).

RECTYPE.- Contiene una carácter ASCII 05 (0x05) el cual corresponde a un tipo “Inicio de Dirección Lineal”.

EIP.- Este campo contiene ocho ASCII dígitos hexadecimales que especifican los 32 bits.

CHKSUM.- Contiene el resultado de la suma de los campos RECLLEN, OFFSET, RECTYPE y EIP en complemento a dos.

Registro de inicio de segmento de dirección

MARK	RECLLEN	OFFSET	RECTYPE	CS/IP	CHKSUM
1-byte	1-byte	2-byte	03	4-bytes	1-byte

El registro de inicio de segmento de dirección es utilizado para especificar la dirección de ejecución de inicio, el valor dado es corresponde al segmento de dirección de 20 bits para los registros CS e IP, noté que este registro solo especifica la dirección del código dentro del espacio de direcciones segmentadas de 20 bits para el 8086/80186.

MARK.- Contiene un valor 0x3A.

RECLLEN.- Contiene una cadena ASCII 04 (0x04) la cual es la cantidad en bytes del registro CS/IP contenido dentro de este campo.

OFFSET.- No se utiliza, contiene una cadena ASCII 00 (0x3030).

RECTYPE.- Contiene una carácter ASCII 03 (0x03) el cual corresponde a un tipo “Inicio de Segmento de Direcciones”.

CS/IP.- Este campo contiene ocho dígitos hexadecimales ASCII que especifican los 16 bits para CS y 16 bits para IP.

CHKSUM.- Contiene el resultado de la suma de los campos RECLLEN, OFFSET, RECTYPE y CS/IP en complemento a dos.

Registro final de archivo

MARK	RECLLEN	OFFSET	RECTYPE	CHKSUM
1-byte	1-byte	2-byte	01	FF

El registro final de archivo especifica el fin de un archivo hexadecimal.

MARK.- Contiene un valor 0x3A.

RECLLEN.- Contiene una cadena ASCII 00 (0x3030) desde que este registro no contiene información ni datos tiene un valor de cero.

OFFSET.- No se utiliza, contiene una cadena ASCII 00 (0x3030)

RECTYPE.- Contiene una carácter ASCII 01 (0x01) el cual corresponde a un tipo “Fin de Archivo”.

CHKSUM.- Desde que todos los campos son estáticos su valor siempre va a tener un valor hexadecimal 0x4646 o el carácter ASCII 'FF'.

El Cuadro 4.1 muestra un resumen de todos los registros vistos hasta ahora.

Tabla de registros						
Tipo de registro	MARK (Byte)	RECEL (Byte)	OFFSET (Byte)	RECTYPE (Byte)	ULBA (Byte)	CHKSUM (Byte)
Dirección lineal extendida	1	1	2	04	2	1
Segmento dirección extendida	1	1	2	02	2	1
Inicio de dirección lineal	1	1	2	05	4	1
Inicio de segmento de dirección	1	1	2	03	4	1
Final de archivo	1	1	2	01	-	1
Dato	1	1	2	00	n	1

Cuadro 4.1.1: Resumen de los registros.

4.2 Funcionamiento de JLoader

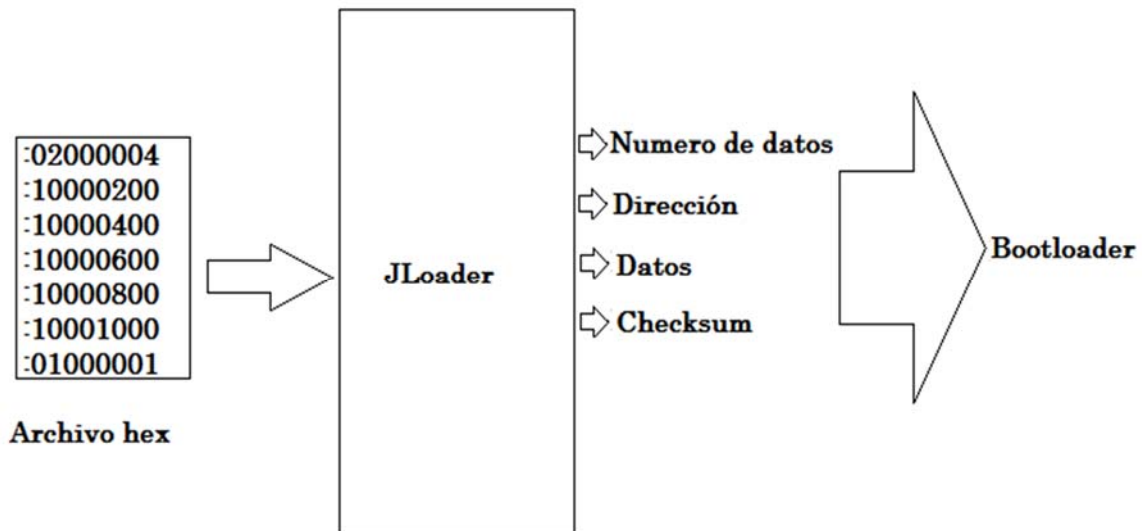


Figura 4.2.1: Funcionamiento de JLoader.

Lo primero que hace JLoader es buscar la marca de inicio, sin importar si se trata del formato 8,16 o 32 bits, en todos los casos el primer campo se trata de un carácter cuya longitud es de 1 byte y siempre su valor es igual a 0x3A, o lo que es lo mismo el carácter equivalente ASCII “:”, una vez encontrada la omite y la cadena restante la guarda en una matriz de longitud n.

El valor de la primer casilla de la matriz corresponde al número total de datos que se van a enviar al bootloader, este campo tiene una longitud de 1-byte y nunca puede ser mayor a una cadena ASCII '10' o en formato hexadecimal 0x3031, esto significa que los datos no pueden ser mayor a 8 palabras por renglón.

El segundo valor de la matriz corresponde a la dirección destino de los datos, este campo tiene una longitud de 2-bytes por lo tanto su valor máximo hexadecimal es 0xFFFF, esto quiere decir que la dirección máxima a la cual se puede acceder es 0x7FFF.

El tercer valor de la matriz corresponde al tipo de formato 8,16 o 32 bits, el cual tiene una

longitud de 1 -byte, JLoader lo identifica y dependiendo del formato maneja la cadena restante de datos.

Los siguientes valores de la matriz corresponden a los nemonicos del programa principal, estos datos son enviados en paquetes cuya longitud es de 16 bits.

La última posición de la matriz corresponde a la suma de comprobación o *checksum*, la cual tiene una longitud de 1-byte.

Para asegurar que los datos se hayan enviado y recibido de forma correcta, JLoader ejecuta una doble verificación, una verificación interna y una verificación con la calculada por el bootloader.

La primer verificación consiste en comparar el cheksum calculado por el software frente el calculado por el ensamblador/compilador, esta suma se encuentra en el archivo fuente, si no coinciden las sumas es un indicativo de que hubo un error interno, ya sea por parte del ensamblador/compilador o bien por JLoader, como hubo un error es indicativo de que los datos están corrompidos, JLoader manda una señal de error al bootloader para que vuelva a cargar los datos nuevamente, se vuelve a comparar ambas sumas y en caso de que vuelva a existir un error JLoader le notifica al usuario de que existe un problema con el archivo fuente.

La segunda verificación consiste comparar el checksum calculado por JLoader frente el calculado por el bootloader, primero JLoader le solicita el checksum calculado al bootloader, una vez que es recibido hacer la comparación si son iguales le manda una señal de confirmación para que programe la memoria programa, de lo contrario, en caso de que sean diferentes le manda una señal de error y le vuelve a enviar los datos, en caso de que nuevamente la comprobación de sumas falle, JLoader le muestra una notificación de error al usuario.

- Portabilidad de JLoader:

Aunque JLoader fue creado utilizando net framework 4.5 puede ser exportado a otro lenguaje de programación dado que el corazón del programa es el traductor intel hex 32,

para hacer el *port* del cliente hacia otro lenguaje o sistema operativo solo se requiere traducir las instrucciones de un lenguaje de programación en su equivalente al lenguaje que se quiera utilizar.

JLoader nació en el año 2015 es por tal motivo que se utilizaron las librerías net frame, pero técnicamente estas librerías no influyen en el funcionamiento de JLoader y esto es debido a que no se están utilizando tecnologías que no se utilizaran ya hace años atrás, por ejemplo JLoader hace uso de comunicación serie basada en el protocolo RS-232 y no en paquetes USB por lo tanto se puede utilizar el control de comunicación de visual basic 6.0 para enviar y recibir datos, por lo tanto JLoader puede ser utilizado en sistemas de hace varios años atrás lo cual lo hace una herramienta versátil.

4.3 Requerimientos de sistema para utilizar JLoader

1. Sistema operativo: Windows 7/8/8.1/10 (32/64 bits).
2. Procesador: 1.7Ghz o superior.
3. Memoria RAM: 256Mbytes o más.
4. Espacio en disco duro: 10 Mbyte o más.
5. Versión Netframe: 4.5 o superior.
6. Puerto de comunicación: Puerto serie compatible con protocolo RS-232.

4.4 Funcionamiento JLoader-JBoot

La Figura 4.4.1 muestra el esquema de funcionamiento de JLoader y JBoot.

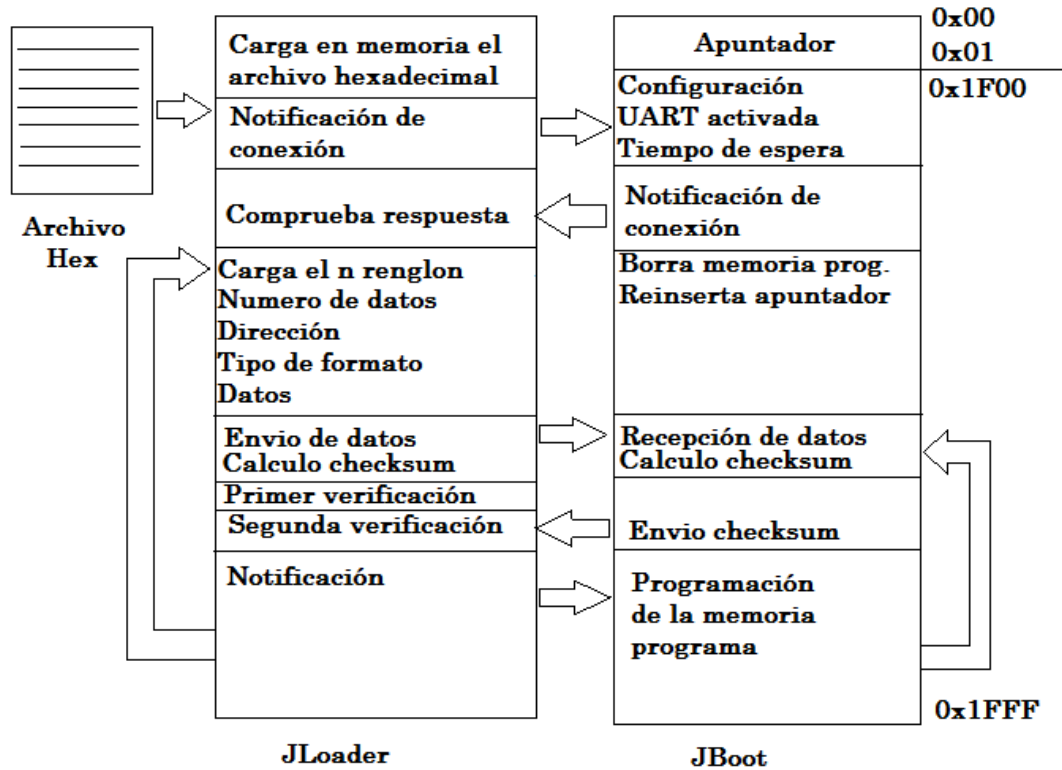


Figura 4.4.1: Funcionamiento JLoader-JBoot.

JLoader se comunica con el cliente y dependiendo de la respuesta JLoader responde a la solicitud, en caso de que el cliente sea basado o se trate de JBoot le manda una notificación de conexión, en caso contrario JLoader le muestra al usuario un mensaje de error, esto se debe a que tal vez el bootloader del cliente no sea compatible con JLoader, una vez establecida la conexión suceden dos cosas, por parte de JBoot borra la memoria programa y re-inserta los apuntadores en memoria, por parte de JLoader carga el archivo hexadecimal y lo decodifica, dado que al microcontrolador le toma unos pocos milisegundos en terminar las tareas se queda en espera de JLoader, una vez que JLoader está listo envía los datos, cuando se termina el bloque ambos calculan la suma de comprobación, JLoader hace dos revisiones la primera es interna, compara el checksum leído frente al calculado, si es correcto le pide a JLoader su comprobación de sumas, JLoader lo compara y si son iguales le envía la notificación para que JBoot pueda programar en memoria los datos, en caso

contrario le envía una notificación de error, JBoot no programa los datos en memoria programa, reinicia los contadores y se queda en espera de los nuevos datos.

En el siguiente capítulo se propone una aplicación para el microcontrolador PIC16F886, JBoot tiene un bootloader para este microcontrolador, el cual es J16F886.

Capítulo 5

Aplicaciones

5.1 Letreros LED

Cada vez es más común ver anuncios que utilizan tecnología led, esto es, pantallas que están formadas por matrices de led, estos anuncios tienen como objetivo dar a conocer desde productos hasta el estado de la bolsa de valores mundial.

Para mostrar esta información contamos con diferentes tipos de pantallas, las cuales pueden dividirse en dos grupos:

El primer grupo corresponde a las matrices que no tienen incorporadas funciones de control por lo tanto, el usuario es el responsable de programar las secuencias necesarias para mostrar el texto, y el segundo para aquellas que traen integrado las funciones de control, por lo tanto solo es necesario programarlas para mostrar el texto deseado.

Las ventajas que presenta una frente a la otra depende exclusivamente de la aplicación, en términos generales, las pantallas con funciones de control integradas son utilizadas únicamente para mostrar texto, no tienen la posibilidad de personalización del tipo de fuente ni del tamaño, su capacidad de animación es mínima, la ventaja que presenta es que no es necesario programar las secuencias para mostrar el texto.

Por otra parte las pantallas sin funciones de control presentan características avanzadas de animación y de personalización, la desventaja es que es necesario diseñar las secuencias de control.

5.1.1 Planteamiento del problema

El Gobierno de la Ciudad de México ésta organizando una exposición de proyectos de diferentes universidades, entre ellas se encuentra la Universidad Autónoma de la Ciudad de México, el único requerimiento que se exige es que cada stand muestre las siglas de la institución a la cual pertenecen los proyectos.

Este cartel puede ser hecho en papel o bien mediante el uso de pantallas led.

Los requisitos en caso de utilizar una pantalla led son:

- Las letras pueden estar en mayúsculas o minúsculas.
- No hay restricción en cuanto al color del led.
- El tamaño de la pantalla deber ser no mayor de 12mm x 12mm esto por cuestiones de espacio que se asigna a cada universidad la cual consta de una mesa de 120.4 x 75 cm para mostrar los proyectos.

5.1.2 Desarrollo

Para mostrar texto sobre una pantalla, la mejor solución es utilizar una pantalla con funciones de control integradas.

Como se mencionó en un principio, una de las ventajas que provee las pantallas con funciones de control es que no se necesitan hacer los algoritmos de control para mostrar texto, por lo tanto, solo es necesario programar el orden en el cual se van a ir mostrando las letras.

Para este ejemplo se utilizará el bootloader propuesto para demostrar cómo se agiliza el tiempo de desarrollador y las ventajas que puede presentar frente a un firmware estático.

Cabe aclarar que la utilización de un bootloader no es la única solución implementable puesto que se puede optar por algoritmos para el manejo del letrero, pero su ventaja reside en correcciones de errores o añadir nuevas funciones después de producción.

Debido a que existen restricciones en el tamaño de la pantalla se eligió la pantalla cuyo modelo es OSRAM PD4437, esta pantalla cubre todas las restricciones para diseñar el “cartel”.

Las características técnicas completas de la pantalla se encuentran en el apéndice C1.3.

Hardware:

1. Pantalla Osram PD4437.
2. PIC16F886.
3. Resistencia $10k\Omega$ @ 1/4 watt.
4. Push botón de 2 o 4 terminales.
5. Alambre calibre 24-22AWG.

Una de las ventajas que presenta esta pantalla es que no requiere hardware adicional para controlar el nivel de brillo de los leds o módulos de comunicación especiales como podría ser el caso de pantallas con interfaz SPI u I2C.

Cuenta con un controlador interno el cual se encarga de decodificar las instrucciones que le envía el microcontrolador, por lo tanto no es necesario acceder a ningún registro interno, por otra parte tampoco es necesario codificar los caracteres, la pantalla cuenta con un generador de caracteres.

La comunicación con este dispositivo se hace mediante dos señales principales, estas señales se conectan a los pines RD y WR (ambos activos en bajo), el pin RD sirve para leer la memoria interna del controlador, mientras que el pin WR se utiliza para enviarle el carácter que se desea mostrar en pantalla, siendo los pines A0, A1, y A2 los que determinan la posición del carácter, en la Figura 5 se muestra los pines de la pantalla.

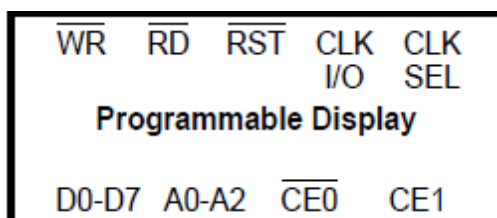


Figura 5.1.2.1: Esquemático de la pantalla.

Antes de poder escribir o leer la memoria de la pantalla es necesario configurarla, la secuencia de configuración consta de una serie de pasos que se deben seguir en orden, a continuación se muestra esta secuencia y un ejemplo de programación.

El formato general de la palabra de control se muestra en la siguiente figura:

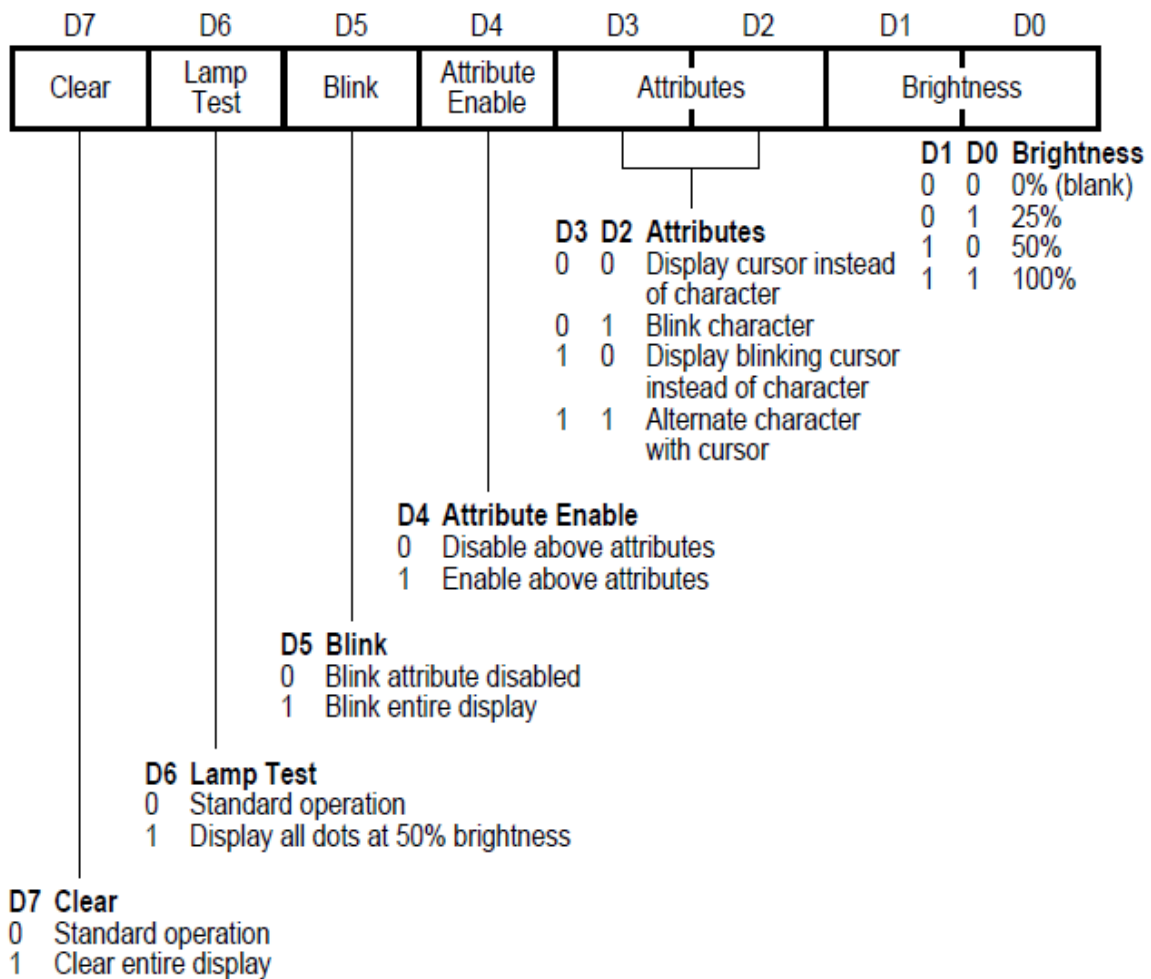


Figura 5.1.2.2: Formato general de la palabra de control.

Ejemplo de comandos de datos de entrada:

CE0!	CE1	RD!	WR!	A2	A1	A0	D7	D6	D5	D4	D3	D2	D1	D0	Operación
1	0	X	X	X	X	X	X	X	X	X	X	X	X	X	Sin cambio
0	1	0	1	1	0	0	X	X	X	X	X	X	X	X	Lee dígito 0
0	1	1	0	1	0	0	0	0	1	0	0	1	0	0	Escribe dígito 0
0	1	1	0	1	0	1	0	1	0	1	0	1	1	1	Escribe dígito 1
0	1	1	0	1	1	0	0	1	1	0	0	1	1	0	Escribe dígito 2
0	1	1	0	1	1	1	0	0	1	1	0	0	1	1	Escribe dígito 3
0	1	1	0	1	0	0	1	X	X	X	X	X	X	X	Escribe dígito con cursor

Dado que la pantalla internamente contiene todo lo necesario para controlar las matrices led no se requiere de módulos adicionales como por ejemplo convertidores analógico digital, comparadores o módulos de comunicación, por lo tanto los requerimientos mínimos necesarios para establecer el microcontrolador serían:

1. Bus de 8 bits para datos.
2. Bus de 3 bits para dirección.
3. Bus de 2 bits para control escritura/lectura.
4. Bus de 3 bits control de activación/reset.
5. Memoria programa mayor o igual a 512 bytes.
6. Registros de propósito general mayor o igual a 256 bytes.

Para controlar la pantalla se eligió el microcontrolador pic16f886, este microcontrolador cumple con los requerimientos mínimos necesarios para controlar la pantalla, por otra parte este microcontrolador se puede localizar fácilmente en las tiendas de electrónica.

Las características técnicas del microcontrolador se encuentran en el apéndice C1.4.

La programación del código se va a dividir en tres bloques principales, el primer bloque corresponde a la configuración del dispositivo y pantalla, el segundo se encargará de

almacenar el texto y el tercer bloque se encargará de ordenar y mostrar en pantalla los caracteres.

Observaciones sobre el tamaño de memoria disponible:

En la memoria programa se define el texto a ser mostrado, el programa deja los primeros 256 bloques de memoria libres para añadir futuras características al firmware, el número total de caracteres que se pueden almacenar en memoria programa incluyendo el espacio que utiliza JBoot es de 960 caracteres, si se desea hacerlo mediante direccionamiento indirecto se debe tomar en cuenta la cantidad de memoria dato del microcontrolador, para el PIC16F886 se puede alcanzar un tamaño de almacenamiento máximo de 368 caracteres en memoria RAM.

Observaciones sobre el número de caracteres:

La variable cuya locación se encuentra en la posición 0x23 es la encargada de establecer el número total de caracteres, en este caso el registro es de 8 bits por lo tanto se pueden contabilizar un máximo de 256 caracteres por barrido, si se deseara desplegar todos los caracteres en un solo barrido se puede utilizar una concatenación con otro registro para tener un tamaño de 65536 caracteres.

5.1.3 Diagrama de flujo para pantalla sin animación

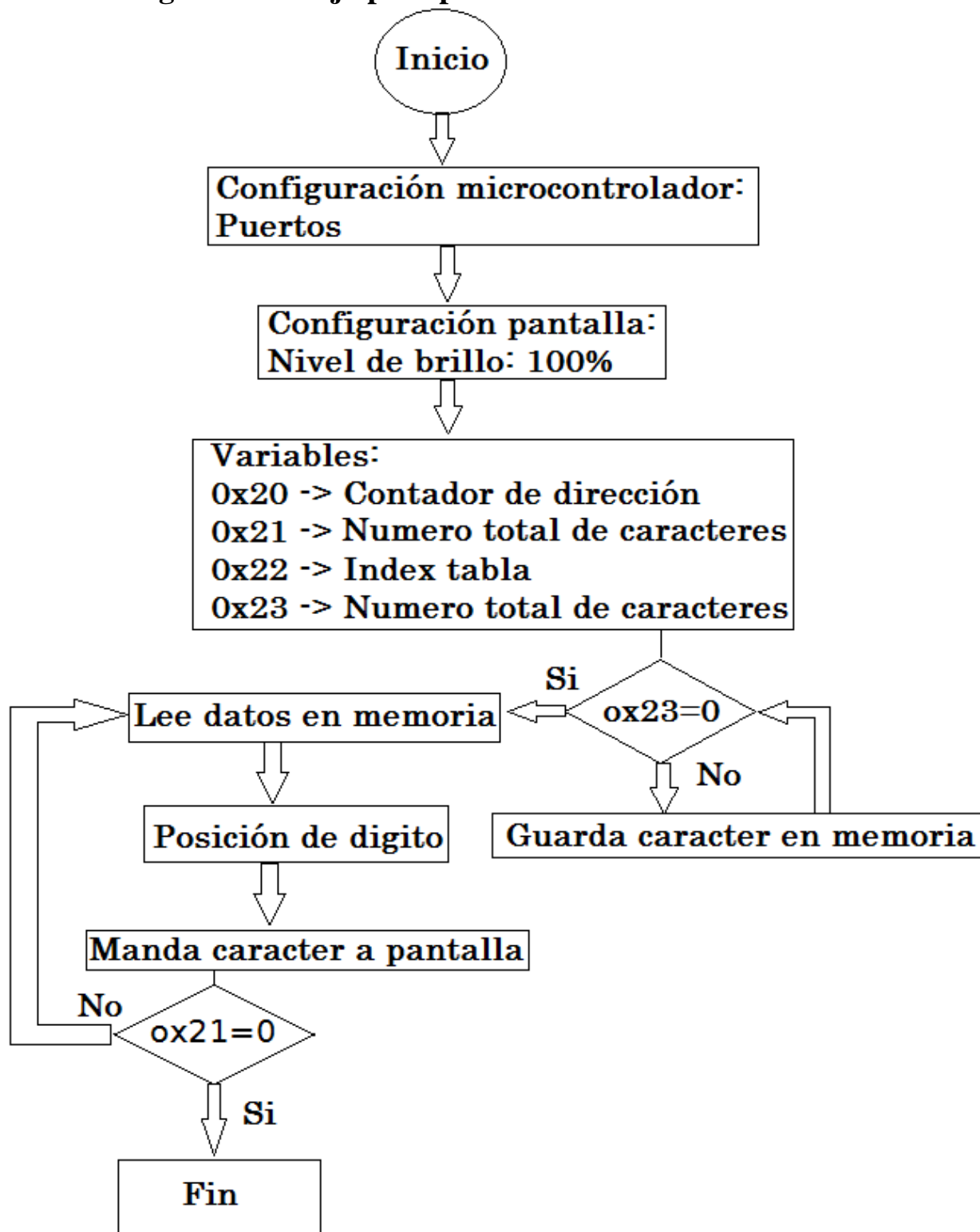


Figura 5.1.3.1: Diagrama de flujo para pantalla sin animación.

La estructura utilizada para mostrar el texto es muy versátil, presenta la ventaja de programación por módulos, lo que significa un firmware, al cual se le puede añadir nuevas funciones sin necesidad de modificar la estructura base.

Ahora supongamos que el prototipo ha sido aprobado y se están fabricando los “carteles” para su utilización, pero resulta que otra universidad está mostrando sus iniciales con un grado de presentación más sofisticado que simplemente texto plano.

Aquí es precisamente la ventaja de utilizar un bootloader, si solamente se hubiera programado la secuencia para mostrar la iniciales, no habría manera fácil de modificar el firmware, a menos que se hayan puestos los conectores para utilizar ICSP en el PCB, pero aun así el ICSP utiliza los pines donde va el bus de datos, en el mejor de los casos esto no tiene ningún efecto secundario, con el bootloader esto no sucede, puesto que utiliza los pines asignados al módulo para comunicación serie (EUSART), por otra parte la programación mediante ICSP requiere de un programador especializado, el cual no lo venden en todas partes, mientras que JBoot solo requiere un cable serial USB-UART o bien un convertidor de nivel COM-UART los cuales están disponible en prácticamente cualquier tienda de electrónica.

Regresando al problema inicial donde se requiere que las letras tengan cierto grado de animación, la forma más rápida y eficiente para lograr es utilizando un contador.

Obviamente se puede optar por métodos más sofisticados de presentación pero para dejar claro al lector de lo fácil y rápido que se puede añadir características a un firmware bien diseñado se optó por una animación que despliegue una letra a la vez.

El diagrama de flujo quedaría de la siguiente manera. Si se compara con el anterior, se puede observar que solo se añadió una nueva instrucción a la configuración y un bloque llamado *timer*.

La función de este bloque no es otra más que añadir un retardo para mostrar el siguiente carácter, si bien es cierto que se podría optar por un código en vez de utilizar el timer del controlador, la utilización del mismo proporciona ciertas ventajas a la hora de ejecución.

Entre una de las ventajas a destacar se encuentra que no es necesario el poleo de la bandera o tiempos muertos de procesamiento, si se compara la utilización del timer frente a un segmento de retardo, el timer presenta la ventaja de poder ser invocado mediante interrupción, por otra parte se puede escalar el tiempo del retardo de manera simple, solo bastaría cambiar el prescalador o bien ajustar los ciclos de repetición, mientras que con un retardo basado en segmento de código será necesario re calcular todo el algoritmo, por último precisión en los tiempo, mediante la utilización del módulo TMR del microcontrolador es posible lograr tiempos de retardo precisos a diferencia del código de retardo los cuales dependen en gran medida el tiempo de ejecución del código y de los ciclos que le toma a cada instrucción para lograr obtener resultados precisos cosa que en la práctica resulta ineficiente.

5.1.4 Diagrama de flujo de pantalla con animación.

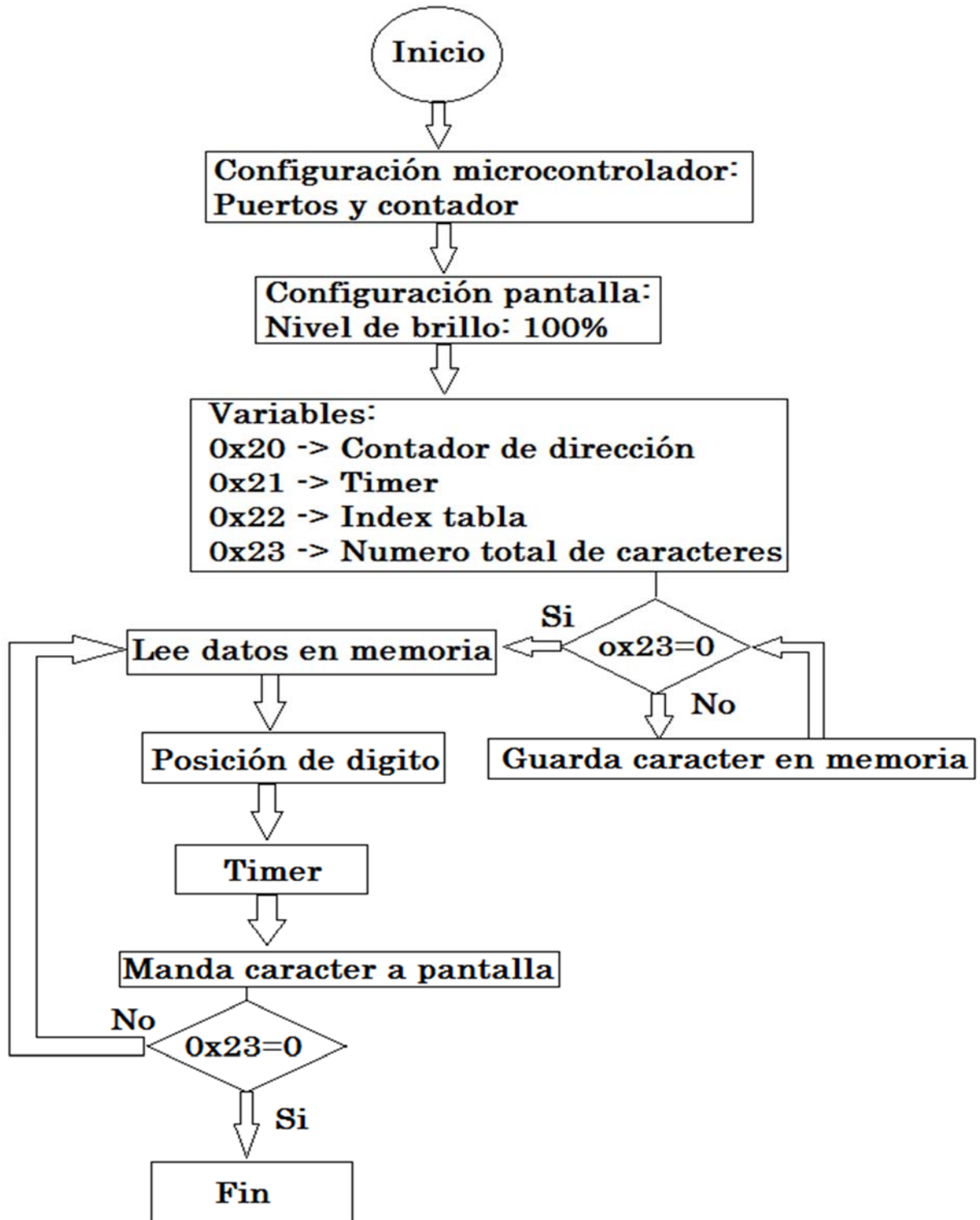


Figura 5.1.4.1: Diagrama de Flujo de pantalla con animación.

5.1.5 Resultados

En los siguientes enlaces se muestra el video de ambos casos

Texto sin animación:

<https://www.youtube.com/watch?v=CrEUllb5Bm8>

Texto con animación

<https://www.youtube.com/watch?v=wT6zOm9l5Ew>

5.1.6 Conclusión

Gracias a la modularidad del firmware y a la utilización de un bootloader se pudo añadir nuevas funciones/características a nuestro diseño si necesidad de modificar el hardware, esto representa una fuerte ventaja frente a cualquier sistema pre-programado sin posibilidad de actualización.

Claramente se puede ver las ventajas que se obtienen con la utilización de un bootloader para un caso práctico real, resultó ser una solución de entre las opciones actuales la mejor, los tiempos de diseño y desarrollo fueron reducidos considerablemente.

En el siguiente capítulo se propone una metodología para poder implantar controladores digitales mediante la utilización de una metodología que se divide en tres partes la primera consiste en encontrar el modelo de la planta a controlar, la segunda parte se centra en el modelado del sistema mediante la utilización de herramientas tales como Matlab y Simulink para encontrar los valores de las ganancias que conforman el algoritmo PID, una vez encontrado todos los datos el último paso es la utilización de un microcontrolador específico para control digital.

Capítulo 6

Diseño controlador digital

Hoy en día es común ver brazos robóticos en las fábricas, la intención de estos brazos es automatizar el proceso de fabricación de ciertos productos, por ejemplo estos brazos robóticos son utilizados en las líneas de producción de un automóvil o bien para el ensamblaje de una pantalla led, pero no son exclusivos de la industria, también se les puede ver en los laboratorios de las universidades o inclusive en tiendas de electrónica como juguetes didácticos.

Sin importar el ramo en el que se encuentren, los brazos robóticos deben garantizar precisión y confiabilidad en su operación, esto se logra mediante algoritmos de control, estos algoritmos garantizan que sin importar las perturbaciones externas el brazo va a ser capaz de corregir su comportamiento para alcanzar el objetivo inicial sea este: posición, velocidad, potencia, etc.

El 90% de los controladores industriales pertenecen a la familia PID, una de las razones de su utilización es por su simpleza, no requiere necesariamente el modelo de la planta, en la mayoría de los casos se puede utilizar la estructura clásica, una de las ventajas que tiene este tipo de controlador es que solo es necesario hacer el ajuste de los tres parámetros, ahora bien, una de las desventajas es que no es muy usada en la industrial.

Existen diferentes técnicas de sintonización, una de las más utilizadas es la de Ziegler–Nichols la cual utiliza la respuesta al escalón del sistema en lazo abierto para definir las ganancias de control a partir de una tabla de valores definidos, otra técnica utilizada está basada en prueba y error para encontrar los valores de los parámetros, aquí no se cuenta con ninguna tabla de valores por lo tanto es una técnica meramente empírica.

Los métodos anteriormente expuestos presentan la ventaja de que pueden ser utilizado cuando no se cuenta con el modelo de la planta, lo cual sucede la mayor parte del tiempo (excepto en la industria), por lo tanto pareciera que estas técnicas pueden abarcar el 100% de las situaciones, pero la realidad es que no siempre se pueden utilizar o bien no es óptimo ni eficaz su utilización.

Por tal motivo se desarrolló una metodología para encontrar el modelo de la planta posteriormente se controla mediante técnicas de control. Para demostrar la metodología se va a utilizar un motor de corriente directa como planta a controlar. Una vez que se tenga el modelo se procederá a encontrar las ganancias de los parámetros del sistema de control basado en PID.

6.1 Tarjeta DAQ

Para poder encontrar la función de transferencia del motor es necesario contar con un dispositivo que sea capaz de convertir los niveles de voltaje analógicos a digitales, esto con el fin de enviar esta información a un programa de computadora, el cual sea capaz de mostrarnos mediante gráficas el comportamiento del motor a modelar, para tal efecto se utiliza una tarjeta de adquisición de datos o DAQ por sus siglas en ingles.

6.2 Serie USB-600X de NI:

En la siguiente tabla se muestran las características básicas de las tarjetas de adquisición de datos de National Instrument, se trata de la serie 6008 y 6009, estas tarjetas se van a tomar como referencia para obtener la ficha técnica y a partir de ellas proponer las características del DAQ a construir.

Cabe aclarar que se eligieron las series 6008 y 6009 debido a que son las series básicas que ofrece National Instruments. Dicho de otra forma, son las tarjetas de menor costo que se pueden adquirir.

Producto	Entradas analógicas	Resolución de entrada	Máxima tasa de muestreo	Salidas analógicas	Resolución de salida	Taza de salida	Digital I/O	Contador 32bits	Trigger
USB-6008	8	12	10(kS/s)	2	12	150Hz	12	1	Digital
USB-6009	8	14	48(kS/s)	2	12	150Hz	12	1	Digital

Por parte de la cantidad de entradas analógicas solo se requiere una, por lo tanto eso no es un factor importante, la resolución en la mayoría de los microcontroladores que se pueden conseguir en México son de 10 bits, existen versiones de 12 bits en la serie 18F pero como se trata de utilizar lo que se puede encontrar se optó por un ADC de 10 bits, la taza de

muestreo es de 1.5 KHz, la resolución de salida no aplica dado que no se va a sacar los datos por un DAC, si no directamente por el puerto de comunicación serie, la tasa de salida es desconocida por lo tanto se va a utilizar una velocidad de transmisión de 19200 bps, contador de 16 bits, y dos canales de salida digitales.

El Cuadro 6.2.1 presenta la tabla comparativa, entre el DAQ y las tarjetas de adquisición de datos de *National Instrument*:

Producto	Entradas analógicas	Resolución de entrada	Máxima tasa de muestreo	Taza de salida	Digital I/O	Contador	Costo (Pesos mexicanos)
DAQ	1	10	1.5(kS/s)		2	16 bits	178.85
USB-6008	8	12	10(kS/s)	150Hz	12	32 bits	Desde 4,950
USB-6009	8	14	48(kS/s)	150Hz	12	32 bits	Desde 7,335

Cuadro 6.2.1: Comparativa DAQ vs Serie USB-600X de National Instrument.

En la tabla se puede observar que, técnicamente las tarjetas de National Instrument cuentan con mayores prestaciones, pero es difícil hacer un análisis completo dado que no se muestra las frecuencias de reloj ni el microcontrolador utilizado en dichas tarjetas.

Por parte del DAQ la frecuencia de reloj es a 8MHz utilizando el oscilador interno, el voltaje de operación es de 4.9V @ 24 grados centígrados, por lo tanto se tiene un drift en el oscilador no mayor a +2,-2%, esto significa que no es necesario la utilización de un oscilador externo, el microcontrolador en operación tiene un consumo nominal de 2mA y .01mA en reposo.

Se podría llevar el oscilador interno a su máximo de 32Mhz pero el gasto de energía para las pocas mejorar en las prestaciones no es conveniente dado que el ADC es de 10bits y no cuenta con canales DMA, lo mejor en estos casos sería optar por un microcontrolador más sofisticado, aun así, dado que solo se necesita adquirir los datos de una señal, el pic16f1827 es capaz de cumplir con la tarea, por lo tanto todo el peso recae sobre el diseño y la optimización del firmware que va a controlar la DAQ.

Este DAQ se construirá con base en el bootloader JBoot para la familia 16f182X, esto con el fin de agilizar las modificaciones que pudieran surgir a los largo de su desarrollo.

En el Cuadro 6.2.2 se resumen las características técnicas finales del DAQ:

Características técnicas del DAQ	
Microcontrolador	Pic16f1827
Canales de entrada	Un canal analógico.
Resolución del canal analógico	10 bits
Canales de salida	Dos canales digitales conectados a un puente H L298
Comunicación	Protocolo serie asíncrono 19200:8:1:N

Cuadro 6.2.2: Características técnicas del DAQ.

Una vez definidas las características técnicas de la tarjeta de adquisición de datos, el primer paso fue el diseño del hardware, el esquemático se encuentra en el Apéndice D1.2 para su consulta, para posteriormente programar el firmware que va a controlar el dispositivo.

La Figura 6.2.1 muestra el DAQ diseñado.

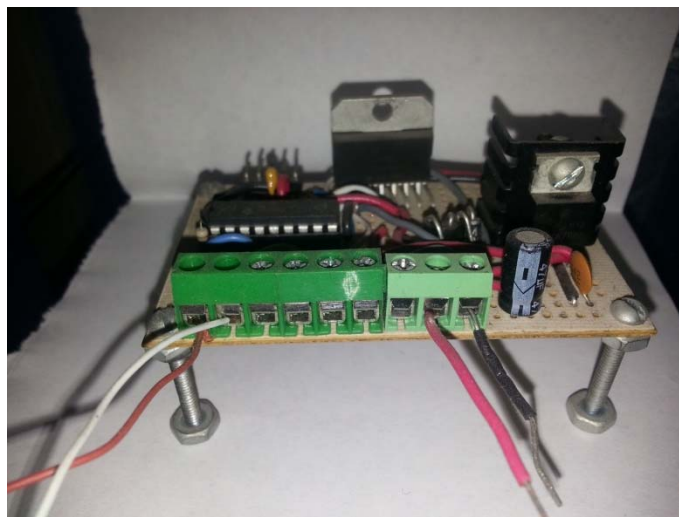


Figura 6.2.1: DAQ

6.3 Comparación salida del DAQ vs Osciloscopio

Para comprobar los datos que son recibidos del DAQ se acopló un engrane a la flecha del motor que a su vez mueve un engrane acoplado al potenciómetro, la función del potenciómetro es registrar los diferentes valores de voltaje que genera motor cuando este se encuentra en movimiento, es decir la posición, esta señal es adquirida por del DAQ, el cual mediante su convertidor analógico-digital registra los niveles de voltajes analógicos para posteriormente enviarlos a una computadora mediante comunicación serie, con este arreglo se pudo comparar la salida del DAQ frente a la salida de un osciloscopio.

El modelo del osciloscopio utilizado para esta comparación es Agilent Technologies DSO032A, este osciloscopio cuenta con la capacidad de exportar los datos a una memoria USB externa, lo cual resulta muy práctico para poder hacer las comparaciones, esto se debe a que entre uno de los diferentes formatos en los que puede exportar los datos el osciloscopio se encuentra el formato cvs, el cual puede ser exportado a matlab para su posterior análisis.

Por el contrario, si el osciloscopio no contara con una forma de exportar los datos entonces sería necesario utilizar los cursores del osciloscopio para moverse sobre los ejes “X” e “Y” y anotar los valores correspondientes a cada punto que conforma la señal, esta técnica en la práctica resulta viable para ser utilizada independientemente del tipo de señal que se trate, o bien, si se tienen la información suficiente sobre la señal se podría recurrir a software matemático para hacer la gráfica de la señal y posteriormente exportarlo para su análisis.

La Figura 6.3.1 se muestra el diagrama de conexión del sistema

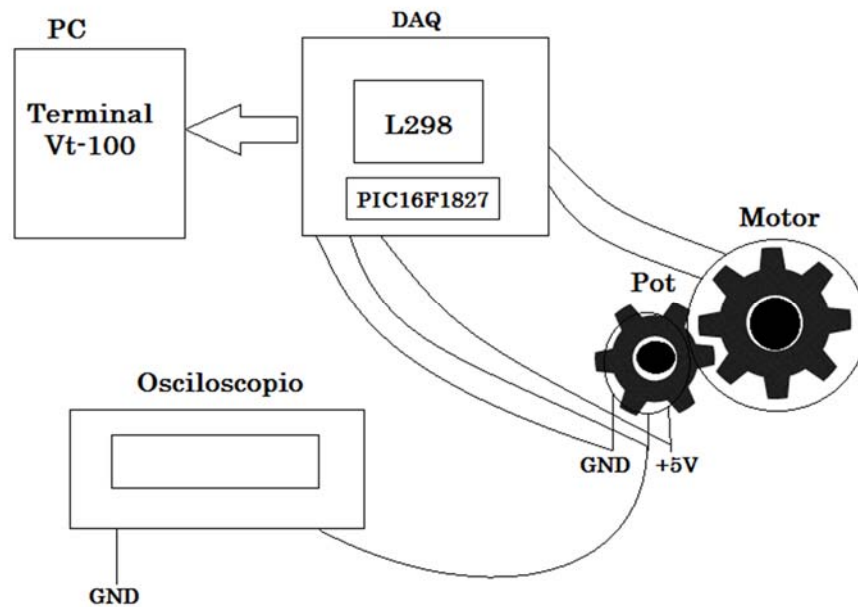


Figura 6.3.1: Diagrama de conexión.

El osciloscopio va a graficar el voltaje en el potenciómetro, mientras que el DAQ va a mandar los datos de convertidor ADC a una terminal Vt-100 para posteriormente graficarlos y compararlos con los datos del osciloscopio, se programó al DAQ una secuencia de movimiento, la cual consiste en llevar el potenciómetro de un extremo al otro, primero al extremo derecho y después al extremo izquierdo, dicho de otra manera, ir de 0V a 5V y después de 5V a 0V.

El microcontrolador se va a encargar de la comunicación serie y de las secuencias de giro, mientras que el puente H se va a encargar de darle la potencia necesaria para mover la flecha del motor, cabe señalar que el hardware ha sido diseñado pensando en que se está utilizando una carga reactiva, por lo tanto se añadió un sistema de protección básico basado en diodos.

6.4 Añadiendo ruido a la salida del DAQ

Cabe aclarar que el ruido inducido por el motor no se ve reflejado en la señal de salida del DAQ, esto se debe a que se está utilizando un convertidor analógico digital, la señal de

entrada se cuantifica, por lo tanto la señal resultante tiende a omitir el ruido del motor, es por tal motivo que fue necesario añadir ruido digital al firmware del DAQ.

La razón de añadirle ruido es la siguiente:

Obtener una señal lo más parecida posible con el dispositivo físico a modelar, teniendo en mente que estos datos van a ser utilizados por el software de identificación de MATLAB se espera que el sistema tenga un porcentaje de identificación mayor.

La Figura 6.4.1 muestra la comparación entre una señal sin ruido digital y una con ruido digital.

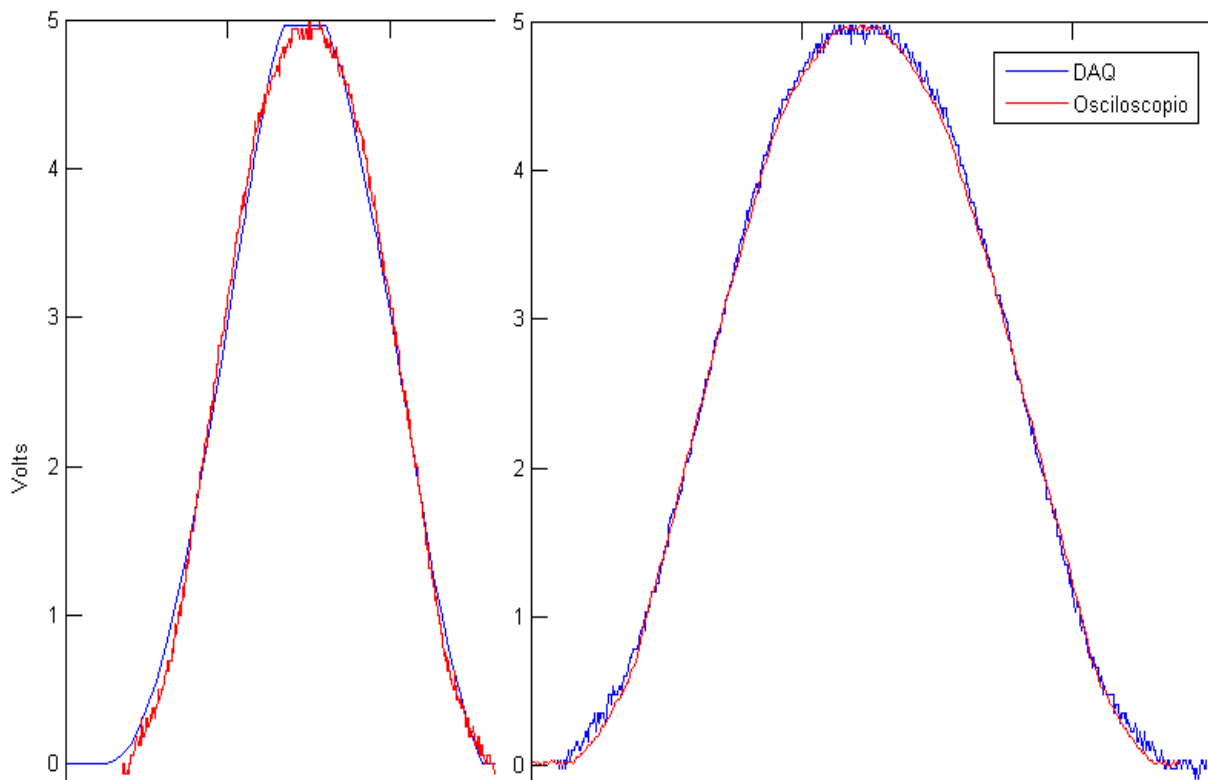


Figura 6.4.1: Comparación señal sin ruido digital vs señal con ruido digital.

La gráfica color rojo corresponde a la obtenida mediante el osciloscopio, mientras que la gráfica de color azul corresponde a la obtenida por el DAQ, en la gráfica de la izquierda se muestra la salida del DAQ sin ruido digital, se puede apreciar como solo se corresponden en la subida y la bajada de la señal mientras que en la curva la respuesta del DAQ es más lineal y mantiene constante la señal hasta que decrece, la gráfica de la derecha muestra la

salida del DAQ con ruido digital, se puede observar cómo se corresponde mejor con la señal del osciloscopio.

6.5 Observaciones sobre el firmware del DAQ

Es importante tomar en cuenta que muchas veces el tiempo que le toma al motor dar un giro en una dirección respecto a la otra no es el mismo, por tal motivo se decidió utilizar contadores para establecer los tiempos de secuencia.

La ventaja de utilizar contadores es que se puede modificar el número de cuentas necesarias para cada secuencia, la desventaja que esto representa es que para cada motor que se quiera modelar va a ser necesario ajustar el valor de estos parámetros.

Por otra parte la adición del ruido puede ser mediante hardware o bien mediante software, para el caso del DAQ se optó por implementarlo mediante software, mediante la utilización de rotaciones y operaciones XOR se consiguieron los números pseudoaleatorios que son sumados a la salida.

Una forma de evitar gastar tantos ciclos de reloj para la generación del ruido, puede ser implementado mediante hardware, para ello solo sería necesario una resistencia y un capacitor en paralelo, el funcionamiento de este circuito es muy simple, se trata de monitorear la carga y descarga del capacitor mediante un canal del convertidor analógico digital, los datos que se recojan se multiplican por un factor de escalamiento para posteriormente sumarlos a la salida.

La desventaja del hardware frente a la solución del software, es que se necesita calcular el tamaño del capacitor y la resistencia para obtener el factor de escalamiento, mientras que en software solo es necesario establecer el factor de escalamiento deseado.

A continuación se muestra el diagrama de flujo del firmware utilizado.

Diagrama de flujo del firmware utilizado para la comparación

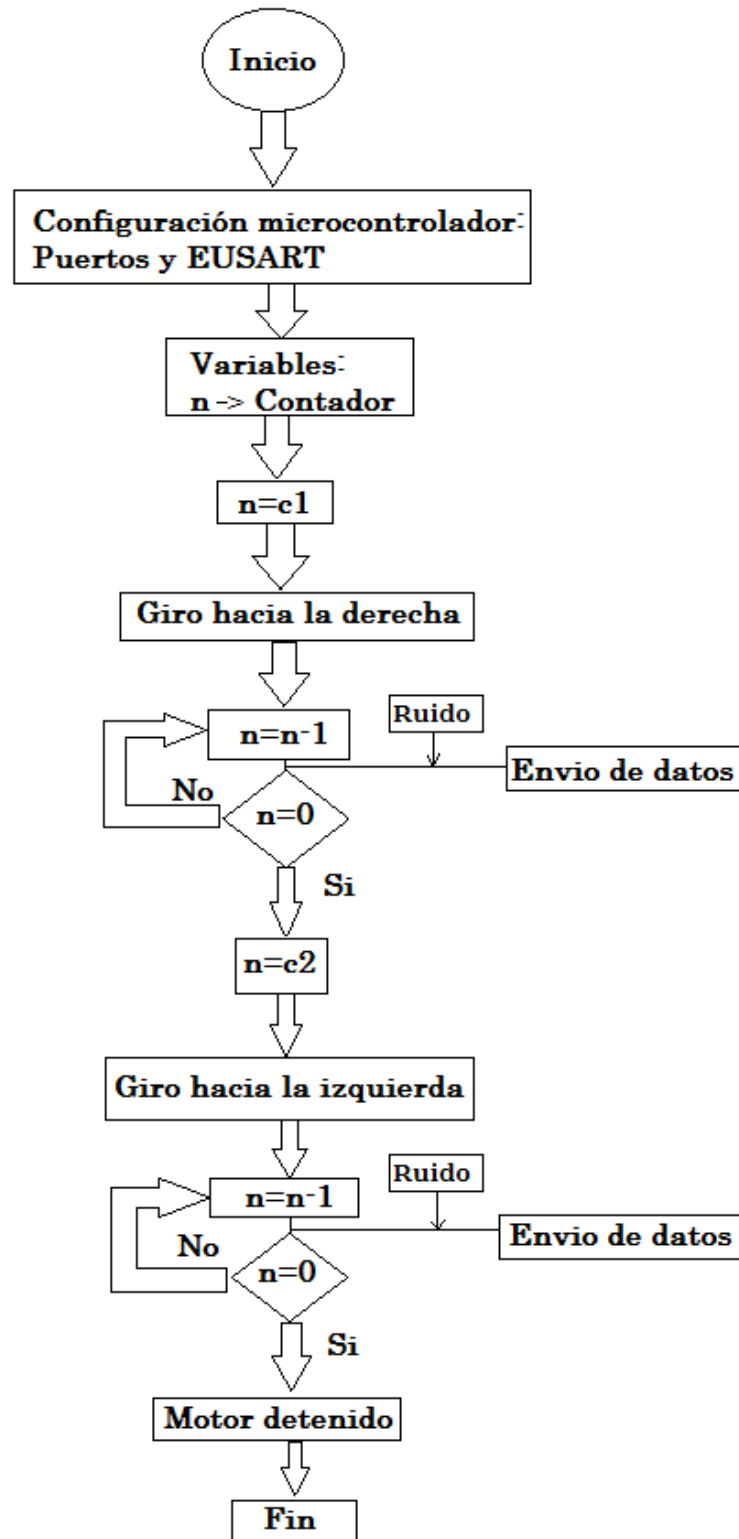


Figura 6.5.1: Diagrama de flujo de firmware para comparación.

6.6 Resultados experimentales

Empleando el programa MATLAB versión 2013b para graficar las salidas tanto del osciloscopio como del DAQ, se obtiene la gráfica comparativa de la Figura 6.6.1

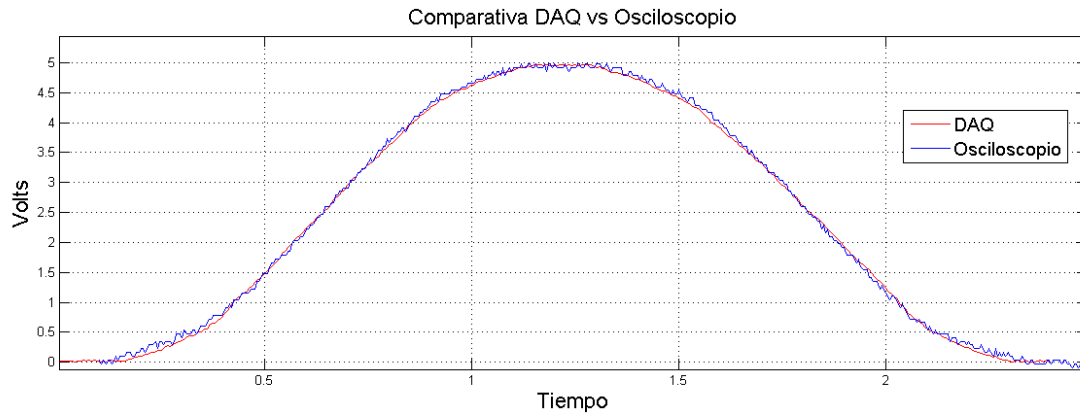


Figura 6.6.1: Comparación entre ambas señales.

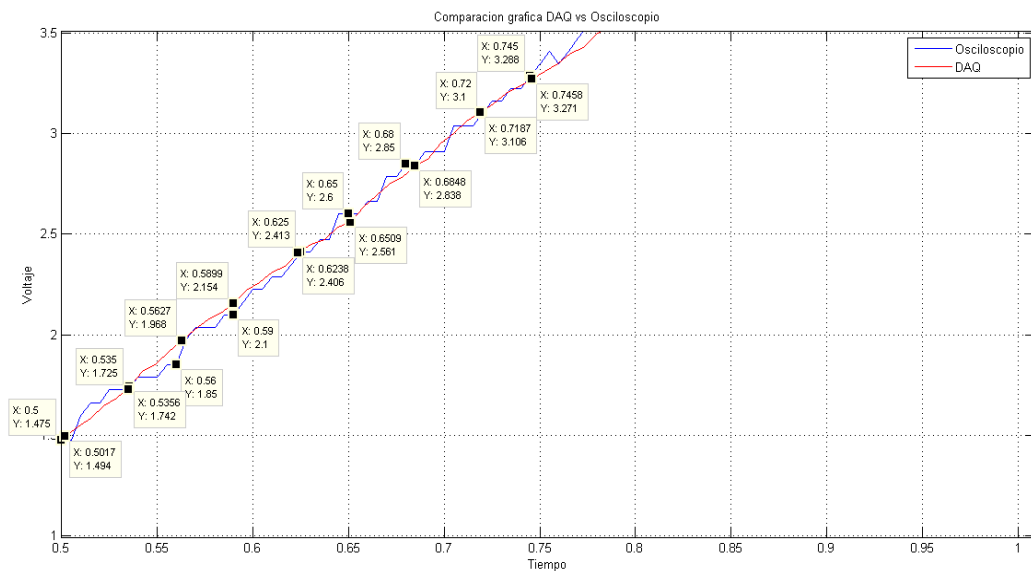


Figura 6.6.2: Comparación de subida.

Tabla de datos

Tiempo DAQ	Tiempo Osciloscopio	Diferencia (ms)	Valor DAQ	Valor Osciloscopio	Error (mV)
0.5017	0.5	1.7	1.494	1.475	19
0.5356	0.535	0.6	1.742	1.725	17
0.56	0.5627	-2.7	1.85	1.968	-118
0.59	0.5899	0.1	2.1	2.154	-54
0.6238	0.625	-1.2	2.406	2.413	-7
0.6509	0.65	.9	2.561	2.6	-39
0.6848	0.68	4.8	2.838	2.85	-12
0.7187	0.72	-1.3	3.106	3.1	6
0.7458	0.745	.8	3.271	3.288	-17

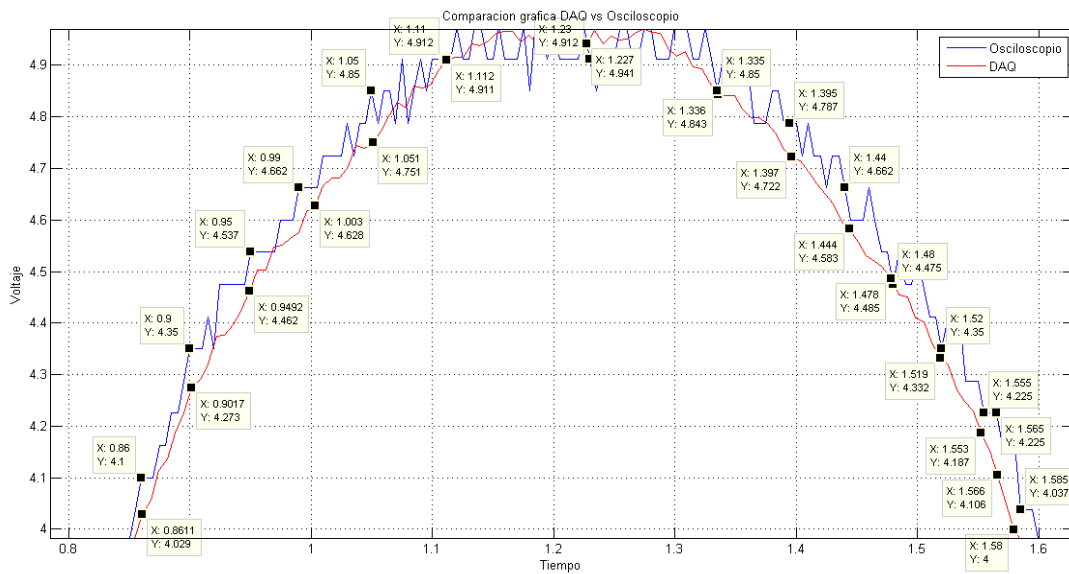


Figura 6.6.3: Comparación cambio de sentido de giro.

Tabla de datos:

Tiempo DAQ	Tiempo Osciloscopio	Diferencia (ms)	Valor DAQ	Valor Osciloscopio	Error (mV)
0.8611	0.86	1.1	4.029	4.1	-71
0.9017	0.9	1.7	4.273	4.35	-77
0.9492	0.95	-0.8	4.462	4.537	-75
1.003	0.99	13	4.628	4.662	-34
1.051	1.05	1	4.751	4.85	-99
1.112	1.11	2	4.911	4.912	-1
1.227	1.23	-3	4.941	4.912	29
1.336	1.335	1	4.843	4.85	-7
1.397	1.395	2	4.722	4.787	-65
1.444	1.44	4	4.583	4.662	-79
1.478	1.48	-2	4.485	4.475	10
1.519	1.52	-1	4.332	4.35	-18
1.553	1.555	-2	4.187	4.225	-38
1.566	1.565	1	4.106	4.225	-119
1.58	1.585	-5	4	4.037	-37

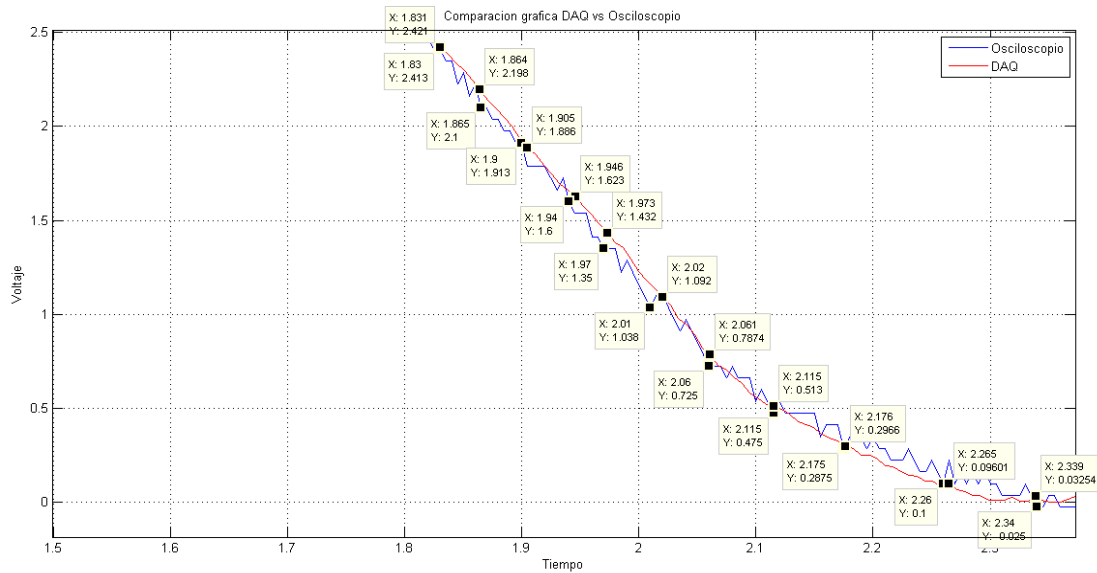


Figura 6.6.4: Comparación de bajada.

Tabla de datos

Tiempo DAQ	Tiempo Osciloscopio	Diferencia (ms)	Valor DAQ	Valor Osciloscopio	Error (mV)
1.831	1.83	1	2.421	2.413	8
1.864	1.865	-1	2.198	2.1	98
1.905	1.9	5	1.886	1.913	-27
1.946	1.94	6	1.623	1.6	23
1.973	1.97	3	1.432	1.35	82
2.02	2.01	10	1.092	1.038	54
2.061	2.06	1	0.7874	0.725	62.4
2.115	2.115	0	0.513	0.475	38
2.176	2.175	1	0.2966	0.2875	9.1
2.265	2.26	5	0.09601	0.1	-3.99
2.339	2.34	-1	0.03254	0.025	7

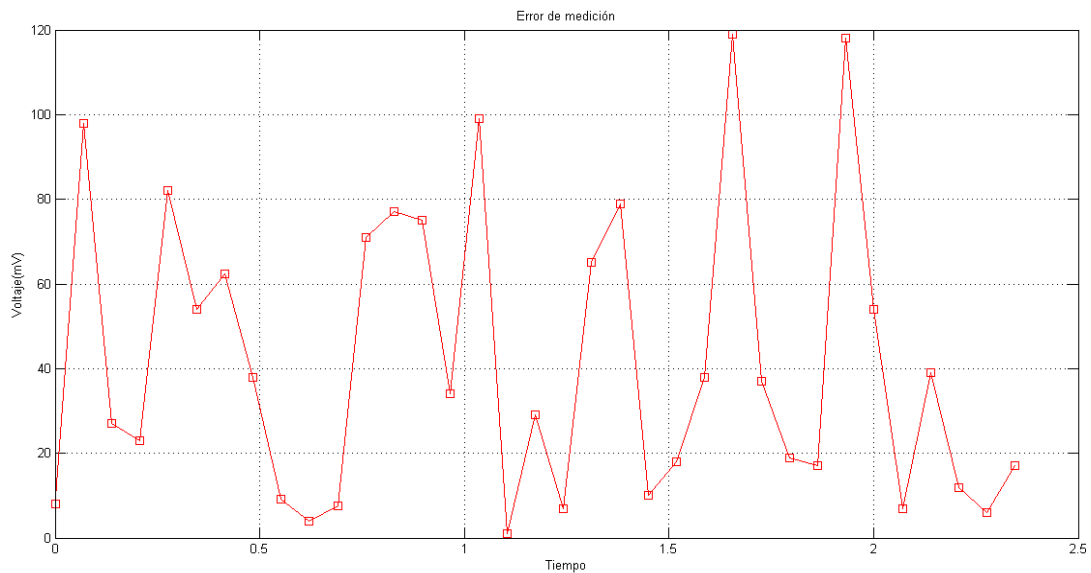


Figura 6.6.5: Gráfica del error de medición.

Error promedio:

$$error = \left| \frac{\sum error}{n} \right|$$

n-> Número de muestras

$$error = \frac{1461.03}{35} = 41.7437142857mV$$

El error promedio es menor de 42mV, por lo tanto se puede confiar en el DAQ para calcular el modelo de la planta.

6.7 Proceso de identificación de la función de transferencia

Para encontrar el modelo se utilizó el programa matlab versión 2013b, este permite identificar la función de transferencia a partir de una gráfica.

El primer paso fue obtener la gráfica de la respuesta al escalón de la planta utilizando el DAQ, para ello se utilizó el *instrument control toolbox* de Simulink.

La Figura 6.7.1 muestra los bloques contenidos dentro del *instrument control toolbox*.

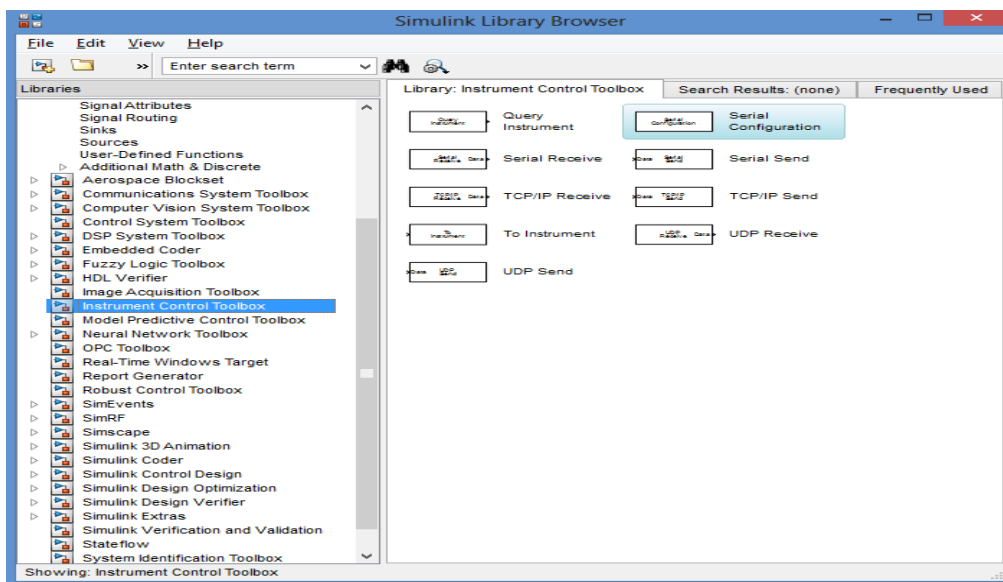


Figura 6.7.1: Simulink instrument control toolbox.

Para construir el modelo se utilizaron los siguientes bloques:

Serial configuration .- Define el puerto de comunicación y se definen los parámetros de comunicación con el DAQ.

- Serial receive.- Bloque encargado de recibir los datos enviados por el DAQ.
- Demux.- Demultiplexor 1 a 2.
- Scope.- Gráfica los datos enviados por el DAQ.
- Out1.- Guarda los datos recibidos por el DAQ en una matriz.

A continuación se muestra el modelo construido con los bloques mencionados anteriormente:

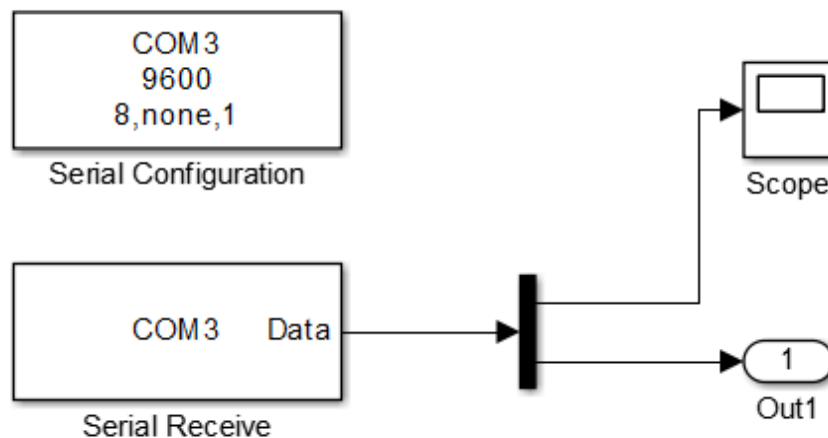


Figura 6.7.2: Modelo del sistema de comunicación.

Una vez construido el modelo, el siguiente paso fue conectar el DAQ al puerto de comunicación serie, el bloque encargado de recibir los datos espera el primer dato en buffer para iniciar el proceso de recepción. Los datos recibidos por el DAQ se muestran en la gráfica de la Figura 6.7.3.

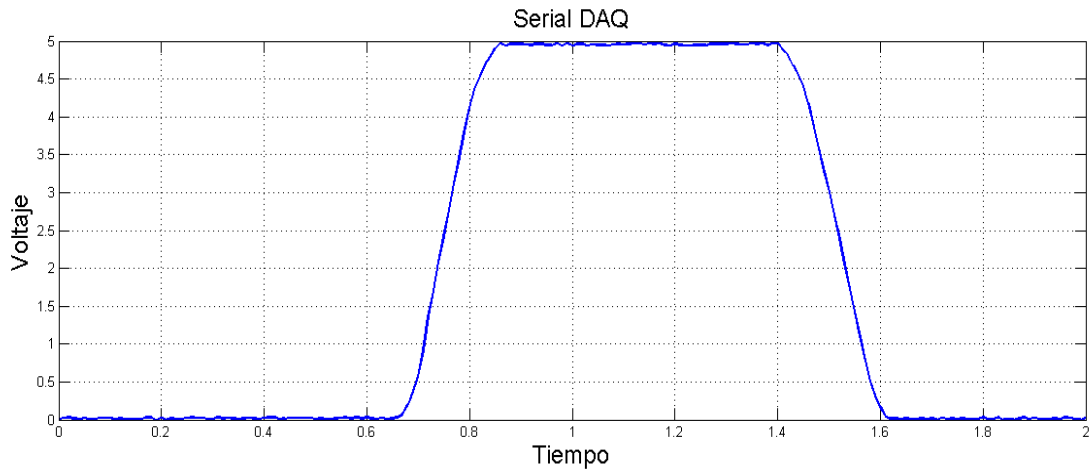


Figura 6.7.3: Datos recibidos por el DAQ.

6.8 Actualización del firmware del DAQ

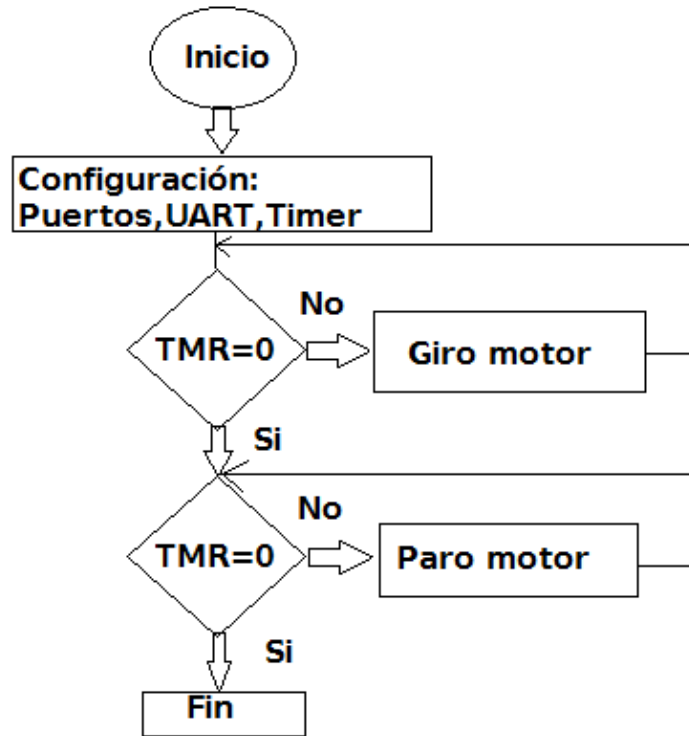
Es claro que el firmware utilizado para hacer las comparaciones no iba a ser válido para encontrar la función de transferencia de la planta, por lo tanto, era necesario hacer ajustes, el primer ajuste es que ya no es necesario regresar el motor a su posición inicial, dicho de otra forma, no es necesario llevarlo de 5Volts a 0Volts.

Observando la señal que arroja Simulink, el cambio más importante fue optimizar el código, por lo que se puede observar de la Figura 6.7.3, Simulink empieza a registrar los datos del DAQ, pero aproximadamente es hasta los 600ms que el DAQ empieza a mandar los datos, una razón pudiera ser que lo que está registrando Simulink es el ruido inducido, también se debe tomar en cuenta que como el firmware utiliza iteraciones y comparaciones para establecer el tiempo de giro del motor, esto representa tiempo, si a eso le sumamos el código que añade ruido y el tiempo que le toma sumar el ruido a la señal de salida resulta en un código no apto para ser utilizado por software especializado como lo es Simulink, por lo tanto se va a pasar de iteraciones a la utilización del *timer* del microcontrolador.

La ventaja que presenta la utilización del *timer* es muy simple, con su utilización se consiguen tiempos de ejecución controlados, dicho de otra manera, se establecen bloques de acciones para ser ejecutados en un periodo de tiempo máximo.

Para el nuevo firmware se definió un tiempo de ejecución por bloque máximo de 500ms, este tiempo puede ser establecido a cualquier otro, se tomó .5s para fines de prueba, en la Figura 6.8.1 se muestra el diagrama de flujo.

Diagrama de flujo del nuevo firmware del DAQ



6.8.1: Diagrama de bloques.

Una vez actualizado el firmware del DAQ se procede a recibir los datos mediante el *toolbox de comunicación* de Simulink, la Figura 6.8.2 muestra la salida.

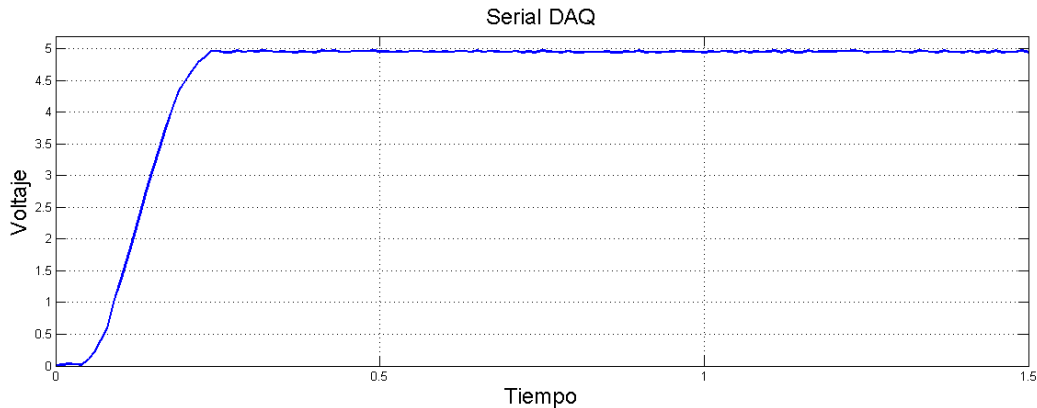


Figura 6.8.2: Datos recibidos por el DAQ.

En la Figura 6.8.2 se puede observar tres bloques de datos de 500ms cada uno, si la comparamos con la figura anterior (Figura 6.7.3), este nuevo firmware esta optimizado para ser utilizado con el software de Matlab.

Cabe resaltar que la utilización de un bootloader permite añadir nuevas características al dispositivo, permite concentrarse únicamente en el diseño del firmware sin la necesidad de añadir nuevos componentes al hardware, o bien sin la necesidad de crear un algoritmo para la adición de nuevas funciones en el firmware.

Una vez que se tienen los datos arrojados por el DAQ se utilizó la herramienta de identificación de sistema para encontrar la función de transferencia de la planta.

La herramienta se puede invocar mediante el comando *ident*.

fx>>ident

La herramienta de identificación requiere que se especifique el número de polos y zeros, para encontrar el número exacto se utilizó la metodología dada en Control Tutoriais for Matlab & Simulink, el cual parte del modelo electromecánico del motor.

6.9 Modelo electromecánico de la planta

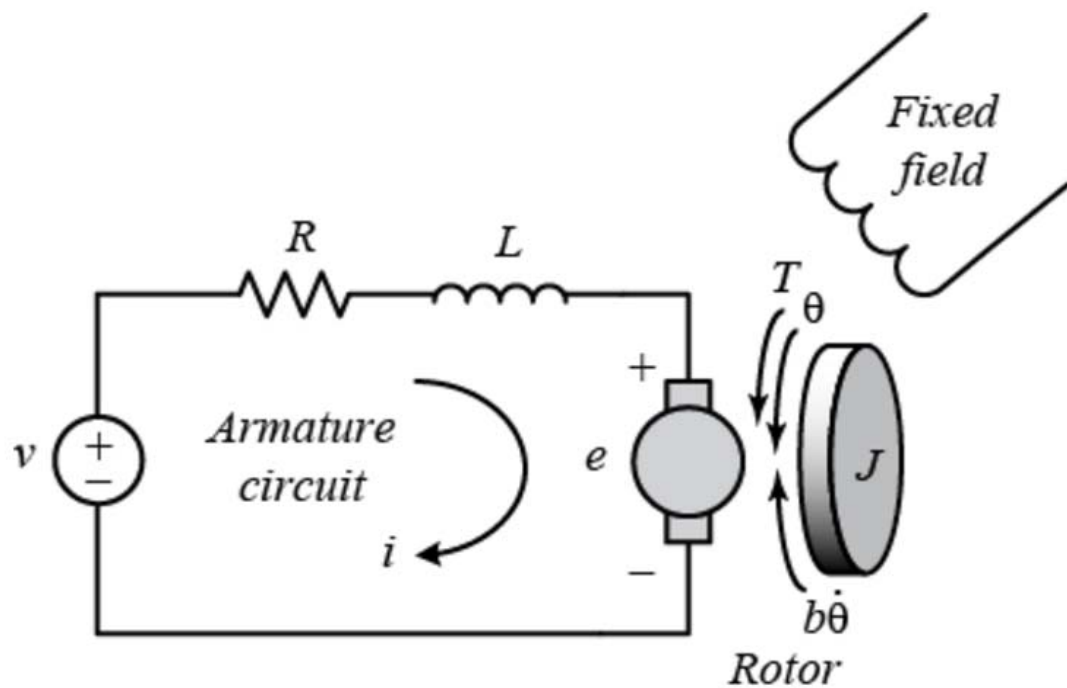


Figura 6.9.1: Modelo electromecánico.

Se define el torque como la corriente de la armadura multiplicado por el factor de proporcionalidad K_t :

$$T = iK_t [N.m * A] \quad \dots \text{ecuación 1}$$

Se define la fuerza electromagnética o back-emf por sus siglas en inglés como una relación lineal con la velocidad angular multiplicada por un factor K_b :

$$e = \dot{\theta} K_b \left[\frac{rad * V}{seg} \right] \quad \dots \text{ecuación 2}$$

Utiliza la ley de voltaje de Kirchhoff y la segunda ley de Newton para obtener la siguiente ecuación:

$$\begin{aligned}
 K_t &= K_b \\
 J\ddot{\theta} + b\dot{\theta} &= Ki \\
 L\frac{di}{dt} + Ri &= V - K\dot{\theta}
 \end{aligned}
 \quad \dots \text{ecuación 3}$$

Se aplica la transformada de Laplace

$$\begin{aligned}
 s(Js + b)\theta(s) &= KI(s) \\
 (Ls + R)I(s) &= V(s) - Ks\theta(s)
 \end{aligned}
 \quad \dots \text{ecuación 4}$$

Encuentra la función de transferencia de lazo abierto para velocidad

$$P(s) = \frac{\dot{\theta}(s)}{V(s)} = \frac{K}{(Js + b)(Ls + R) + K^2} \left[\frac{\text{rad}}{\text{seg} \cdot \text{V}} \right] \quad \dots \text{ecuación 5}$$

Por último la función de transferencia de lazo abierto para posición

$$P(s) = \frac{\theta(s)}{V(s)} = \frac{K}{s((Js + b)(Ls + R) + K^2)} \left[\frac{\text{rad}}{\text{V}} \right] \quad \dots \text{ecuación 6}$$

6.10 Utilización de matlab para la identificación de la planta

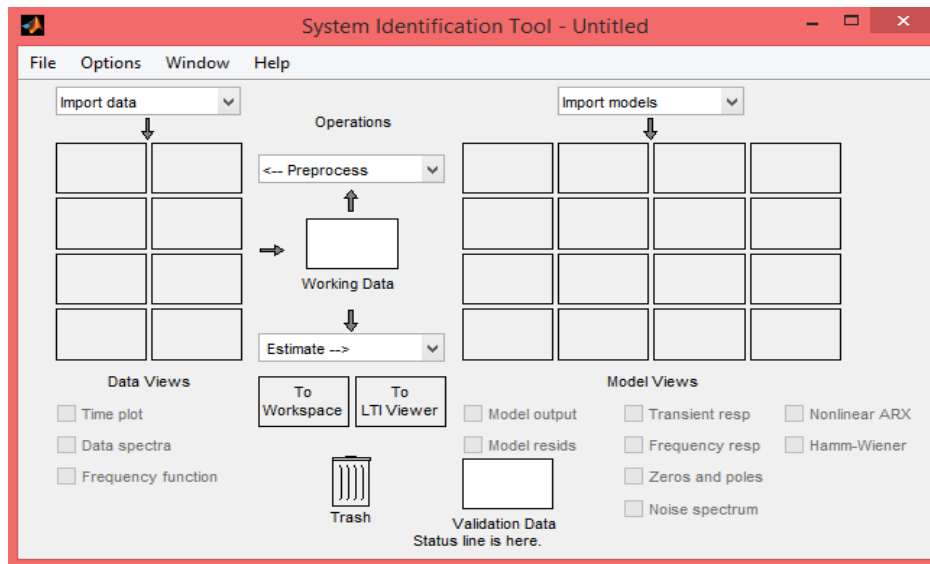


Figura 6.10.1: Ventana principal de la herramienta de identificación.

Como la variable de interés es la posición, puesto que el potenciómetro hace una trayectoria que va de 0V a 5V, u otra forma de verlo sería que hace un trayecto de 0 a 180 grados, de las ecuaciones del modelo electromecánico se sabe que los valores requeridos son 3 polos y ningún zero.

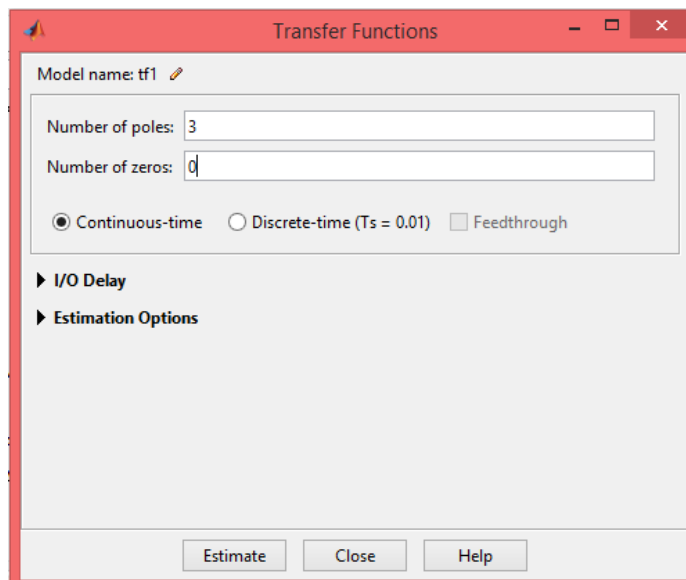


Figura 6.10.2: Definiendo polos y zeros.

6.10.1 Resultados de la identificación

Una vez establecidos (s) el número de polos y zeros, el programa empieza a estimar la función de transferencia de la planta, una vez que el programa finaliza los cálculos muestra el porcentaje de concordancia, para este caso fue del 98.22%, cabe señalar en este punto que gracias a la adición de ruido y a la adecuación del firmware del DAQ, se obtiene este porcentaje de concordancia, la Figura 6.10.3 muestra el resultado de la identificación:

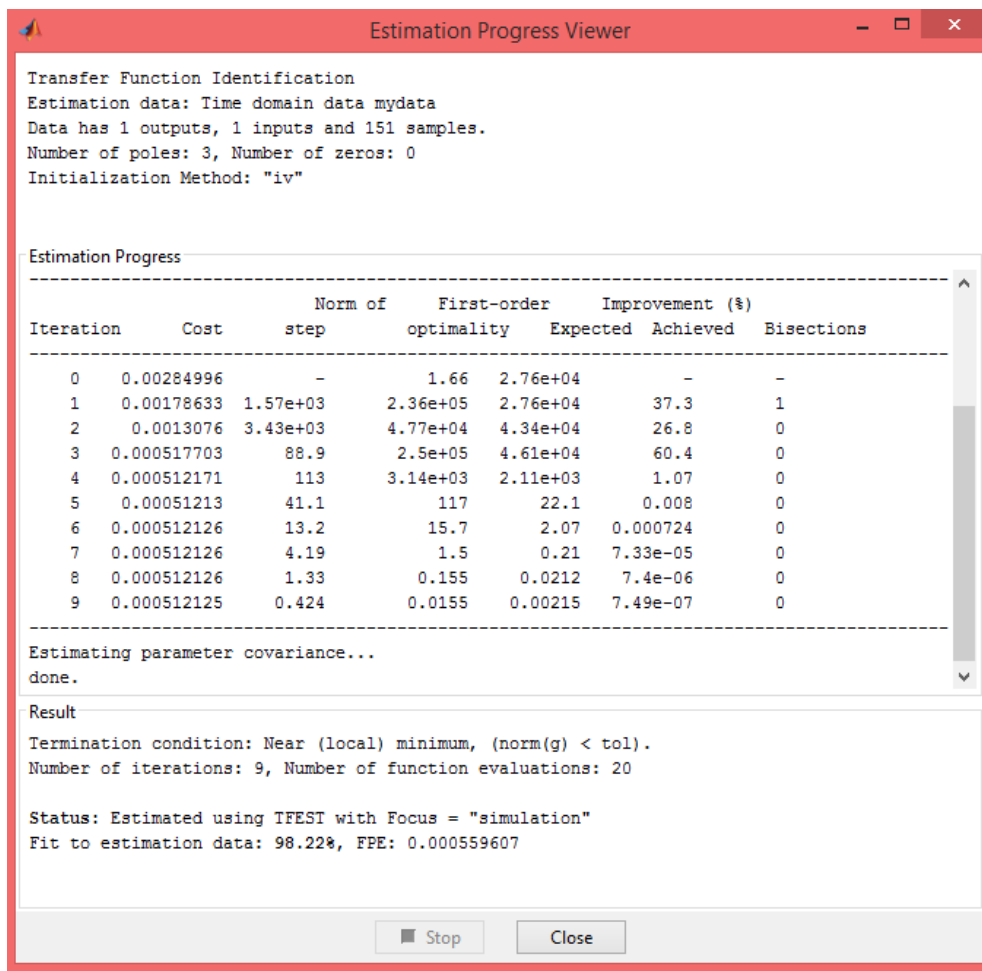


Figura 6.10.1.1: El resultado tiene un 98.22% de concordancia con la señal física.

Para comprobar el modelo obtenido se va a comparar con la señal física contra el modelo calculado por el software de identificación, la Figura 6.10.1.2 muestra ambas señales:

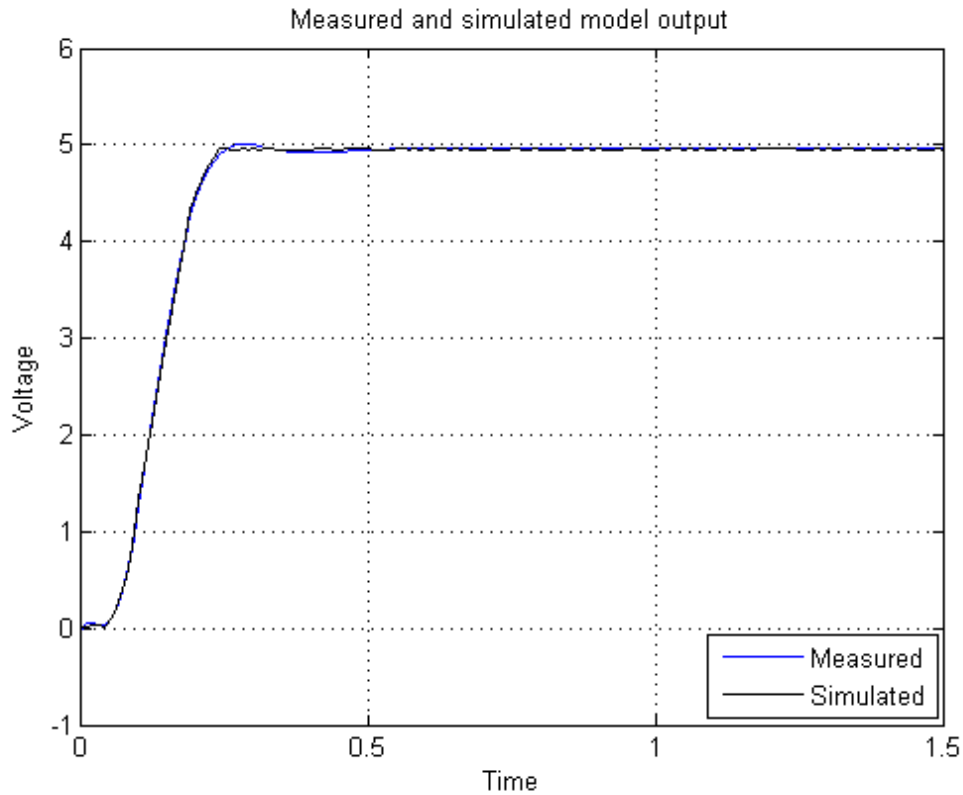


Figura 6.10.1.2: Comparación de la señal física con el modelo encontrado.

La función de transferencia es la siguiente:

$$tf = \frac{3134}{s^3 + 41.79s^2 + 962.7s + 8722}$$

6.11 Transformada Z del controlador PID

Una vez que se obtuvo el modelo de la planta, el siguiente paso fue diseñar el controlador digital, partiendo de la estructura paralela del control PID y a partir de ella se calculó la transformada Z.

Forma paralela

$$u(t) = K_p e(t) + K_i \int_0^t e(\tau) d\tau + K_d \frac{de(t)}{dt}$$

Aplicando la transformada de Laplace

$$\frac{H(s)}{e(s)} = K_p + \frac{K_i}{s} + K_d s$$

Aplicando la transformada Z

$$\left. \frac{H(s)}{e(s)} \right|_{s=\frac{1-z^{-1}}{T}} = K_p + \frac{K_i T}{1-z^{-1}} + \frac{K_d(1-z^{-1})}{T}$$

Para facilitar los cálculos se definió las ganancias de la siguiente manera

$$K_p = K_p$$

$$K_i = K_i T$$

$$K_d = \frac{K_d}{T}$$

Desarrollando con este nuevo formato se obtiene la siguiente ecuación:

$$\frac{H(z)}{e(z)} = \frac{K_p + K_i T + \frac{K_d}{T} + z^{-1}(-K_p - 2(\frac{K_d}{T})) + \frac{K_d}{T} z^{-2}}{1 - z^{-1}}$$

Para poder implementar esta ecuación en un microcontrolador es necesario pasarla a su forma diferencial

Se definen:

$$K1 = K_p + K_i T + \frac{K_d}{T}$$

$$K2 = -K_p - 2\left(\frac{K_d}{T}\right)$$

$$K3 = \frac{K_d}{T}$$

Por lo tanto la ecuación (1) se puede escribir de la siguiente manera:

$$\frac{H(z)}{e(z)} = \frac{K1 + K2z^{-1} + K3z^{-2}}{1 - z^{-1}}$$

Desarrollando la ecuación

$$H(z)(1 - z^{-1}) = (K1 + K2z^{-1} + K3z^{-2})e(z)$$

$$H(z) - H(z)z^{-1} = (K1 + K2z^{-1} + K3z^{-2})e(z)$$

$$H(z) - H(z)z^{-1} = e(z)K1 + e(z)K2z^{-1} + e(z)K3z^{-2}$$

z^{-n} representa un retardo en tiempo, por lo tanto para pasar de la transformada. Z al tiempo utilizo una k para representarlo:

$$z^0 = k$$

$$z^{-1} = k - 1$$

$$z^{-2} = k - 2$$

Sustituyendo:

$$H(k) - H(k - 1) = e(k)K1 + e(k - 1)K2 + e(k - 2)K3$$

$$H(k) = H(k - 1) + e(k)K1 + e(k - 1)K2 + e(k - 2)K3$$

Por último se restablecieron los valores de K1,K2 y K3 para obtener la ecuación final.

$$H(k) = H(k-1) + e(k)(K_p + k_i T + \frac{K_d}{T}) + e(k-1)(-k_p - 2(\frac{K_d}{T})) + e(k-2)\frac{K_d}{T}$$

6.12 Modelo del controlador en simulink

Para modelar y encontrar las ganancias para los parámetros k1, k2 y k3 se utilizó el programa simulink versión 8.2.

Se establecieron los parámetros necesarios del modelo en un archivo m.

%E. David Rojas Serrano <edx@edx-twin3.org>

%Variables para el modelo

clc

%K1 = Kp+(Ki*Ts)+(Kd/Ts);

Kp=0.363;

%K2 = -Kp-2*(Kd/Ts);

Ki=1.277;

%K3 = Kd/Ts;

Kd=0;

%Tiempo de muestreo

Ts = 0.01;

Cabe señalar que los valores para los parámetros Kd, Ki y Kp se eligieron de forma totalmente aleatoria, prácticamente es para que el programa de Simulink pudiera simular la respuesta del controlador con estos valores para posteriormente ajustarlos, mientras que el parámetro Ts corresponde al tiempo de muestreo, el cual tiene un valor de 10 ms, lo que corresponde a 100Hz, dicho de otra manera toma 100 muestras cada segundos, este valor fue elegido basado en el tiempo de ejecución del microcontrolador, por ejemplo, para una frecuencia de 1KHz se tiene un periodo de 1ms, si se toma en cuenta el tiempo que le toma al ADC cuantificar la señal de entrada, más el tiempo en los cálculos de la señal de control,

más el tiempo para adecuar la señal de control, el microcontrolador pudiera no ser capaz de cumplir con este tiempo de muestreo.

Tomemos como ejemplo el siguiente código, el cual consiste en multiplicar dos números fraccionarios, y redondear el resultado de la operación:

```
while(1)
{
  a=1.2;
  b=0.4;
  c=a*b;
  d=(int) c;
  for(;;){}
}
```

El tiempo de ejecución de este código para el PIC16F1619 @ 8Mhz es de:

Stopwatch = **1.109 ms**

Más de un milisegundo, que era el tiempo de muestreo para 1KHz, cabe destacar que estas operaciones son utilizadas a la hora de calcular la señal de control, una solución sería incrementar la frecuencia del reloj, con lo cual pudiera ser o no necesario un cristal externo, lo que significa, calcular los capacitores adecuados para trabajar el microcontrolador a frecuencias elevadas (por encima de los 20MHz), por lo tanto, a menos que sea absolutamente necesario tiempos de muestreo tan rápidos y como esta tesis no tiene como fin una aplicación en específico, se eligió un tiempo de muestreo de 10ms.

A partir de la ecuación que se calculó, se diseñó la estructura del controlador PID:

$$H(k) = H(k-1) + e(k)\left(K_p + k_i T + \frac{K_d}{T}\right) + e(k-1)\left(-k_p - 2\left(\frac{K_d}{T}\right)\right) + e(k-2)\frac{K_d}{T}$$

La planta utiliza la función de transferencia que se encontró en el apartado *modelación matemática de la planta*:

$$tf = \frac{3146}{s^3 + 41.87s^2 + 965.4s + 8757}$$

Modelo final del sistema:

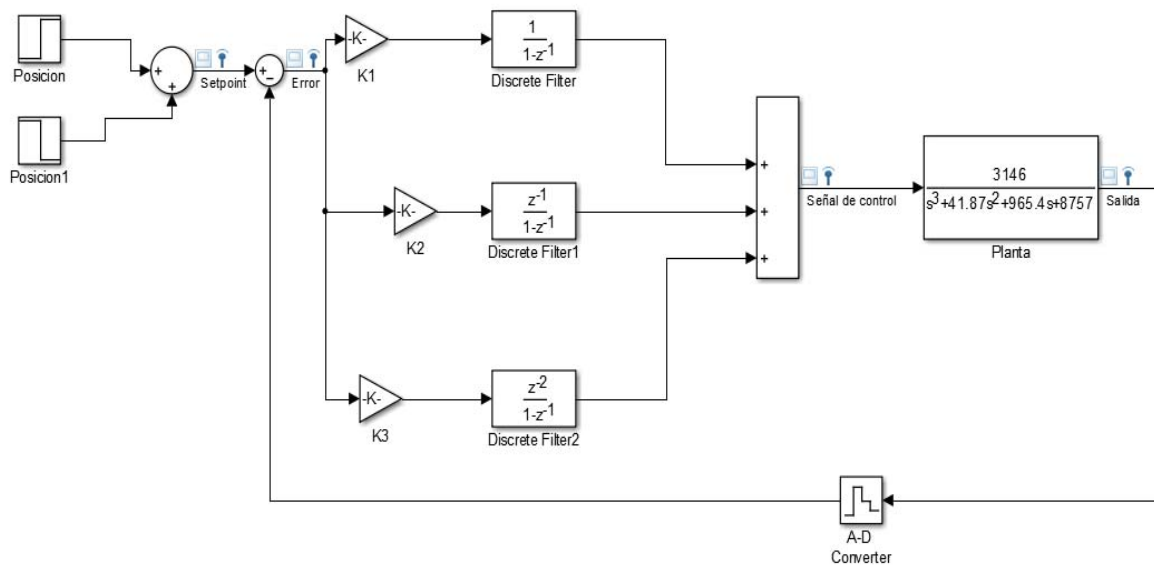


Figura 6.12.1: Modelo para Simulink del sistema.

6.13 Respuesta del sistema no sintonizado

El setpoint de posición que va a entrar al sistema para ver su comportamiento se definió para que fuera de 0 a 180 grados (0V-5V) y de 180 a 0 grados (5V-0V).

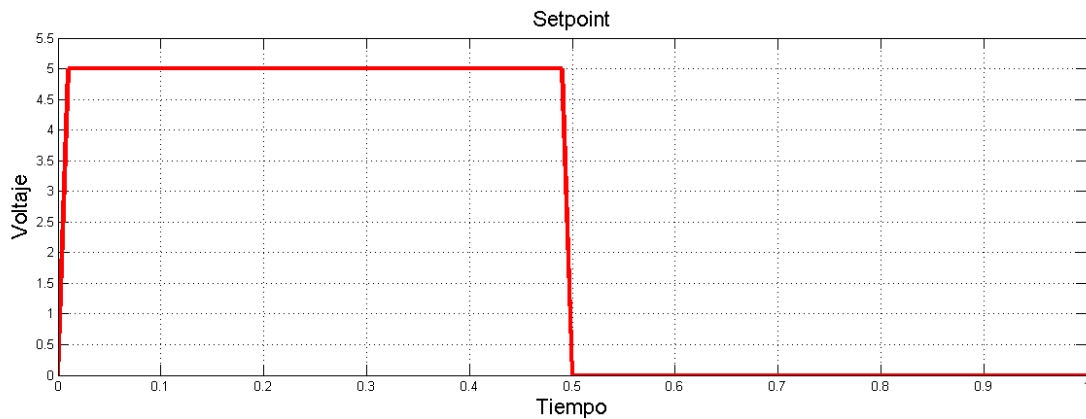


Figura 6.13.1: Setpoint de entrada al sistema.

La Figura 6.13.2 muestra el setpoint (rojo) vs la respuesta del controlador (azul)

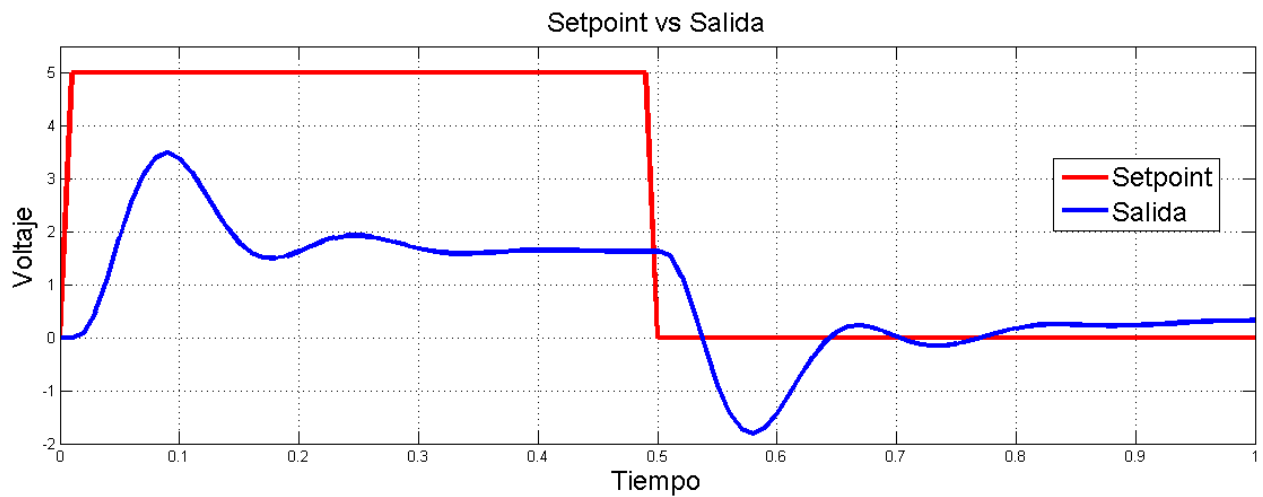


Figura 6.13.2: Setpoint vs respuesta del controlador.

La Figura 6.13.3 muestra la señal de control

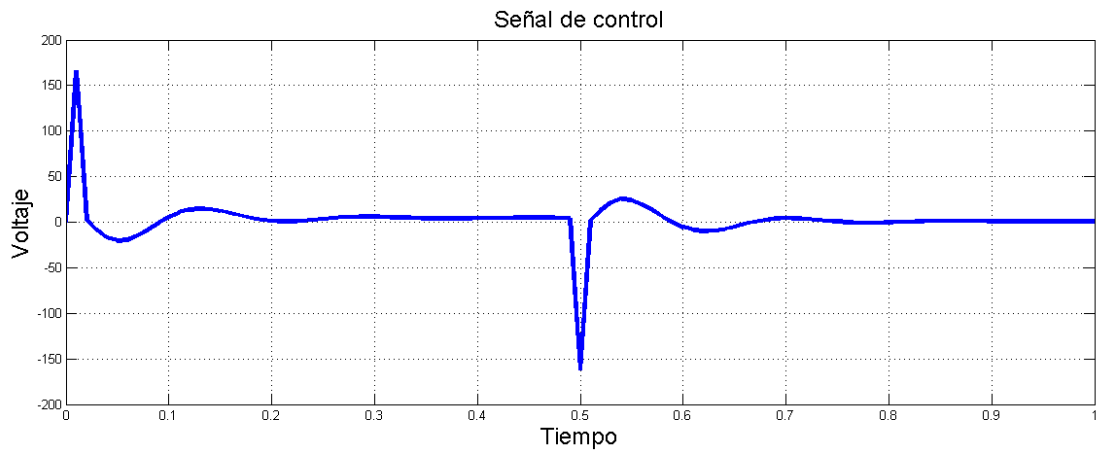


Figura 6.13.3: Señal de control.

La Figura 6.13.4 muestra la señal del error.

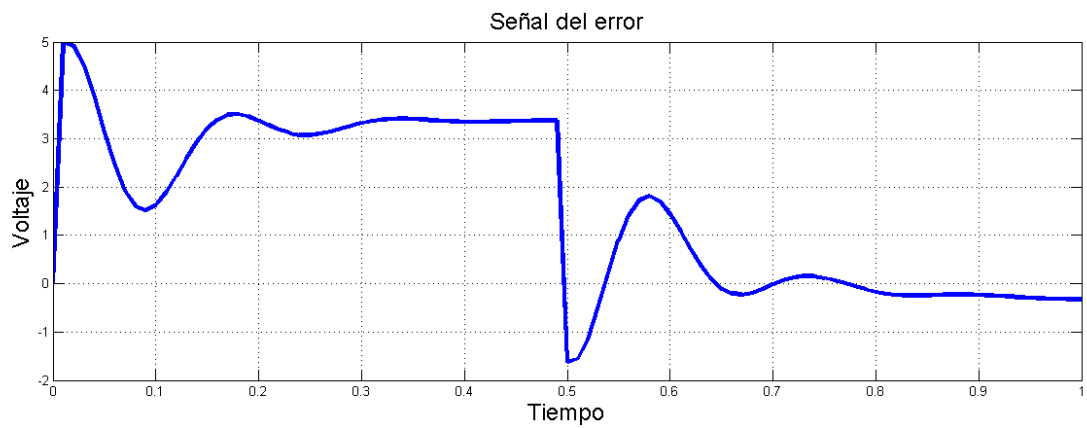
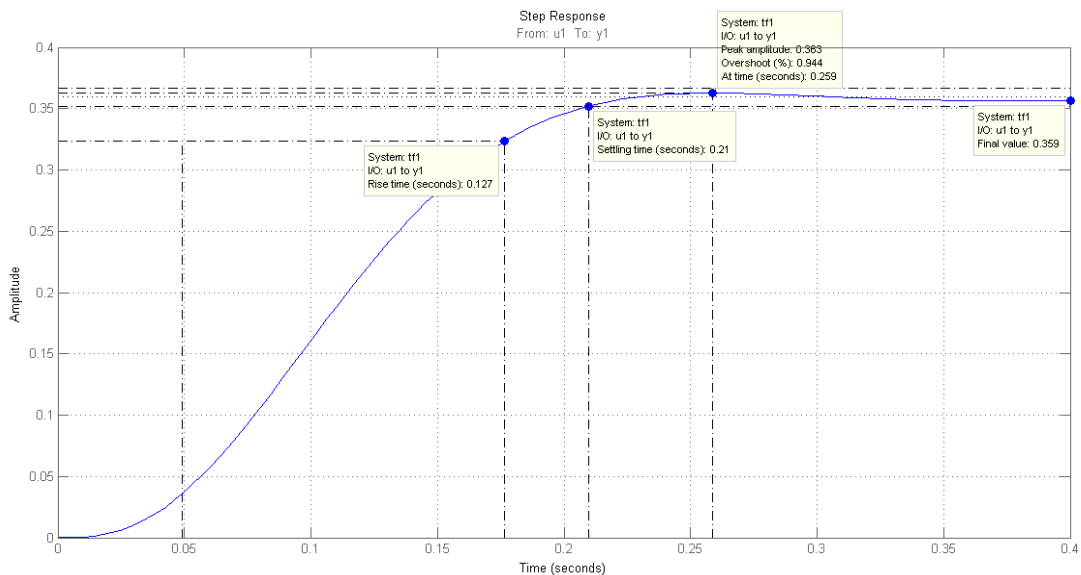


Figura 6.13.4: Señal de error.

6.14 Sintonización del sistema

Para poder sintonizar el controlador es necesario conocer los parámetros temporales de desempeño del motor, estos parámetros corresponden al tiempo de subida, máximo sobrepaso y tiempo de asentamiento.

5.14.1 Parámetros de desempeño



Gráfica 6.14.1.1: Respuesta al escalón de la planta (Motor de cd con escobillas).

Tiempo de subida	0.127 segundos
Tiempo de asentamiento	0.21 segundos
Sobrepaso	0.944%

Para sintonizar el controlador se utilizó la herramienta *design optimization* de simulink con los siguiente parámetros de desempeño, dado que solo se pretende demostrar el funcionamiento de la herramienta *desing optimization* para encontrar las ganancias del controlador, los parámetros de desempeños no cumplen con ningún requerimiento en específico, estos parámetros fueron propuestos para servir de ejemplo.

Definiendo parámetros de desempeño deseados: ((Motor de cd con escobillas)

Tiempo de subida	0.1 segundos
Tiempo de sentamiento	0.2 segundos
Máximo sobrepaso	9%

Estos parámetros son introducidos, en la ventana de la herramienta de optimización del sistema, la figura 6.14.1.2 muestra la ventana .

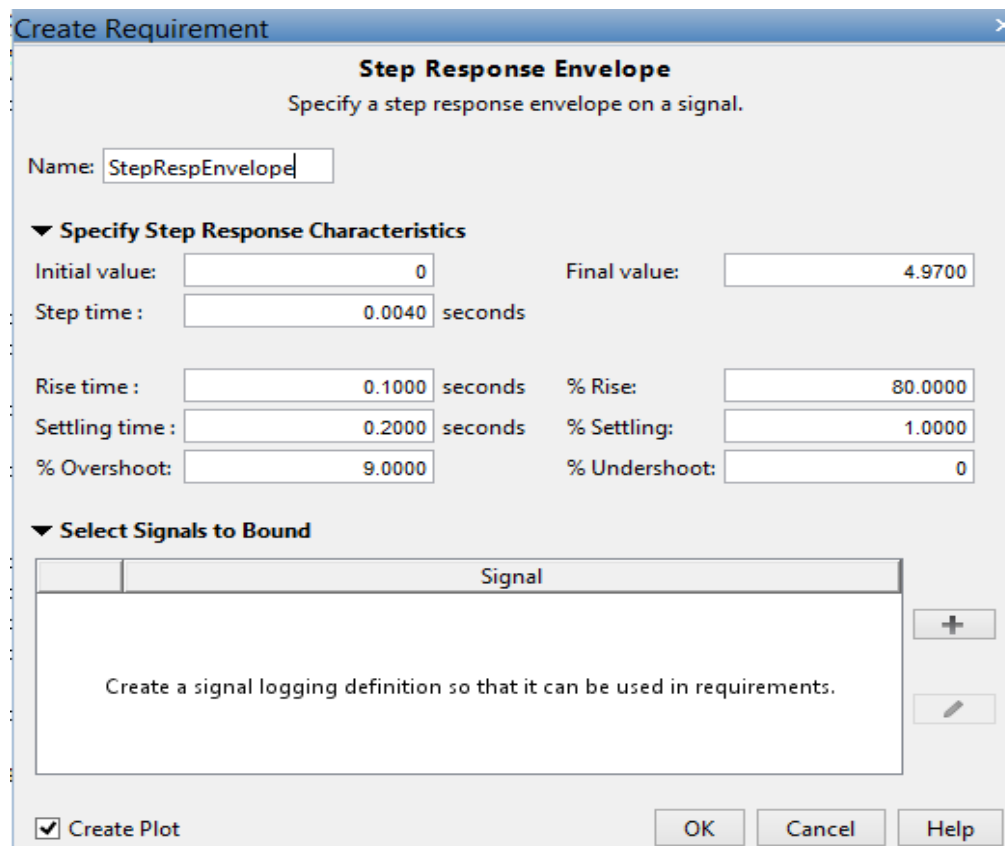


Figura 6.14.1.2: Parámetros de desempeño.

Una vez definidos los parámetros, se gráfica la salida actual de sistema, las líneas negras que presenta la Figura 6.14.1.3 son los parámetros de desempeño que se establecieron anteriormente, mientras que la señal azul corresponde a la salida actual del sistema.

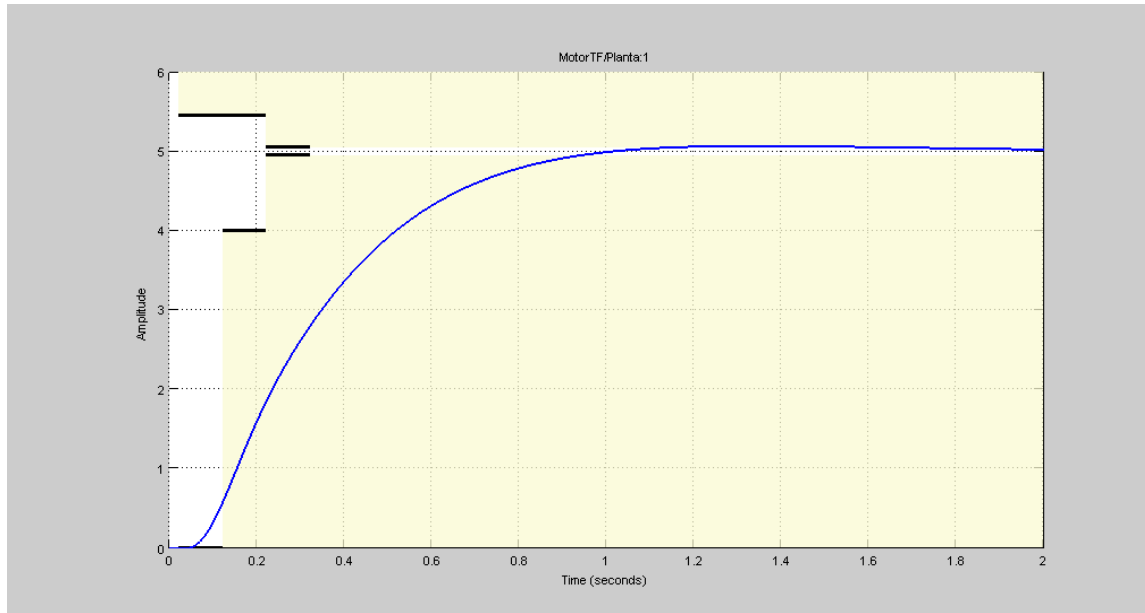


Figura 6.14.1.3 Respuesta del sistema no sintonizado:

La Figura 6.14.1.4 muestra el comportamiento del sistema una vez que han sido sintonizados el valor de los parámetros K_p , K_i , K_d que cumplen con los parámetros de desempeño establecidos desde un principio.

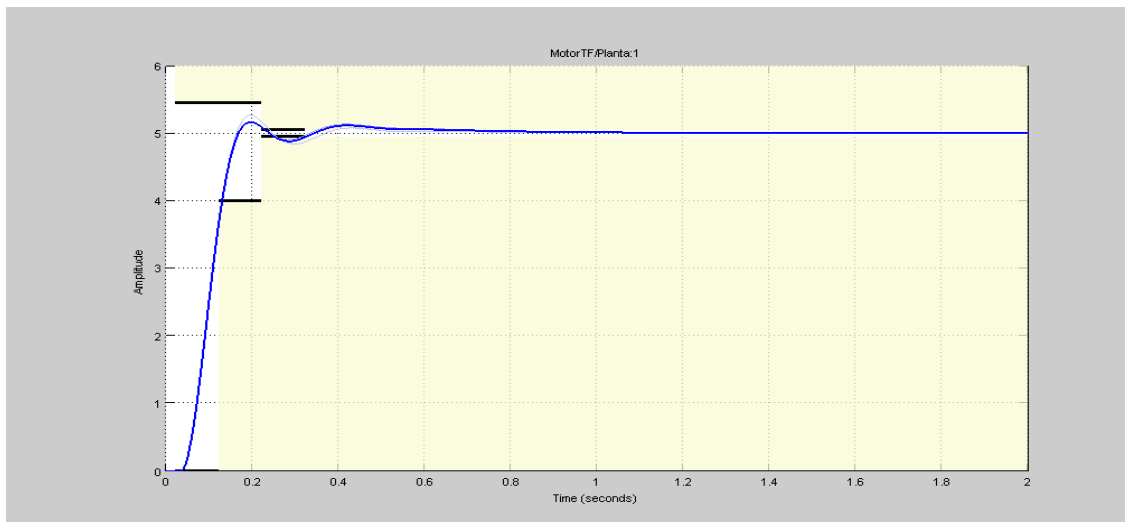


Figura 6.14.1.4: Respuesta del sistema sintonizado.

En la Figura 6.14.1.5 se puede observar la evolución de los valores para las ganancias de los parámetros del controlador PID.

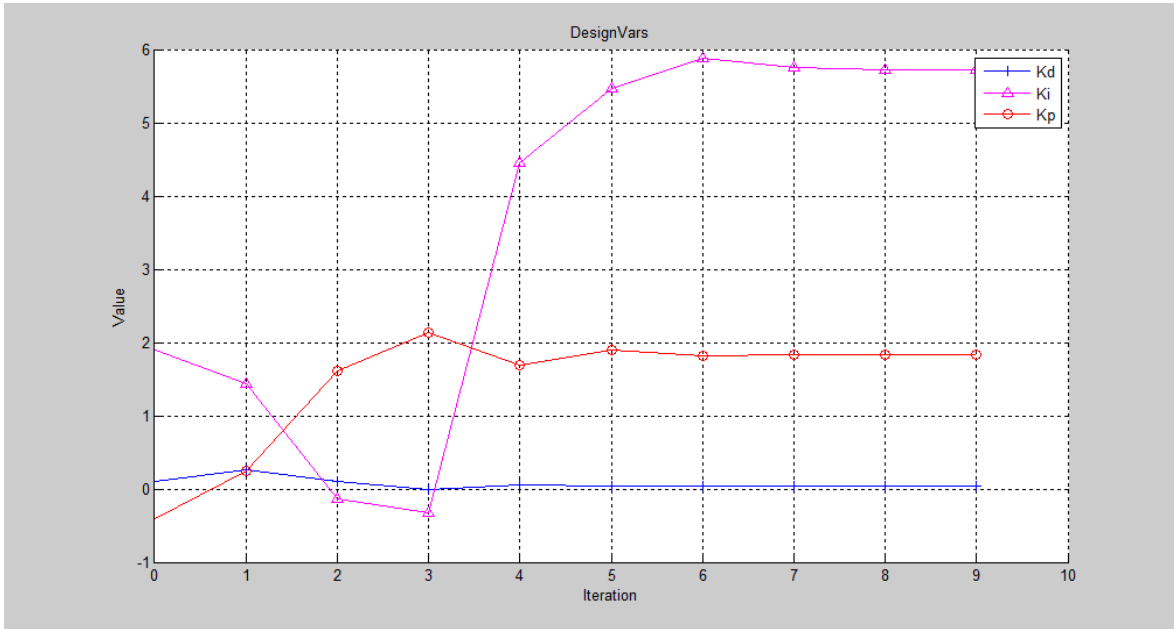


Figura 6.14.1.5: Gráfica con los ajustes de las ganancias para los parámetros K_p , K_i , K_d .

Los valores calculados por el programa para las ganancias son:

$$K_d = 0.0363$$

$$K_i = 5.1190$$

$$K_p = 1.6751$$

Comparación entre valores:

Valor Anterior	Valor Actual
$K_p = 0.363$	$K_p = 1.6751$
$K_i = 1.277$	$K_i = 5.1190$
$K_p = 0$	$K_p = 0.0363$

El programa automáticamente actualiza los valores de las ganancias, por lo tanto no es

necesario establecerlos nuevamente o sobre escribirlos.

Cabe mencionar que los resultados encontrados por el programa dependerán enteramente de los parámetros de desempeño que se le especifiquen.

Una vez obtenido el valor de las ganancias el siguiente paso es ver cómo se comporta el sistema frente al setpoint.

6.15 Resultados obtenidos

La Figura 6.15.1 muestra el setpoint (rojo) vs la respuesta del controlador (azul).

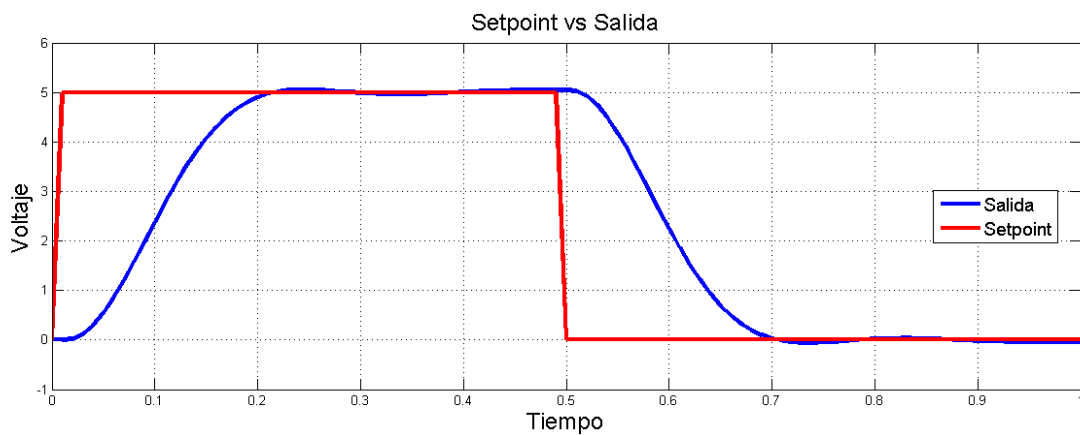


Figura 6.15.1: Setpoint vs respuesta del controlador.

La Figura 6.15.2 muestra la señal de control.

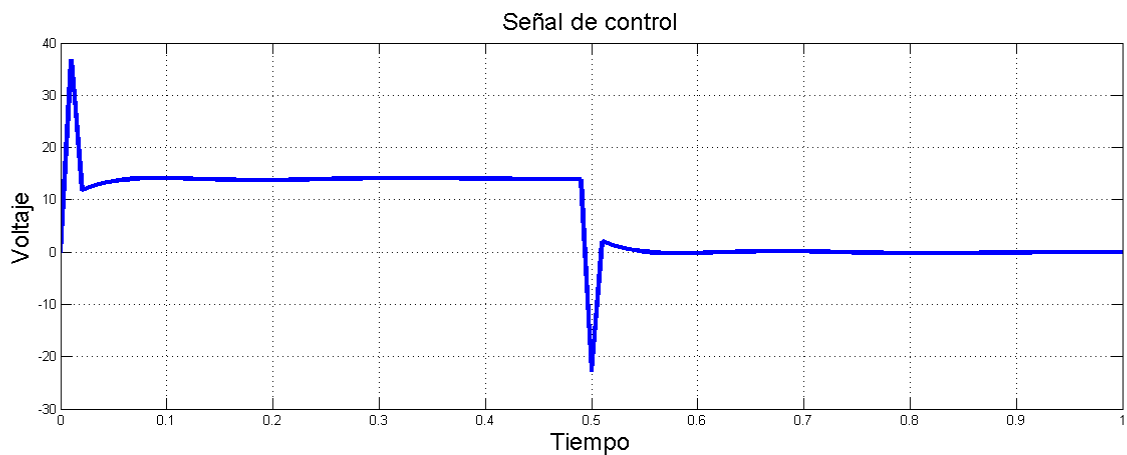


Figura 6.15.2: Señal de control.

La Figura 6.15.3 muestra la señal de error.

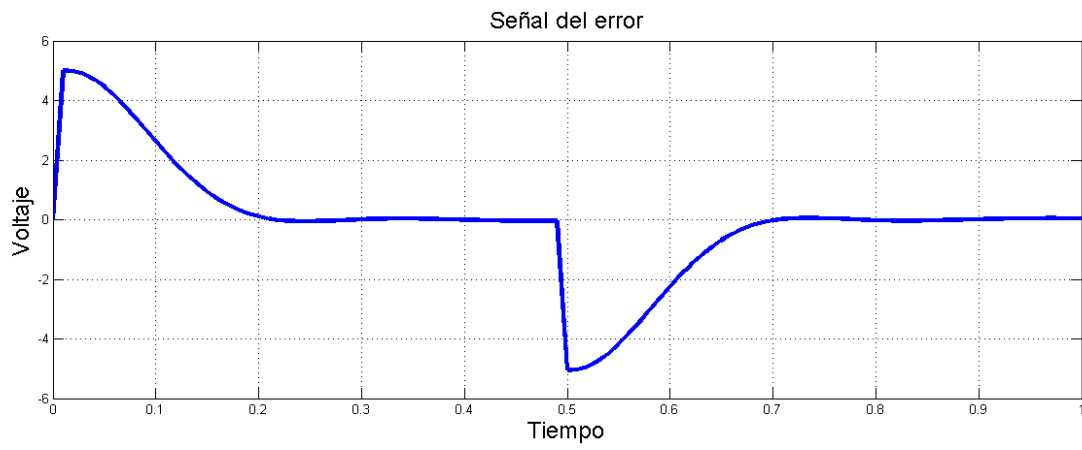


Figura 6.15.3: Señal del error.

Capítulo 7

Aplicación 2: Control de posición

7.1 Planteamiento del problema:

Se desea diseñar un control de posición utilizando un controlador PID, la posición que debe cubrir es de 0 a 180 grados, los parámetros de desempeño se dejan a criterio del estudiante.

7.2 Desarrollo

Aunque la ecuación del PID puede ser implementada por software, se utilizó las características del microcontrolador PIC16F1619, la familia de microcontroladores PIC16F161X de microchip está diseñada para proporcionar capacidades avanzadas de control de motores, entre las cuales destaca el módulo especializado para hacer control digital, generador de onda complementaria, cuatro celdas lógicas programables compatibles con lógica secuencial y combinacional y control dead-band.

En las hojas de datos del microcontrolador especifican el modelo del controlador implementado en hardware el cual es la siguiente:

$$C_0[k] = C_0[k-1] + {}^0k_1e[k] + {}^0k_2e[k-1] + {}^0k_3e[k-2]$$

Dónde:

$$K1 = K_p + K_iT + \frac{K_d}{T}$$

$$K2 = -K_p - \frac{2K_i}{T}$$

$$K3 = \frac{K_d}{T}$$

Analizando la ecuación resulta ser la transformada Z del control clásico de 3 términos que se calculó en la sección *Modelo matemático*, por lo tanto no es necesario hacer cambios posteriores en los cálculos obtenidos.

Se utilizó el bootloader J16F1619 para desarrollar el firmware, la ventaja que presenta la

utilización de un bootloader en este tipo de sistemas puede ser la mejor opción y esto es debido a que es de vital importancia tomar en cuenta lo siguiente:

- El valor de las ganancias (K_d , K_i y K_p) son números signados no enteros, dicho de otra forma, sería necesario definir la longitud de bits para el número entero y la mantisa.
- Puede ser necesario hacer ajustes de las ganancias o las ecuaciones.
- Tiempo de diseño

Hasta este punto se tiene lo siguiente:

1. Ecuaciones del controlador PID discreto.
2. Modelo de la planta (función de transferencia).
3. Modelo del controlador en Simulink.
4. Optimización de los parámetros K_p , K_i , y K_d .

Por lo tanto ya solo es necesario calcular los valores de las ganancias, y adecuar la señal de control la cual se va a mandar al puente H, para controlar la posición del motor.

Antes de continuar, basado en la poca experiencia que he adquirido en las prácticas de la materia de diseño de controladores sé, que la mejor opción para el control de un motor es utilizar un controlador PI en vez de utilizar un PID, recordemos que la aparte derivativa mide que tan rápido cambia el error, entre más rápida sea la tasa de cambio, la acción derivativa va actuar contra la salida para restringirla, si el error no cambia esto puede llevar a un sobre paso o hacer inestable el sistema, por lo tanto se va a utilizar un PI.

El Cuadro 7.2.1 muestra los valores iniciales que van a servir para obtener la respuesta del sistema no sintonizado.

Valores de los parámetros K_d , K_i y K_p	
K_p	0
K_i	0.9
K_d	1
T_s	0.01

Cuadro 7.2.1: Valores iniciales de los parámetros del controlador.

Primero se define el setpoint, este va de 0 grados a 180 grados, después pasa de 180 grados a 90 grados (5Volts-2.5Volts), por último pasa de 90 grados a 0 grados (0Volt-5Volts) La Figura 7.2.1 muestra el setpoint que entra al sistema:

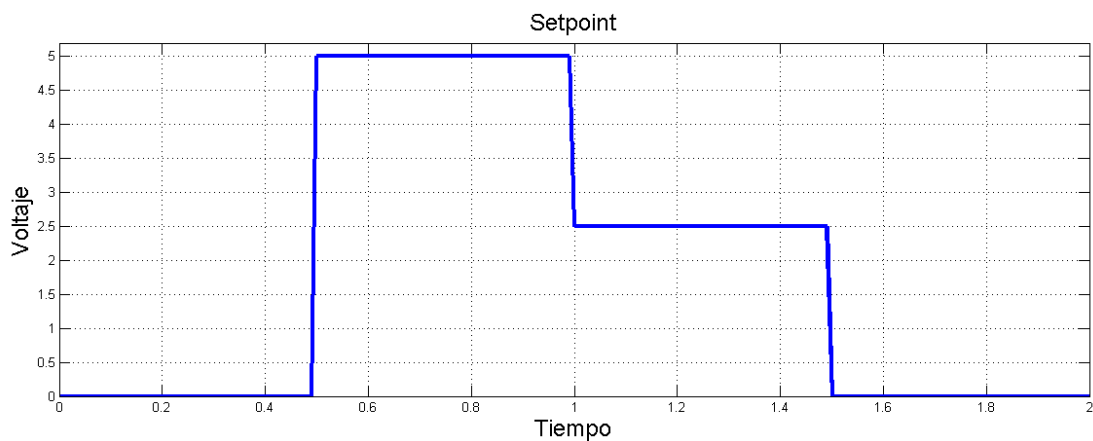


Figura 7.2.1: Setpoint.

La Figura 7.2.2 muestra la salida del controlador frente el setpoint.

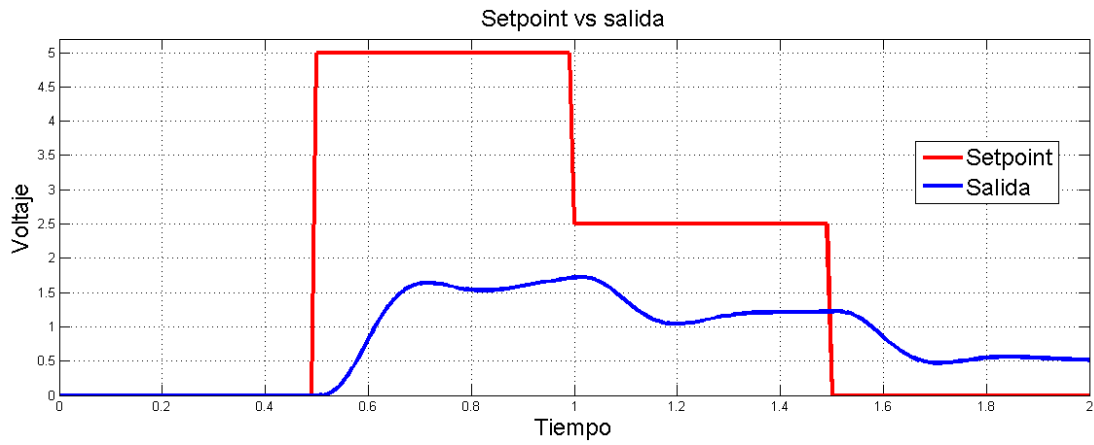


Figura 7.2.2: Setpoint vs salida del sistema.

La Figura 7.2.3 muestra la señal de control

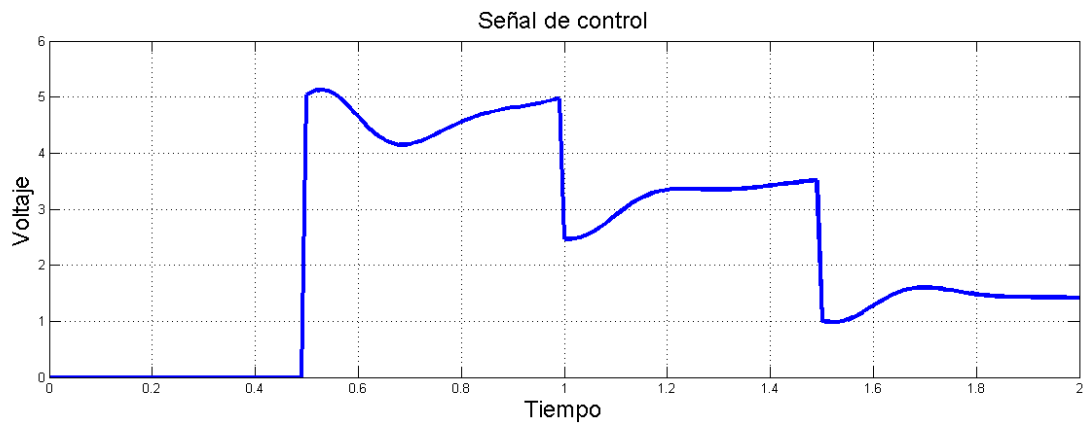


Figura 7.2.3: Señal de control.

La Figura 7.2.4 muestra la señal del error



Figura 7.2.4: Señal del error.

Se definen los parámetros de desempeño deseados. El Cuadro 7.2.2 muestra los valores utilizados para este proyecto, cabe mencionar que estos valores no cumplen criterios o valores de desempeños en específico, se establecieron de esta forma para servir puramente de ejemplo.

Rise time [seg]	0.2207	%Rise	80
Settling time [seg]	0.3376	%Settling time	.7
% Overshoot	3.7026	%Undershoot	0

Cuadro 7.2.2: Parámetros de desempeño.

En la Figura número 7.2.5 se puede ver la salida actual del sistema, las líneas negras corresponden a los parámetros de desempeño que se establecieron anteriormente, mientras que la señal azul corresponde a la salida actual del sistema de control con parámetros de control iniciales.

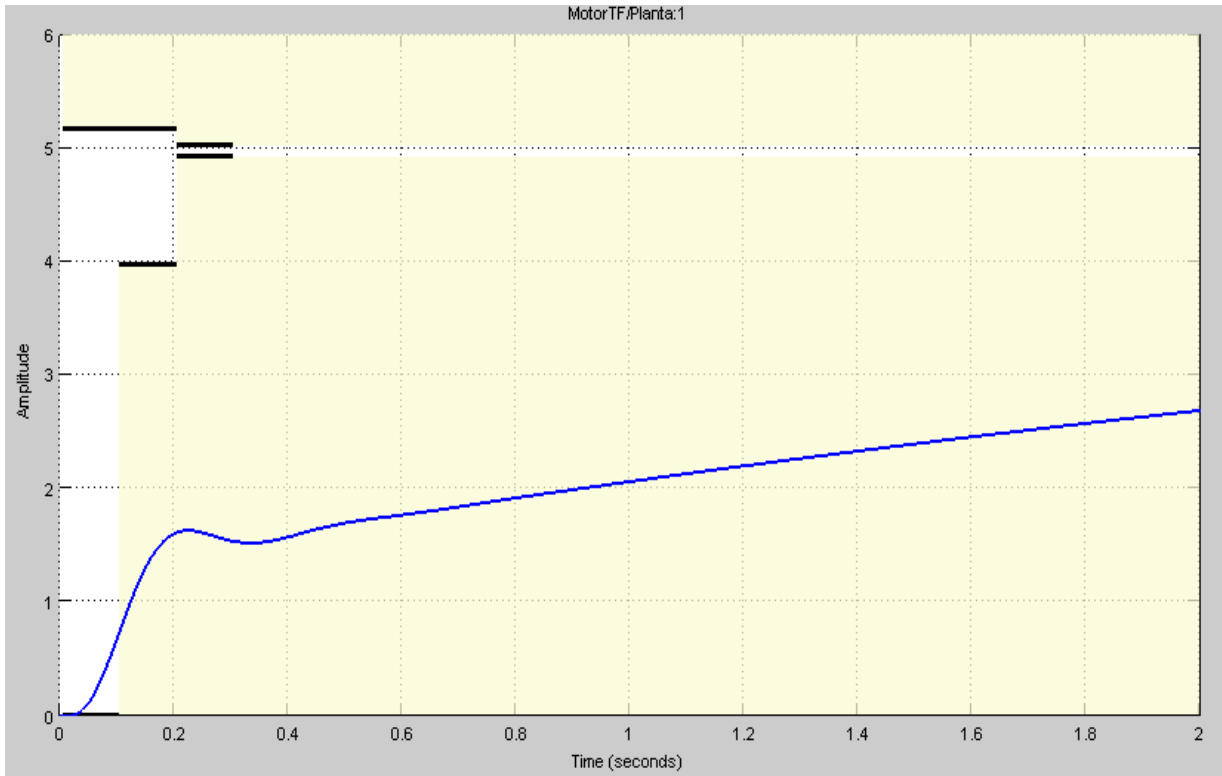


Figura 7.2.5: Salida del sistema actual.

En la Figura número 7.2.6 se puede observar la salida del sistema una vez que han sido sintonizados los parámetros del controlador, se puede notar como la respuesta (señal color azul) encaja en los parámetros de desempeño (líneas negras).

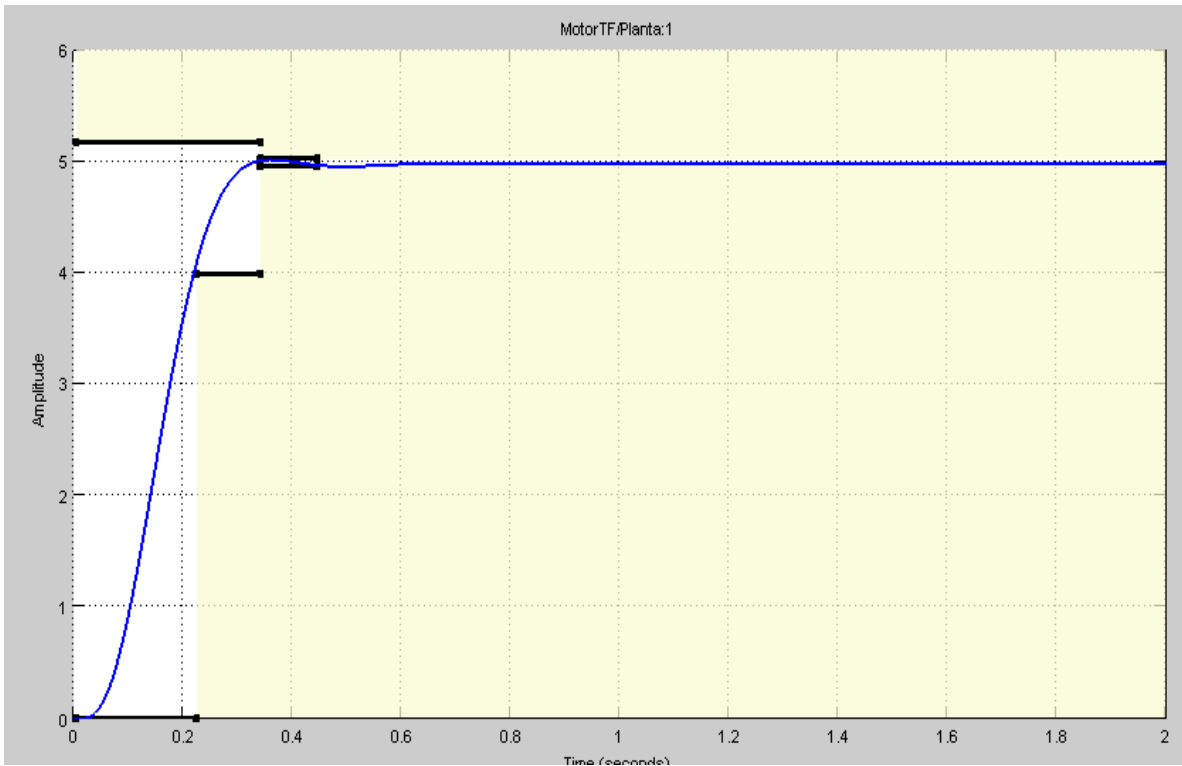


Figura 7.2.6: Salida del sistema sintonizado.

El Cuadro 7.2.3 muestra los valores encontrados para los parámetros K_p , K_i y K_d

Valores de los parámetros K_d, K_i y K_p	
K_d	0
K_i	17.811992
K_p	0.79190

Cuadro 7.2.3: Valores de los parámetros K_d , K_i y K_p .

Para comprobar los valores encontrados por el software, se va a definir de nuevo el setpoint inicial para ver su comportamiento, se espera que esta vez la señal de salida siga al setpoint de forma aceptable, si es así, se tendría el comportamiento de la señal de control.

Es importante conocer la señal de control para poderla analizar, y de esta forma encontrar una ecuación capaz de adecuarla para que pueda ser inyectada en la planta, aunque también pudiera darse el caso que no es necesario adecuar la señal de control.

La Figura 7.2.7 muestra el setpoint frente a la salida del sistema.

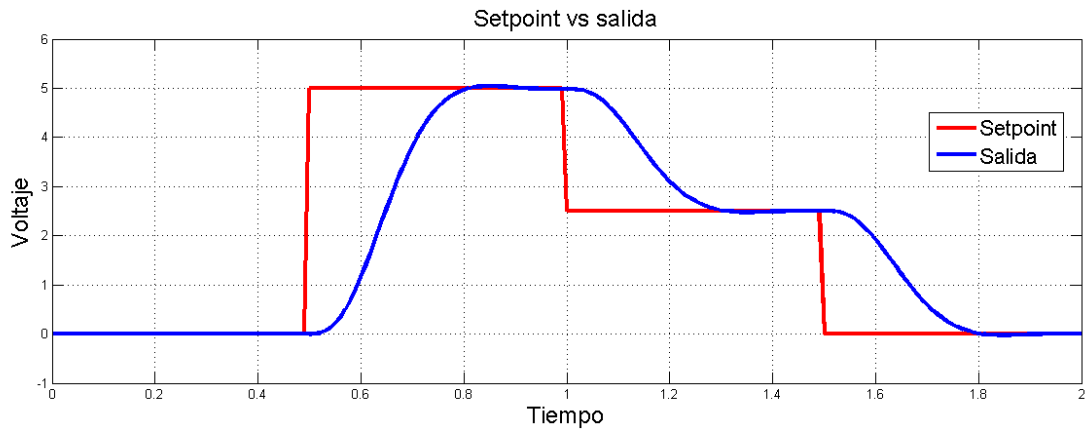


Figura 7.2.7: Setpoint contra la salida.

La Figura 7.2.8 muestra la señal de control

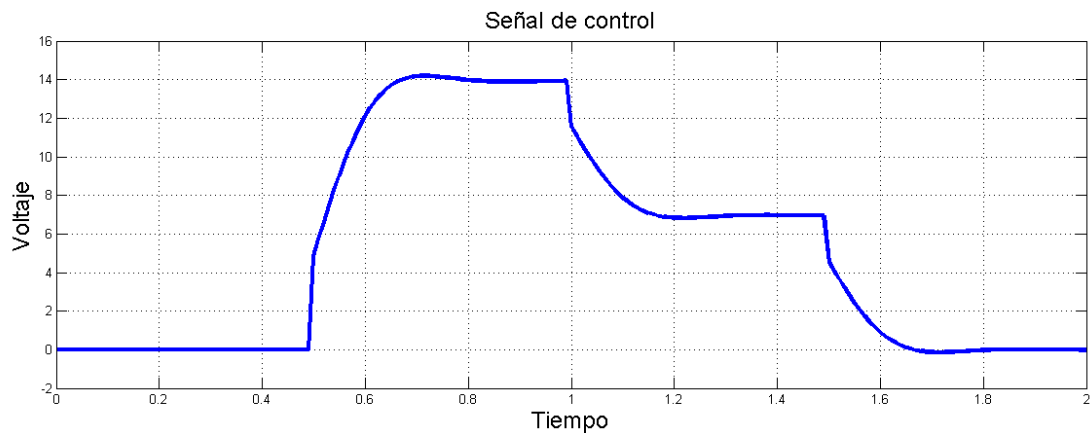


Figura 7.2.8: Señal de control.

La Figura 7.2.9 muestra la señal del error.

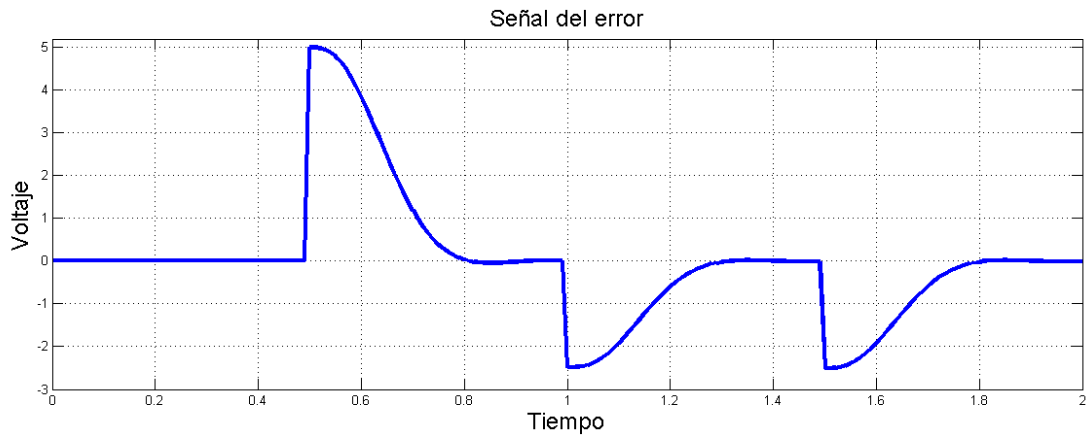


Figura 7.2.9: Señal del error.

Como se puede observar en la Figura 7.2.9 el sistema responde de forma aceptable, entendiéndose por aceptable que su respuesta es mejor que la mostrada en la Figura 7.2.4, por lo tanto se procede a analizar la señal de control con el fin de adecuarla para ser utilizada por un puente H.

7.3 Análisis de la señal de control

De la señal de control se analizaron tres puntos de interés, el primero corresponde al cambio brusco que hace el motor al pasar de 0 grados a 180 grados, el segundo corresponde al cambio de 180 grados a 90 grados y por último de 90 grados a 0 grados, la Figura 7.3.1 muestra los datos arrojados por la señal de control en estos tres puntos.

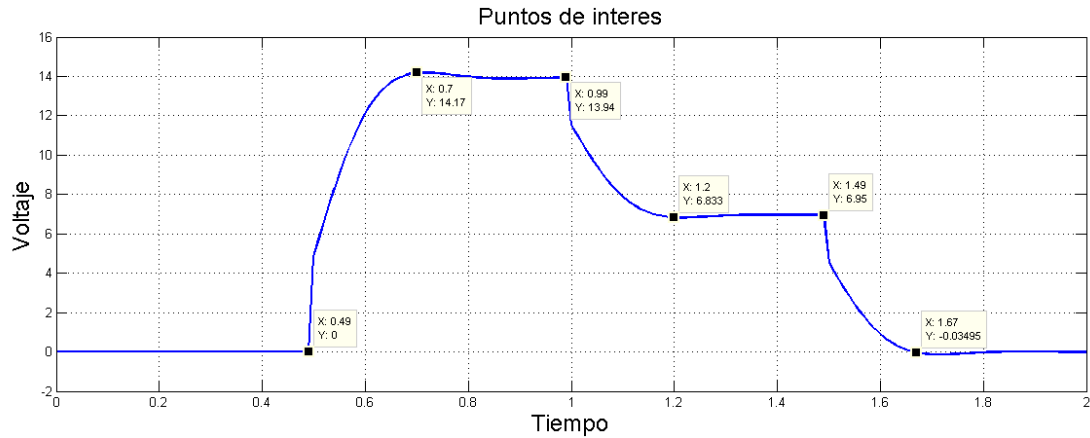


Figura 7.3.1: Puntos de interés.

El Cuadro 7.3.1 muestra los datos obtenidos

Posición [Grados]	Valor actual [Volts]	Valor final [Volts]
0-180	0	14.17
180-90	13.94	6.833
90-0	6.95	-0.0349

Cuadro 7.3.1: Valores obtenidos.

7.3.1 Aproximación I

De la tabla se puede extraer el valor máximo para adecuar la señal de control a los niveles de voltaje de entrada que van de 0 Volts a 5 Volts, se tendría que escalar la señal por un factor de 5/14.17.

La Figura 7.3.1.1 muestra el resultado de esta acción.

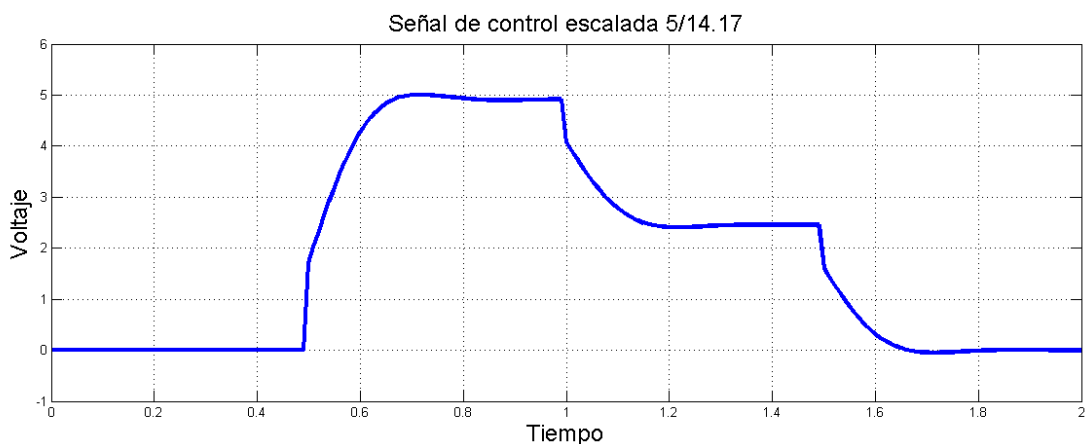


Figura 7.3.1.1: Señal de control reducida por un factor de 5/14.17.

Con esta reducción se espera encontrar los niveles adecuados para ser tratada, el Cuadro 7.3.1.1 muestra los nuevos valores obtenidos:

Posición [Grados]	Valor actual [Volts]	Valor final [Volts]
0-180	0	5.002
180-90	4.917	2.411
90-0	2.453	-0.02816

Cuadro 7.3.1.1: Valores obtenidos.

Con estos nuevos valores obtenidos se podría encontrar una relación lineal, si definimos 5Volts como un ciclo de trabajo del 100% entonces se tendría la siguiente relación:

$$DutyCicle = \frac{U_{volt} * 100}{5} [\%]$$

$$U_{volt} \rightarrow Voltaje_señal_control$$

El problema viene con el sentido de giro del motor, por lo tanto, esta relación solo es válida ya sea para giros positivos (0 grados a 180 grados) o negativos (180 grados a 0 grados), pero no para ambos, por lo tanto, solo sirve parcialmente.

7.3.2 Aproximación II

Una segunda aproximación serial calcular la razón de cambio de la señal de control.

La Figura 7.3.2.1 muestra la señal de control frente a la razón de cambio de la misma.

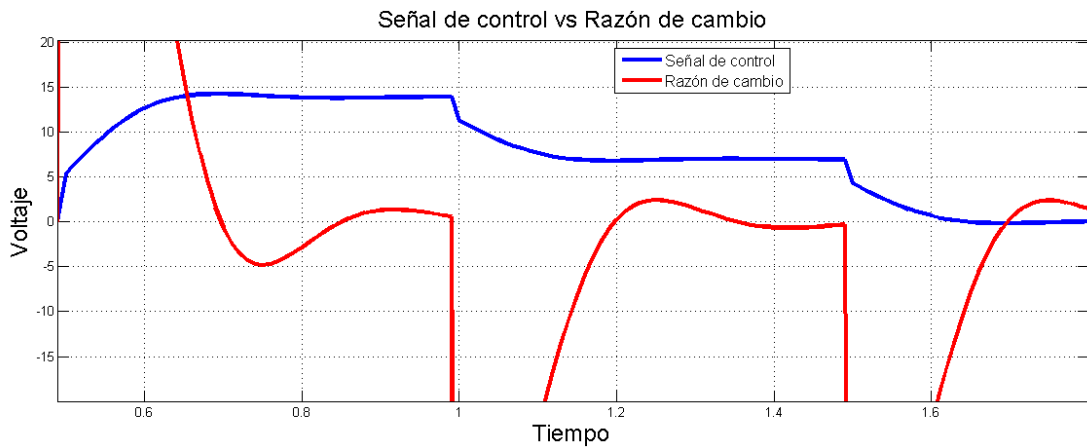


Figura 7.3.2.1: Señal de control vs razón de cambio.

La Figura 7.3.2.2 muestra la derivada de la señal de control

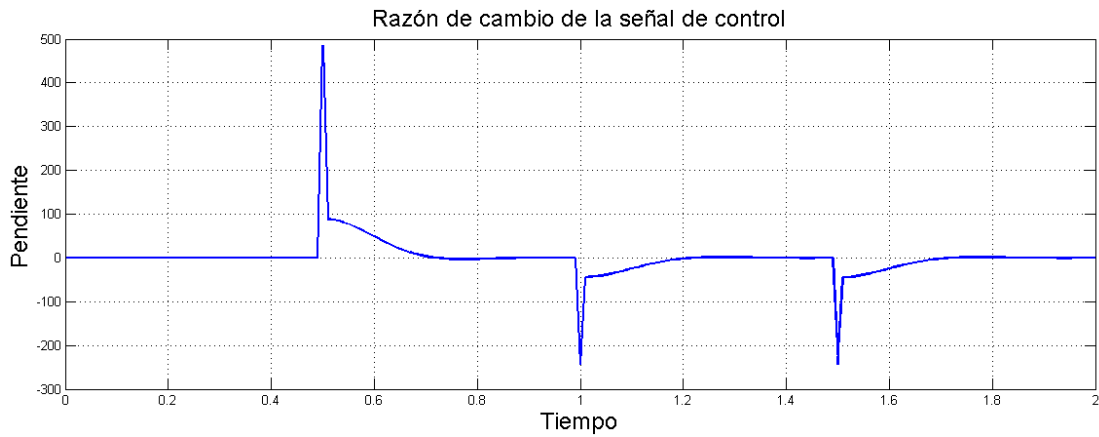


Figura 7.3.2.2: Derivada de la señal de control.

Analizando la razón de cambio de la señal de control, se obtienen pendientes que pueden corresponder al ciclo de trabajo de la señal PWM, lo mejor de todo es que no presenta el problema de la aproximación I, la cual solo es válida para un sentido de giro, en este caso el signo de la pendiente indica el sentido de giro, por lo tanto, la razón de cambio de la señal de control puede ser utilizada para controlar la posición del motor, en el Cuadro 7.3.2.1 se muestran los valores de las pendientes en puntos de interés:

Posición [Grados]	Signo	Rango
0-180	Positivo	485 a 0.02161
180-90	Negativo	-242.2 a 0.559
90-0	Negativo	-242.7 a 0.6269

Cuadro 7.3.2.1: Valores obtenidos.

7.4 Ecuación de la razón de cambio de la señal de control

La ecuación que define el cambio para la señal de control es la siguiente:

$$\frac{\Delta y}{\Delta x} = \frac{y_{k+1} - y_k}{x_{k+1} - x_k}$$

Como se sabe que el tiempo de muestreo es de 0.01ms entonces la ecuación se puede sobre escribir de la siguiente manera:

$$\frac{\Delta y}{\Delta x} = \frac{y_{k+1} - y_k}{0.01}$$

Ecuación M.N

Es importante señalar que es necesario definir límites superiores e inferiores, esto debido a los picos que presenta la señal, por ejemplo del Cuadro 7.3.2.1 se sabe que la pendiente de la señal cuando pasa de 0 grados a 180 grados es de 485, esto representa un ciclo de trabajo del 485%, por el contrario, cuando la señal pasa de 180 grados a 90 grados la pendiente es de -242 lo que equivale a un ciclo de trabajo del -242%, por lo tanto en software es necesario definir los límites para que cuando la pendiente sea mayor de 100 el ciclo de trabajo sea del 100% y cuando sea menor de 0 el ciclo de trabajo sea del 0%.

7.5 Control de giro del motor

De los resultados obtenidos del análisis de la señal de control, se optó por utilizar una señal PWM utilizando la técnica de signo magnitud, esta técnica permite controlar el motor mediante tres señales de control y un puente H, la primer señal corresponde al tiempo que permanece habilitado el motor, mientras que la segunda y tercera señal corresponde al sentido de giro del motor.

El modelo del circuito utilizado como puente H es L298N, la tabla de verdad del puente H es la siguiente:

Inputs		Function
$V_{en} = H$	$C = H ; D = L$	Forward
	$C = L ; D = H$	Reverse
	$C = D$	Fast Motor Stop
$V_{en} = L$	$C = X ; D = X$	Free Running Motor Stop

Tabla de verdad puente H L298N.

De la tabla de verdad se puede observar que el control de giro se establece mediante las entradas C y D las cuales corresponden a los pines *Input 1* e *Input 2* del circuito, mientras que la habilitación se hace mediante la entrada V_{en} el cual corresponde al pin *Enable* del circuito.

Por lo tanto para utilizar la técnica de signo magnitud para el puente H L298N, las conexiones quedarían de la siguiente manera, la salida PWM se conecta al pin *Enable*, mientras que los pines de dirección del puente H van conectados a cualquiera dos pin de propósito general del microcontrolador, se recomienda que se utilice un mismo puerto para tal fin, por ejemplo se puede utilizar la parte baja del puerto B, por lo tanto solo basta definir las dos posibles salidas, por ejemplo se puede definir 0x01 para la derecha y 0x02 para la izquierda, o viceversa, o en caso de que no se cuente con la cantidad de pines necesarios para el control de sentido de giro, se puede utilizar un inversor y solo un pin del microcontrolador.

El diagrama de conexión se muestra en la figura 7.5.1.

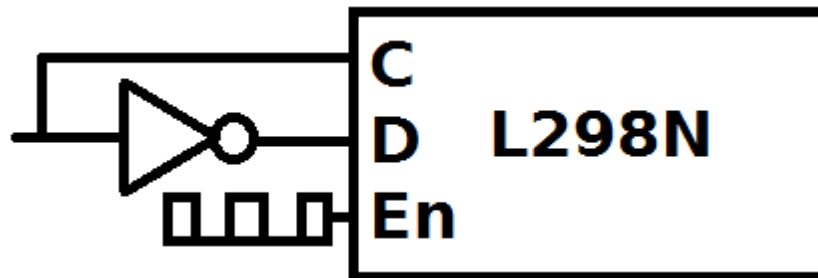


Figura 7.5.1: Diagrama de conexión.

7.6 Ecuaciones PWM

Las ecuaciones que rigen el comportamiento del módulo PWM del microcontrolador PIC16F1619 son las siguientes:

$$PWM_Periodo = [(PR2 + 1) * 4 * T_{osc} (TMR2_Pr\ escaler)]$$

$$T_{osc} = \frac{1}{F_{osc}}$$

$$Duty_Cicle = \frac{CCPRxH : CCPRxL}{4(PR2 + 1)}$$

Ecuación periodo PWM ecuación ciclo de trabajo de la señal PWM en ambas ecuaciones, el valor de PR2 aparece, por lo tanto el primer paso es encontrar el valor correspondiente a este término.

Se eligió un periodo de 0.5 micro segundos equivalente a 200KHz, esta frecuencia no cumple ningún requerimiento en específico, se eligió enteramente para propósitos de prueba, de las tablas ofrecidas por el fabricante se tienen los siguientes valores:

Frecuencia PWM	200KHz
Prescalador Timer	1
Valor PR2	0x09
Máxima resolución (bits)	8

Una vez conocido el valor del parámetro PR2 la ecuación para el ciclo de trabajo queda de la siguiente manera:

$$Duty_Cicle = \frac{CCPRxH : CCPRxL}{40}$$

Teniendo en cuenta que la resolución es de solo 8 bits, se puede elegir la parte alta o baja del registro CCPRx, se eligió utilizar la notación *little endian*, por lo tanto la ecuación final queda de la siguiente manera:

$$Duty_Cicle = \frac{CCPRxL}{40}$$

De la ecuación anterior se puede concluir que para encontrar el ciclo de trabajo, es necesario multiplicarlo por 40, por lo tanto el registro CCPRxL tiene la siguiente relación:

$$CCPRxL = 40(Duty_Cicle)$$

El registro CCPRxL tiene una longitud de 8 bits, esto quiere decir que el número máximo permitido en decimal es 255, pero teniendo en cuenta que un ciclo de trabajo del 100% corresponde a un valor de 40 (0x28 hex), este corresponde al número máximo permitido, valores mayores a 40 podrían dar ciclos de trabajos erróneos, por lo tanto es necesario modificar la ecuación de la razón de cambio de la señal de control para que caiga dentro de este rango de valores.

La ecuación de la derivada de la señal de control (Ecuación M.N) da el ciclo de trabajo en

decimales, por lo tanto va a ser necesario multiplicar esta ecuación por el tiempo de muestreo para que la salida esté dada en porcentajes, por lo tanto la ecuación para la razón de cambio queda de la siguiente forma:

$$\frac{\Delta y}{\Delta x} = y_{k+1} - y_k \quad \dots \text{Ecuación 7}$$

La Figura 7.7.1 muestra la señal de salida de la derivada de la señal de control:

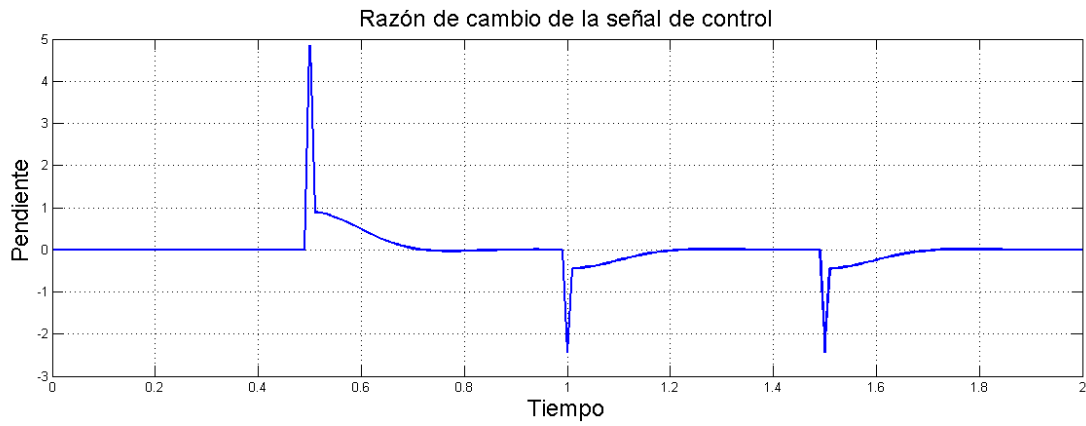


Figura 7.6.1: Razón de cambio de la señal de control.

Para ajustar la salida a los valores válidos requeridos por el registro CCPRxL es necesario multiplicar por 40, por lo tanto se tiene:

$$CCPRxL = 40(y_{k+1} - y_k)$$

La figura 7.6.2 muestra la salida de la relación anterior:

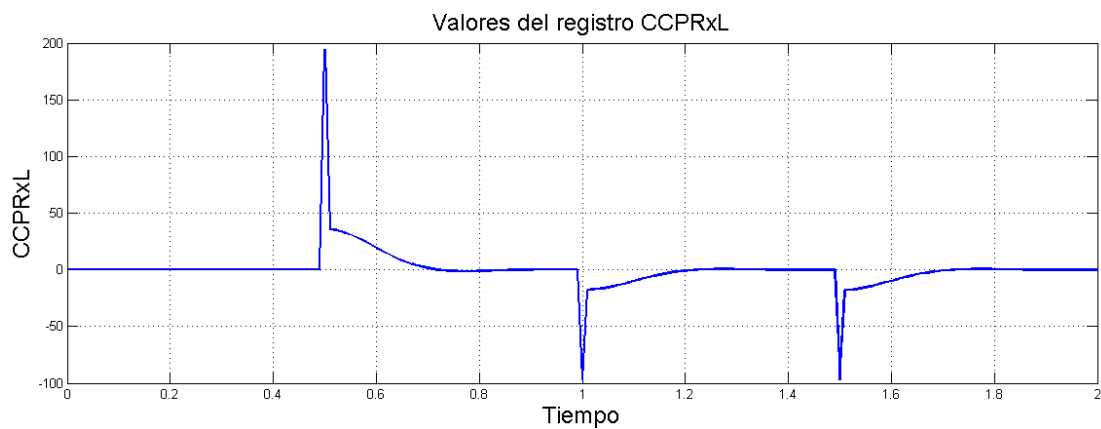


Figura 7.6.2: Valores de los registros CCPRxL.

El signo de la pendiente indica el sentido de giro, una vez establecido, dado que no existen ciclos de trabajo negativos, no tiene sentido la parte negativa, por lo tanto se aplica el valor absoluto a la salida del registro CCPRxL, por último es necesario definir el límite superior para que el valor de CCPRxL sea válido, en este caso el límite superior corresponde a 40, la Figura 7.6.3 muestra el resultado de la operación:

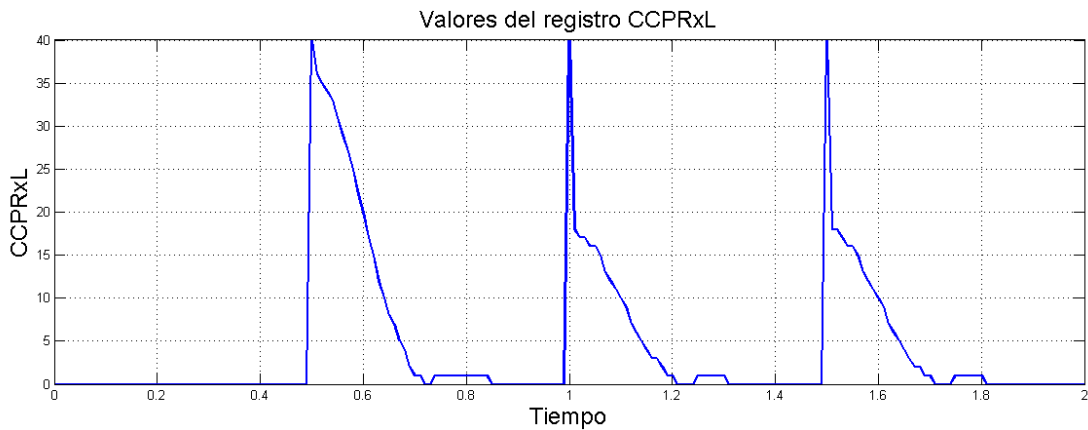


Figura 7.6.3: Valores de los registros CCPRxL.

De la Figura 7.6.3 se pueden apreciar pequeñas oscilaciones una vez que se alcanza el valor cero, esto es indicativo que se requieren ajustes finos a los parámetros K_i y K_p , pero eso va más allá del objetivo de esta tesis.

7.7 Implantación del controlador en el microcontrolador

El último paso fue programar el microcontrolador para implementar el control de posición de un motor de CD mediante un controlador PI.

Para evitar definir el tamaño del número fraccionario se utilizó una técnica de escalamiento.

Los registros del microcontrolador que almacenan las ganancias tienen una longitud de 16 bits, por lo tanto son viables para utilizar la técnica de escalamiento, esta técnica consiste en multiplicar el número fraccionario por un factor de escalamiento.

$$N_e = N_f * F_e$$

$N_e \rightarrow$ Numero _ entero

$N_f \rightarrow$ Numero _ fraccionario

$F_e \rightarrow$ Factor _ de _ escalamiento

Para hacer los cálculos de las ganancias se utilizó un factor de escalamiento de 11 bits:

$$K_d = 0$$

$$K_i = (17.811992)(2^{11}) = 36478$$

$$K_p = (0.79190)(2^{11}) = 1621$$

Calculando los valores de K1, K2 y K3:

$$K_3 = \frac{K_d}{T_s} = 0$$

$$K_2 = -K_p - \frac{2K_d}{T_s} = -1621$$

$$K_1 = K_p + K_i T_s + \frac{K_d}{T_s} = 1621 + 364 = 1985$$

El bloque PWM en la Figura 7.7.1 engloba las ecuaciones para adaptar la salida del controlador, estas ecuaciones fueron calculadas en la sección *Ecuaciones PWM*. La Figura 7.7.1 muestra el diagrama de flujo del firmware.

Diagrama de flujo del firmware

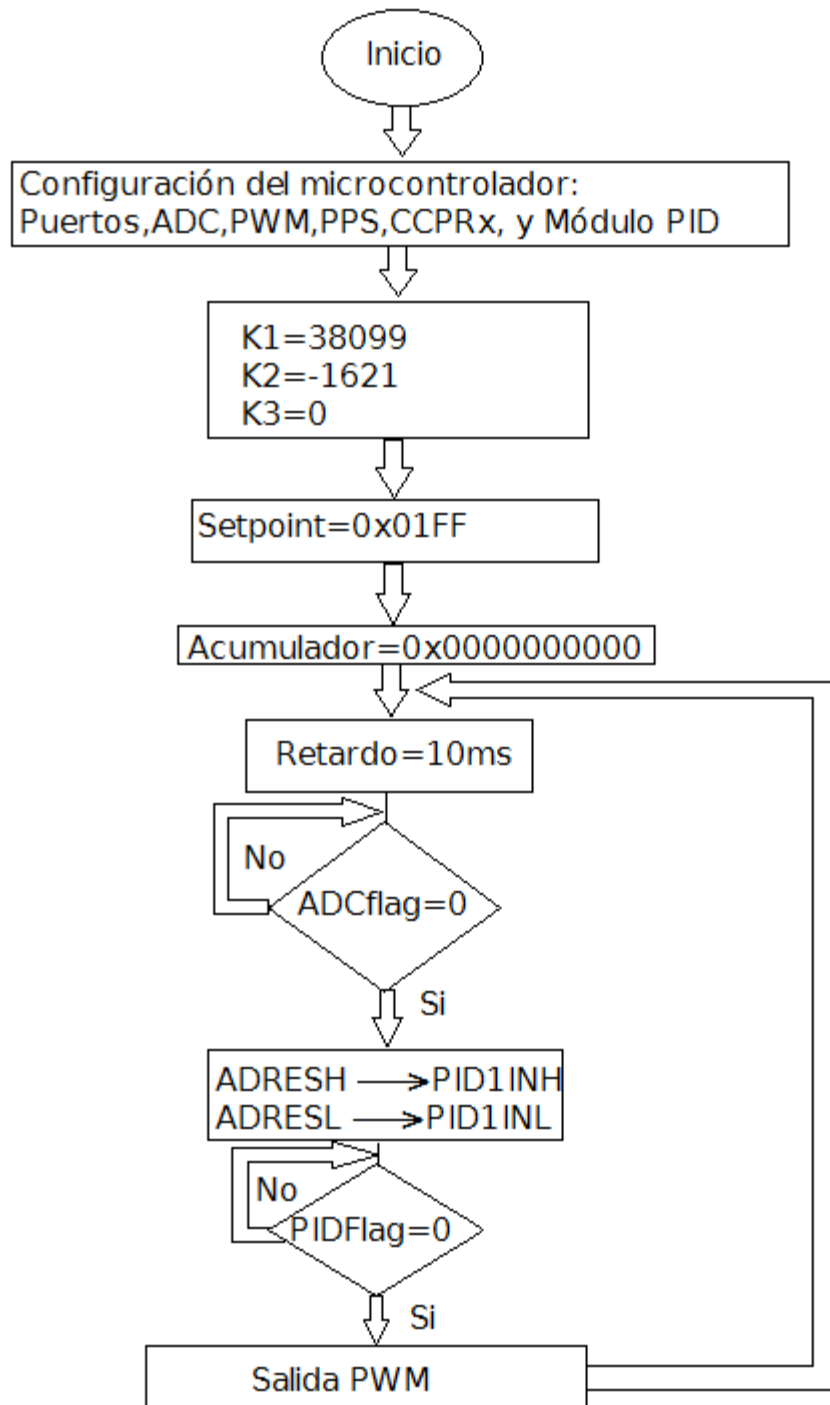


Figura 7.7.1: Diagrama de flujo del firmware para el control de posición.

7.8 Resultados

Como se puede observar en el diagrama de flujo, gracias a la utilización de un bootloader la implementación del firmware para diseñar un controlador digital es directa, no se requiere utilizar ni definir los tipos de registros de las variables, tampoco es necesario diseñar un algoritmo para actualizar las ganancias, en pocas palabras, esto significa menos tiempo en el desarrollo del firmware y más tiempo en el desarrollo del controlador.

Sólo por mencionar la complejidad de implementar el algoritmo capaz de interpretar un número fraccionario, esto requiere definir el tamaño número de bits para el valor entero y el número de bits para la mantisa, dado que se trata de un número signado entonces el tamaño para la parte entera sería $n+1$ mientras que para la parte fraccionaria quedaría en n , por otra parte, si se elige enviar los nuevos valores de las ganancias mediante comunicación serie, esto supone la conversión ascii a hexadecimal, esto se puede lograr fácilmente con una resta de $0x30$ por cada número recibido por lo tanto para un número fraccionario de 2 bytes para la parte entera y 3 bytes para la mantisa el tamaño del registro acumulador sería de 5 bytes dado que estamos trabajando en una arquitectura de 8 bits sería necesario concatenar 3 registros, ahora bien, si se quisiera tener una mejor precisión en los cálculos se tendría que aumentar el número de bytes tanto en la parte entera como en la parte fraccionaria lo que significa concatenar más registros de 8 bits, por último una vez decodificado el valor es necesario hacer los cálculos pertinentes para cada ganancia.

Cabe señalar que los valores obtenidos mediante simulink pudieran requerir de ajustes posteriores pero al menos sirven como base de partida para calibrar los parámetros, comparado con métodos basados en prueba y error donde no se tiene siquiera una referencia para empezar, por lo tanto el método presentado en esta tesis presenta ventajas.

El video que demuestra el funcionamiento del circuito se puede consultar en el siguiente enlace:

<https://youtu.be/V6WQXnWxpVI>

7.9 Conclusión

La utilización de un microcontrolador con un módulo especializado para implementar un controlador digital presenta ventajas frente a controladores basados en software, por parte del controlador basado en hardware solo es necesario esperar las banderas del módulo para continuar con los cálculos (esto en caso de que no se haga uso de la interrupción), mientras que en software se requiere mantener al procesador calculando operaciones, dicho de otra forma, implementado en hardware requiere menos ciclos de reloj lo que significa menos energía y sobre todo, esto supone una fuerte reducción en tiempo de ejecución para una sola tarea.

Por otra parte la utilización de un bootloader, en esta caso JBoot, facilita mucho el tiempo de desarrollo del firmware y puesta en marcha del controlador, esto es debido a que en muy pocas ocasiones las ganancias del controlador son números enteros, por lo general se tratan de números fraccionarios signados, por tanto para actualizar los valores de las ganancias es necesario implementar en software un algoritmo capaz de interpretar los valores, otra de las ventajas que presenta la utilización de un bootloader recae en el diseño del PCB, es un hecho que entre menos pistas contenga un esquema es más probable que el software de enrutamiento encuentre una solución, dicho esto, la utilización del bootloader elimina las pistas utilizadas para programar el microcontrolador mediante ICSP, esto en la práctica pudiera significar un PCB de una sola cara o un PCB de doble cara lo cual significa tiempo y gastos adicional de producción.

Bibliografía

Libros

- [1]Angulo, José Ma. (2003). Microcontroladores PIC. La Clave del Diseño. España. Thomson.
- [2]Angulo, José Ma. (2006). Microcontroladores PIC. Diseño Práctico de aplicaciones. España. Mc Graw-Hill. Tercera edición.
- [3]Malvino, Albert. (2007). Principios de Electrónica. España. Mc Graw Hill. 7ma Edición.
- [4]Palacios, Enrique. (2004). Microcontrolador PIC16F84 Desarrollo de Proyectos. México. Alfaomega Ra-Ma. Primera Edición.
- [5]Peñaloza, Ernesto, (2004). Fundamentos de Programación C/C++, México. Alfaomega, Tercera Edición.

Manuales

- [1]Agilent DSO5032A 300 MHz 2 ch Oscilloscope
- [2]Translator Example. Reston Condit. Microchip Technology Inc. 2004.
- [3] Calculating Program Memory Checksums Using a PIC16F87X. Rodger Richey. Microchip Technology Inc. 1998.
- [4]Downloading HEX Files to PIC16F87X PICmicro® Microcontrollers. Rodger Richey. Microchip Technology Inc. 1998.
- [5]Low Cost USB Microcontroller Programmer. The building of the PICkit™ 1
- [6]FLASH Starter Kit. Reston Condit. Dan Butler. Microchip Technology Inc. 2003.
- [7]Generating High Voltage Using the PIC16C781/782. Ross Fosler. Microchip Technology Inc. 2005.
- [8]In-Circuit Serial Programming™(ICSPTM) Guide. Microchip Technology Inc. 2003.
- [9]Midrange and Enhanced Reference Manuals (Chapter 2. Oscillator). Microchip Technology Inc.
- [10]Midrange and Enhanced Reference Manuals (Chapter 3. Reset). Microchip Technology Inc.

Sitios Web

[1]Control Tutorials for Matlab & Simulink,
<http://ctms.engin.umich.edu/CTMS/index.php?example=MotorPosition§ion=SystemModeling>. Consultado 22 de febrero de 2016

[2]Hexadecimal Object File Format Specification, Revision A
<http://microsym.com/editor/assets/intelhex.pdf> Consultado 2 de marzo de 2016

[3] PIC16F87X Bootloader With PIC Flash Module
<http://www.mcjournal.com/articles/arc103/arc103.htm> Consultado 2 Marzo de 2016

[4]Jogu Bootloader github repository
<https://github.com/jogu/pic-bootloaders> Consultado 16 de Marzo de 2016

[5]PIC16f877 Monitor and Bootloader
<http://public.wsu.edu/~jackdoll/jmon/> Consultado 28 Marzo 2016

[6]Frank Sergeant's Pikme (PIC) Programming Page
<http://pygmy.utoh.org/pikme/index.html> Consultado 30 Marzo de 2016

Apéndice A:

Código fuente JBoot
MPASM 5.51

JBOOT1827.ASM 4-17-2016 15:40:15

PAGE 1

LOC OBJECT CODE LINE SOURCE TEXT
VALUE

```
00001 ;*****
00002 ;E. David Rojas Serrano <edx@edx-twin3.org> *
00003 ;http://www.edx-twin3.org *
00004 ;Codigo JBoot para el PIC16F1827 *
00005 ;*****
00006 list p = PIC16F1827
00007 errorlevel -302
00008 errorlevel -303
00009 errorlevel -307
00010
8007 0FC2 00011 __CONFIG 0x8007, 0xFFFFA & 0xFFE7 & 0xFFDF & 0xFFFF
& 0xFFFF & 0xFFFF & 0xFFFF & 0xFFFF & 0xEFFF & 0xDFF
F
8008 18FF 00012 __CONFIG 0x8008, 0xFFFF & 0xFEFF & 0xFDFF & 0xFBFF
& 0xDFFF
00013
0000 00014 org 0x00
0000 318F 2F00 00015 lgoto _JBoot
0002 00016 org 0x02
0002 2802 00017 _BdeProg goto $+0
00018
0F00 00019 org 0xF00
0F00 00020 _JBoot
0F00 0021 00021 movlb 0x01
0F01 3068 00022 movlw 0x68
0F02 0099 00023 movwf 0x99
0F03 1E9A 00024 btfss 0x9A,5
0F04 2F03 00025 goto $-1
0F05 3002 00026 movlw 0x02
0F06 008D 00027 movwf 0x8D
0F07 3087 00028 movlw 0x87
0F08 0095 00029 movwf 0x95
0F09 0023 00030 movlb 0x03
0F0A 018D 00031 clrf 0x18D
0F0B 3081 00032 movlw .129
0F0C 009B 00033 movwf 0x19B
0F0D 179D 00034 bsf 0x19D,7
```

0F0E	161D	00035	bsf 0x19D,4
0F0F	169E	00036	bsf 0x19E,5
0F10	151E	00037	bsf 0x19E,2
0F11	0020	00038	movlb 0x00
0F12	304D	00039	movlw .77
0F13	00A0	00040	movwf 0x20
0F14	0195	00041	clrf 0x15
0F15	1A91	00042	_TLoop btfsc 0x11,5
0F16	2F1D	00043	goto _HostReply
0F17	1D0B	00044	btfss 0x0B,2
0F18	2F15	00045	goto \$-3
0F19	110B	00046	bcf 0x0B,2
0F1A	0BA0	00047	decfsz 0x20,1
0F1B	2F15	00048	goto _TLoop
0F1C	2FA0	00049	goto _MNormal
0F1D	0023	00050	_HostReply movlb 0x03
0F1E	0819	00051	movf 0x199,0
0F1F	00A0	00052	movwf 0x1A0

MPASM 5.51

JBOOT1827.ASM 4-17-2016 15:40:15

PAGE 2

LOC OBJECT CODE LINE SOURCE TEXT
VALUE

0F20	3055	00053	movlw 0x55
0F21	0620	00054	xorwf 0x1A0,0
0F22	1D03	00055	btfss 0x03,2
0F23	2FA0	00056	goto _MNormal
0F24	304A	00057	movlw 0x4A
0F25	279C	00058	call _EnvDato
0F26	3078	00059	movlw .120
0F27	00A0	00060	movwf 0x1A0
0F28	0192	00061	clrf 0x192
0F29	0191	00062	clrf 0x191
0F2A	1795	00063	bsf 0x195,7
0F2B	1315	00064	bcf 0x195,6
0F2C	1615	00065	_BorBlock bsf 0x195,4
0F2D	1515	00066	bsf 0x195,2
0F2E	2789	00067	call _secREQ
0F2F	1095	00068	bcf 0x195,1
0F30	1A15	00069	btfsc 0x0195,4
0F31	2F30	00070	goto \$-1
0F32	3020	00071	movlw 0x20
0F33	0791	00072	addwf 191+0,1
0F34	1D03	00073	btfss 0x03,2
0F35	2F37	00074	goto \$+2

0F36	0A92	00075	incf 0x191+1,1
0F37	0BA0	00076	decfsz 0x1A0,1
0F38	2F2C	00077	goto _BorBlock
0F39	1515	00078	bsf 0x195,2
0F3A	1695	00079	bsf 0x195,5
0F3B	0192	00080	clrf 0x192
0F3C	0191	00081	clrf 0x191
0F3D	3031	00082	movlw 0x31
0F3E	0094	00083	movwf 0x194
0F3F	308F	00084	movlw 0x8F
0F40	0093	00085	movwf 0x193
0F41	2789	00086	call _secREQ
0F42	0A91	00087	incf 0x191,1
0F43	302F	00088	movlw 0x2F
0F44	0094	00089	movwf 0x194
0F45	3000	00090	movlw 0x00
0F46	0093	00091	movwf 0x193
0F47	2789	00092	call _secREQ
0F48	1295	00093	bcf 0x195,5
0F49	2789	00094	call _secREQ
0F4A	1115	00095	bcf 0x195,2
0F4B	0186	00096	clrf 0x06
0F4C	1515	00097	_SecProg bsf 0x195,2
0F4D	1695	00098	bsf 0x195,5
0F4E	2791	00099	call _RecepDatos
0F4F	00A1	00100	movwf 0x1A1
0F50	0D89	00101	rlf 0x09,1
0F51	2797	00102	call _AddCHKSUM
0F52	2791	00103	call _RecepDatos
0F53	0092	00104	movwf 0x192
0F54	0085	00105	movwf 0x05

MPASM 5.51

JBOOT1827.ASM 4-17-2016 15:40:15

PAGE 3

LOC OBJECT CODE LINE SOURCE TEXT
VALUE

0F55	2791	00106	call _RecepDatos
0F56	0091	00107	movwf 0x191
0F57	0084	00108	movwf 0x04
0F58	0805	00109	movf 0x05,0
0F59	0785	00110	addwf 0x05,1
0F5A	0804	00111	movf 0x04,0
0F5B	0784	00112	addwf 0x04,1
0F5C	1C03	00113	btss 0x03,0
0F5D	2F5F	00114	goto \$+2

```

0F5E 0A85      00115 incf 0x04+1,1
0F5F 0805      00116 movf 0x05,0
0F60 2797      00117 call _AddCHKSUM
0F61 0804      00118 movf 0x04,0
0F62 2797      00119 call _AddCHKSUM
0F63 2791      00120 _loopDRCN call _RecepDatos
0F64 0094      00121 movwf 0x194 ;EEDATH
0F65 2797      00122 call _AddCHKSUM
0F66 2791      00123 call _RecepDatos
0F67 0093      00124 movwf 0x193 ;EEDATL
0F68 2797      00125 call _AddCHKSUM
0F69 2789      00126 call _secREQ
0F6A 0BA1      00127 decfsz 0x1A1,1
0F6B 2F80      00128 goto _IncDir
0F6C 0806      00129 movf 0x06,0
0F6D 0989      00130 comf 0x09,1
0F6E 3E01      00131 addlw 0x01
0F6F 00A2      00132 movwf 0x1A2
0F70 0184      00133 clrf 0x04
0F71 0186      00134 clrf 0x06
0F72 0020      00135 movlb 0x00
0F73 1E91      00136 btfss 0x11,5
0F74 2F73      00137 goto $-1
0F75 0023      00138 movlb 0x03
0F76 0819      00139 movf 0x199,0
0F77 0622      00140 xorwf 0x1A2,0
0F78 1D03      00141 btfss 0x03,2
0F79 2F7D      00142 goto _CHKInC
0F7A 304B      00143 movlw 0x4B
0F7B 279C      00144 call _EnvDato
0F7C 2F85      00145 goto _SecGrab
0F7D 3045      00146 _CHKInC movlw 0x45 ;E
0F7E 279C      00147 call _EnvDato
0F7F 2F4C      00148 goto _SecProg
0F80 0A91      00149 _IncDir incf 0x191+0,1
0F81 1D03      00150 btfss 0x03,2
0F82 2F84      00151 goto $+2
0F83 0A92      00152 incf 0x191+1,1
0F84 2F63      00153 goto _loopDRCN
0F85 1295      00154 _SecGrab bcf 0x195,5
0F86 2789      00155 call _secREQ
0F87 1115      00156 bcf 0x195,2
0F88 2F4C      00157 goto _SecProg
0F89 3055      00158 _secREQ movlw 0x55

```

LOC OBJECT CODE LINE SOURCE TEXT
VALUE

```

0F8A 0096      00159 movwf 0x196
0F8B 30AA      00160 movlw 0xAA
0F8C 0096      00161 movwf 0x196
0F8D 1495      00162 bsf 0x195,1
0F8E 0000      00163 nop
0F8F 0000      00164 nop
0F90 0008      00165 return
0F91 0020      00166 _RecepDatos movlb 0x00
0F92 1E91      00167 btfss 0x11,5
0F93 2F92      00168 goto $-1
0F94 0023      00169 movlb 0x03
0F95 0819      00170 movf 0x199,0
0F96 0008      00171 return
0F97 0786      00172 _AddCHKSUM addwf 0x06,1
0F98 1C03      00173 btfss 0x03,0
0F99 2F9B      00174 goto $+2
0F9A 0A87      00175 incf 0x06+1,1
0F9B 0008      00176 return
0F9C 009A      00177 _EnvDato movwf 0x19A
0F9D 1C9E      00178 btfss 0x19E,1
0F9E 2F9D      00179 goto $-1
0F9F 0008      00180 return
0FA0 0023      00181 _MNormal movlb 0x03
0FA1 139D      00182 bcf 0x19D,7
0FA2 0020      00183 movlb 0x00
0FA3 3180 2802 00184 lgoto _BdeProg
                00185 end

```

MPASM 5.51 JBOOT1827.ASM 4-17-2016 15:40:15 PAGE 5

SYMBOL TABLE

LABEL	VALUE
_AddCHKSUM	00000F97
_BdeProg	00000002
_BorBlock	00000F2C
_CHKInC	00000F7D
_EnvDato	00000F9C
_HostReply	00000F1D
_IncDir	00000F80
_JBoot	00000F00
_MNormal	00000FA0
_RecepDatos	00000F91

```

_SecGrab          0000F85
_SecProg          0000F4C
_TLoop           0000F15
_16F1827         00000001
_loopDRCN        0000F63
_secREQ          0000F89

```

MEMORY USAGE MAP ('X' = Used, '-' = Unused)

```

0000 : XXX-----
0F00 : XXXXXXXXXXXXXXXXXXXX XXXXXXXXXXXXXXXXXXXX
XXXXXXXXXXXXXXXXXXXX XXXXXXXXXXXXXXXXXXXX
0F40 : XXXXXXXXXXXXXXXXXXXX XXXXXXXXXXXXXXXXXXXX
XXXXXXXXXXXXXXXXXXXX XXXXXXXXXXXXXXXXXXXX
0F80 : XXXXXXXXXXXXXXXXXXXX XXXXXXXXXXXXXXXXXXXX XXXXX-----
-----
8000 : -----XX-----

```

All other memory blocks unused.

```

Program Memory Words Used: 170
Program Memory Words Free: 3926

```

```

Errors : 0
Warnings : 0 reported, 0 suppressed
Messages : 0 reported, 64 suppressed

```

Apéndice C:

C1.1

Código fuente pantalla led

MPASM 5.51 MATRIZ.ASM 4-30-2016 20:56:04 PAGE 1

```

LOC OBJECT CODE    LINE SOURCE TEXT
VALUE

```

```

00001 ;*****
00002 ;E. David Rojas Serrano <edx@edx-twin3.org
00003 ;http://www.edx-twin3.org
00004 ;*****
00005 ;Pantalla: PD 4437
00006 ;RB7-RB0 -> D7-D0

```

```

00007 ;RA0-RA2 -> Address input
00008 ;RA3 -> Reset
00009 ;R4 -> WR
00010 ;R5 -> RD
00011 ;*****

00014 errorlevel -302
0000 00015 org 0x00
0000 158A 00016 bsf 0x0A,3
0001 160A 00017 bsf 0x0A,4
0002 2F00 00018 goto 0x700
00019 ;*****
0003 0183 00020 clrf 0x03 ;Banco 0
00021 ;*****
00022 ;Configurando Puerto
00023 ;*****
0004 1683 00024 bsf 0x03,5 ;Banco 1
0005 0185 00025 clrf 0x85 ;TRISA
0006 0186 00026 clrf 0x86 ;TRISB
00027 ;Configuracion del reloj
0007 3087 00028 movlw 0x87 ;Tiempo base 65.
0008 0081 00029 movwf 0x81 ;OPTION_REG
0009 1703 00030 bsf 0x03,6 ;Banco 3
000A 0188 00031 clrf 0x188 ;ANSEL
000B 0189 00032 clrf 0x189 ;ANSELH
000C 0183 00033 clrf 0x03 ;Banco 0
00034 ;*****
00035 ;Test Matriz
00036 ;*****
00037 ;clrf 0x05 ;Control Word
00038 ;bsf 0x05,3 ;RESET off
00039 ;movlw 0x43 ;TEST
00040 ;movwf 0x06 ;PORTB
00041 ;goto $+0
00042 ;*****
00043 ;Configurando Matriz
00044 ;*****
00045 ; A2 A1 A0
00046 ; 0 X X Control Word
00047 ;*****
00048 ;Control Word
00049 ;*****
00050 ; D7 D6 D5 D4 D3 D2 D1 D0
00051 ; 0 0 X X X X 0 0 BLANK
00052 ; 0 0 X X X X 1 1 FULL BRIGHTNESS

```

LOC OBJECT CODE LINE SOURCE TEXT
VALUE

```

00053 ;*****
000D 3010      00054 movlw 0x10 ;RD = Enable, Wr = Disable
000E 0085      00055 movwf 0x05 ;PORTA
000F 3028      00056 movlw 0x28 ;RESET off
0010 0085      00057 movwf 0x05 ;PORTA
0011 3003      00058 movlw 0x03 ;Full Brightness
0012 0086      00059 movwf 0x06 ;PORTB
00060 ;*****
00061 ;Variables
00062 ;0x20 -> Contador de dirección
00063 ;0x21 -> Timer
00064 ;0x22 -> Index tabla
00065 ;0x23 -> Numero total de caracteres
00066 ;*****
0013 302F      00067 movlw 0x2F ;Inicio a la derecha
0014 00A1      00068 movwf 0x21 ;Registro de direccion
0015 01A2      00069 clrf 0x22 ;Registro index FSR
0016 3004      00070 movlw 0x04 ;Numero total de caracteres
0017 00A3      00071 movwf 0x23
00072 ;*****
00073 ;Mensaje
00074 ;Direccion de inicio 0x24 - 0x7F
00075 ;*****
0018 3024      00076 movlw 0x24 ;Direccion de inicio de la tabla
0019 0084      00077 movwf 0x04 ;FSR
001A 3001      00078 movlw HIGH(_mensaje)
001B 008A      00079 movwf 0x0A
001C 0822      00080 movf 0x22,0
001D 2100      00081 call _mensaje
001E 0080      00082 movwf 0x00 ;INDF
001F 0AA2      00083 incf 0x22,1
0020 0A84      00084 incf 0x04,1 ;FSR+1
0021 0BA3      00085 decfsz 0x23,1
0022 281C      00086 goto $-6
0023 018A      00087 clrf 0x0A ;Volviendo a poner el PCLATH en 0
00088 ;*****
00089 ;Estableciendo vectores de inicio FSR
00090 ;*****
0024 3024      00091 movlw 0x24
0025 0084      00092 movwf 0x04

```

```

00093 ;*****
00094 ;*****
00095 ;Estableciendo numero total de caracteres
00096 ;*****
0026 3004      00097 movlw 0x04
0027 00A3      00098 movwf 0x23
00099 ;*****
00100 ;Programa Principal
00101 ;*****
0028 2030      00102 _m1 call _direccion
0029 0800      00103 movf 0x00,0 ;INDF
002A 0086      00104 movwf 0x06 ;PORTB
002B 203D      00105 call _lectura

```

MPASM 5.51 MATRIZ.ASM 4-30-2016 20:56:04 PAGE 3

```

LOC OBJECT CODE   LINE SOURCE TEXT
VALUE
002C 0A84      00107 incf 0x04,1
002D 0BA3      00108 decfsz 0x23,1
002E 2828      00109 goto _m1
00110 ;*****
00111 ;Estableciendo vectores de inicio FSR
00112 ;*****
00113 ;movf 0x04,0 ;Leyendo posicion actual del FSR
00114 ;*****
00115 ;*****
00116 ;Estableciendo numero total de caracteres
00117 ;*****
00118 ;movlw 0x04
00119 ;movwf 0x23
002F 282F      00120 goto $+0
00121 ;*****
00122 ;Algoritmo de direccion
00123 ;*****
00124 ;Posición del caracter
00125 ;*****
00126 ; A2 A1 A0
00127 ; 1 0 0 -> Digit 0 (Derecha)
00128 ; 1 0 1 -> Digit 1
00129 ; 1 1 0 -> Digit 2
00130 ; 1 1 1 -> Digit 3 (Izquierda)
00131 ;*****
0030 0821      00132 _direccion movf 0x21,0 ;Cargando direccion
0031 0085      00133 movwf 0x05 ;PORTA
0032 03A1      00134 decf 0x21,1

```

```

0033 302B      00135 movlw 0x2B ;Direccion 2C - 1 para que funcione
0034 0621      00136 xorwf 0x21,0
0035 1D03      00137 btfss 0x03,2
0036 0008      00138 return
0037 302F      00139 movlw 0x2F ;Empieza a la derecha
0038 00A1      00140 movwf 0x21
0039 0008      00141 return
                00148 ;*****
                00149 ;Lectura
                00150 ;*****
003D 1605      00151 _lectura bsf 0x05,4 ;WR = 0
003E 1285      00152 bcf 0x05,5 ;RD = 1
003F 0008      00153 return

```

MPASM 5.51 MATRIZ.ASM 4-30-2016 20:56:04 PAGE 4

LOC OBJECT CODE LINE SOURCE TEXT
VALUE

```

                00166 ;*****
                00167 ;Mensaje
                00168 ;*****
0100           00169 org 0x100
0100 0782 00170 _mensaje addwf 0x02,1
0101 3455 3441 3443 00171 dt "UACM"
                344D
                00172 end

```

MPASM 5.51 MATRIZ.ASM 4-30-2016 20:56:04 PAGE 5

SYMBOL TABLE

LABEL	VALUE
__16F886	00000001
_antilectura	0000003A
_direccion	00000030
_lectura	0000003D
_m1	00000028
_mensaje	00000100

MEMORY USAGE MAP ('X' = Used, '-' = Unused)

```

0000 : XXXXXXXXXXXXXXXXXXXX XXXXXXXXXXXXXXXXXXXX
XXXXXXXXXXXXXXXXXXXXXXXX XXXXXXXXXXXXXXXXXXXX
0100 : XXXXX-----

```

All other memory blocks unused.

Program Memory Words Used: 69
Program Memory Words Free: 8123

Errors : 0
Warnings : 0 reported, 0 suppressed
Messages : 0 reported, 5 suppressed

C1.2

Código fuente pantalla led

MPASM 5.51 MATRIZ.ASM 4-30-2016 21:02:53 PAGE 1

LOC OBJECT CODE LINE SOURCE TEXT
VALUE

```
00001 ;*****
00002 ;E. David Rojas Serrano <edx@edx-twin3.org
00003 ;http://www.edx-twin3.org
00004 ;*****
00005 ;Pantalla: PD 4437
00006 ;RB7-RB0 -> D7-D0
00007 ;RA0-RA2 -> Address input
00008 ;RA3 -> Reset
00009 ;R4 -> WR
00010 ;R5 -> RD
00011 ;*****

00014 errorlevel -302
0000            00015 org 0x00
0000 158A        00016 bsf 0x0A,3
0001 160A        00017 bsf 0x0A,4
0002 2F00        00018 goto 0x700
```

```

0003 0183      00019 ;*****
                00020 clrf 0x03 ;Banco 0
                00021 ;*****
                00022 ;Configurando Puerto
                00023 ;*****
0004 1683      00024 bsf 0x03,5 ;Banco 1
0005 0185      00025 clrf 0x85 ;TRISA
0006 0186      00026 clrf 0x86 ;TRISB
                00027 ;Configuracion del reloj
0007 3087      00028 movlw 0x87 ;Tiempo base 65.
0008 0081      00029 movwf 0x81 ;OPTION_REG
0009 1703      00030 bsf 0x03,6 ;Banco 3
000A 0188      00031 clrf 0x188 ;ANSEL
000B 0189      00032 clrf 0x189 ;ANSELH
000C 0183      00033 clrf 0x03 ;Banco 0
                00034 ;*****
                00035 ;Test Matriz
                00036 ;*****
                00037 ;clrf 0x05 ;Control Word
                00038 ;bsf 0x05,3 ;RESET off
                00039 ;movlw 0x43 ;TEST
                00040 ;movwf 0x06 ;PORTB
                00041 ;goto $+0
                00042 ;*****
                00043 ;Configurando Matriz
                00044 ;*****
                00045 ; A2 A1 A0
                00046 ; 0 X X Control Word
                00047 ;*****
                00048 ;Control Word
                00049 ;*****
                00050 ; D7 D6 D5 D4 D3 D2 D1 D0
                00051 ; 0 0 X X X X 0 0 BLANK
                00052 ; 0 0 X X X X 1 1 FULL BRIGHTNESS

```

MPASM 5.51

MATRIZ.ASM 4-30-2016 21:02:53

PAGE 2

LOC OBJECT CODE LINE SOURCE TEXT
VALUE

```

000D 3010      00053 ;*****
000D 3010      00054 movlw 0x10 ;RD = Enable, Wr = Disable
000E 0085      00055 movwf 0x05 ;PORTA
000F 3028      00056 movlw 0x28 ;RESET off
0010 0085      00057 movwf 0x05 ;PORTA
0011 3003      00058 movlw 0x03 ;Full Brightness

```

```

0012 0086      00059 movwf 0x06 ;PORTB
00060 ;*****
00061 ;Variables
00062 ;0x20 -> Contador de dirección
00063 ;0x21 -> Timer
00064 ;0x22 -> Index tabla
00065 ;0x23 -> Numero total de caracteres
00066 ;*****
0013 302F      00067 movlw 0x2F ;Inicio a la derecha
0014 00A1      00068 movwf 0x21 ;Registro de direccion
0015 01A2      00069 clrf 0x22 ;Registro index FSR
0016 3004      00070 movlw 0x04 ;Numero total de caracteres
0017 00A3      00071 movwf 0x23
00072 ;*****
00073 ;Mensaje
00074 ;Direccion de inicio 0x24 - 0x7F
00075 ;*****
0018 3024      00076 movlw 0x24 ;Direccion de inicio de la tabla
0019 0084      00077 movwf 0x04 ;FSR
001A 3001      00078 movlw HIGH(_mensaje)
001B 008A      00079 movwf 0x0A
001C 0822      00080 movf 0x22,0
001D 2100      00081 call _mensaje
001E 0080      00082 movwf 0x00 ;INDF
001F 0AA2      00083 incf 0x22,1
0020 0A84      00084 incf 0x04,1 ;FSR+1
0021 0BA3      00085 decfsz 0x23,1
0022 281C      00086 goto $-6
0023 018A      00087 clrf 0x0A ;Volviendo a poner el PCLATH en 0
00088 ;*****
00089 ;Estableciendo vectores de inicio FSR
00090 ;*****
0024 3024      00091 movlw 0x24
0025 0084      00092 movwf 0x04
00093 ;*****
00094 ;*****
00095 ;Estableciendo numero total de caracteres
00096 ;*****
0026 3004      00097 movlw 0x04
0027 00A3      00098 movwf 0x23
00099 ;*****
00100 ;Programa Principal
00101 ;*****
0028 2031      00102 _m1 call _direccion
0029 0800      00103 movf 0x00,0 ;INDF
002A 0086      00104 movwf 0x06 ;PORTB
002B 203E      00105 call _lectura

```

LOC OBJECT CODE LINE SOURCE TEXT
VALUE

```

002C 2041      00106 call _timer
002D 0A84      00107 incf 0x04,1
002E 0BA3      00108 decfsz 0x23,1
002F 2828      00109 goto _m1
                00110 ;*****
                00111 ;Estableciendo vectores de inicio FSR
                00112 ;*****
                00113 ;movf 0x04,0 ;Leyendo posicion actual del FSR
                00114 ;*****
                00115 ;*****
                00116 ;Estableciendo numero total de caracteres
                00117 ;*****
                00118 ;movlw 0x04
                00119 ;movwf 0x23
0030 2830      00120 goto $+0
                00121 ;*****
                00122 ;Algoritmo de direccion
                00123 ;*****
                00124 ;Posición del caracter
                00125 ;*****
                00126 ; A2 A1 A0
                00127 ; 1 0 0 -> Digit 0 (Derecha)
                00128 ; 1 0 1 -> Digit 1
                00129 ; 1 1 0 -> Digit 2
                00130 ; 1 1 1 -> Digit 3 (Izquierda)
                00131 ;*****
0031 0821      00132 _direccion movf 0x21,0 ;Cargando direccion
0032 0085      00133 movwf 0x05 ;PORTA
0033 03A1      00134 decf 0x21,1
0034 302B      00135 movlw 0x2B ;Direccion 2C - 1 para que funcione
0035 0621      00136 xorwf 0x21,0
0036 1D03      00137 btfss 0x03,2
0037 0008      00138 return
0038 302F      00139 movlw 0x2F ;Empieza a la derecha
0039 00A1      00140 movwf 0x21
003A 0008      00141 return
                00142 ;*****
                00143 ;Antilectura
                00144 ;*****
003B 1205      00145 _antilectura bcf 0x05,4 ;WR = 1

```

```

003C 1685      00146 bsf 0x05,5 ;RD = 0
003D 0008      00147 return
                00148 ;*****
                00149 ;Lectura
                00150 ;*****
003E 1605      00151 _lectura bsf 0x05,4 ;WR = 0
003F 1285      00152 bcf 0x05,5 ;RD = 1
0040 0008      00153 return
                00154 ;*****
                00155 ;Timer
                00156 ;*****
0041 3008 00157 _timer movlw 0x08 ;Aprox .5 seg
0042 00A0 00158 movwf 0x20

```

MPASM 5.51 MATRIZ.ASM 4-30-2016 21:02:53 PAGE 4

LOC OBJECT CODE LINE SOURCE TEXT
VALUE

```

0043 0181      00159 _TLoop clrf 0x01 ;TMR0
0044 1D0B      00160 btfs 0x0B,2 ;TMR0IF=1????
0045 2844      00161 goto $-1
0046 110B      00162 bcf 0x0B,2 ;TMR0IF = 0
0047 0BA0      00163 decfsz 0x20,1
0048 2843      00164 goto _TLoop
0049 0008      00165 return
                00166 ;*****
                00167 ;Mensaje
                00168 ;*****
0100          00169 org 0x100
0100 0782 00170 _mensaje addwf 0x02,1
0101 3455 3441 3443 00171 dt "UACM"
                344D
                00172 end

```

MPASM 5.51 MATRIZ.ASM 4-30-2016 21:02:53 PAGE 5

SYMBOL TABLE

LABEL	VALUE
_TLoop	00000043
_16F886	00000001
_antilectura	0000003B
_direccion	00000031
_lectura	0000003E

```
_m1          00000028
_mensaje     00000100
_timer       00000041
```

MEMORY USAGE MAP ('X' = Used, '-' = Unused)

```
0000 : XXXXXXXXXXXXXXXXXXXX XXXXXXXXXXXXXXXXXXXX
XXXXXXXXXXXXXXXXXXXXXXXX XXXXXXXXXXXXXXXXXXXX
0040 : XXXXXXXXXXXX-----
0100 : XXXXX-----
```

All other memory blocks unused.

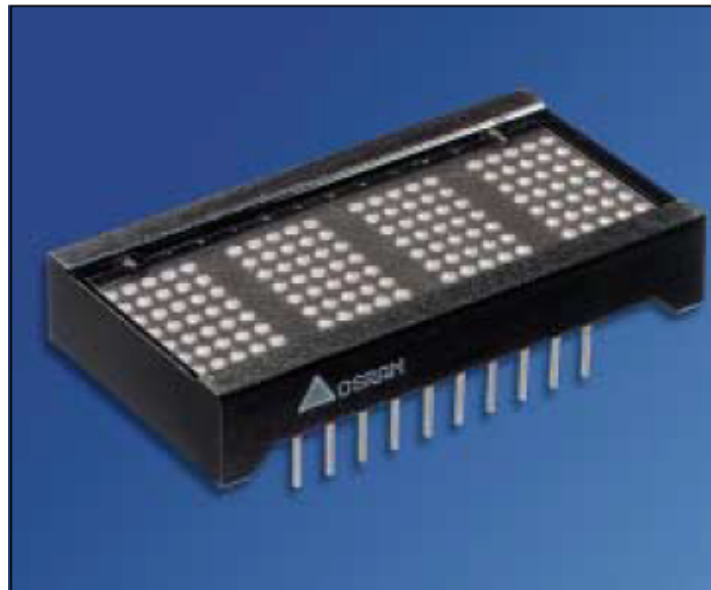
Program Memory Words Used: 79
Program Memory Words Free: 8113

Errors : 0
Warnings : 0 reported, 0 suppressed
Messages : 0 reported, 5 suppressed

C1.3

Esquemático circuito pantalla led

- Características pantalla OSRAM PD4437:



- Módulo de 4 dígitos
- Funciones de control integradas
- Compatible con niveles TTL
- Carácter en formato ASCII
- Se puede conectar en cascada

Distribución de pines:

Pin	Function	Definition	Pin	Function	Definition
1	\overline{RD}	Active low, will enable a processor to read all registers in the display.	11	\overline{WR}	Write. Active low. If the device is selected, a low on the write input loads the data into memory.
2	CLK I/O	If CLK SEL (pin 3) is low, then expect an external clock source into this pin. If CLK SEL is high, then this pin will be the master or source into this pin. If CLK SEL is high, then this pin will be the master or source for all other devices which have CLK SEL low.	12	D7	Data Bus bit 7 (MSB).
3	\overline{CLKSEL}	CLOCK SELECT determines the action of pin 2. CLK I/O, see the section on Cascading for an example.	13	D6	Data Bus bit 6.
4	\overline{RST}	Reset. Used to synchronize blinking. Will not clear the display. The reset pulse should be less than 1 ms	14	D5	Data Bus bit 5.
5	CE1	Chip enable (active high).	15	D4	Data Bus bit 4.
6	$\overline{CE0}$	Chip enable (active low).	16	D3	Data Bus bit 3.
7	A2	Address input (MSB).	17	D2	Data Bus bit 2.
8	A1	Address input.	18	D1	Data Bus bit 1.
9	A0	Address input (LSB).	19	D0	Data Bus bit 0 (LSB).
10	GND	Ground.	20	V_{CC}	Positive power pin.

Características eléctricas:

Parameter	Limits				Conditions
	Min.	Typ.	Max.	Units	
V_{CC}	4.5	5.0	5.5	Volts	Nominal
I_{CC} (Blank)	—	2.5	3.5	mA	$V_{CC}=5.0$ V, A2=1, all other inputs low.
I_{CC} 80 LEDs/unit (100% Bright) PD243X PD353X PD443X	—	115 145 150	130 165 170	mA mA mA	$V_{CC}=5.0$ V $V_{CC}=5.0$ V $V_{CC}=5.0$ V
V_{IL}	—	—	0.8	Volts	$V_{CC}=4.5$ V to 5.5 V
V_{IH}	2.0	—	—	Volts	$V_{CC}=4.5$ V to 5.5 V
I_{IL} (except D0 to D7) ⁽¹⁾	25	—	100	μ A	$V_{CC}=4.5$ V to 5.5 V, $V_{IN}=0.8$ V
V_{OL}	—	—	0.4	Volts	$V_{CC}=4.5$ V to 5.5 V
V_{OH}	2.4	—	—	Volts	$V_{CC}=4.5$ V to 5.5 V
I_{OH}	-8.9	—	—	mA	$V_{CC}=4.5$ V, $V_{OH}=2.4$ V
I_{OL}	1.6	—	—	mA	$V_{CC}=4.5$ V, $V_{OL}=0.4$ V
Data I/O Bus Loading	—	—	100	pF	—
Clock I/O Bus Loading	—	—	240	pF	—

¹⁾ D0 to D7 have no pull-up resistors so current is negligible.

- Modo de operación

Pines de control lectura/escritura:

El pin de lectura (pin 1) y escritura (pin 11) controlan el comportamiento del bus de datos, a continuación se muestra la tabla de operación.

RD!	WR!	Bus de datos (D7-D0)
X	X	Invalido
0	1	Salida
1	0	Entrada

Pines de activación:

El pin de activación CE0! (pin 6) habilita la escritura/lectura, mientras que el pin CE1 (pin 5) habilita el chip, a continuación se muestra su tabla de operación.

CE0!	CE1	RD!	WR!	Operación
0	1	0	0	Ninguna
1	X	X	X	Ninguna

X	0	X	X	Ninguna
X	X	1	1	Ninguna

Bus de direccionamiento:

Este bus está compuesto por los pines A2-A0 (pin 7-9), a continuación se muestra su tabla de operación.

A2	A1	A0	Contenido
0	X	X	Palabra de control
1	0	0	Dígito 0 (extremo Der.)
1	0	1	Dígito 1
1	1	0	Dígito 2
1	1	1	Dígito 3 (extremo Izq.)

Bus de datos:

Este bus esta compuesto por los pines D7-D0 (pin 12-19), entre las funciones de este bus se encuentra la transmisión/recepción de los datos pero también es el encargado de establecer la palabra de control de la pantalla.

Palabra de control:

Cuando el pin de dirección A2 (pin 7) se establece en estado bajo se accede a la palabra de control, esto aplica para los pines de dirección restantes, este registro se encarga de limpiar la pantalla, establecer el brillo, y de los atributos individuales de cada dígito.

Nivel de intensidad:

El nivel de intensidad es definido mediante los dos bits menos significativos del bus de datos (D0-D1), en la tabla siguiente se muestran los niveles de intensidad.

D7	D6	D5	D4	D3	D2	D1	D0	Brillo
0	0	X	X	X	X	0	0	0%
0	0	X	X	X	X	0	1	25%
0	0	X	X	X	X	1	0	50%
0	0	X	X	X	X	1	1	100%

Atributos:

Los bits D4,D3 y D2 controlan los efectos visuales de cada dígito que se muestra en pantalla, esta pantalla tiene cuatro diferentes atributos, para poder utilizarlos el bit D4 en la palabra de control (Atributos habilitados) debe estar siempre en alto de lo contrario los bits D3-D2 serán ignorados.

Los atributos no se destruyen, por ejemplo si el dígito tiene en alto el bit D7 el carácter es remplazado por el cursor, el carácter permanecerá en memoria y solo puede ser revertido de nuevo poniendo en bajo el bit D4, en la tabla siguiente se muestran todos los posibles atributos.

D7	D6	D5	D4	D3	D2	D1	D0	Atributo
X	X	X	0	X	X	B	B	Atributos deshabilitados
X	X	X	1	0	0	B	B	Muestra cursor en lugar de carácter
X	X	X	1	0	1	B	B	Parpadeo del carácter
X	X	X	1	1	0	B	B	Muestra cursor parpadeando en lugar de carácter
X	X	X	1	1	1	B	B	Alterna entre carácter y cursor

B -> Nivel de brillo seleccionado.

Parpadeo:

El bit D5 se encarga de causar un parpadeo general cuya frecuencia es de 2 Hz, en la siguiente tabla se muestran la tabla de control para este bit.

D7	D6	D5	D4	D3	D2	D1	D0	Acción
0	0	1	X	X	X	B	B	Parpadeo total de la pantalla

Test:

Si se pone en alto el bit D6 todos los leds que conforman la pantalla se encienden con un brillo del 50%, si el bit D6 se limpia todos los dígitos muestran los caracteres que tenía antes, en la siguiente tabla se muestran la tabla de control para este bit.

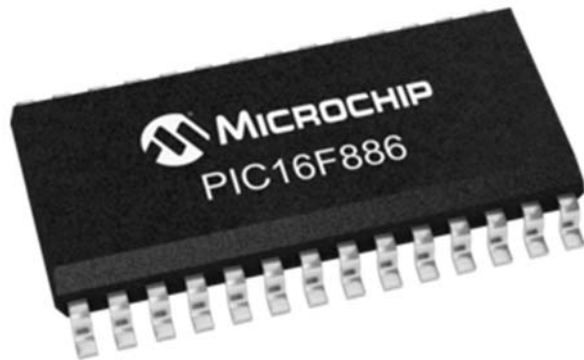
D7	D6	D5	D4	D3	D2	D1	D0	Acción
0	1	0	X	X	X	X	X	Test

Limpiar pantalla:

El bit D7 se encarga de eliminar los caracteres que se muestran en pantalla, y todos los datos que se encuentren guardados en memoria son puestos a cero, en la siguiente tabla se muestran la tabla de control para este bit.

D7	D6	D5	D4	D3	D2	D1	D0	Acción
1	0	X	X	X	X	X	X	La pantalla no muestra ningún carácter

- Características a destacar del microcontrolador PIC16F886



- Memoria programa de 14KB
- Memoria dato de 368 Bytes

D1.1

Firmware DAQ

; LST file generated by mikroListExporter - v.2.0

; Código DAQ

;E. David Rojas Serrano <edx@edx-twin3.org>

;http://www.edx-twin3.org

;-----

```
;Address Opcode   ASM
0x0000      0x2EB3      GOTO    1715
_interrupt:
0x0004      0x087D      MOVF    R13, 0
0x0005      0x0020      MOVLB   0
0x0006      0x00A1      MOVWF   33
0x0007      0x018A      CLRF   PCLATH
0x0008      0x0183      CLRF   STATUS
;PuenteH.c,99 ::      void interrupt(void)
;PuenteH.c,102 ::     movlb 0x00
0x0009      0x0020      MOVLB   0
;PuenteH.c,103 ::     bcf 0x0B,2 //TMR0IF = 0;
0x000A      0x110B      BCF    INTCON, 2
;PuenteH.c,104 ::     decfsz _tiempo,1
0x000B      0x0BB2      DECFSZ  _tiempo, 1
;PuenteH.c,105 ::     retfie
0x000C      0x0009      RETFIE  0
;PuenteH.c,107 ::     Delay_us(288);
0x000D      0x30BF      MOVLW   191
0x000E      0x00FD      MOVWF   R13
L_interrupt0:
0x000F      0x0BFD      DECFSZ  R13, 1
0x0010      0x280F      GOTO    L_interrupt0
0x0011      0x0000      NOP
0x0012      0x0000      NOP
;PuenteH.c,108 ::     asm{retfie}
0x0013      0x0009      RETFIE  0
;PuenteH.c,109 ::     }
L_end_interrupt:
L_interrupt12:
0x0014      0x0821      MOVF    33, 0
0x0015      0x00FD      MOVWF   R13
0x0016      0x0009      RETFIE  %s
; end of _interrupt
_SETFOV32:
;__Lib_MathDouble.c,79 ::
;__Lib_MathDouble.c,86 ::
0x0017      0x14FB      BSF    R11, 1
```

```

;__Lib_MathDouble.c,87 ::
0x0018      0x1FFB      BTFSS    R11, 7
;__Lib_MathDouble.c,88 ::
0x0019      0x2821      GOTO     SETFOV32EEE
;__Lib_MathDouble.c,89 ::
0x001A      0x30FF      MOVLW   255
;__Lib_MathDouble.c,90 ::
0x001B      0x00F3      MOVWF   R3
;__Lib_MathDouble.c,91 ::
0x001C      0x00F2      MOVWF   R2
;__Lib_MathDouble.c,92 ::
0x001D      0x00F1      MOVWF   R1
;__Lib_MathDouble.c,93 ::
0x001E      0x00F0      MOVWF   R0
;__Lib_MathDouble.c,94 ::
0x001F      0x0DFA      RLF     R10, 1
;__Lib_MathDouble.c,95 ::
0x0020      0x0CF2      RRF     R2, 1
;__Lib_MathDouble.c,96 ::
SETFOV32EEE:
;__Lib_MathDouble.c,97 ::
0x0021      0x30FF      MOVLW   255
;__Lib_MathDouble.c,99 ::
L_end_SETFOV32:
0x0022      0x0008      RETURN
;end of _SETFOV32
_RES032:
;__Lib_MathDouble.c,123 ::
;__Lib_MathDouble.c,128 ::
0x0023      0x01F2      CLRF    R2
;__Lib_MathDouble.c,129 ::
0x0024      0x01F1      CLRF    R1
;__Lib_MathDouble.c,130 ::
0x0025      0x01F0      CLRF    R0
;__Lib_MathDouble.c,131 ::
0x0026      0x01F8      CLRF    R8
;__Lib_MathDouble.c,132 ::
0x0027      0x01F3      CLRF    R3
;__Lib_MathDouble.c,133 ::
0x0028      0x3000      MOVLW   0
;__Lib_MathDouble.c,135 ::
L_end_RES032:
0x0029      0x0008      RETURN
;end of _RES032
_SETFUN32:
;__Lib_MathDouble.c,138 ::
;__Lib_MathDouble.c,145 ::

```

```

0x002A    0x157B    BSF     R11, 2
;__Lib_MathDouble.c,146 ::
0x002B    0x1FFB    BTFSS  R11, 7
;__Lib_MathDouble.c,147 ::
0x002C    0x2834    GOTO   SETFUN32EEE
;__Lib_MathDouble.c,148 ::
0x002D    0x3001    MOVLW  1
;__Lib_MathDouble.c,149 ::
0x002E    0x00F3    MOVWF  R3
;__Lib_MathDouble.c,150 ::
0x002F    0x01F2    CLRF   R2
;__Lib_MathDouble.c,151 ::
0x0030    0x01F1    CLRF   R1
;__Lib_MathDouble.c,152 ::
0x0031    0x01F0    CLRF   R0
;__Lib_MathDouble.c,153 ::
0x0032    0x0DFA    RLF    R10, 1
;__Lib_MathDouble.c,154 ::
0x0033    0x0CF2    RRF    R2, 1
;__Lib_MathDouble.c,155 ::
SETFUN32EEE:
;__Lib_MathDouble.c,156 ::
0x0034    0x30FF    MOVLW  255
;__Lib_MathDouble.c,158 ::
L_end_SETFUN32:
0x0035    0x0008    RETURN
; end of _SETFUN32
_FIXSIGN32:
;__Lib_MathDouble.c,112 ::
;__Lib_MathDouble.c,116 ::
0x0036    0x1FFA    BTFSS  R10, 7
;__Lib_MathDouble.c,117 ::
0x0037    0x13F2    BCF    R2, 7
;__Lib_MathDouble.c,118 ::
0x0038    0x3000    MOVLW  0
;__Lib_MathDouble.c,120 ::
L_end_FIXSIGN32:
0x0039    0x0008    RETURN
; end of _FIXSIGN32
_Compare_Double:
;__Lib_MathDouble.c,2038 ::
;__Lib_MathDouble.c,2047 ::
;__Lib_MathDouble.c,2049 ::
0x003A    0x0020    MOVLB  0
;__Lib_MathDouble.c,2051 ::
0x003B    0x01FA    CLRF   R10
;__Lib_MathDouble.c,2052 ::

```

```

0x003C    0x0873    MOVF    R3, 0
;__Lib_MathDouble.c,2053 ::
0x003D    0x1D03    BTFSS  STATUS, 2
;__Lib_MathDouble.c,2054 ::
0x003E    0x147A    BSF    R10, 0
;__Lib_MathDouble.c,2055 ::
0x003F    0x0877    MOVF    R7, 0
;__Lib_MathDouble.c,2056 ::
0x0040    0x1D03    BTFSS  STATUS, 2
;__Lib_MathDouble.c,2057 ::
0x0041    0x14FA    BSF    R10, 1
;__Lib_MathDouble.c,2059 ::
0x0042    0x087A    MOVF    R10, 0
;__Lib_MathDouble.c,2060 ::
0x0043    0x1903    BTFSC  STATUS, 2
;__Lib_MathDouble.c,2061 ::
0x0044    0x2885    GOTO   COMPARE_EQU
;__Lib_MathDouble.c,2062 ::
0x0045    0x3A03    XORLW  3
;__Lib_MathDouble.c,2063 ::
0x0046    0x1903    BTFSC  STATUS, 2
;__Lib_MathDouble.c,2064 ::
0x0047    0x2850    GOTO   COMPARE_NOTZERO
;__Lib_MathDouble.c,2066 ::
0x0048    0x187A    BTFSC  R10, 0
;__Lib_MathDouble.c,2067 ::
0x0049    0x284D    GOTO   COMPARE_XNOTZERO
;__Lib_MathDouble.c,2069 ::
0x004A    0x1FF6    BTFSS  R6, 7
;__Lib_MathDouble.c,2070 ::
0x004B    0x2883    GOTO   COMPARE_LT
;__Lib_MathDouble.c,2071 ::
0x004C    0x2881    GOTO   COMPARE_GT
;__Lib_MathDouble.c,2072 ::
COMPARE_XNOTZERO:
;__Lib_MathDouble.c,2073 ::
0x004D    0x1FF2    BTFSS  R2, 7
;__Lib_MathDouble.c,2074 ::
0x004E    0x2881    GOTO   COMPARE_GT
;__Lib_MathDouble.c,2075 ::
0x004F    0x2883    GOTO   COMPARE_LT
;__Lib_MathDouble.c,2077 ::
COMPARE_NOTZERO:
;__Lib_MathDouble.c,2078 ::
0x0050    0x0872    MOVF    R2, 0
;__Lib_MathDouble.c,2079 ::
0x0051    0x3980    ANDLW  128

```

```

;__Lib_MathDouble.c,2080 ::
0x0052    0x00FA    MOVWF    R10
;__Lib_MathDouble.c,2081 ::
0x0053    0x13F2    BCF     R2, 7
;__Lib_MathDouble.c,2083 ::
0x0054    0x0876    MOVF    R6, 0
;__Lib_MathDouble.c,2084 ::
0x0055    0x3980    ANDLW   128
;__Lib_MathDouble.c,2085 ::
0x0056    0x13F6    BCF     R6, 7
;__Lib_MathDouble.c,2087 ::
0x0057    0x067A    XORWF   R10, 0
;__Lib_MathDouble.c,2088 ::
0x0058    0x1903    BTFSC   STATUS, 2
;__Lib_MathDouble.c,2089 ::
0x0059    0x285E    GOTO    COMPARE_TESTALL
;__Lib_MathDouble.c,2091 ::
0x005A    0x087A    MOVF    R10, 0
;__Lib_MathDouble.c,2092 ::
0x005B    0x1903    BTFSC   STATUS, 2
;__Lib_MathDouble.c,2093 ::
0x005C    0x2881    GOTO    COMPARE_GT
;__Lib_MathDouble.c,2094 ::
0x005D    0x2883    GOTO    COMPARE_LT
;__Lib_MathDouble.c,2096 ::
COMPARE_TESTALL:
;__Lib_MathDouble.c,2097 ::
0x005E    0x0877    MOVF    R7, 0
;__Lib_MathDouble.c,2098 ::
0x005F    0x0273    SUBWF   R3, 0
;__Lib_MathDouble.c,2099 ::
0x0060    0x1903    BTFSC   STATUS, 2
;__Lib_MathDouble.c,2100 ::
0x0061    0x2865    GOTO    COMPARE_C1
;__Lib_MathDouble.c,2101 ::
0x0062    0x1C03    BTFSS   STATUS, 0
;__Lib_MathDouble.c,2102 ::
0x0063    0x2879    GOTO    GT_FALSE
;__Lib_MathDouble.c,2103 ::
0x0064    0x287D    GOTO    GT_TRUE
;__Lib_MathDouble.c,2104 ::
COMPARE_C1:
;__Lib_MathDouble.c,2105 ::
0x0065    0x0876    MOVF    R6, 0
;__Lib_MathDouble.c,2106 ::
0x0066    0x0272    SUBWF   R2, 0
;__Lib_MathDouble.c,2107 ::

```

```

0x0067      0x1903      BTFSC  STATUS, 2
;__Lib_MathDouble.c,2108 ::
0x0068      0x286C      GOTO   COMPARE_C2
;__Lib_MathDouble.c,2109 ::
0x0069      0x1C03      BTFSS  STATUS, 0
;__Lib_MathDouble.c,2110 ::
0x006A      0x2879      GOTO   GT_FALSE
;__Lib_MathDouble.c,2111 ::
0x006B      0x287D      GOTO   GT_TRUE
;__Lib_MathDouble.c,2112 ::
COMPARE_C2:
;__Lib_MathDouble.c,2113 ::
0x006C      0x0875      MOVF   R5, 0
;__Lib_MathDouble.c,2114 ::
0x006D      0x0271      SUBWF  R1, 0
;__Lib_MathDouble.c,2115 ::
0x006E      0x1903      BTFSC  STATUS, 2
;__Lib_MathDouble.c,2116 ::
0x006F      0x2873      GOTO   COMPARE_C3
;__Lib_MathDouble.c,2117 ::
0x0070      0x1C03      BTFSS  STATUS, 0
;__Lib_MathDouble.c,2118 ::
0x0071      0x2879      GOTO   GT_FALSE
;__Lib_MathDouble.c,2119 ::
0x0072      0x287D      GOTO   GT_TRUE
;__Lib_MathDouble.c,2120 ::
COMPARE_C3:
;__Lib_MathDouble.c,2121 ::
0x0073      0x0874      MOVF   R4, 0
;__Lib_MathDouble.c,2122 ::
0x0074      0x0270      SUBWF  R0, 0
;__Lib_MathDouble.c,2123 ::
0x0075      0x1903      BTFSC  STATUS, 2
;__Lib_MathDouble.c,2124 ::
0x0076      0x2885      GOTO   COMPARE_EQU
;__Lib_MathDouble.c,2125 ::
0x0077      0x1803      BTFSC  STATUS, 0
;__Lib_MathDouble.c,2126 ::
0x0078      0x287D      GOTO   GT_TRUE
;__Lib_MathDouble.c,2128 ::
GT_FALSE:
;__Lib_MathDouble.c,2129 ::
0x0079      0x08FA      MOVF   R10, 1
;__Lib_MathDouble.c,2130 ::
0x007A      0x1903      BTFSC  STATUS, 2
;__Lib_MathDouble.c,2131 ::
0x007B      0x2883      GOTO   COMPARE_LT

```

```

;__Lib_MathDouble.c,2132 ::
0x007C    0x2881    GOTO    COMPARE_GT
;__Lib_MathDouble.c,2133 ::
GT_TRUE:
;__Lib_MathDouble.c,2134 ::
0x007D    0x08FA    MOVF    R10, 1
;__Lib_MathDouble.c,2135 ::
0x007E    0x1903    BTFSC   STATUS, 2
;__Lib_MathDouble.c,2136 ::
0x007F    0x2881    GOTO    COMPARE_GT
;__Lib_MathDouble.c,2137 ::
0x0080    0x2883    GOTO    COMPARE_LT
;__Lib_MathDouble.c,2139 ::
COMPARE_GT:
;__Lib_MathDouble.c,2142 ::
0x0081    0x1403    BSF     STATUS, 0
;__Lib_MathDouble.c,2143 ::
0x0082    0x0008    RETURN
;__Lib_MathDouble.c,2144 ::
COMPARE_LT:
;__Lib_MathDouble.c,2147 ::
0x0083    0x1003    BCF     STATUS, 0
;__Lib_MathDouble.c,2148 ::
0x0084    0x0008    RETURN
;__Lib_MathDouble.c,2149 ::
COMPARE_EQU:
;__Lib_MathDouble.c,2152 ::
0x0085    0x1403    BSF     STATUS, 0
;__Lib_MathDouble.c,2153 ::
0x0086    0x1503    BSF     STATUS, 2
;__Lib_MathDouble.c,2154 ::
0x0087    0x0008    RETURN
;__Lib_MathDouble.c,2156 ::
L_end_Compare_Double:
0x0088    0x0008    RETURN
; end of _Compare_Double
_strcpy:
;__Lib_CString.c,126 ::
;__Lib_CString.c,129 ::
0x0089    0x0020    MOVLB   0
0x008A    0x085A    MOVF    FARG_strcpy_to, 0
0x008B    0x00F4    MOVWF   R4
0x008C    0x085B    MOVF    FARG_strcpy_to+1, 0
0x008D    0x00F5    MOVWF   R4+1
;__Lib_CString.c,130 ::
L_strcpy34:
0x008E    0x0874    MOVF    R4, 0

```

```

0x008F    0x00F2    MOVWF    R2
0x0090    0x0875    MOVF     R4+1, 0
0x0091    0x00F3    MOVWF    R3
0x0092    0x0AF4    INCF     R4, 1
0x0093    0x1903    BTFSC   STATUS, 2
0x0094    0x0AF5    INCF     R4+1, 1
0x0095    0x085C    MOVF     FARG_stncpy_from, 0
0x0096    0x00F0    MOVWF    R0
0x0097    0x085D    MOVF     FARG_stncpy_from+1, 0
0x0098    0x00F1    MOVWF    R1
0x0099    0x0ADC    INCF     FARG_stncpy_from, 1
0x009A    0x1903    BTFSC   STATUS, 2
0x009B    0x0ADD    INCF     FARG_stncpy_from+1, 1
0x009C    0x0870    MOVF     R0, 0
0x009D    0x0084    MOVWF    FSR0
0x009E    0x0871    MOVF     R1, 0
0x009F    0x0085    MOVWF    FSR0H
0x00A0    0x0872    MOVF     R2, 0
0x00A1    0x0086    MOVWF    FSR1
0x00A2    0x0873    MOVF     R3, 0
0x00A3    0x0087    MOVWF    FSR1H
0x00A4    0x0800    MOVF     INDF0, 0
0x00A5    0x0081    MOVWF    INDF1
0x00A6    0x0872    MOVF     R2, 0
0x00A7    0x0084    MOVWF    FSR0
0x00A8    0x0873    MOVF     R3, 0
0x00A9    0x0085    MOVWF    FSR0H
0x00AA    0x0800    MOVF     INDF0, 0
0x00AB    0x1903    BTFSC   STATUS, 2
0x00AC    0x28AE    GOTO     L_stncpy35
;__Lib_CString.c,131 ::
0x00AD    0x288E    GOTO     L_stncpy34
L_stncpy35:
;__Lib_CString.c,132 ::
0x00AE    0x085A    MOVF     FARG_stncpy_to, 0
0x00AF    0x00F0    MOVWF    R0
0x00B0    0x085B    MOVF     FARG_stncpy_to+1, 0
0x00B1    0x00F1    MOVWF    R1
;__Lib_CString.c,133 ::
L_end_stncpy:
0x00B2    0x0008    RETURN
; end of _stncpy
_UART1_Write:
;__Lib_UART_b21.c,53 ::
;__Lib_UART_b21.c,54 ::
L_UART1_Write3:
0x00B3    0x0023    MOVLB    3

```

```

0x00B4      0x189E      BTFSC    TXSTA, 1
0x00B5      0x28B8      GOTO     L_UART1_Write4
;__Lib_UART_b21.c,55 ::
0x00B6      0x0000      NOP
0x00B7      0x28B3      GOTO     L_UART1_Write3
L_UART1_Write4:
;__Lib_UART_b21.c,56 ::
0x00B8      0x0020      MOVLB   0
0x00B9      0x085A      MOVF    FARG_UART1_Write_data_, 0
0x00BA      0x0023      MOVLB   3
0x00BB      0x009A      MOVWF   TXREG
;__Lib_UART_b21.c,57 ::
L_end_UART1_Write:
0x00BC      0x0008      RETURN
; end of _UART1_Write
_SETFDZ32:
;__Lib_MathDouble.c,102 ::
;__Lib_MathDouble.c,105 ::
0x00BD      0x15FB      BSF     R11, 3
;__Lib_MathDouble.c,106 ::
0x00BE      0x30FF      MOVLW   255
;__Lib_MathDouble.c,108 ::
L_end_SETFDZ32:
0x00BF      0x0008      RETURN
; end of _SETFDZ32
_Mul_32x32_FP:
;__Lib_MathDouble.c,608 ::
;__Lib_MathDouble.c,620 ::
;__Lib_MathDouble.c,622 ::
0x00C0      0x0020      MOVLB   0
;__Lib_MathDouble.c,624 ::
0x00C1      0x01FB      CLRF    R11
;__Lib_MathDouble.c,625 ::
0x00C2      0x0873      MOVF    R3, 0
;__Lib_MathDouble.c,626 ::
0x00C3      0x1D03      BTFSS   STATUS, 2
;__Lib_MathDouble.c,627 ::
0x00C4      0x0877      MOVF    R7, 0
;__Lib_MathDouble.c,628 ::
0x00C5      0x1903      BTFSC   STATUS, 2
;__Lib_MathDouble.c,629 ::
0x00C6      0x2916      GOTO    JPMRES032
;__Lib_MathDouble.c,631 ::
0x00C7      0x0872      MOVF    R2, 0
;__Lib_MathDouble.c,632 ::
0x00C8      0x0676      XORWF   R6, 0
;__Lib_MathDouble.c,633 ::

```

```

0x00C9      0x00FA      MOVWF    R10
;__Lib_MathDouble.c,634 ::
0x00CA      0x0877      MOVF     R7, 0
;__Lib_MathDouble.c,635 ::
0x00CB      0x07F3      ADDWF   R3, 1
;__Lib_MathDouble.c,636 ::
0x00CC      0x307E      MOVLW   126
;__Lib_MathDouble.c,637 ::
0x00CD      0x1C03      BTFSS   STATUS, 0
;__Lib_MathDouble.c,638 ::
0x00CE      0x28D3      GOTO    MTUN32
;__Lib_MathDouble.c,639 ::
0x00CF      0x02F3      SUBWF   R3, 1
;__Lib_MathDouble.c,640 ::
0x00D0      0x1803      BTFSC   STATUS, 0
;__Lib_MathDouble.c,641 ::
0x00D1      0x2919      GOTO    JPMSETFOV32
;__Lib_MathDouble.c,642 ::
0x00D2      0x28D6      GOTO    MOK32
;__Lib_MathDouble.c,643 ::
MTUN32:
;__Lib_MathDouble.c,644 ::
0x00D3      0x02F3      SUBWF   R3, 1
;__Lib_MathDouble.c,645 ::
0x00D4      0x1C03      BTFSS   STATUS, 0
;__Lib_MathDouble.c,646 ::
0x00D5      0x291C      GOTO    JPMSETFUN32
;__Lib_MathDouble.c,647 ::
MOK32:
;__Lib_MathDouble.c,648 ::
0x00D6      0x0872      MOVF     R2, 0
;__Lib_MathDouble.c,649 ::
0x00D7      0x00F8      MOVWF   R8
;__Lib_MathDouble.c,650 ::
0x00D8      0x0871      MOVF     R1, 0
;__Lib_MathDouble.c,651 ::
0x00D9      0x00FC      MOVWF   R12
;__Lib_MathDouble.c,652 ::
0x00DA      0x0870      MOVF     R0, 0
;__Lib_MathDouble.c,653 ::
0x00DB      0x00FD      MOVWF   R13
;__Lib_MathDouble.c,654 ::
0x00DC      0x17F8      BSF     R8, 7
;__Lib_MathDouble.c,655 ::
0x00DD      0x17F6      BSF     R6, 7
;__Lib_MathDouble.c,656 ::
0x00DE      0x1003      BCF     STATUS, 0

```

```

;__Lib_MathDouble.c,657 ::
0x00DF    0x01F2    CLRF    R2
;__Lib_MathDouble.c,658 ::
0x00E0    0x01F1    CLRF    R1
;__Lib_MathDouble.c,659 ::
0x00E1    0x01F0    CLRF    R0
;__Lib_MathDouble.c,660 ::
0x00E2    0x3018    MOVLW   24
;__Lib_MathDouble.c,661 ::
0x00E3    0x00A0    MOVWF   __math_tempbD
;__Lib_MathDouble.c,662 ::
MLOOP32:
;__Lib_MathDouble.c,663 ::
0x00E4    0x1C7D    BTFSS   R13, 0
;__Lib_MathDouble.c,664 ::
0x00E5    0x28F0    GOTO    MNOADD32
;__Lib_MathDouble.c,666 ::
0x00E6    0x0874    MOVF    R4, 0
;__Lib_MathDouble.c,667 ::
0x00E7    0x07F0    ADDWF   R0, 1
;__Lib_MathDouble.c,668 ::
0x00E8    0x0875    MOVF    R5, 0
;__Lib_MathDouble.c,669 ::
0x00E9    0x1803    BTFSC   STATUS, 0
;__Lib_MathDouble.c,670 ::
0x00EA    0x0F75    INCFSZ  R5, 0
;__Lib_MathDouble.c,671 ::
0x00EB    0x07F1    ADDWF   R1, 1
;__Lib_MathDouble.c,672 ::
0x00EC    0x0876    MOVF    R6, 0
;__Lib_MathDouble.c,673 ::
0x00ED    0x1803    BTFSC   STATUS, 0
;__Lib_MathDouble.c,674 ::
0x00EE    0x0F76    INCFSZ  R6, 0
;__Lib_MathDouble.c,675 ::
0x00EF    0x07F2    ADDWF   R2, 1
;__Lib_MathDouble.c,676 ::
MNOADD32:
;__Lib_MathDouble.c,677 ::
0x00F0    0x0CF2    RRF     R2, 1
;__Lib_MathDouble.c,678 ::
0x00F1    0x0CF1    RRF     R1, 1
;__Lib_MathDouble.c,679 ::
0x00F2    0x0CF0    RRF     R0, 1
;__Lib_MathDouble.c,680 ::
0x00F3    0x0CF8    RRF     R8, 1
;__Lib_MathDouble.c,681 ::

```

```

0x00F4      0x0CFC      RRF      R12, 1
;__Lib_MathDouble.c,682 ::
0x00F5      0x0CFD      RRF      R13, 1
;__Lib_MathDouble.c,683 ::
0x00F6      0x1003      BCF      STATUS, 0
;__Lib_MathDouble.c,684 ::
0x00F7      0x0BA0      DECFSZ   __math_tempbD, 1
;__Lib_MathDouble.c,685 ::
0x00F8      0x28E4      GOTO     MLOOP32
;__Lib_MathDouble.c,686 ::
0x00F9      0x1BF2      BTFSC    R2, 7
;__Lib_MathDouble.c,687 ::
0x00FA      0x2900      GOTO     MROUND32
;__Lib_MathDouble.c,688 ::
0x00FB      0x0DF8      RLF      R8, 1
;__Lib_MathDouble.c,689 ::
0x00FC      0x0DF0      RLF      R0, 1
;__Lib_MathDouble.c,690 ::
0x00FD      0x0DF1      RLF      R1, 1
;__Lib_MathDouble.c,691 ::
0x00FE      0x0DF2      RLF      R2, 1
;__Lib_MathDouble.c,692 ::
0x00FF      0x03F3      DECF     R3, 1
;__Lib_MathDouble.c,693 ::
MROUND32:
;__Lib_MathDouble.c,694 ::
0x0100      0x1B7B      BTFSC    R11, 6
;__Lib_MathDouble.c,695 ::
0x0101      0x1C70      BTFSS    R0, 0
;__Lib_MathDouble.c,696 ::
0x0102      0x2912      GOTO     MUL32OK
;__Lib_MathDouble.c,697 ::
0x0103      0x1FF8      BTFSS    R8, 7
;__Lib_MathDouble.c,698 ::
0x0104      0x2912      GOTO     MUL32OK
;__Lib_MathDouble.c,699 ::
0x0105      0x0AF0      INCF     R0, 1
;__Lib_MathDouble.c,700 ::
0x0106      0x1903      BTFSC    STATUS, 2
;__Lib_MathDouble.c,701 ::
0x0107      0x0AF1      INCF     R1, 1
;__Lib_MathDouble.c,702 ::
0x0108      0x1903      BTFSC    STATUS, 2
;__Lib_MathDouble.c,703 ::
0x0109      0x0AF2      INCF     R2, 1
;__Lib_MathDouble.c,704 ::
0x010A      0x1D03      BTFSS    STATUS, 2

```

```

;__Lib_MathDouble.c,705 ::
0x010B    0x2912    GOTO    MUL32OK
;__Lib_MathDouble.c,706 ::
0x010C    0x0CF2    RRF     R2, 1
;__Lib_MathDouble.c,707 ::
0x010D    0x0CF1    RRF     R1, 1
;__Lib_MathDouble.c,708 ::
0x010E    0x0CF0    RRF     R0, 1
;__Lib_MathDouble.c,709 ::
0x010F    0x0AF3    INCF    R3, 1
;__Lib_MathDouble.c,710 ::
0x0110    0x1903    BTFSC   STATUS, 2
;__Lib_MathDouble.c,711 ::
0x01110x2919    GOTO    JPMSETFOV32
;__Lib_MathDouble.c,712 ::
MUL32OK:
;__Lib_MathDouble.c,713 ::
0x0112    0x1FFA    BTFSS   R10, 7
;__Lib_MathDouble.c,714 ::
0x0113    0x13F2    BCF     R2, 7
;__Lib_MathDouble.c,715 ::
0x0114    0x3000    MOVLW   0
;__Lib_MathDouble.c,717 ::
0x0115    0x291E    GOTO    MUL32EEE
;__Lib_MathDouble.c,718 ::
JPMRES032:
;__Lib_MathDouble.c,719 ::
0x0116    0x3001    MOVLW   1
;__Lib_MathDouble.c,722 ::
0x0117    0x2023    CALL    _RES032
;__Lib_MathDouble.c,724 ::
0x0118    0x291E    GOTO    MUL32EEE
;__Lib_MathDouble.c,725 ::
JPMSETFOV32:
;__Lib_MathDouble.c,726 ::
0x0119    0x3002    MOVLW   2
;__Lib_MathDouble.c,729 ::
0x011A    0x2017    CALL    _SETFOV32
;__Lib_MathDouble.c,731 ::
0x011B    0x291E    GOTO    MUL32EEE
;__Lib_MathDouble.c,732 ::
JPMSETFUN32:
;__Lib_MathDouble.c,733 ::
0x011C    0x3004    MOVLW   4
;__Lib_MathDouble.c,736 ::
0x011D    0x202A    CALL    _SETFUN32
;__Lib_MathDouble.c,738 ::

```

```

MUL32EEE:
;__Lib_MathDouble.c,739 ::
0x011E    0x0000    NOP
;__Lib_MathDouble.c,746 ::
L_end_Mul_32x32_FP:
0x011F    0x0008    RETURN
; end of _Mul_32x32_FP
_NRM4032:
;__Lib_MathDouble.c,245 ::
;__Lib_MathDouble.c,252 ::
;__Lib_MathDouble.c,254 ::
0x0120    0x187C    BTFSC    R12, 0
;__Lib_MathDouble.c,255 ::
0x0121    0x2956    GOTO    NRM4032
;__Lib_MathDouble.c,256 ::
0x0122    0x18FC    BTFSC    R12, 1
;__Lib_MathDouble.c,257 ::
0x0123    0x2927    GOTO    NRM4032
;__Lib_MathDouble.c,258 ::
0x0124    0x197C    BTFSC    R12, 2
;__Lib_MathDouble.c,259 ::
0x0125    0x2975    GOTO    JMPSETFOV32
;__Lib_MathDouble.c,260 ::
0x0126    0x2920    GOTO    $-6
;__Lib_MathDouble.c,261 ::
NRM4032:
;__Lib_MathDouble.c,262 ::
0x0127    0x01A0    CLRF    __math_tempbD
;__Lib_MathDouble.c,263 ::
0x0128    0x0872    MOVF    R2, 0
;__Lib_MathDouble.c,264 ::
0x0129    0x1D03    BTFSS    STATUS, 2
;__Lib_MathDouble.c,265 ::
0x012A    0x2947    GOTO    NRM4032
;__Lib_MathDouble.c,266 ::
0x012B    0x0871    MOVF    R1, 0
;__Lib_MathDouble.c,267 ::
0x012C    0x00F2    MOVWF   R2
;__Lib_MathDouble.c,268 ::
0x012D    0x0870    MOVF    R0, 0
;__Lib_MathDouble.c,269 ::
0x012E    0x00F1    MOVWF   R1
;__Lib_MathDouble.c,270 ::
0x012F    0x0878    MOVF    R8, 0
;__Lib_MathDouble.c,271 ::
0x0130    0x00F0    MOVWF   R0
;__Lib_MathDouble.c,272 ::

```

```

0x0131      0x01F8      CLRF      R8
;__Lib_MathDouble.c,273 ::
0x0132      0x15A0      BSF      __math_tempbD, 3
;__Lib_MathDouble.c,275 ::
0x0133      0x0872      MOVF     R2, 0
;__Lib_MathDouble.c,276 ::
0x0134      0x1D03      BTFSS   STATUS, 2
;__Lib_MathDouble.c,277 ::
0x0135      0x2947      GOTO    NORM4032
;__Lib_MathDouble.c,278 ::
0x0136      0x0871      MOVF     R1, 0
;__Lib_MathDouble.c,279 ::
0x0137      0x00F2      MOVWF   R2
;__Lib_MathDouble.c,280 ::
0x0138      0x0870      MOVF     R0, 0
;__Lib_MathDouble.c,281 ::
0x0139      0x00F1      MOVWF   R1
;__Lib_MathDouble.c,282 ::
0x013A      0x01F0      CLRF     R0
;__Lib_MathDouble.c,283 ::
0x013B      0x11A0      BCF     __math_tempbD, 3
;__Lib_MathDouble.c,284 ::
0x013C      0x1620      BSF     __math_tempbD, 4
;__Lib_MathDouble.c,286 ::
0x013D      0x0872      MOVF     R2, 0
;__Lib_MathDouble.c,287 ::
0x013E      0x1D03      BTFSS   STATUS, 2
;__Lib_MathDouble.c,288 ::
0x013F      0x2947      GOTO    NORM4032
;__Lib_MathDouble.c,289 ::
0x0140      0x0871      MOVF     R1, 0
;__Lib_MathDouble.c,290 ::
0x0141      0x00F2      MOVWF   R2
;__Lib_MathDouble.c,291 ::
0x0142      0x01F1      CLRF     R1
;__Lib_MathDouble.c,292 ::
0x0143      0x15A0      BSF     __math_tempbD, 3
;__Lib_MathDouble.c,294 ::
0x0144      0x0872      MOVF     R2, 0
;__Lib_MathDouble.c,295 ::
0x0145      0x1903      BTFSC   STATUS, 2
;__Lib_MathDouble.c,296 ::
0x0146      0x2969      GOTO    JMPRES032
;__Lib_MathDouble.c,297 ::
NORM4032:
;__Lib_MathDouble.c,298 ::
0x0147      0x0820      MOVF     __math_tempbD, 0

```

```

;__Lib_MathDouble.c,299 ::
0x0148      0x02F3      SUBWF      R3, 1
;__Lib_MathDouble.c,300 ::
0x0149      0x1D03      BTFSS     STATUS, 2
;__Lib_MathDouble.c,301 ::
0x014A      0x1C03      BTFSS     STATUS, 0
;__Lib_MathDouble.c,302 ::
0x014B      0x296D      GOTO      JMPSETFUN32
;__Lib_MathDouble.c,303 ::
0x014C      0x1003      BCF       STATUS, 0
;__Lib_MathDouble.c,304 ::
NORM4032A:
;__Lib_MathDouble.c,305 ::
0x014D      0x1BF2      BTFSC     R2, 7
;__Lib_MathDouble.c,306 ::
0x014E      0x2956      GOTO      NRMRND4032
;__Lib_MathDouble.c,307 ::
0x014F      0x0DF8      RLF       R8, 1
;__Lib_MathDouble.c,308 ::
0x0150      0x0DF0      RLF       R0, 1
;__Lib_MathDouble.c,309 ::
0x0151      0x0DF1      RLF       R1, 1
;__Lib_MathDouble.c,310 ::
0x0152      0x0DF2      RLF       R2, 1
;__Lib_MathDouble.c,311 ::
0x0153      0x0BF3      DECFSZ    R3, 1
;__Lib_MathDouble.c,312 ::
0x0154      0x294D      GOTO      NORM4032A
;__Lib_MathDouble.c,313 ::
0x0155      0x296D      GOTO      JMPSETFUN32
;__Lib_MathDouble.c,314 ::
NRMRND4032:
;__Lib_MathDouble.c,315 ::
0x0156      0x1B7B      BTFSC     R11, 6
;__Lib_MathDouble.c,316 ::
0x0157      0x1C70      BTFSS     R0, 0
;__Lib_MathDouble.c,317 ::
0x0158      0x2971      GOTO      JMPFIXSIGN32
;__Lib_MathDouble.c,318 ::
0x0159      0x1FF8      BTFSS     R8, 7
;__Lib_MathDouble.c,319 ::
0x015A      0x2971      GOTO      JMPFIXSIGN32
;__Lib_MathDouble.c,320 ::
0x015B      0x0AF0      INCF      R0, 1
;__Lib_MathDouble.c,321 ::
0x015C      0x1903      BTFSC     STATUS, 2
;__Lib_MathDouble.c,322 ::

```

```

0x015D    0x0AF1    INCF    R1, 1
;__Lib_MathDouble.c,323 ::
0x015E    0x1903    BTFSC   STATUS, 2
;__Lib_MathDouble.c,324 ::
0x015F    0x0AF2    INCF    R2, 1
;__Lib_MathDouble.c,325 ::
0x0160    0x1D03    BTFSS   STATUS, 2
;__Lib_MathDouble.c,326 ::
0x0161    0x2971    GOTO    JMPFIXSIGN32
;__Lib_MathDouble.c,327 ::
0x0162    0x0CF2    RRF     R2, 1
;__Lib_MathDouble.c,328 ::
0x0163    0x0CF1    RRF     R1, 1
;__Lib_MathDouble.c,329 ::
0x0164    0x0CF0    RRF     R0, 1
;__Lib_MathDouble.c,330 ::
0x0165    0x0AF3    INCF    R3, 1
;__Lib_MathDouble.c,331 ::
0x0166    0x1903    BTFSC   STATUS, 2
;__Lib_MathDouble.c,332 ::
0x0167    0x2975    GOTO    JMPSETFOV32
;__Lib_MathDouble.c,333 ::
0x0168    0x2971    GOTO    JMPFIXSIGN32
;__Lib_MathDouble.c,334 ::
JMPRES032:
;__Lib_MathDouble.c,335 ::
0x0169    0x3001    MOVLW   1
;__Lib_MathDouble.c,336 ::
0x016A    0x00FC    MOVWF   R12
;__Lib_MathDouble.c,338 ::
0x016B    0x2023    CALL    _RES032
;__Lib_MathDouble.c,340 ::
0x016C    0x2978    GOTO    NRM4032EEE
;__Lib_MathDouble.c,341 ::
JMPSETFUN32:
;__Lib_MathDouble.c,342 ::
0x016D    0x3002    MOVLW   2
;__Lib_MathDouble.c,343 ::
0x016E    0x00FC    MOVWF   R12
;__Lib_MathDouble.c,345 ::
0x016F    0x202A    CALL    _SETFUN32
;__Lib_MathDouble.c,347 ::
0x0170    0x2978    GOTO    NRM4032EEE
;__Lib_MathDouble.c,348 ::
JMPFIXSIGN32:
;__Lib_MathDouble.c,349 ::
0x0171    0x3004    MOVLW   4

```

```

;__Lib_MathDouble.c,350 ::
0x0172      0x00FC      MOVWF      R12
;__Lib_MathDouble.c,352 ::
0x0173      0x2036      CALL       _FIXSIGN32
;__Lib_MathDouble.c,354 ::
0x0174      0x2978      GOTO      NRM4032EEE
;__Lib_MathDouble.c,355 ::
JMPSETFOV32:
;__Lib_MathDouble.c,356 ::
0x0175      0x3008      MOVLW     8
;__Lib_MathDouble.c,357 ::
0x0176      0x00FC      MOVWF     R12
;__Lib_MathDouble.c,359 ::
0x0177      0x2017      CALL     _SETFOV32
;__Lib_MathDouble.c,361 ::
NRM4032EEE:
;__Lib_MathDouble.c,362 ::
0x0178      0x0000      NOP
;__Lib_MathDouble.c,370 ::
L_end_NRM4032:
0x0179      0x0008      RETURN
; end of _NRM4032
_Mul_32x32_U:
;__Lib_Math.c,1765 ::
;__Lib_Math.c,1780 ::
0x017A      0x0020      MOVLB     0
;__Lib_Math.c,1781 ::
0x017B      0x3022      MOVLW     34
;__Lib_Math.c,1782 ::
0x017C      0x00FC      MOVWF     R12
;__Lib_Math.c,1783 ::
0x017D      0x01F8      CLRF      R8
;__Lib_Math.c,1784 ::
0x017E      0x01F9      CLRF      R9
;__Lib_Math.c,1785 ::
0x017F      0x01FA      CLRF      R10
;__Lib_Math.c,1786 ::
0x0180      0x01FB      CLRF      R11
;__Lib_Math.c,1788 ::
_NEXT:
;__Lib_Math.c,1792 ::
0x0181      0x03FC      DECF      R12, 1
;__Lib_Math.c,1793 ::
0x0182      0x1903      BTFSC     STATUS, 2
;__Lib_Math.c,1794 ::
0x0183      0x29AF      GOTO     _EXIT2
;__Lib_Math.c,1795 ::

```

```

0x0184      0x1003      BCF      STATUS, 0
;__Lib_Math.c,1797 ::
_LOOP:
;__Lib_Math.c,1806 ::
0x0185      0x0CFB      RRF      R11, 1
;__Lib_Math.c,1807 ::
0x0186      0x0CFA      RRF      R10, 1
;__Lib_Math.c,1808 ::
0x0187      0x0CF9      RRF      R9, 1
;__Lib_Math.c,1809 ::
0x0188      0x0CF8      RRF      R8, 1
;__Lib_Math.c,1810 ::
0x0189      0x0CF3      RRF      R3, 1
;__Lib_Math.c,1811 ::
0x018A      0x0CF2      RRF      R2, 1
;__Lib_Math.c,1812 ::
0x018B      0x0CF1      RRF      R1, 1
;__Lib_Math.c,1813 ::
0x018C      0x0CF0      RRF      R0, 1
;__Lib_Math.c,1818 ::
0x018D      0x1C03      BTFSS    STATUS, 0
;__Lib_Math.c,1819 ::
0x018E      0x2981      GOTO     _NEXT
;__Lib_Math.c,1820 ::
0x018F      0x03FC      DECF     R12, 1
;__Lib_Math.c,1821 ::
0x0190      0x1903      BTFSC    STATUS, 2
;__Lib_Math.c,1822 ::
0x0191      0x29A1      GOTO     _EXIT1
;__Lib_Math.c,1829 ::
0x0192      0x0874      MOVF     R4, 0
;__Lib_Math.c,1830 ::
0x0193      0x07F8      ADDWF    R8, 1
;__Lib_Math.c,1831 ::
0x0194      0x0875      MOVF     R5, 0
;__Lib_Math.c,1832 ::
0x0195      0x1803      BTFSC    STATUS, 0
;__Lib_Math.c,1833 ::
0x0196      0x0F75      INCFSZ   R5, 0
;__Lib_Math.c,1834 ::
0x0197      0x07F9      ADDWF    R9, 1
;__Lib_Math.c,1835 ::
0x0198      0x0876      MOVF     R6, 0
;__Lib_Math.c,1836 ::
0x0199      0x1803      BTFSC    STATUS, 0
;__Lib_Math.c,1837 ::
0x019A      0x0F76      INCFSZ   R6, 0

```

```

;__Lib_Math.c,1838 ::
0x019B      0x07FA      ADDWF    R10, 1
;__Lib_Math.c,1839 ::
0x019C      0x0877      MOVF     R7, 0
;__Lib_Math.c,1840 ::
0x019D      0x1803      BTFSC   STATUS, 0
;__Lib_Math.c,1841 ::
0x019E      0x0F77      INCFSZ  R7, 0
;__Lib_Math.c,1842 ::
0x019F      0x07FB      ADDWF   R11, 1
;__Lib_Math.c,1844 ::
0x01A0      0x2985      GOTO    _LOOP
;__Lib_Math.c,1846 ::
_EXIT1:
;__Lib_Math.c,1851 ::
0x01A1      0x0874      MOVF    R4, 0
;__Lib_Math.c,1852 ::
0x01A2      0x07F8      ADDWF   R8, 1
;__Lib_Math.c,1853 ::
0x01A3      0x0875      MOVF    R5, 0
;__Lib_Math.c,1854 ::
0x01A4      0x1803      BTFSC   STATUS, 0
;__Lib_Math.c,1855 ::
0x01A5      0x0F75      INCFSZ  R5, 0
;__Lib_Math.c,1856 ::
0x01A6      0x07F9      ADDWF   R9, 1
;__Lib_Math.c,1857 ::
0x01A7      0x0876      MOVF    R6, 0
;__Lib_Math.c,1858 ::
0x01A8      0x1803      BTFSC   STATUS, 0
;__Lib_Math.c,1859 ::
0x01A9      0x0F76      INCFSZ  R6, 0
;__Lib_Math.c,1860 ::
0x01AA      0x07FA      ADDWF   R10, 1
;__Lib_Math.c,1861 ::
0x01AB      0x0877      MOVF    R7, 0
;__Lib_Math.c,1862 ::
0x01AC      0x1803      BTFSC   STATUS, 0
;__Lib_Math.c,1863 ::
0x01AD      0x0F77      INCFSZ  R7, 0
;__Lib_Math.c,1864 ::
0x01AE      0x07FB      ADDWF   R11, 1
;__Lib_Math.c,1867 ::
_EXIT2:
;__Lib_Math.c,1869 ::
L_end_Mul_32x32_U:
0x01AF      0x0008      RETURN

```

```

; end of _Mul_32x32_U
_srand:
;__Lib_CStdlib.c,301 ::
;__Lib_CStdlib.c,302 ::
0x01B0      0x0020      MOVLB    0
0x01B1      0x085A      MOVF     FARG_srand_x, 0
0x01B2      0x00B5      MOVWF   __Lib_CStdlib_randx
0x01B3      0x085B      MOVF     FARG_srand_x+1, 0
0x01B4      0x00B6      MOVWF   __Lib_CStdlib_randx+1
0x01B5      0x01B7      CLRF    __Lib_CStdlib_randx+2
0x01B6      0x01B8      CLRF    __Lib_CStdlib_randx+3
;__Lib_CStdlib.c,303 ::
0x01B7      0x3001      MOVLW   1
0x01B8      0x00B3      MOVWF   __Lib_CStdlib_randf
;__Lib_CStdlib.c,304 ::
L_end_srand:
0x01B9      0x0008      RETURN
; end of _srand
_Div_8x8_U:
;__Lib_Math.c,188 ::
;__Lib_Math.c,195 ::
0x01BA      0x0020      MOVLB   0
;__Lib_Math.c,196 ::
0x01BB      0x01F8      CLRF    R8
;__Lib_Math.c,197 ::
0x01BC      0x3008      MOVLW   8
;__Lib_Math.c,198 ::
0x01BD      0x00FC      MOVWF   R12
;__Lib_Math.c,199 ::
0x01BE      0x0D70      RLF     R0, 0
;__Lib_Math.c,200 ::
0x01BF      0x0DF8      RLF     R8, 1
;__Lib_Math.c,201 ::
0x01C0      0x0874      MOVF    R4, 0
;__Lib_Math.c,202 ::
0x01C1      0x02F8      SUBWF   R8, 1
;__Lib_Math.c,203 ::
0x01C2      0x1803      BTFSC   STATUS, 0
;__Lib_Math.c,204 ::
0x01C3      0x29C6      GOTO    $+3
;__Lib_Math.c,205 ::
0x01C4      0x07F8      ADDWF   R8, 1
;__Lib_Math.c,206 ::
0x01C5      0x1003      BCF     STATUS, 0
;__Lib_Math.c,207 ::
0x01C6      0x0DF0      RLF     R0, 1
;__Lib_Math.c,208 ::

```

```

0x01C7      0x0BFC      DECFSZ   R12, 1
;__Lib_Math.c,209 ::
0x01C8      0x29BE      GOTO    $-10
;__Lib_Math.c,211 ::
L_end_Div_8x8_U:
0x01C9      0x0008      RETURN
; end of _Div_8x8_U
_NRM3232:
;__Lib_MathDouble.c,167 ::
;__Lib_MathDouble.c,173 ::
;__Lib_MathDouble.c,175 ::
0x01CA      0x01A0      CLRF    __math_tempbD
;__Lib_MathDouble.c,176 ::
0x01CB      0x0872      MOVF    R2, 0
;__Lib_MathDouble.c,177 ::
0x01CC      0x1D03      BTFSS   STATUS, 2
;__Lib_MathDouble.c,178 ::
0x01CD      0x29DF      GOTO    NORM3232
;__Lib_MathDouble.c,179 ::
0x01CE      0x0871      MOVF    R1, 0
;__Lib_MathDouble.c,180 ::
0x01CF      0x00F2      MOVWF   R2
;__Lib_MathDouble.c,181 ::
0x01D0      0x0870      MOVF    R0, 0
;__Lib_MathDouble.c,182 ::
0x01D1      0x00F1      MOVWF   R1
;__Lib_MathDouble.c,183 ::
0x01D2      0x01F0      CLRF    R0
;__Lib_MathDouble.c,184 ::
0x01D3      0x15A0      BSF     __math_tempbD, 3
;__Lib_MathDouble.c,186 ::
0x01D4      0x0872      MOVF    R2, 0
;__Lib_MathDouble.c,187 ::
0x01D5      0x1D03      BTFSS   STATUS, 2
;__Lib_MathDouble.c,188 ::
0x01D6      0x29DF      GOTO    NORM3232
;__Lib_MathDouble.c,189 ::
0x01D7      0x0871      MOVF    R1, 0
;__Lib_MathDouble.c,190 ::
0x01D8      0x00F2      MOVWF   R2
;__Lib_MathDouble.c,191 ::
0x01D9      0x01F1      CLRF    R1
;__Lib_MathDouble.c,192 ::
0x01DA      0x11A0      BCF     __math_tempbD, 3
;__Lib_MathDouble.c,193 ::
0x01DB      0x1620      BSF     __math_tempbD, 4
;__Lib_MathDouble.c,195 ::

```

```

0x01DC    0x0872    MOVF    R2, 0
;__Lib_MathDouble.c,196 ::
0x01DD    0x1903    BTFSC   STATUS, 2
;__Lib_MathDouble.c,197 ::
0x01DE    0x29ED    GOTO    JPNRES032
;__Lib_MathDouble.c,198 ::
NORM3232:
;__Lib_MathDouble.c,199 ::
0x01DF    0x0820    MOVF    __math_tempbD, 0
;__Lib_MathDouble.c,200 ::
0x01E0    0x02F3    SUBWF   R3, 1
;__Lib_MathDouble.c,201 ::
0x01E1    0x1D03    BTFSS   STATUS, 2
;__Lib_MathDouble.c,202 ::
0x01E2    0x1C03    BTFSS   STATUS, 0
;__Lib_MathDouble.c,203 ::
0x01E3    0x29F1    GOTO    JPNSETFUN32
;__Lib_MathDouble.c,204 ::
0x01E4    0x1003    BCF     STATUS, 0
;__Lib_MathDouble.c,205 ::
NORM3232A:
;__Lib_MathDouble.c,206 ::
0x01E5    0x1BF2    BTFSC   R2, 7
;__Lib_MathDouble.c,207 ::
0x01E6    0x29F5    GOTO    JPNFIXSIGN32
;__Lib_MathDouble.c,208 ::
0x01E7    0x0DF0    RLF     R0, 1
;__Lib_MathDouble.c,209 ::
0x01E8    0x0DF1    RLF     R1, 1
;__Lib_MathDouble.c,210 ::
0x01E9    0x0DF2    RLF     R2, 1
;__Lib_MathDouble.c,211 ::
0x01EA    0x0BF3    DECFSZ  R3, 1
;__Lib_MathDouble.c,212 ::
0x01EB    0x29E5    GOTO    NORM3232A
;__Lib_MathDouble.c,213 ::
0x01EC    0x29F1    GOTO    JPNSETFUN32
;__Lib_MathDouble.c,214 ::
JPNRES032:
;__Lib_MathDouble.c,215 ::
0x01ED    0x3001    MOVLW   1
;__Lib_MathDouble.c,216 ::
0x01EE    0x00FC    MOVWF   R12
;__Lib_MathDouble.c,218 ::
0x01EF    0x2023    CALL    _RES032
;__Lib_MathDouble.c,220 ::
0x01F0    0x29F8    GOTO    NORM32EEE

```

```

;__Lib_MathDouble.c,221 ::
JPNSSETFUN32:
;__Lib_MathDouble.c,222 ::
0x01F1      0x3002      MOVLW      2
;__Lib_MathDouble.c,223 ::
0x01F2      0x00FC      MOVWF      R12
;__Lib_MathDouble.c,225 ::
0x01F3      0x202A      CALL      _SETFUN32
;__Lib_MathDouble.c,227 ::
0x01F4      0x29F8      GOTO      NORM32EEE
;__Lib_MathDouble.c,228 ::
JMPNFI32:
;__Lib_MathDouble.c,229 ::
0x01F5      0x3004      MOVLW      4
;__Lib_MathDouble.c,230 ::
0x01F6      0x00FC      MOVWF      R12
;__Lib_MathDouble.c,232 ::
0x01F7      0x2036      CALL      _FI32
;__Lib_MathDouble.c,234 ::
NORM32EEE:
;__Lib_MathDouble.c,236 ::
L_end_NRM3232:
0x01F8      0x0008      RETURN
; end of _NRM3232
_FloatToStr:
;__Lib_Conversions.c,472 ::
;__Lib_Conversions.c,474 ::
0x01F9      0x0020      MOVLB      0
0x01FA      0x01D8      CLRF      FloatToStr_bpoint_L0
0x01FB      0x01D9      CLRF      FloatToStr_dexpon_L0
;__Lib_Conversions.c,479 ::
0x01FC      0x084C      MOVF      FARG_FloatToStr_fnum, 0
0x01FD      0x00D4      MOVWF     FloatToStr_un_L0
0x01FE      0x084D      MOVF      FARG_FloatToStr_fnum+1, 0
0x01FF      0x00D5      MOVWF     FloatToStr_un_L0+1
0x0200      0x084E      MOVF      FARG_FloatToStr_fnum+2, 0
0x0201      0x00D6      MOVWF     FloatToStr_un_L0+2
0x0202      0x084F      MOVF      FARG_FloatToStr_fnum+3, 0
0x0203      0x00D7      MOVWF     FloatToStr_un_L0+3
;__Lib_Conversions.c,480 ::
0x0204      0x0857      MOVF      FloatToStr_un_L0+3, 0
0x0205      0x3AFF      XORLW     255
0x0206      0x1D03      BTFSS     STATUS, 2
0x0207      0x2A12      GOTO      L_FloatToStr145
0x0208      0x0856      MOVF      FloatToStr_un_L0+2, 0
0x0209      0x3AFF      XORLW     255
0x020A      0x1D03      BTFSS     STATUS, 2

```

```

0x020B    0x2A12    GOTO    L__FloatToStr145
0x020C    0x0855    MOVF    FloatToStr_un_L0+1, 0
0x020D    0x3AFF    XORLW   255
0x020E    0x1D03    BTFSS   STATUS, 2
0x020F    0x2A12    GOTO    L__FloatToStr145
0x0210    0x0854    MOVF    FloatToStr_un_L0, 0
0x0211    0x3AFF    XORLW   255
L__FloatToStr145:
0x0212    0x1D03    BTFSS   STATUS, 2
0x0213    0x2A20    GOTO    L__FloatToStr76
;__Lib_Conversions.c,481 ::
0x0214    0x0850    MOVF    FARG_FloatToStr_str, 0
0x0215    0x00DA    MOVWF   FARG_strcpy_to
0x0216    0x0851    MOVF    FARG_FloatToStr_str+1, 0
0x0217    0x00DB    MOVWF   FARG_strcpy_to+1
0x0218    0x3024    MOVLW   ?lstr1__Lib_Conversions
0x0219    0x00DC    MOVWF   FARG_strcpy_from
0x021A    0x3000    MOVLW   hi_addr(?lstr1__Lib_Conversions)
0x021B    0x00DD    MOVWF   FARG_strcpy_from+1
0x021C    0x2089    CALL    _strcpy
;__Lib_Conversions.c,482 ::
0x021D    0x3003    MOVLW   3
0x021E    0x00F0    MOVWF   R0
0x021F    0x2C1E    GOTO    L_end_FloatToStr
;__Lib_Conversions.c,483 ::
L__FloatToStr76:
;__Lib_Conversions.c,484 ::
0x0220    0x3001    MOVLW   1
0x0221    0x00D2    MOVWF   FloatToStr_i_L0
;__Lib_Conversions.c,485 ::
0x0222    0x1FD6    BTFSS   FloatToStr_un_L0+2, 7
0x0223    0x2A33    GOTO    L__FloatToStr77
;__Lib_Conversions.c,486 ::
0x0224    0x3080    MOVLW   128
0x0225    0x0656    XORWF   FloatToStr_un_L0+2, 0
0x0226    0x00F0    MOVWF   R0
0x0227    0x0870    MOVF    R0, 0
0x0228    0x00D6    MOVWF   FloatToStr_un_L0+2
;__Lib_Conversions.c,487 ::
0x0229    0x0AD2    INCF    FloatToStr_i_L0, 1
;__Lib_Conversions.c,488 ::
0x022A    0x0850    MOVF    FARG_FloatToStr_str, 0
0x022B    0x0086    MOVWF   FSR1
0x022C    0x0851    MOVF    FARG_FloatToStr_str+1, 0
0x022D    0x0087    MOVWF   FSR1H
0x022E    0x302D    MOVLW   45
0x022F    0x0081    MOVWF   INDF1

```

```

0x0230    0x0AD0    INCF    FARG_FloatToStr_str, 1
0x0231    0x1903    BTFSC   STATUS, 2
0x0232    0x0AD1    INCF    FARG_FloatToStr_str+1, 1
;__Lib_Conversions.c,489 ::
L_FloatToStr77:
;__Lib_Conversions.c,490 ::
0x0233    0x3000    MOVLW   0
0x0234    0x00F0    MOVWF   R0
0x0235    0x0657    XORWF   FloatToStr_un_L0+3, 0
0x0236    0x1D03    BTFSS   STATUS, 2
0x0237    0x2A42    GOTO    L_FloatToStr146
0x0238    0x0870    MOVF    R0, 0
0x0239    0x0656    XORWF   FloatToStr_un_L0+2, 0
0x023A    0x1D03    BTFSS   STATUS, 2
0x023B    0x2A42    GOTO    L_FloatToStr146
0x023C    0x0870    MOVF    R0, 0
0x023D    0x0655    XORWF   FloatToStr_un_L0+1, 0
0x023E    0x1D03    BTFSS   STATUS, 2
0x023F    0x2A42    GOTO    L_FloatToStr146
0x0240    0x0854    MOVF    FloatToStr_un_L0, 0
0x0241    0x3A00    XORLW   0
L_FloatToStr146:
0x0242    0x1D03    BTFSS   STATUS, 2
0x0243    0x2A4F    GOTO    L_FloatToStr78
;__Lib_Conversions.c,491 ::
0x0244    0x0850    MOVF    FARG_FloatToStr_str, 0
0x0245    0x00DA    MOVWF   FARG_stncpy_to
0x0246    0x0851    MOVF    FARG_FloatToStr_str+1, 0
0x0247    0x00DB    MOVWF   FARG_stncpy_to+1
0x0248    0x3022    MOVLW   ?lstr2__Lib_Conversions
0x0249    0x00DC    MOVWF   FARG_stncpy_from
0x024A    0x3000    MOVLW   hi_addr(?lstr2__Lib_Conversions)
0x024B    0x00DD    MOVWF   FARG_stncpy_from+1
0x024C    0x2089    CALL    _stncpy
;__Lib_Conversions.c,492 ::
0x024D    0x01F0    CLRF    R0
0x024E    0x2C1E    GOTO    L_end_FloatToStr
;__Lib_Conversions.c,493 ::
L_FloatToStr78:
;__Lib_Conversions.c,494 ::
0x024F    0x0857    MOVF    FloatToStr_un_L0+3, 0
0x0250    0x3AFF    XORLW   255
0x0251    0x1D03    BTFSS   STATUS, 2
0x0252    0x2A5D    GOTO    L_FloatToStr147
0x0253    0x0856    MOVF    FloatToStr_un_L0+2, 0
0x0254    0x3A00    XORLW   0
0x0255    0x1D03    BTFSS   STATUS, 2

```

```

0x0256    0x2A5D    GOTO    L__FloatToStr147
0x0257    0x0855    MOVF    FloatToStr_un_L0+1, 0
0x0258    0x3A00    XORLW   0
0x0259    0x1D03    BTFSS  STATUS, 2
0x025A    0x2A5D    GOTO    L__FloatToStr147
0x025B    0x0854    MOVF    FloatToStr_un_L0, 0
0x025C    0x3A00    XORLW   0
L__FloatToStr147:
0x025D    0x1D03    BTFSS  STATUS, 2
0x025E    0x2A6B    GOTO    L__FloatToStr79
;__Lib_Conversions.c,495 ::
0x025F    0x0850    MOVF    FARG_FloatToStr_str, 0
0x0260    0x00DA    MOVWF   FARG_strcpy_to
0x0261    0x0851    MOVF    FARG_FloatToStr_str+1, 0
0x0262    0x00DB    MOVWF   FARG_strcpy_to+1
0x0263    0x3028    MOVLW  ?lstr3__Lib_Conversions
0x0264    0x00DC    MOVWF   FARG_strcpy_from
0x0265    0x3000    MOVLW  hi_addr(?lstr3__Lib_Conversions)
0x0266    0x00DD    MOVWF   FARG_strcpy_from+1
0x0267    0x2089    CALL   _strcpy
;__Lib_Conversions.c,496 ::
0x0268    0x0852    MOVF    FloatToStr_i_L0, 0
0x0269    0x00F0    MOVWF   R0
0x026A    0x2C1E    GOTO    L_end_FloatToStr
;__Lib_Conversions.c,497 ::
L__FloatToStr79:
;__Lib_Conversions.c,505 ::
L__FloatToStr80:
0x026B    0x3000    MOVLW  0
0x026C    0x00F4    MOVWF   R4
0x026D    0x3000    MOVLW  0
0x026E    0x00F5    MOVWF   R5
0x026F    0x3000    MOVLW  0
0x0270    0x00F6    MOVWF   R6
0x0271    0x307F    MOVLW  127
0x0272    0x00F7    MOVWF   R7
0x0273    0x0854    MOVF    FloatToStr_un_L0, 0
0x0274    0x00F0    MOVWF   R0
0x0275    0x0855    MOVF    FloatToStr_un_L0+1, 0
0x0276    0x00F1    MOVWF   R1
0x0277    0x0856    MOVF    FloatToStr_un_L0+2, 0
0x0278    0x00F2    MOVWF   R2
0x0279    0x0857    MOVF    FloatToStr_un_L0+3, 0
0x027A    0x00F3    MOVWF   R3
0x027B    0x203A    CALL   _Compare_Double
0x027C    0x3001    MOVLW  1
0x027D    0x1803    BTFSC  STATUS, 0

```

```

0x027E    0x3000    MOVLW    0
0x027F    0x00F0    MOVWF    R0
0x0280    0x0870    MOVF     R0, 0
0x0281    0x1903    BTFSC    STATUS, 2
0x0282    0x2A9E    GOTO     L_FloatToStr81
;__Lib_Conversions.c,506 ::
0x0283    0x0854    MOVF     FloatToStr_un_L0, 0
0x0284    0x00F0    MOVWF    R0
0x0285    0x0855    MOVF     FloatToStr_un_L0+1, 0
0x0286    0x00F1    MOVWF    R1
0x0287    0x0856    MOVF     FloatToStr_un_L0+2, 0
0x0288    0x00F2    MOVWF    R2
0x0289    0x0857    MOVF     FloatToStr_un_L0+3, 0
0x028A    0x00F3    MOVWF    R3
0x028B    0x3000    MOVLW    0
0x028C    0x00F4    MOVWF    R4
0x028D    0x3000    MOVLW    0
0x028E    0x00F5    MOVWF    R5
0x028F    0x3020    MOVLW    32
0x0290    0x00F6    MOVWF    R6
0x0291    0x3082    MOVLW    130
0x0292    0x00F7    MOVWF    R7
0x0293    0x20C0    CALL     _Mul_32x32_FP
0x0294    0x0870    MOVF     R0, 0
0x0295    0x00D4    MOVWF    FloatToStr_un_L0
0x0296    0x0871    MOVF     R1, 0
0x0297    0x00D5    MOVWF    FloatToStr_un_L0+1
0x0298    0x0872    MOVF     R2, 0
0x0299    0x00D6    MOVWF    FloatToStr_un_L0+2
0x029A    0x0873    MOVF     R3, 0
0x029B    0x00D7    MOVWF    FloatToStr_un_L0+3
;__Lib_Conversions.c,507 ::
0x029C    0x03D9    DECF     FloatToStr_dexpon_L0, 1
;__Lib_Conversions.c,508 ::
0x029D    0x2A6B    GOTO     L_FloatToStr80
L_FloatToStr81:
;__Lib_Conversions.c,513 ::
L_FloatToStr82:
0x029E    0x3000    MOVLW    0
0x029F    0x00F4    MOVWF    R4
0x02A0    0x3000    MOVLW    0
0x02A1    0x00F5    MOVWF    R5
0x02A2    0x3020    MOVLW    32
0x02A3    0x00F6    MOVWF    R6
0x02A4    0x3082    MOVLW    130
0x02A5    0x00F7    MOVWF    R7
0x02A6    0x0854    MOVF     FloatToStr_un_L0, 0

```

```

0x02A7    0x00F0    MOVWF    R0
0x02A8    0x0855    MOVF     FloatToStr_un_L0+1, 0
0x02A9    0x00F1    MOVWF    R1
0x02AA    0x0856    MOVF     FloatToStr_un_L0+2, 0
0x02AB    0x00F2    MOVWF    R2
0x02AC    0x0857    MOVF     FloatToStr_un_L0+3, 0
0x02AD    0x00F3    MOVWF    R3
0x02AE    0x203A    CALL     _Compare_Double
0x02AF    0x3001    MOVLW   1
0x02B0    0x1C03    BTFSS   STATUS, 0
0x02B1    0x3000    MOVLW   0
0x02B2    0x00F0    MOVWF    R0
0x02B3    0x0870    MOVF     R0, 0
0x02B4    0x1903    BTFSC   STATUS, 2
0x02B5    0x2AD1    GOTO    L_FloatToStr83
;__Lib_Conversions.c,514 ::
0x02B6    0x0854    MOVF     FloatToStr_un_L0, 0
0x02B7    0x00F0    MOVWF    R0
0x02B8    0x0855    MOVF     FloatToStr_un_L0+1, 0
0x02B9    0x00F1    MOVWF    R1
0x02BA    0x0856    MOVF     FloatToStr_un_L0+2, 0
0x02BB    0x00F2    MOVWF    R2
0x02BC    0x0857    MOVF     FloatToStr_un_L0+3, 0
0x02BD    0x00F3    MOVWF    R3
0x02BE    0x30CD    MOVLW   205
0x02BF    0x00F4    MOVWF    R4
0x02C0    0x30CC    MOVLW   204
0x02C1    0x00F5    MOVWF    R5
0x02C2    0x304C    MOVLW   76
0x02C3    0x00F6    MOVWF    R6
0x02C4    0x307B    MOVLW   123
0x02C5    0x00F7    MOVWF    R7
0x02C6    0x20C0    CALL     _Mul_32x32_FP
0x02C7    0x0870    MOVF     R0, 0
0x02C8    0x00D4    MOVWF    FloatToStr_un_L0
0x02C9    0x0871    MOVF     R1, 0
0x02CA    0x00D5    MOVWF    FloatToStr_un_L0+1
0x02CB    0x0872    MOVF     R2, 0
0x02CC    0x00D6    MOVWF    FloatToStr_un_L0+2
0x02CD    0x0873    MOVF     R3, 0
0x02CE    0x00D7    MOVWF    FloatToStr_un_L0+3
;__Lib_Conversions.c,515 ::
0x02CF    0x0AD9    INCF    FloatToStr_dexpon_L0, 1
;__Lib_Conversions.c,516 ::
0x02D0    0x2A9E    GOTO    L_FloatToStr82
L_FloatToStr83:
;__Lib_Conversions.c,525 ::

```

0x02D1	0x30FF	MOVLW	255
0x02D2	0x0554	ANDWF	FloatToStr_un_L0, 0
0x02D3	0x00F8	MOVWF	R8
0x02D4	0x30FF	MOVLW	255
0x02D5	0x0555	ANDWF	FloatToStr_un_L0+1, 0
0x02D6	0x00F9	MOVWF	R9
0x02D7	0x307F	MOVLW	127
0x02D8	0x0556	ANDWF	FloatToStr_un_L0+2, 0
0x02D9	0x00FA	MOVWF	R10
0x02DA	0x3000	MOVLW	0
0x02DB	0x0557	ANDWF	FloatToStr_un_L0+3, 0
0x02DC	0x00FB	MOVWF	R11
;__Lib_Conversions.c,526 ::			
0x02DD	0x0878	MOVF	R8, 0
0x02DE	0x00F4	MOVWF	R4
0x02DF	0x0879	MOVF	R9, 0
0x02E0	0x00F5	MOVWF	R5
0x02E1	0x087A	MOVF	R10, 0
0x02E2	0x00F6	MOVWF	R6
0x02E3	0x087B	MOVF	R11, 0
0x02E4	0x00F7	MOVWF	R7
0x02E5	0x35F4	LSLF	R4, 1
0x02E6	0x0DF5	RLF	R5, 1
0x02E7	0x0DF6	RLF	R6, 1
0x02E8	0x0DF7	RLF	R7, 1
;__Lib_Conversions.c,527 ::			
0x02E9	0x3000	MOVLW	0
0x02EA	0x0554	ANDWF	FloatToStr_un_L0, 0
0x02EB	0x00F0	MOVWF	R0
0x02EC	0x3000	MOVLW	0
0x02ED	0x0555	ANDWF	FloatToStr_un_L0+1, 0
0x02EE	0x00F1	MOVWF	R1
0x02EF	0x3000	MOVLW	0
0x02F0	0x0556	ANDWF	FloatToStr_un_L0+2, 0
0x02F1	0x00F2	MOVWF	R2
0x02F2	0x30FF	MOVLW	255
0x02F3	0x0557	ANDWF	FloatToStr_un_L0+3, 0
0x02F4	0x00F3	MOVWF	R3
0x02F5	0x0870	MOVF	R0, 0
0x02F6	0x00D4	MOVWF	FloatToStr_un_L0
0x02F7	0x0871	MOVF	R1, 0
0x02F8	0x00D5	MOVWF	FloatToStr_un_L0+1
0x02F9	0x0872	MOVF	R2, 0
0x02FA	0x00D6	MOVWF	FloatToStr_un_L0+2
0x02FB	0x0873	MOVF	R3, 0
0x02FC	0x00D7	MOVWF	FloatToStr_un_L0+3
;__Lib_Conversions.c,528 ::			

0x02FD	0x0874	MOVF	R4, 0
0x02FE	0x0454	IORWF	FloatToStr_un_L0, 0
0x02FF	0x00F0	MOVWF	R0
0x0300	0x0875	MOVF	R5, 0
0x0301	0x0455	IORWF	FloatToStr_un_L0+1, 0
0x0302	0x00F1	MOVWF	R1
0x0303	0x0876	MOVF	R6, 0
0x0304	0x0456	IORWF	FloatToStr_un_L0+2, 0
0x0305	0x00F2	MOVWF	R2
0x0306	0x0877	MOVF	R7, 0
0x0307	0x0457	IORWF	FloatToStr_un_L0+3, 0
0x0308	0x00F3	MOVWF	R3
0x0309	0x0870	MOVF	R0, 0
0x030A	0x00D4	MOVWF	FloatToStr_un_L0
0x030B	0x0871	MOVF	R1, 0
0x030C	0x00D5	MOVWF	FloatToStr_un_L0+1
0x030D	0x0872	MOVF	R2, 0
0x030E	0x00D6	MOVWF	FloatToStr_un_L0+2
0x030F	0x0873	MOVF	R3, 0
0x0310	0x00D7	MOVWF	FloatToStr_un_L0+3
;__Lib_Conversions.c,530 ::			
0x0311	0x307F	MOVLW	127
0x0312	0x0257	SUBWF	FloatToStr_un_L0+3, 0
0x0313	0x00F0	MOVWF	R0
0x0314	0x0870	MOVF	R0, 0
0x0315	0x00D3	MOVWF	FloatToStr_d_L0
;__Lib_Conversions.c,533 ::			
0x0316	0x3001	MOVLW	1
0x0317	0x00D7	MOVWF	FloatToStr_un_L0+3
;__Lib_Conversions.c,534 ::			
0x0318	0x0870	MOVF	R0, 0
0x0319	0x00F4	MOVWF	R4
0x031A	0x0854	MOVF	FloatToStr_un_L0, 0
0x031B	0x00F0	MOVWF	R0
0x031C	0x0855	MOVF	FloatToStr_un_L0+1, 0
0x031D	0x00F1	MOVWF	R1
0x031E	0x0856	MOVF	FloatToStr_un_L0+2, 0
0x031F	0x00F2	MOVWF	R2
0x0320	0x0857	MOVF	FloatToStr_un_L0+3, 0
0x0321	0x00F3	MOVWF	R3
0x0322	0x0874	MOVF	R4, 0
L_FloatToStr148:			
0x0323	0x1903	BTFSC	STATUS, 2
0x0324	0x2B2B	GOTO	L_FloatToStr149
0x0325	0x35F0	LSLF	R0, 1
0x0326	0x0DF1	RLF	R1, 1
0x0327	0x0DF2	RLF	R2, 1

```

0x0328      0x0DF3      RLF      R3, 1
0x0329      0x3EFF      ADDLW    255
0x032A      0x2B23      GOTO     L__FloatToStr148
L__FloatToStr149:
0x032B      0x0870      MOVF     R0, 0
0x032C      0x00D4      MOVWF    FloatToStr_un_L0
0x032D      0x0871      MOVF     R1, 0
0x032E      0x00D5      MOVWF    FloatToStr_un_L0+1
0x032F      0x0872      MOVF     R2, 0
0x0330      0x00D6      MOVWF    FloatToStr_un_L0+2
0x0331      0x0873      MOVF     R3, 0
0x0332      0x00D7      MOVWF    FloatToStr_un_L0+3
;__Lib_Conversions.c,535 ::
0x0333      0x0850      MOVF     FARG_FloatToStr_str, 0
0x0334      0x0086      MOVWF    FSR1
0x0335      0x0851      MOVF     FARG_FloatToStr_str+1, 0
0x0336      0x0087      MOVWF    FSR1H
0x0337      0x0857      MOVF     FloatToStr_un_L0+3, 0
0x0338      0x3E30      ADDLW    48
0x0339      0x0081      MOVWF    INDF1
0x033A      0x0AD0      INCF     FARG_FloatToStr_str, 1
0x033B      0x1903      BTFSC    STATUS, 2
0x033C      0x0AD1      INCF     FARG_FloatToStr_str+1, 1
;__Lib_Conversions.c,536 ::
0x033D      0x3080      MOVLW    128
0x033E      0x0659      XORWF    FloatToStr_dexpon_L0, 0
0x033F      0x00F0      MOVWF    R0
0x0340      0x3080      MOVLW    128
0x0341      0x3A01      XORLW    1
0x0342      0x0270      SUBWF    R0, 0
0x0343      0x1C03      BTFSS    STATUS, 0
0x0344      0x2B4E      GOTO     L__FloatToStr100
0x0345      0x3080      MOVLW    128
0x0346      0x3A06      XORLW    6
0x0347      0x00F0      MOVWF    R0
0x0348      0x3080      MOVLW    128
0x0349      0x0659      XORWF    FloatToStr_dexpon_L0, 0
0x034A      0x0270      SUBWF    R0, 0
0x034B      0x1C03      BTFSS    STATUS, 0
0x034C      0x2B4E      GOTO     L__FloatToStr100
0x034D      0x2B59      GOTO     L__FloatToStr86
L__FloatToStr100:
;__Lib_Conversions.c,537 ::
0x034E      0x0850      MOVF     FARG_FloatToStr_str, 0
0x034F      0x0086      MOVWF    FSR1
0x0350      0x0851      MOVF     FARG_FloatToStr_str+1, 0
0x0351      0x0087      MOVWF    FSR1H

```

```

0x0352    0x302E    MOVLW    46
0x0353    0x0081    MOVWF    INDF1
0x0354    0x0AD0    INCF     FARG_FloatToStr_str, 1
0x0355    0x1903    BTFSC    STATUS, 2
0x0356    0x0AD1    INCF     FARG_FloatToStr_str+1, 1
;__Lib_Conversions.c,538 ::
0x0357    0x3001    MOVLW    1
0x0358    0x00D8    MOVWF    FloatToStr_bpoint_L0
;__Lib_Conversions.c,539 ::
L_FloatToStr86:
;__Lib_Conversions.c,540 ::
0x0359    0x3006    MOVLW    6
0x035A    0x00D3    MOVWF    FloatToStr_d_L0
L_FloatToStr87:
0x035B    0x0853    MOVF     FloatToStr_d_L0, 0
0x035C    0x3A00    XORLW    0
0x035D    0x1903    BTFSC    STATUS, 2
0x035E    0x2BB4    GOTO     L_FloatToStr88
;__Lib_Conversions.c,541 ::
0x035F    0x01D7    CLRWF    FloatToStr_un_L0+3
;__Lib_Conversions.c,542 ::
0x0360    0x0854    MOVF     FloatToStr_un_L0, 0
0x0361    0x00F0    MOVWF    R0
0x0362    0x0855    MOVF     FloatToStr_un_L0+1, 0
0x0363    0x00F1    MOVWF    R1
0x0364    0x0856    MOVF     FloatToStr_un_L0+2, 0
0x0365    0x00F2    MOVWF    R2
0x0366    0x0857    MOVF     FloatToStr_un_L0+3, 0
0x0367    0x00F3    MOVWF    R3
0x0368    0x35F0    LSLF     R0, 1
0x0369    0x0DF1    RLF      R1, 1
0x036A    0x0DF2    RLF      R2, 1
0x036B    0x0DF3    RLF      R3, 1
0x036C    0x35F0    LSLF     R0, 1
0x036D    0x0DF1    RLF      R1, 1
0x036E    0x0DF2    RLF      R2, 1
0x036F    0x0DF3    RLF      R3, 1
0x0370    0x0854    MOVF     FloatToStr_un_L0, 0
0x0371    0x07F0    ADDWF    R0, 1
0x0372    0x0855    MOVF     FloatToStr_un_L0+1, 0
0x0373    0x3DF1    ADDWFC   R1, 1
0x0374    0x0856    MOVF     FloatToStr_un_L0+2, 0
0x0375    0x3DF2    ADDWFC   R2, 1
0x0376    0x0857    MOVF     FloatToStr_un_L0+3, 0
0x0377    0x3DF3    ADDWFC   R3, 1
0x0378    0x0870    MOVF     R0, 0
0x0379    0x00D4    MOVWF    FloatToStr_un_L0

```

```

0x037A    0x0871    MOVF    R1, 0
0x037B    0x00D5    MOVWF   FloatToStr_un_L0+1
0x037C    0x0872    MOVF    R2, 0
0x037D    0x00D6    MOVWF   FloatToStr_un_L0+2
0x037E    0x0873    MOVF    R3, 0
0x037F    0x00D7    MOVWF   FloatToStr_un_L0+3
;__Lib_Conversions.c,543 ::
0x0380    0x0854    MOVF    FloatToStr_un_L0, 0
0x0381    0x00F0    MOVWF   R0
0x0382    0x0855    MOVF    FloatToStr_un_L0+1, 0
0x0383    0x00F1    MOVWF   R1
0x0384    0x0856    MOVF    FloatToStr_un_L0+2, 0
0x0385    0x00F2    MOVWF   R2
0x0386    0x0857    MOVF    FloatToStr_un_L0+3, 0
0x0387    0x00F3    MOVWF   R3
0x0388    0x35F0    LSLF    R0, 1
0x0389    0x0DF1    RLF     R1, 1
0x038A    0x0DF2    RLF     R2, 1
0x038B    0x0DF3    RLF     R3, 1
0x038C    0x0870    MOVF    R0, 0
0x038D    0x00D4    MOVWF   FloatToStr_un_L0
0x038E    0x0871    MOVF    R1, 0
0x038F    0x00D5    MOVWF   FloatToStr_un_L0+1
0x0390    0x0872    MOVF    R2, 0
0x0391    0x00D6    MOVWF   FloatToStr_un_L0+2
0x0392    0x0873    MOVF    R3, 0
0x0393    0x00D7    MOVWF   FloatToStr_un_L0+3
;__Lib_Conversions.c,544 ::
0x0394    0x0850    MOVF    FARG_FloatToStr_str, 0
0x0395    0x0086    MOVWF   FSR1
0x0396    0x0851    MOVF    FARG_FloatToStr_str+1, 0
0x0397    0x0087    MOVWF   FSR1H
0x0398    0x0857    MOVF    FloatToStr_un_L0+3, 0
0x0399    0x3E30    ADDLW   48
0x039A    0x0081    MOVWF   INDF1
0x039B    0x0AD0    INCF    FARG_FloatToStr_str, 1
0x039C    0x1903    BTFSC   STATUS, 2
0x039D    0x0AD1    INCF    FARG_FloatToStr_str+1, 1
;__Lib_Conversions.c,545 ::
0x039E    0x0858    MOVF    FloatToStr_bpoint_L0, 0
0x039F    0x3A00    XORLW   0
0x03A0    0x1D03    BTFSS   STATUS, 2
0x03A1    0x2BB2    GOTO    L_FloatToStr90
;__Lib_Conversions.c,546 ::
0x03A2    0x03D9    DECF    FloatToStr_dexpon_L0, 1
0x03A3    0x0859    MOVF    FloatToStr_dexpon_L0, 0
0x03A4    0x3A00    XORLW   0

```

```

0x03A5    0x1D03    BTFSS    STATUS, 2
0x03A6    0x2BB2    GOTO     L_FloatToStr91
;__Lib_Conversions.c,547 ::
0x03A7    0x0850    MOVF     FARG_FloatToStr_str, 0
0x03A8    0x0086    MOVWF   FSR1
0x03A9    0x0851    MOVF     FARG_FloatToStr_str+1, 0
0x03AA    0x0087    MOVWF   FSR1H
0x03AB    0x302E    MOVLW   46
0x03AC    0x0081    MOVWF   INDF1
0x03AD    0x0AD0    INCF     FARG_FloatToStr_str, 1
0x03AE    0x1903    BTFSC   STATUS, 2
0x03AF    0x0AD1    INCF     FARG_FloatToStr_str+1, 1
;__Lib_Conversions.c,548 ::
0x03B0    0x3001    MOVLW   1
0x03B1    0x00D8    MOVWF   FloatToStr_bpoint_L0
;__Lib_Conversions.c,549 ::
L_FloatToStr91:
L_FloatToStr90:
;__Lib_Conversions.c,540 ::
0x03B2    0x03D3    DECF     FloatToStr_d_L0, 1
;__Lib_Conversions.c,550 ::
0x03B3    0x2B5B    GOTO     L_FloatToStr87
L_FloatToStr88:
;__Lib_Conversions.c,551 ::
L_FloatToStr92:
0x03B4    0x30FF    MOVLW   255
0x03B5    0x0750    ADDWF   FARG_FloatToStr_str, 0
0x03B6    0x0084    MOVWF   FSR0
0x03B7    0x30FF    MOVLW   255
0x03B8    0x3D51    ADDWFC  FARG_FloatToStr_str+1, 0
0x03B9    0x0085    MOVWF   FSR0H
0x03BA    0x0800    MOVF     INDF0, 0
0x03BB    0x3A30    XORLW   48
0x03BC    0x1D03    BTFSS   STATUS, 2
0x03BD    0x2BC3    GOTO     L_FloatToStr93
;__Lib_Conversions.c,552 ::
0x03BE    0x3001    MOVLW   1
0x03BF    0x02D0    SUBWF   FARG_FloatToStr_str, 1
0x03C0    0x3000    MOVLW   0
0x03C1    0x3BD1    SUBWFB  FARG_FloatToStr_str+1, 1
0x03C2    0x2BB4    GOTO     L_FloatToStr92
L_FloatToStr93:
;__Lib_Conversions.c,553 ::
0x03C3    0x30FF    MOVLW   255
0x03C4    0x0750    ADDWF   FARG_FloatToStr_str, 0
0x03C5    0x0084    MOVWF   FSR0
0x03C6    0x30FF    MOVLW   255

```

```

0x03C7    0x3D51    ADDWFC   FARG_FloatToStr_str+1, 0
0x03C8    0x0085    MOVWF    FSR0H
0x03C9    0x0800    MOVF     INDF0, 0
0x03CA    0x3A2E    XORLW    46
0x03CB    0x1D03    BTFSS   STATUS, 2
0x03CC    0x2BD1    GOTO     L_FloatToStr94
;__Lib_Conversions.c,554 ::
0x03CD    0x3001    MOVLW    1
0x03CE    0x02D0    SUBWF    FARG_FloatToStr_str, 1
0x03CF    0x3000    MOVLW    0
0x03D0    0x3BD1    SUBWFB   FARG_FloatToStr_str+1, 1
L_FloatToStr94:
;__Lib_Conversions.c,555 ::
0x03D1    0x0859    MOVF     FloatToStr_dexpon_L0, 0
0x03D2    0x3A00    XORLW    0
0x03D3    0x1903    BTFSC   STATUS, 2
0x03D4    0x2C18    GOTO     L_FloatToStr95
;__Lib_Conversions.c,556 ::
0x03D5    0x0850    MOVF     FARG_FloatToStr_str, 0
0x03D6    0x0086    MOVWF    FSR1
0x03D7    0x0851    MOVF     FARG_FloatToStr_str+1, 0
0x03D8    0x0087    MOVWF    FSR1H
0x03D9    0x3065    MOVLW    101
0x03DA    0x0081    MOVWF    INDF1
0x03DB    0x0AD0    INCF     FARG_FloatToStr_str, 1
0x03DC    0x1903    BTFSC   STATUS, 2
0x03DD    0x0AD1    INCF     FARG_FloatToStr_str+1, 1
;__Lib_Conversions.c,557 ::
0x03DE    0x3080    MOVLW    128
0x03DF    0x0659    XORWF    FloatToStr_dexpon_L0, 0
0x03E0    0x00F0    MOVWF    R0
0x03E1    0x3080    MOVLW    128
0x03E2    0x3A00    XORLW    0
0x03E3    0x0270    SUBWF    R0, 0
0x03E4    0x1803    BTFSC   STATUS, 0
0x03E5    0x2BF2    GOTO     L_FloatToStr96
;__Lib_Conversions.c,558 ::
0x03E6    0x0850    MOVF     FARG_FloatToStr_str, 0
0x03E7    0x0086    MOVWF    FSR1
0x03E8    0x0851    MOVF     FARG_FloatToStr_str+1, 0
0x03E9    0x0087    MOVWF    FSR1H
0x03EA    0x302D    MOVLW    45
0x03EB    0x0081    MOVWF    INDF1
0x03EC    0x0AD0    INCF     FARG_FloatToStr_str, 1
0x03ED    0x1903    BTFSC   STATUS, 2
0x03EE    0x0AD1    INCF     FARG_FloatToStr_str+1, 1
;__Lib_Conversions.c,559 ::

```

```

0x03EF    0x0859    MOVF    FloatToStr_dexpon_L0, 0
0x03F0    0x3C00    SUBLW   0
0x03F1    0x00D9    MOVWF   FloatToStr_dexpon_L0
;__Lib_Conversions.c,560 ::
L_FloatToStr96:
;__Lib_Conversions.c,561 ::
0x03F2    0x0859    MOVF    FloatToStr_dexpon_L0, 0
0x03F3    0x00D3    MOVWF   FloatToStr_d_L0
;__Lib_Conversions.c,562 ::
0x03F4    0x0859    MOVF    FloatToStr_dexpon_L0, 0
0x03F5    0x3C09    SUBLW   9
0x03F6    0x1803    BTFSC   STATUS, 0
0x03F7    0x2C07    GOTO    L_FloatToStr97
;__Lib_Conversions.c,563 ::
0x03F8    0x300A    MOVLW   10
0x03F9    0x00F4    MOVWF   R4
0x03FA    0x0853    MOVF    FloatToStr_d_L0, 0
0x03FB    0x00F0    MOVWF   R0
0x03FC    0x21BA    CALL    _Div_8x8_U
0x03FD    0x0850    MOVF    FARG_FloatToStr_str, 0
0x03FE    0x0086    MOVWF   FSR1
0x03FF    0x0851    MOVF    FARG_FloatToStr_str+1, 0
0x0400    0x0087    MOVWF   FSR1H
0x0401    0x0870    MOVF    R0, 0
0x0402    0x3E30    ADDLW   48
0x0403    0x0081    MOVWF   INDF1
0x0404    0x0AD0    INCF    FARG_FloatToStr_str, 1
0x0405    0x1903    BTFSC   STATUS, 2
0x0406    0x0AD1    INCF    FARG_FloatToStr_str+1, 1
L_FloatToStr97:
;__Lib_Conversions.c,564 ::
0x0407    0x300A    MOVLW   10
0x0408    0x00F4    MOVWF   R4
0x0409    0x0853    MOVF    FloatToStr_d_L0, 0
0x040A    0x00F0    MOVWF   R0
0x040B    0x21BA    CALL    _Div_8x8_U
0x040C    0x0878    MOVF    R8, 0
0x040D    0x00F0    MOVWF   R0
0x040E    0x0850    MOVF    FARG_FloatToStr_str, 0
0x040F    0x0086    MOVWF   FSR1
0x0410    0x0851    MOVF    FARG_FloatToStr_str+1, 0
0x0411    0x0087    MOVWF   FSR1H
0x0412    0x0870    MOVF    R0, 0
0x0413    0x3E30    ADDLW   48
0x0414    0x0081    MOVWF   INDF1
0x0415    0x0AD0    INCF    FARG_FloatToStr_str, 1
0x0416    0x1903    BTFSC   STATUS, 2

```

```

0x0417      0x0AD1      INCF   FARG_FloatToStr_str+1, 1
;__Lib_Conversions.c,565 ::
L_FloatToStr95:
;__Lib_Conversions.c,566 ::
0x0418      0x0850      MOVF   FARG_FloatToStr_str, 0
0x0419      0x0086      MOVWF  FSR1
0x041A      0x0851      MOVF   FARG_FloatToStr_str+1, 0
0x041B      0x0087      MOVWF  FSR1H
0x041C      0x0181      CLRF   INDF1
;__Lib_Conversions.c,567 ::
0x041D      0x01F0      CLRF   R0
;__Lib_Conversions.c,568 ::
L_end_FloatToStr:
0x041E      0x0008      RETURN
; end of _FloatToStr
_rand:
;__Lib_CStdlib.c,307 ::
;__Lib_CStdlib.c,308 ::
0x041F      0x0020      MOVLB  0
0x0420      0x0833      MOVF   __Lib_CStdlib_randf, 0
0x0421      0x1D03      BTFSS  STATUS, 2
0x0422      0x2C28      GOTO   L_rand75
;__Lib_CStdlib.c,309 ::
0x0423      0x3001      MOVLW  1
0x0424      0x00DA      MOVWF  FARG_srand_x
0x0425      0x3000      MOVLW  0
0x0426      0x00DB      MOVWF  FARG_srand_x+1
0x0427      0x21B0      CALL   _srand
L_rand75:
;__Lib_CStdlib.c,310 ::
0x0428      0x0835      MOVF   __Lib_CStdlib_randx, 0
0x0429      0x00F0      MOVWF  R0
0x042A      0x0836      MOVF   __Lib_CStdlib_randx+1, 0
0x042B      0x00F1      MOVWF  R1
0x042C      0x0837      MOVF   __Lib_CStdlib_randx+2, 0
0x042D      0x00F2      MOVWF  R2
0x042E      0x0838      MOVF   __Lib_CStdlib_randx+3, 0
0x042F      0x00F3      MOVWF  R3
0x0430      0x306D      MOVLW  109
0x0431      0x00F4      MOVWF  R4
0x0432      0x304E      MOVLW  78
0x0433      0x00F5      MOVWF  R5
0x0434      0x30C6      MOVLW  198
0x0435      0x00F6      MOVWF  R6
0x0436      0x3041      MOVLW  65
0x0437      0x00F7      MOVWF  R7
0x0438      0x217A      CALL   _Mul_32x32_U

```

```

0x0439      0x3039      MOVLW      57
0x043A      0x0770      ADDWF      R0, 0
0x043B      0x00F5      MOVWF      R5
0x043C      0x3030      MOVLW      48
0x043D      0x3D71      ADDWFC     R1, 0
0x043E      0x00F6      MOVWF      R6
0x043F      0x3000      MOVLW      0
0x0440      0x3D72      ADDWFC     R2, 0
0x0441      0x00F7      MOVWF      R7
0x0442      0x3000      MOVLW      0
0x0443      0x3D73      ADDWFC     R3, 0
0x0444      0x00F8      MOVWF      R8
0x0445      0x0877      MOVF       R7, 0
0x0446      0x00F0      MOVWF      R0
0x0447      0x0878      MOVF       R8, 0
0x0448      0x00F1      MOVWF      R1
0x0449      0x3000      MOVLW      0
0x044A      0x1BF8      BTFSC     R8, 7
0x044B      0x30FF      MOVLW      255
0x044C      0x00F3      MOVWF      R3
0x044D      0x30FF      MOVLW      255
0x044E      0x05F0      ANDWF     R0, 1
0x044F      0x307F      MOVLW      127
0x0450      0x05F1      ANDWF     R1, 1
0x0451      0x3000      MOVLW      0
0x0452      0x05F2      ANDWF     R2, 1
0x0453      0x05F3      ANDWF     R3, 1
0x0454      0x0870      MOVF       R0, 0
0x0455      0x00B5      MOVWF     __Lib_CStdlib_randx
0x0456      0x0871      MOVF       R1, 0
0x0457      0x00B6      MOVWF     __Lib_CStdlib_randx+1
0x0458      0x0872      MOVF       R2, 0
0x0459      0x00B7      MOVWF     __Lib_CStdlib_randx+2
0x045A      0x0873      MOVF       R3, 0
0x045B      0x00B8      MOVWF     __Lib_CStdlib_randx+3
;__Lib_CStdlib.c,311 ::
;__Lib_CStdlib.c,312 ::
L_end_rand:
0x045C      0x0008      RETURN
; end of _rand
_Int2Double:
;__Lib_MathDouble.c,1802 ::
;__Lib_MathDouble.c,1808 ::
0x045D      0x0020      MOVLB     0
;__Lib_MathDouble.c,1809 ::
0x045E      0x0870      MOVF       R0, 0
;__Lib_MathDouble.c,1810 ::

```

```

0x045F      0x00F8      MOVWF    R8
;__Lib_MathDouble.c,1811 ::
0x0460      0x0871      MOVF     R1, 0
;__Lib_MathDouble.c,1812 ::
0x0461      0x00F0      MOVWF    R0
;__Lib_MathDouble.c,1813 ::
0x0462      0x01F1      CLRF     R1
;__Lib_MathDouble.c,1814 ::
0x0463      0x01F2      CLRF     R2
;__Lib_MathDouble.c,1815 ::
0x0464      0x01F3      CLRF     R3
;__Lib_MathDouble.c,1818 ::
0x0465      0x01FB      CLRF     R11
;__Lib_MathDouble.c,1819 ::
0x0466      0x01FC      CLRF     R12
;__Lib_MathDouble.c,1821 ::
0x0467      0x3096      MOVLW   150
;__Lib_MathDouble.c,1822 ::
0x0468      0x00F3      MOVWF    R3
;__Lib_MathDouble.c,1823 ::
0x0469      0x01FA      CLRF     R10
;__Lib_MathDouble.c,1824 ::
0x046A      0x1FF0      BTFSS   R0, 7
;__Lib_MathDouble.c,1825 ::
0x046B      0x2C72      GOTO    FLO1632EEE
;__Lib_MathDouble.c,1827 ::
0x046C      0x09F8      COMF     R8, 1
;__Lib_MathDouble.c,1828 ::
0x046D      0x09F0      COMF     R0, 1
;__Lib_MathDouble.c,1830 ::
0x046E      0x0AF8      INCF     R8, 1
;__Lib_MathDouble.c,1831 ::
0x046F      0x1903      BTFSC   STATUS, 2
;__Lib_MathDouble.c,1832 ::
0x0470      0x0AF0      INCF     R0, 1
;__Lib_MathDouble.c,1834 ::
0x0471      0x17FA      BSF     R10, 7
;__Lib_MathDouble.c,1835 ::
FLO1632EEE:
;__Lib_MathDouble.c,1836 ::
0x0472      0x0870      MOVF     R0, 0
;__Lib_MathDouble.c,1837 ::
0x0473      0x00F1      MOVWF    R1
;__Lib_MathDouble.c,1838 ::
0x0474      0x0878      MOVF     R8, 0
;__Lib_MathDouble.c,1839 ::
0x0475      0x00F0      MOVWF    R0

```

```

;__Lib_MathDouble.c,1840 ::
0x0476      0x01F8      CLRF      R8
;__Lib_MathDouble.c,1841 ::
0x0477      0x01F2      CLRF      R2
;__Lib_MathDouble.c,1843 ::
0x0478      0x21CA      CALL      _NRM3232
;__Lib_MathDouble.c,1844 ::
L_end_Int2Double:
0x0479      0x0008      RETURN
; end of _Int2Double
__Add_32x32_FP:
;__Lib_MathDouble.c,379 ::
;__Lib_MathDouble.c,390 ::
;__Lib_MathDouble.c,392 ::
0x047A      0x0020      MOVLB    0
;__Lib_MathDouble.c,393 ::
0x047B      0x0872      MOVF     R2, 0
;__Lib_MathDouble.c,394 ::
0x047C      0x0676      XORWF    R6, 0
;__Lib_MathDouble.c,395 ::
0x047D      0x00A0      MOVWF    __math_tempbD
;__Lib_MathDouble.c,397 ::
0x047E      0x01F8      CLRF     R8
;__Lib_MathDouble.c,398 ::
0x047F      0x01F9      CLRF     R9
;__Lib_MathDouble.c,400 ::
0x0480      0x0873      MOVF     R3, 0
;__Lib_MathDouble.c,401 ::
0x0481      0x0277      SUBWF    R7, 0
;__Lib_MathDouble.c,402 ::
0x0482      0x1C03      BTFSS   STATUS, 0
;__Lib_MathDouble.c,403 ::
0x0483      0x2C9C      GOTO    USEA32
;__Lib_MathDouble.c,405 ::
0x0484      0x0877      MOVF     R7, 0
;__Lib_MathDouble.c,406 ::
0x0485      0x00FD      MOVWF    R13
;__Lib_MathDouble.c,407 ::
0x0486      0x0873      MOVF     R3, 0
;__Lib_MathDouble.c,408 ::
0x0487      0x00F7      MOVWF    R7
;__Lib_MathDouble.c,409 ::
0x0488      0x087D      MOVF     R13, 0
;__Lib_MathDouble.c,410 ::
0x0489      0x00F3      MOVWF    R3
;__Lib_MathDouble.c,412 ::
0x048A      0x0876      MOVF     R6, 0

```

```

;__Lib_MathDouble.c,413 ::
0x048B    0x00FD    MOVWF    R13
;__Lib_MathDouble.c,414 ::
0x048C    0x0872    MOVF     R2, 0
;__Lib_MathDouble.c,415 ::
0x048D    0x00F6    MOVWF    R6
;__Lib_MathDouble.c,416 ::
0x048E    0x087D    MOVF     R13, 0
;__Lib_MathDouble.c,417 ::
0x048F    0x00F2    MOVWF    R2
;__Lib_MathDouble.c,419 ::
0x0490    0x0875    MOVF     R5, 0
;__Lib_MathDouble.c,420 ::
0x0491    0x00FD    MOVWF    R13
;__Lib_MathDouble.c,421 ::
0x0492    0x0871    MOVF     R1, 0
;__Lib_MathDouble.c,422 ::
0x0493    0x00F5    MOVWF    R5
;__Lib_MathDouble.c,423 ::
0x0494    0x087D    MOVF     R13, 0
;__Lib_MathDouble.c,424 ::
0x0495    0x00F1    MOVWF    R1
;__Lib_MathDouble.c,426 ::
0x0496    0x0874    MOVF     R4, 0
;__Lib_MathDouble.c,427 ::
0x0497    0x00FD    MOVWF    R13
;__Lib_MathDouble.c,428 ::
0x0498    0x0870    MOVF     R0, 0
;__Lib_MathDouble.c,429 ::
0x0499    0x00F4    MOVWF    R4
;__Lib_MathDouble.c,430 ::
0x049A    0x087D    MOVF     R13, 0
;__Lib_MathDouble.c,431 ::
0x049B    0x00F0    MOVWF    R0
;__Lib_MathDouble.c,432 ::
USEA32:
;__Lib_MathDouble.c,433 ::
0x049C    0x0877    MOVF     R7, 0
;__Lib_MathDouble.c,434 ::
0x049D    0x1903    BTFSC    STATUS, 2
;__Lib_MathDouble.c,435 ::
0x049E    0x2D15    GOTO     JMPEEE
;__Lib_MathDouble.c,436 ::
0x049F    0x0872    MOVF     R2, 0
;__Lib_MathDouble.c,437 ::
0x04A0    0x00FA    MOVWF    R10
;__Lib_MathDouble.c,438 ::

```

```

0x04A1    0x17F2    BSF     R2, 7
;__Lib_MathDouble.c,439 ::
0x04A2    0x17F6    BSF     R6, 7
;__Lib_MathDouble.c,440 ::
0x04A3    0x0877    MOVF    R7, 0
;__Lib_MathDouble.c,441 ::
0x04A4    0x0273    SUBWF   R3, 0
;__Lib_MathDouble.c,442 ::
0x04A5    0x00F7    MOVWF   R7
;__Lib_MathDouble.c,443 ::
0x04A6    0x1903    BTFSC   STATUS, 2
;__Lib_MathDouble.c,444 ::
0x04A7    0x2CCF    GOTO    ALIGNED32
;__Lib_MathDouble.c,445 ::
0x04A8    0x3008    MOVLW   8
;__Lib_MathDouble.c,446 ::
0x04A9    0x0277    SUBWF   R7, 0
;__Lib_MathDouble.c,447 ::
0x04AA    0x1C03    BTFSS   STATUS, 0
;__Lib_MathDouble.c,448 ::
0x04AB    0x2CC5    GOTO    ALIGNB32
;__Lib_MathDouble.c,449 ::
0x04AC    0x00F7    MOVWF   R7
;__Lib_MathDouble.c,450 ::
0x04AD    0x0874    MOVF    R4, 0
;__Lib_MathDouble.c,451 ::
0x04AE    0x00F9    MOVWF   R9
;__Lib_MathDouble.c,452 ::
0x04AF    0x0875    MOVF    R5, 0
;__Lib_MathDouble.c,453 ::
0x04B0    0x00F4    MOVWF   R4
;__Lib_MathDouble.c,454 ::
0x04B1    0x0876    MOVF    R6, 0
;__Lib_MathDouble.c,455 ::
0x04B2    0x00F5    MOVWF   R5
;__Lib_MathDouble.c,456 ::
0x04B3    0x01F6    CLRF    R6
;__Lib_MathDouble.c,457 ::
0x04B4    0x3008    MOVLW   8
;__Lib_MathDouble.c,458 ::
0x04B5    0x0277    SUBWF   R7, 0
;__Lib_MathDouble.c,459 ::
0x04B6    0x1C03    BTFSS   STATUS, 0
;__Lib_MathDouble.c,460 ::
0x04B7    0x2CC5    GOTO    ALIGNB32
;__Lib_MathDouble.c,461 ::
0x04B8    0x00F7    MOVWF   R7

```

```

;__Lib_MathDouble.c,462 ::
0x04B9    0x0874    MOVF    R4, 0
;__Lib_MathDouble.c,463 ::
0x04BA    0x00F9    MOVWF   R9
;__Lib_MathDouble.c,464 ::
0x04BB    0x0875    MOVF    R5, 0
;__Lib_MathDouble.c,465 ::
0x04BC    0x00F4    MOVWF   R4
;__Lib_MathDouble.c,466 ::
0x04BD    0x01F5    CLRF    R5
;__Lib_MathDouble.c,467 ::
0x04BE    0x3008    MOVLW   8
;__Lib_MathDouble.c,468 ::
0x04BF    0x0277    SUBWF   R7, 0
;__Lib_MathDouble.c,469 ::
0x04C0    0x1C03    BTFSS   STATUS, 0
;__Lib_MathDouble.c,470 ::
0x04C1    0x2CC5    GOTO    ALIGNB32
;__Lib_MathDouble.c,471 ::
0x04C2    0x087A    MOVF    R10, 0
;__Lib_MathDouble.c,472 ::
0x04C3    0x00F2    MOVWF   R2
;__Lib_MathDouble.c,473 ::
0x04C4    0x2D15    GOTO    JMPEEE
;__Lib_MathDouble.c,474 ::
ALIGNB32:
;__Lib_MathDouble.c,475 ::
0x04C5    0x0877    MOVF    R7, 0
;__Lib_MathDouble.c,476 ::
0x04C6    0x1903    BTFSC   STATUS, 2
;__Lib_MathDouble.c,477 ::
0x04C7    0x2CCF    GOTO    ALIGNED32
;__Lib_MathDouble.c,478 ::
ALOOPB32:
;__Lib_MathDouble.c,479 ::
0x04C8    0x1003    BCF     STATUS, 0
;__Lib_MathDouble.c,480 ::
0x04C9    0x0CF6    RRF     R6, 1
;__Lib_MathDouble.c,481 ::
0x04CA    0x0CF5    RRF     R5, 1
;__Lib_MathDouble.c,482 ::
0x04CB    0x0CF4    RRF     R4, 1
;__Lib_MathDouble.c,483 ::
0x04CC    0x0CF9    RRF     R9, 1
;__Lib_MathDouble.c,484 ::
0x04CD    0x0BF7    DECFSZ  R7, 1
;__Lib_MathDouble.c,485 ::

```

```

0x04CE    0x2CC8    GOTO    ALOOPB32
;__Lib_MathDouble.c,486 ::
ALIGNED32:
;__Lib_MathDouble.c,487 ::
0x04CF    0x1FA0    BTFSS   __math_tempbD, 7
;__Lib_MathDouble.c,488 ::
0x04D0    0x2CDC    GOTO    AOK32
;__Lib_MathDouble.c,489 ::
0x04D1    0x09F9    COMF    R9, 1
;__Lib_MathDouble.c,490 ::
0x04D2    0x09F4    COMF    R4, 1
;__Lib_MathDouble.c,491 ::
0x04D3    0x09F5    COMF    R5, 1
;__Lib_MathDouble.c,492 ::
0x04D4    0x09F6    COMF    R6, 1
;__Lib_MathDouble.c,493 ::
0x04D5    0x0AF9    INCF    R9, 1
;__Lib_MathDouble.c,494 ::
0x04D6    0x1903    BTFSC   STATUS, 2
;__Lib_MathDouble.c,495 ::
0x04D7    0x0AF4    INCF    R4, 1
;__Lib_MathDouble.c,496 ::
0x04D8    0x1903    BTFSC   STATUS, 2
;__Lib_MathDouble.c,497 ::
0x04D9    0x0AF5    INCF    R5, 1
;__Lib_MathDouble.c,498 ::
0x04DA    0x1903    BTFSC   STATUS, 2
;__Lib_MathDouble.c,499 ::
0x04DB    0x0AF6    INCF    R6, 1
;__Lib_MathDouble.c,500 ::
AOK32:
;__Lib_MathDouble.c,501 ::
0x04DC    0x0879    MOVF    R9, 0
;__Lib_MathDouble.c,502 ::
0x04DD    0x07F8    ADDWF   R8, 1
;__Lib_MathDouble.c,503 ::
0x04DE    0x0874    MOVF    R4, 0
;__Lib_MathDouble.c,504 ::
0x04DF    0x1803    BTFSC   STATUS, 0
;__Lib_MathDouble.c,505 ::
0x04E0    0x0F74    INCFSZ  R4, 0
;__Lib_MathDouble.c,506 ::
0x04E1    0x07F0    ADDWF   R0, 1
;__Lib_MathDouble.c,507 ::
0x04E2    0x0875    MOVF    R5, 0
;__Lib_MathDouble.c,508 ::
0x04E3    0x1803    BTFSC   STATUS, 0

```

```

;__Lib_MathDouble.c,509 ::
0x04E4      0x0F75      INCFSZ   R5, 0
;__Lib_MathDouble.c,510 ::
0x04E5      0x07F1      ADDWF   R1, 1
;__Lib_MathDouble.c,511 ::
0x04E6      0x0876      MOVF    R6, 0
;__Lib_MathDouble.c,512 ::
0x04E7      0x1803      BTFSC   STATUS, 0
;__Lib_MathDouble.c,513 ::
0x04E8      0x0F76      INCFSZ   R6, 0
;__Lib_MathDouble.c,514 ::
0x04E9      0x07F2      ADDWF   R2, 1
;__Lib_MathDouble.c,515 ::
0x04EA      0x1BA0      BTFSC   __math_tempbD, 7
;__Lib_MathDouble.c,516 ::
0x04EB      0x2CF5      GOTO    ACOMP32
;__Lib_MathDouble.c,517 ::
0x04EC      0x1C03      BTFSS   STATUS, 0
;__Lib_MathDouble.c,518 ::
0x04ED      0x2D05      GOTO    JMPNRM4032
;__Lib_MathDouble.c,519 ::
0x04EE      0x0CF2      RRF     R2, 1
;__Lib_MathDouble.c,520 ::
0x04EF      0x0CF1      RRF     R1, 1
;__Lib_MathDouble.c,521 ::
0x04F0      0x0CF0      RRF     R0, 1
;__Lib_MathDouble.c,522 ::
0x04F1      0x0CF8      RRF     R8, 1
;__Lib_MathDouble.c,523 ::
0x04F2      0x0FF3      INCFSZ   R3, 1
;__Lib_MathDouble.c,524 ::
0x04F3      0x2D05      GOTO    JMPNRM4032
;__Lib_MathDouble.c,525 ::
0x04F4      0x2D11      GOTO    ADD_JMPSETFOV32
;__Lib_MathDouble.c,526 ::
ACOMP32:
;__Lib_MathDouble.c,527 ::
0x04F5      0x1803      BTFSC   STATUS, 0
;__Lib_MathDouble.c,528 ::
0x04F6      0x2D09      GOTO    JMPNRM4032
;__Lib_MathDouble.c,529 ::
0x04F7      0x09F8      COMF    R8, 1
;__Lib_MathDouble.c,530 ::
0x04F8      0x09F0      COMF    R0, 1
;__Lib_MathDouble.c,531 ::
0x04F9      0x09F1      COMF    R1, 1
;__Lib_MathDouble.c,532 ::

```

```

0x04FA    0x09F2    COMF    R2, 1
;__Lib_MathDouble.c,533 ::
0x04FB    0x0AF8    INCF    R8, 1
;__Lib_MathDouble.c,534 ::
0x04FC    0x1903    BTFSC   STATUS, 2
;__Lib_MathDouble.c,535 ::
0x04FD    0x0AF0    INCF    R0, 1
;__Lib_MathDouble.c,536 ::
0x04FE    0x1903    BTFSC   STATUS, 2
;__Lib_MathDouble.c,537 ::
0x04FF    0x0AF1    INCF    R1, 1
;__Lib_MathDouble.c,538 ::
0x0500    0x1903    BTFSC   STATUS, 2
;__Lib_MathDouble.c,539 ::
0x0501    0x0AF2    INCF    R2, 1
;__Lib_MathDouble.c,540 ::
0x0502    0x3080    MOVLW   128
;__Lib_MathDouble.c,541 ::
0x0503    0x06FA    XORWF   R10, 1
;__Lib_MathDouble.c,542 ::
0x0504    0x2D0D    GOTO    JMPNRM32
;__Lib_MathDouble.c,543 ::
JMPNRM4032:
;__Lib_MathDouble.c,544 ::
0x0505    0x3001    MOVLW   1
;__Lib_MathDouble.c,545 ::
0x0506    0x00FC    MOVWF   R12
;__Lib_MathDouble.c,547 ::
0x0507    0x2120    CALL    _NRM4032
;__Lib_MathDouble.c,549 ::
0x0508    0x2D17    GOTO    ADD32EEE
;__Lib_MathDouble.c,550 ::
JMPNRM4032:
;__Lib_MathDouble.c,551 ::
0x0509    0x3002    MOVLW   2
;__Lib_MathDouble.c,552 ::
0x050A    0x00FC    MOVWF   R12
;__Lib_MathDouble.c,554 ::
0x050B    0x2120    CALL    _NRM4032
;__Lib_MathDouble.c,556 ::
0x050C    0x2D17    GOTO    ADD32EEE
;__Lib_MathDouble.c,557 ::
JMPNRM32:
;__Lib_MathDouble.c,558 ::
0x050D    0x3004    MOVLW   4
;__Lib_MathDouble.c,559 ::
0x050E    0x00FC    MOVWF   R12

```

```

;__Lib_MathDouble.c,561 ::
0x050F      0x21CA      CALL    _NRM3232
;__Lib_MathDouble.c,563 ::
0x0510      0x2D17      GOTO   ADD32EEE
;__Lib_MathDouble.c,564 ::
ADD_JMPSETFOV32:
;__Lib_MathDouble.c,565 ::
0x0511      0x3008      MOVLW  8
;__Lib_MathDouble.c,566 ::
0x0512      0x00FC      MOVWF  R12
;__Lib_MathDouble.c,568 ::
0x0513      0x2017      CALL    _SETFOV32
;__Lib_MathDouble.c,570 ::
0x0514      0x2D17      GOTO   ADD32EEE
;__Lib_MathDouble.c,571 ::
JMPEEE:
;__Lib_MathDouble.c,572 ::
0x0515      0x3000      MOVLW  0
;__Lib_MathDouble.c,573 ::
0x0516      0x00FC      MOVWF  R12
;__Lib_MathDouble.c,574 ::
ADD32EEE:
;__Lib_MathDouble.c,575 ::
0x0517      0x0000      NOP
;__Lib_MathDouble.c,583 ::
L_end_Add_32x32_FP:
0x0518      0x0008      RETURN
; end of _Add_32x32_FP
_Word2Double:
;__Lib_MathDouble.c,1851 ::
;__Lib_MathDouble.c,1857 ::
0x0519      0x0020      MOVLB  0
;__Lib_MathDouble.c,1858 ::
0x051A      0x0870      MOVF   R0, 0
;__Lib_MathDouble.c,1859 ::
0x051B      0x00F8      MOVWF  R8
;__Lib_MathDouble.c,1860 ::
0x051C      0x0871      MOVF   R1, 0
;__Lib_MathDouble.c,1861 ::
0x051D      0x00F0      MOVWF  R0
;__Lib_MathDouble.c,1862 ::
0x051E      0x01F1      CLRF   R1
;__Lib_MathDouble.c,1863 ::
0x051F      0x01F2      CLRF   R2
;__Lib_MathDouble.c,1864 ::
0x0520      0x01F3      CLRF   R3
;__Lib_MathDouble.c,1867 ::

```

```

0x0521      0x01FB      CLRF      R11
;__Lib_MathDouble.c,1868 ::
0x0522      0x01FC      CLRF      R12
;__Lib_MathDouble.c,1870 ::
0x0523      0x3096      MOVLW     150
;__Lib_MathDouble.c,1871 ::
0x0524      0x00F3      MOVWF     R3
;__Lib_MathDouble.c,1872 ::
0x0525      0x01FA      CLRF      R10
;__Lib_MathDouble.c,1874 ::
0x0526      0x0870      MOVF      R0, 0
;__Lib_MathDouble.c,1875 ::
0x0527      0x00F1      MOVWF     R1
;__Lib_MathDouble.c,1876 ::
0x0528      0x0878      MOVF      R8, 0
;__Lib_MathDouble.c,1877 ::
0x0529      0x00F0      MOVWF     R0
;__Lib_MathDouble.c,1878 ::
0x052A      0x01F8      CLRF      R8
;__Lib_MathDouble.c,1879 ::
0x052B      0x01F2      CLRF      R2
;__Lib_MathDouble.c,1881 ::
0x052C      0x21CA      CALL      _NRM3232
;__Lib_MathDouble.c,1882 ::
L_end_Word2Double:
0x052D      0x0008      RETURN
; end of _Word2Double
_Div_32x32_FP:
;__Lib_MathDouble.c,758 ::
;__Lib_MathDouble.c,770 ::
;__Lib_MathDouble.c,773 ::
0x052E      0x0874      MOVF      R4, 0
0x052F      0x3A00      XORLW     0
0x0530      0x1D03      BTFSS     STATUS, 2
0x0531      0x2D47      GOTO      L_Div_32x32_FP7
;__Lib_MathDouble.c,774 ::
0x0532      0x0875      MOVF      R5, 0
0x0533      0x3A00      XORLW     0
0x0534      0x1D03      BTFSS     STATUS, 2
0x0535      0x2D47      GOTO      L_Div_32x32_FP8
;__Lib_MathDouble.c,775 ::
0x0536      0x0876      MOVF      R6, 0
0x0537      0x3A00      XORLW     0
0x0538      0x1D03      BTFSS     STATUS, 2
0x0539      0x2D47      GOTO      L_Div_32x32_FP9
;__Lib_MathDouble.c,776 ::
0x053A      0x0877      MOVF      R7, 0

```

```

0x053B    0x3A00    XORLW    0
0x053C    0x1D03    BTFSS    STATUS, 2
0x053D    0x2D47    GOTO     L_Div_32x32_FP10
;__Lib_MathDouble.c,777 ::
0x053E    0x30FF    MOVLW    255
0x053F    0x00F0    MOVWF    R0
;__Lib_MathDouble.c,778 ::
0x0540    0x30FF    MOVLW    255
0x0541    0x00F1    MOVWF    R1
;__Lib_MathDouble.c,779 ::
0x0542    0x307F    MOVLW    127
0x0543    0x00F2    MOVWF    R2
;__Lib_MathDouble.c,780 ::
0x0544    0x30FF    MOVLW    255
0x0545    0x00F3    MOVWF    R3
;__Lib_MathDouble.c,781 ::
0x0546    0x2DE1    GOTO     L_end_Div_32x32_FP
;__Lib_MathDouble.c,782 ::
L_Div_32x32_FP10:
L_Div_32x32_FP9:
L_Div_32x32_FP8:
L_Div_32x32_FP7:
;__Lib_MathDouble.c,785 ::
0x0547    0x0020    MOVLB    0
;__Lib_MathDouble.c,787 ::
0x0548    0x0877    MOVF     R7, 0
;__Lib_MathDouble.c,788 ::
0x0549    0x1903    BTFSC    STATUS, 2
;__Lib_MathDouble.c,789 ::
0x054A    0x2DD5    GOTO     JPDSETFDZ32
;__Lib_MathDouble.c,791 ::
0x054B    0x0873    MOVF     R3, 0
;__Lib_MathDouble.c,792 ::
0x054C    0x1903    BTFSC    STATUS, 2
;__Lib_MathDouble.c,793 ::
0x054D    0x2DD8    GOTO     JPDRES032
;__Lib_MathDouble.c,795 ::
0x054E    0x0872    MOVF     R2, 0
;__Lib_MathDouble.c,796 ::
0x054F    0x0676    XORWF    R6, 0
;__Lib_MathDouble.c,797 ::
0x0550    0x3980    ANDLW    128
;__Lib_MathDouble.c,798 ::
0x0551    0x00FA    MOVWF    R10
;__Lib_MathDouble.c,799 ::
0x0552    0x17F2    BSF      R2, 7
;__Lib_MathDouble.c,800 ::

```

```

0x0553      0x17F6      BSF      R6, 7
;__Lib_MathDouble.c,802 ::
0x0554      0x01A0      CLRF     __math_tempbD
;__Lib_MathDouble.c,803 ::
0x0555      0x0872      MOVF     R2, 0
;__Lib_MathDouble.c,804 ::
0x0556      0x00F8      MOVWF    R8
;__Lib_MathDouble.c,805 ::
0x0557      0x0871      MOVF     R1, 0
;__Lib_MathDouble.c,806 ::
0x0558      0x00FC      MOVWF    R12
;__Lib_MathDouble.c,807 ::
0x0559      0x0870      MOVF     R0, 0
;__Lib_MathDouble.c,808 ::
0x055A      0x00FD      MOVWF    R13
;__Lib_MathDouble.c,810 ::
0x055B      0x0874      MOVF     R4, 0
;__Lib_MathDouble.c,811 ::
0x055C      0x02FD      SUBWF    R13, 1
;__Lib_MathDouble.c,812 ::
0x055D      0x0875      MOVF     R5, 0
;__Lib_MathDouble.c,813 ::
0x055E      0x1C03      BTFSS   STATUS, 0
;__Lib_MathDouble.c,814 ::
0x055F      0x0F75      INCFSZ   R5, 0
;__Lib_MathDouble.c,816 ::
0x0560      0x02FC      SUBWF    R12, 1
;__Lib_MathDouble.c,817 ::
0x0561      0x0876      MOVF     R6, 0
;__Lib_MathDouble.c,818 ::
0x0562      0x1C03      BTFSS   STATUS, 0
;__Lib_MathDouble.c,819 ::
0x0563      0x0F76      INCFSZ   R6, 0
;__Lib_MathDouble.c,821 ::
0x0564      0x02F8      SUBWF    R8, 1
;__Lib_MathDouble.c,822 ::
0x0565      0x01F8      CLRF     R8
;__Lib_MathDouble.c,823 ::
0x0566      0x01FC      CLRF     R12
;__Lib_MathDouble.c,824 ::
0x0567      0x01FD      CLRF     R13
;__Lib_MathDouble.c,825 ::
0x0568      0x1C03      BTFSS   STATUS, 0
;__Lib_MathDouble.c,826 ::
0x0569      0x2D71      GOTO     DALIGN32OK
;__Lib_MathDouble.c,828 ::
0x056A      0x1003      BCF      STATUS, 0

```

```

;__Lib_MathDouble.c,829 ::
0x056B    0x0CF2    RRF    R2, 1
;__Lib_MathDouble.c,830 ::
0x056C    0x0CF1    RRF    R1, 1
;__Lib_MathDouble.c,831 ::
0x056D    0x0CF0    RRF    R0, 1
;__Lib_MathDouble.c,832 ::
0x056E    0x0CF8    RRF    R8, 1
;__Lib_MathDouble.c,833 ::
0x056F    0x3001    MOVLW  1
;__Lib_MathDouble.c,834 ::
0x0570    0x00A0    MOVWF  __math_tempbD
;__Lib_MathDouble.c,835 ::
DALIGN32OK:
;__Lib_MathDouble.c,836 ::
0x0571    0x0877    MOVF   R7, 0
;__Lib_MathDouble.c,837 ::
0x0572    0x02F3    SUBWF  R3, 1
;__Lib_MathDouble.c,838 ::
0x0573    0x1C03    BTFSS  STATUS, 0
;__Lib_MathDouble.c,839 ::
0x0574    0x2D7B    GOTO   ALTB32
;__Lib_MathDouble.c,841 ::
0x0575    0x307E    MOVLW  126
;__Lib_MathDouble.c,842 ::
0x0576    0x0720    ADDWF  __math_tempbD, 0
;__Lib_MathDouble.c,843 ::
0x0577    0x07F3    ADDWF  R3, 1
;__Lib_MathDouble.c,844 ::
0x0578    0x1803    BTFSC  STATUS, 0
;__Lib_MathDouble.c,845 ::
0x0579    0x2DDB    GOTO   JPDSETFOV32
;__Lib_MathDouble.c,846 ::
0x057A    0x2D80    GOTO   DARGOK32
;__Lib_MathDouble.c,847 ::
ALTB32:
;__Lib_MathDouble.c,848 ::
0x057B    0x307E    MOVLW  126
;__Lib_MathDouble.c,849 ::
0x057C    0x0720    ADDWF  __math_tempbD, 0
;__Lib_MathDouble.c,850 ::
0x057D    0x07F3    ADDWF  R3, 1
;__Lib_MathDouble.c,851 ::
0x057E    0x1C03    BTFSS  STATUS, 0
;__Lib_MathDouble.c,852 ::
0x057F    0x2DDE    GOTO   JPDSETFUN32
;__Lib_MathDouble.c,853 ::

```

DARGOK32:

```
;__Lib_MathDouble.c,854 ::
0x0580    0x3018    MOVLW    24
;__Lib_MathDouble.c,856 ::
0x0581    0x07FA    ADDWF    R10, 1
;__Lib_MathDouble.c,857 ::
DLOOP32:
;__Lib_MathDouble.c,858 ::
0x0582    0x0DFD    RLF     R13, 1
;__Lib_MathDouble.c,859 ::
0x0583    0x0DFC    RLF     R12, 1
;__Lib_MathDouble.c,860 ::
0x0584    0x0DF8    RLF     R8, 1
;__Lib_MathDouble.c,861 ::
0x0585    0x0DF0    RLF     R0, 1
;__Lib_MathDouble.c,862 ::
0x0586    0x0DF1    RLF     R1, 1
;__Lib_MathDouble.c,863 ::
0x0587    0x0DF2    RLF     R2, 1
;__Lib_MathDouble.c,864 ::
0x0588    0x0DA0    RLF     __math_tempbD, 1
;__Lib_MathDouble.c,866 ::
0x0589    0x0874    MOVF    R4, 0
;__Lib_MathDouble.c,867 ::
0x058A    0x02F0    SUBWF   R0, 1
;__Lib_MathDouble.c,868 ::
0x058B    0x0875    MOVF    R5, 0
;__Lib_MathDouble.c,869 ::
0x058C    0x1C03    BTFSS   STATUS, 0
;__Lib_MathDouble.c,870 ::
0x058D    0x0F75    INCFSZ  R5, 0
;__Lib_MathDouble.c,872 ::
0x058E    0x02F1    SUBWF   R1, 1
;__Lib_MathDouble.c,873 ::
0x058F    0x0876    MOVF    R6, 0
;__Lib_MathDouble.c,874 ::
0x0590    0x1C03    BTFSS   STATUS, 0
;__Lib_MathDouble.c,875 ::
0x0591    0x0F76    INCFSZ  R6, 0
;__Lib_MathDouble.c,877 ::
0x0592    0x02F2    SUBWF   R2, 1
;__Lib_MathDouble.c,878 ::
0x0593    0x0D76    RLF     R6, 0
;__Lib_MathDouble.c,879 ::
0x0594    0x04A0    IORWF   __math_tempbD, 1
;__Lib_MathDouble.c,880 ::
0x0595    0x1C20    BTFSS   __math_tempbD, 0
```

```

;__Lib_MathDouble.c,881 ::
0x0596      0x2D99      GOTO    DREST32
;__Lib_MathDouble.c,882 ::
0x0597      0x147D      BSF     R13, 0
;__Lib_MathDouble.c,883 ::
0x0598      0x2DA4      GOTO    DOK32
;__Lib_MathDouble.c,884 ::
DREST32:
;__Lib_MathDouble.c,885 ::
0x0599      0x0874      MOVF    R4, 0
;__Lib_MathDouble.c,886 ::
0x059A      0x07F0      ADDWF   R0, 1
;__Lib_MathDouble.c,887 ::
0x059B      0x0875      MOVF    R5, 0
;__Lib_MathDouble.c,888 ::
0x059C      0x1803      BTFSC   STATUS, 0
;__Lib_MathDouble.c,889 ::
0x059D      0x0F75      INCF    R5, 0
;__Lib_MathDouble.c,891 ::
0x059E      0x07F1      ADDWF   R1, 1
;__Lib_MathDouble.c,892 ::
0x059F      0x0876      MOVF    R6, 0
;__Lib_MathDouble.c,893 ::
0x05A0      0x1803      BTFSC   STATUS, 0
;__Lib_MathDouble.c,894 ::
0x05A1      0x0A76      INCF    R6, 0
;__Lib_MathDouble.c,895 ::
0x05A2      0x07F2      ADDWF   R2, 1
;__Lib_MathDouble.c,896 ::
0x05A3      0x107D      BCF     R13, 0
;__Lib_MathDouble.c,897 ::
DOK32:
;__Lib_MathDouble.c,899 ::
0x05A4      0x03FA      DECF    R10, 1
;__Lib_MathDouble.c,900 ::
0x05A5      0x301F      MOVLW   31
;__Lib_MathDouble.c,901 ::
0x05A6      0x057A      ANDWF   R10, 0
;__Lib_MathDouble.c,902 ::
0x05A7      0x1D03      BTFSS   STATUS, 2
;__Lib_MathDouble.c,903 ::
0x05A8      0x2D82      GOTO    DLOOP32
;__Lib_MathDouble.c,905 ::
0x05A9      0x1B7B      BTFSC   R11, 6
;__Lib_MathDouble.c,906 ::
0x05AA      0x1C7D      BTFSS   R13, 0
;__Lib_MathDouble.c,907 ::

```

```

0x05AB    0x2DCB    GOTO    DIV32OK
;__Lib_MathDouble.c,908 ::
0x05AC    0x1003    BCF     STATUS, 0
;__Lib_MathDouble.c,909 ::
0x05AD    0x0DF0    RLF     R0, 1
;__Lib_MathDouble.c,910 ::
0x05AE    0x0DF1    RLF     R1, 1
;__Lib_MathDouble.c,911 ::
0x05AF    0x0DF2    RLF     R2, 1
;__Lib_MathDouble.c,912 ::
0x05B0    0x0DA0    RLF     __math_tempbD, 1
;__Lib_MathDouble.c,914 ::
0x05B1    0x0874    MOVF    R4, 0
;__Lib_MathDouble.c,915 ::
0x05B2    0x02F0    SUBWF   R0, 1
;__Lib_MathDouble.c,916 ::
0x05B3    0x0875    MOVF    R5, 0
;__Lib_MathDouble.c,917 ::
0x05B4    0x1C03    BTFSS   STATUS, 0
;__Lib_MathDouble.c,918 ::
0x05B5    0x0F75    INCFSZ  R5, 0
;__Lib_MathDouble.c,919 ::
0x05B6    0x02F1    SUBWF   R1, 1
;__Lib_MathDouble.c,920 ::
0x05B7    0x0876    MOVF    R6, 0
;__Lib_MathDouble.c,921 ::
0x05B8    0x1C03    BTFSS   STATUS, 0
;__Lib_MathDouble.c,922 ::
0x05B9    0x0F76    INCFSZ  R6, 0
;__Lib_MathDouble.c,923 ::
0x05BA    0x02F2    SUBWF   R2, 1
;__Lib_MathDouble.c,924 ::
0x05BB    0x0D76    RLF     R6, 0
;__Lib_MathDouble.c,925 ::
0x05BC    0x0420    IORWF   __math_tempbD, 0
;__Lib_MathDouble.c,926 ::
0x05BD    0x3901    ANDLW   1
;__Lib_MathDouble.c,927 ::
0x05BE    0x07FD    ADDWF   R13, 1
;__Lib_MathDouble.c,928 ::
0x05BF    0x1803    BTFSC   STATUS, 0
;__Lib_MathDouble.c,929 ::
0x05C0    0x0AFC    INCF    R12, 1
;__Lib_MathDouble.c,930 ::
0x05C1    0x1903    BTFSC   STATUS, 2
;__Lib_MathDouble.c,931 ::
0x05C2    0x0AF8    INCF    R8, 1

```

```

;__Lib_MathDouble.c,932 ::
0x05C3      0x1D03      BTFSS   STATUS, 2
;__Lib_MathDouble.c,933 ::
0x05C4      0x2DCB      GOTO    DIV32OK
;__Lib_MathDouble.c,934 ::
0x05C5      0x0CF8      RRF     R8, 1
;__Lib_MathDouble.c,935 ::
0x05C6      0x0CFC      RRF     R12, 1
;__Lib_MathDouble.c,936 ::
0x05C7      0x0CFD      RRF     R13, 1
;__Lib_MathDouble.c,937 ::
0x05C8      0x0AF3      INCF    R3, 1
;__Lib_MathDouble.c,938 ::
0x05C9      0x1903      BTFSC   STATUS, 2
;__Lib_MathDouble.c,939 ::
0x05CA      0x2DDB      GOTO    JPDSETFOV32
;__Lib_MathDouble.c,940 ::
DIV32OK:
;__Lib_MathDouble.c,941 ::
0x05CB      0x1FFA      BTFSS   R10, 7
;__Lib_MathDouble.c,942 ::
0x05CC      0x13F8      BCF     R8, 7
;__Lib_MathDouble.c,943 ::
0x05CD      0x0878      MOVF    R8, 0
;__Lib_MathDouble.c,944 ::
0x05CE      0x00F2      MOVWF   R2
;__Lib_MathDouble.c,945 ::
0x05CF      0x087C      MOVF    R12, 0
;__Lib_MathDouble.c,946 ::
0x05D0      0x00F1      MOVWF   R1
;__Lib_MathDouble.c,947 ::
0x05D1      0x087D      MOVF    R13, 0
;__Lib_MathDouble.c,948 ::
0x05D2      0x00F0      MOVWF   R0
;__Lib_MathDouble.c,950 ::
0x05D3      0x3000      MOVLW   0
;__Lib_MathDouble.c,952 ::
0x05D4      0x2DE0      GOTO    DIV32EEE
;__Lib_MathDouble.c,953 ::
JPDSETFDZ32:
;__Lib_MathDouble.c,954 ::
0x05D5      0x3001      MOVLW   1
;__Lib_MathDouble.c,957 ::
0x05D6      0x20BD      CALL    _SETFDZ32
;__Lib_MathDouble.c,959 ::
0x05D7      0x2DE0      GOTO    DIV32EEE
;__Lib_MathDouble.c,960 ::

```

```

JPDRES032:
;__Lib_MathDouble.c,961 ::
0x05D8    0x3002    MOVLW    2
;__Lib_MathDouble.c,964 ::
0x05D9    0x2023    CALL     _RES032
;__Lib_MathDouble.c,966 ::
0x05DA    0x2DE0    GOTO     DIV32EEE
;__Lib_MathDouble.c,967 ::
JPDSETFOV32:
;__Lib_MathDouble.c,968 ::
0x05DB    0x3004    MOVLW    4
;__Lib_MathDouble.c,971 ::
0x05DC    0x2017    CALL     _SETFOV32
;__Lib_MathDouble.c,973 ::
0x05DD    0x2DE0    GOTO     DIV32EEE
;__Lib_MathDouble.c,974 ::
JPDSETFUN32:
;__Lib_MathDouble.c,975 ::
0x05DE    0x3008    MOVLW    8
;__Lib_MathDouble.c,978 ::
0x05DF    0x202A    CALL     _SETFUN32
;__Lib_MathDouble.c,980 ::
DIV32EEE:
;__Lib_MathDouble.c,981 ::
0x05E0    0x0000    NOP
;__Lib_MathDouble.c,990 ::
L_end_Div_32x32_FP:
0x05E1    0x0008    RETURN
;end of _Div_32x32_FP
_UART1_Write_Text:
;__Lib_UART_b21.c,61 ::
;__Lib_UART_b21.c,62 ::
0x05E2    0x0020    MOVLB    0
0x05E3    0x01CF    CLRF     UART1_Write_Text_counter_L0
;__Lib_UART_b21.c,64 ::
0x05E4    0x084C    MOVF     FARG_UART1_Write_Text_uart_text, 0
0x05E5    0x0084    MOVWF    FSR0
0x05E6    0x084D    MOVF     FARG_UART1_Write_Text_uart_text+1, 0
0x05E7    0x0085    MOVWF    FSR0H
0x05E8    0x0800    MOVF     INDF0, 0
0x05E9    0x00CE    MOVWF    UART1_Write_Text_data__L0
;__Lib_UART_b21.c,65 ::
L_UART1_Write_Text5:
0x05EA    0x084E    MOVF     UART1_Write_Text_data__L0, 0
0x05EB    0x3A00    XORLW    0
0x05EC    0x1903    BTFSC    STATUS, 2
0x05ED    0x2DFC    GOTO     L_UART1_Write_Text6

```

```

;__Lib_UART_b21.c,66 ::
0x05EE    0x084E    MOVF    UART1_Write_Text_data__L0, 0
0x05EF    0x00DA    MOVWF   FARG_UART1_Write_data__
0x05F0    0x20B3    CALL   _UART1_Write
;__Lib_UART_b21.c,67 ::
0x05F1    0x0020    MOVLB   0
0x05F2    0x0ACF    INCF   UART1_Write_Text_counter_L0, 1
;__Lib_UART_b21.c,68 ::
0x05F3    0x084F    MOVF    UART1_Write_Text_counter_L0, 0
0x05F4    0x074C    ADDWF   FARG_UART1_Write_Text_uart_text, 0
0x05F5    0x0084    MOVWF   FSR0
0x05F6    0x3000    MOVLW   0
0x05F7    0x3D4D    ADDWFC  FARG_UART1_Write_Text_uart_text+1, 0
0x05F8    0x0085    MOVWF   FSR0H
0x05F9    0x0800    MOVF    INDF0, 0
0x05FA    0x00CE    MOVWF   UART1_Write_Text_data__L0
;__Lib_UART_b21.c,69 ::
0x05FB    0x2DEA    GOTO   L_UART1_Write_Text5
L_UART1_Write_Text6:
;__Lib_UART_b21.c,70 ::
L_end_UART1_Write_Text:
0x05FC    0x0008    RETURN
; end of _UART1_Write_Text
__CC2DW:
;__Lib_System.c,71 ::
;__Lib_System.c,73 ::
__CC2DL_Loop1:
;__Lib_System.c,74 ::
0x05FD    0x0012    MOVIW   INDF0++
;__Lib_System.c,75 ::
0x05FE    0x001E    MOVWI   INDF1++
;__Lib_System.c,76 ::
0x05FF    0x03F0    DECF   R0, 1
;__Lib_System.c,77 ::
0x0600    0x1D03    BTFSS  STATUS, 2
;__Lib_System.c,78 ::
0x0601    0x2DFD    GOTO   __CC2DL_Loop1
;__Lib_System.c,79 ::
0x0602    0x03F1    DECF   R1, 1
;__Lib_System.c,80 ::
0x0603    0x1D03    BTFSS  STATUS, 2
;__Lib_System.c,81 ::
0x0604    0x2DFD    GOTO   __CC2DL_Loop1
;__Lib_System.c,83 ::
L_end__CC2DW:
0x0605    0x0008    RETURN
; end of __CC2DW

```

```

_Enviar:
;PuenteH.c,91 ::          void Enviar(void)
;PuenteH.c,94 ::          FloatToStr(Respot,txt);
0x0606      0x0020        MOVLB    0
0x0607      0x082C        MOVF     _Respot, 0
0x0608      0x00CC        MOVWF   FARG_FloatToStr_fnum
0x0609      0x082D        MOVF     _Respot+1, 0
0x060A      0x00CD        MOVWF   FARG_FloatToStr_fnum+1
0x060B      0x082E        MOVF     _Respot+2, 0
0x060C      0x00CE        MOVWF   FARG_FloatToStr_fnum+2
0x060D      0x082F        MOVF     _Respot+3, 0
0x060E      0x00CF        MOVWF   FARG_FloatToStr_fnum+3
0x060F      0x3039        MOVLW   _txt
0x0610      0x00D0        MOVWF   FARG_FloatToStr_str
0x0611      0x3000        MOVLW   hi_addr(_txt)
0x0612      0x00D1        MOVWF   FARG_FloatToStr_str+1
0x0613      0x21F9        CALL    _FloatToStr
;PuenteH.c,95 ::          UART1_Write_Text(txt);
0x0614      0x3039        MOVLW   _txt
0x0615      0x00CC        MOVWF   FARG_UART1_Write_Text_uart_text
0x0616      0x3000        MOVLW   hi_addr(_txt)
0x0617      0x00CD        MOVWF   FARG_UART1_Write_Text_uart_text+1
0x0618      0x25E2        CALL    _UART1_Write_Text
;PuenteH.c,96 ::          UART1_Write(0x0D);UART1_Write(0x0A);
0x0619      0x300D        MOVLW   13
0x061A      0x00DA        MOVWF   FARG_UART1_Write_data_
0x061B      0x20B3        CALL    _UART1_Write
0x061C      0x300A        MOVLW   10
0x061D      0x0020        MOVLB   0
0x061E      0x00DA        MOVWF   FARG_UART1_Write_data_
0x061F      0x20B3        CALL    _UART1_Write
;PuenteH.c,97 ::          }
L_end_Enviar:
0x0620      0x0008        RETURN
; end of _Enviar
_ADC:
;PuenteH.c,65 ::          void ADC(void)
;PuenteH.c,68 ::          movlw 0x18 //24
0x0621      0x3018        MOVLW   24
;PuenteH.c,69 ::          movwf _aux;
0x0622      0x00B4        MOVWF   _aux
;PuenteH.c,70 ::          decfsz _aux,1
0x0623      0x0BB4        DECFSZ  _aux, 1
;PuenteH.c,71 ::          goto $-1
0x0624      0x2E23        GOTO   $-1
;PuenteH.c,72 ::          movlb 0x01 //Banco 1
0x0625      0x0021        MOVLB   1

```

```

;PuenteH.c,73 ::      bsf 0x9D,1 //GO/DONE
0x0626      0x149D    BSF      ADCON0, 1
;PuenteH.c,74 ::      btfs 0x9D,1 //GO/DONE = 0????
0x0627      0x189D    BTFSC   ADCON0, 1
;PuenteH.c,75 ::      goto $-1
0x0628      0x2E27    GOTO    $-1
;PuenteH.c,77 ::      pot = ADRESH;
0x0629      0x0021    MOVLB   1
0x062A      0x081C    MOVF    ADRESH, 0
0x062B      0x0020    MOVLB   0
0x062C      0x00B0    MOVWF   _pot
0x062D      0x01B1    CLRF    _pot+1
;PuenteH.c,78 ::      pot = pot << 8;
0x062E      0x0830    MOVF    _pot, 0
0x062F      0x00F1    MOVWF   R1
0x0630      0x01F0    CLRF    R0
0x0631      0x0870    MOVF    R0, 0
0x0632      0x00B0    MOVWF   _pot
0x0633      0x0871    MOVF    R1, 0
0x0634      0x00B1    MOVWF   _pot+1
;PuenteH.c,79 ::      pot = pot + ADRESL;
0x0635      0x0021    MOVLB   1
0x0636      0x081B    MOVF    ADRESL, 0
0x0637      0x07F0    ADDWF   R0, 1
0x0638      0x3000    MOVLW   0
0x0639      0x3DF1    ADDWFC  R1, 1
0x063A      0x0870    MOVF    R0, 0
0x063B      0x0020    MOVLB   0
0x063C      0x00B0    MOVWF   _pot
0x063D      0x0871    MOVF    R1, 0
0x063E      0x00B1    MOVWF   _pot+1
;PuenteH.c,81 ::      Respot = (4.94)*pot;
0x063F      0x2519    CALL    _Word2Double
0x0640      0x307B    MOVLW   123
0x0641      0x00F4    MOVWF   R4
0x0642      0x3014    MOVLW   20
0x0643      0x00F5    MOVWF   R5
0x0644      0x301E    MOVLW   30
0x0645      0x00F6    MOVWF   R6
0x0646      0x3081    MOVLW   129
0x0647      0x00F7    MOVWF   R7
0x0648      0x20C0    CALL    _Mul_32x32_FP
0x0649      0x0870    MOVF    R0, 0
0x064A      0x00AC    MOVWF   _Respot
0x064B      0x0871    MOVF    R1, 0
0x064C      0x00AD    MOVWF   _Respot+1
0x064D      0x0872    MOVF    R2, 0

```

0x064E	0x00AE	MOVWF	_Respot+2
0x064F	0x0873	MOVF	R3, 0
0x0650	0x00AF	MOVWF	_Respot+3
;PuenteH.c,82 ::		Respot= Respot/1023;	
0x0651	0x3000	MOVLW	0
0x0652	0x00F4	MOVWF	R4
0x0653	0x30C0	MOVLW	192
0x0654	0x00F5	MOVWF	R5
0x0655	0x307F	MOVLW	127
0x0656	0x00F6	MOVWF	R6
0x0657	0x3088	MOVLW	136
0x0658	0x00F7	MOVWF	R7
0x0659	0x252E	CALL	_Div_32x32_FP
0x065A	0x0870	MOVF	R0, 0
0x065B	0x00AC	MOVWF	_Respot
0x065C	0x0871	MOVF	R1, 0
0x065D	0x00AD	MOVWF	_Respot+1
0x065E	0x0872	MOVF	R2, 0
0x065F	0x00AE	MOVWF	_Respot+2
0x0660	0x0873	MOVF	R3, 0
0x0661	0x00AF	MOVWF	_Respot+3
;PuenteH.c,85 ::		ruido = rand();	
0x0662	0x241F	CALL	_rand
0x0663	0x245D	CALL	_Int2Double
0x0664	0x0870	MOVF	R0, 0
0x0665	0x00C8	MOVWF	_ruido
0x0666	0x0871	MOVF	R1, 0
0x0667	0x00C9	MOVWF	_ruido+1
0x0668	0x0872	MOVF	R2, 0
0x0669	0x00CA	MOVWF	_ruido+2
0x066A	0x0873	MOVF	R3, 0
0x066B	0x00CB	MOVWF	_ruido+3
;PuenteH.c,86 ::		ruido = ruido * 0.000001;	
0x066C	0x30BD	MOVLW	189
0x066D	0x00F4	MOVWF	R4
0x066E	0x3037	MOVLW	55
0x066F	0x00F5	MOVWF	R5
0x0670	0x3006	MOVLW	6
0x0671	0x00F6	MOVWF	R6
0x0672	0x306B	MOVLW	107
0x0673	0x00F7	MOVWF	R7
0x0674	0x20C0	CALL	_Mul_32x32_FP
0x0675	0x0870	MOVF	R0, 0
0x0676	0x00C8	MOVWF	_ruido
0x0677	0x0871	MOVF	R1, 0
0x0678	0x00C9	MOVWF	_ruido+1
0x0679	0x0872	MOVF	R2, 0

```

0x067A    0x00CA    MOVWF    _ruido+2
0x067B    0x0873    MOVF     R3, 0
0x067C    0x00CB    MOVWF    _ruido+3
;PuenteH.c,87 ::
0x067D    0x082C    MOVF     _Respot, 0
0x067E    0x00F4    MOVWF    R4
0x067F    0x082D    MOVF     _Respot+1, 0
0x0680    0x00F5    MOVWF    R5
0x0681    0x082E    MOVF     _Respot+2, 0
0x0682    0x00F6    MOVWF    R6
0x0683    0x082F    MOVF     _Respot+3, 0
0x0684    0x00F7    MOVWF    R7
0x0685    0x247A    CALL    _Add_32x32_FP
0x0686    0x0870    MOVF     R0, 0
0x0687    0x00AC    MOVWF    _Respot
0x0688    0x0871    MOVF     R1, 0
0x0689    0x00AD    MOVWF    _Respot+1
0x068A    0x0872    MOVF     R2, 0
0x068B    0x00AE    MOVWF    _Respot+2
0x068C    0x0873    MOVF     R3, 0
0x068D    0x00AF    MOVWF    _Respot+3
;PuenteH.c,89 ::
L_end_ADC:
0x068E    0x0008    RETURN
; end of _ADC
_Configuracion:
;PuenteH.c,16 ::
;PuenteH.c,20 ::
0x068F    0x0021    MOVLB    1
;PuenteH.c,21 ::
0x0690    0x3073    MOVLW    115
;PuenteH.c,22 ::
0x0691    0x0099    MOVWF    OSCCON
;PuenteH.c,23 ::
0x0692    0x1E1A    BTFSS   OSCSTAT, 4
;PuenteH.c,24 ::
0x0693    0x2E92    GOTO    $-1
;PuenteH.c,25 ::
0x0694    0x1D9A    BTFSS   OSCSTAT, 3
;PuenteH.c,26 ::
0x0695    0x2E94    GOTO    $-1
;PuenteH.c,27 ::
0x0696    0x1C1A    BTFSS   OSCSTAT, 0
;PuenteH.c,28 ::
0x0697    0x2E96    GOTO    $-1
;PuenteH.c,30 ::
0x0698    0x3008    MOVLW    8

```

```

;PuenteH.c,31 ::      movwf 0x8C //TRISA
0x0699      0x008C    MOVWF   TRISA
;PuenteH.c,32 ::      movlw 0x02//
0x069A      0x3002    MOVLW   2
;PuenteH.c,33 ::      movwf 0x8D //TRISB
0x069B      0x008D    MOVWF   TRISB
;PuenteH.c,35 ::      movlw 0x0D //AN3
0x069C      0x300D    MOVLW   13
;PuenteH.c,36 ::      movwf 0x9D //ADCON0
0x069D      0x009D    MOVWF   ADCON0
;PuenteH.c,37 ::      movlw 0x90 //fosc/8 (1 microseg),Right
0x069E      0x3090    MOVLW   144
;PuenteH.c,38 ::      movwf 0x9E //ADCON1
0x069F      0x009E    MOVWF   ADCON1
;PuenteH.c,40 ::      movlw 0x85
0x06A0      0x3085    MOVLW   133
;PuenteH.c,41 ::      movwf 0x95 //OPTION_REG (prescalador = 64)
0x06A1      0x0095    MOVWF   OPTION_REG
;PuenteH.c,43 ::      movlb 0x03 //Banco 3
0x06A2      0x0023    MOVLB   3
;PuenteH.c,44 ::      movlw 0x08 //RA3 -> Analogico
0x06A3      0x3008    MOVLW   8
;PuenteH.c,45 ::      movwf 0x18C //ANSELA
0x06A4      0x008C    MOVWF   ANSELA
;PuenteH.c,46 ::      clrf 0x18D //ANSELB
0x06A5      0x018D    CLRF    ANSELB
;PuenteH.c,48 ::      movlw 0x19 //38400 (0x0C),19200 (0x19), 9600 (0x0C)
0x06A6      0x3019    MOVLW   25
;PuenteH.c,49 ::      movwf 0x19B //SPBRGL
0x06A7      0x009B    MOVWF   SPBRG
;PuenteH.c,50 ::      bsf 0x19D,7 //RCSTA (SPEN=1)
0x06A8      0x179D    BSF     RCSTA, 7
;PuenteH.c,51 ::      bsf 0x19D,4 //RCSTA (CREN=1)
0x06A9      0x161D    BSF     RCSTA, 4
;PuenteH.c,52 ::      bsf 0x19E,5 //TXSTA (TXEN=1)
0x06AA      0x169E    BSF     TXSTA, 5
;PuenteH.c,53 ::      bsf 0x19E,2 //TXSTA (BRGH=1) <=> 38400 y 19200
0x06AB      0x151E    BSF     TXSTA, 2
;PuenteH.c,54 ::      movlb 0x00 //Banco 0
0x06AC      0x0020    MOVLB   0
;PuenteH.c,56 ::      movlw 0xE0
0x06AD      0x30E0    MOVLW   224
;PuenteH.c,57 ::      movwf 0x0B
0x06AE      0x008B    MOVWF   INTCON
;PuenteH.c,58 ::      clrf 0x0D //PORTB
0x06AF      0x018D    CLRF    PORTB
;PuenteH.c,59 ::      bsf 0x0D,3 //RB3 = 1 //Enable

```

```

0x06B0      0x158D      BSF    PORTB, 3
;PuenteH.c,61 ::      clr 0x15 //TMR0 = 0
0x06B1      0x0195      CLRF   TMR0
;PuenteH.c,63 ::      }
L_end_Configuracion:
0x06B2      0x0008      RETURN
; end of _Configuracion
_main:
0x06B3      0x26E6      CALL   1766
;PuenteH.c,111 ::      void main() {
;PuenteH.c,112 ::      Configuracion();
0x06B4      0x268F      CALL   _Configuracion
;PuenteH.c,116 ::      tiempo = 61;
0x06B5      0x303D      MOVLW  61
0x06B6      0x0020      MOVLB  0
0x06B7      0x00B2      MOVWF  _tiempo
;PuenteH.c,117 ::      LATB.LATB4 = 1; //Derecha
0x06B8      0x0022      MOVLB  2
0x06B9      0x160D      BSF    LATB, 4
;PuenteH.c,118 ::      LATB.LATB5 = 0;
0x06BA      0x128D      BCF    LATB, 5
;PuenteH.c,119 ::      do{
L_main1:
;PuenteH.c,120 ::      ADC();
0x06BB      0x2621      CALL   _ADC
;PuenteH.c,121 ::      Enviar();
0x06BC      0x2606      CALL   _Enviar
;PuenteH.c,122 ::      if (pot > 0x03FD) {LATB.LATB4 = 0;} //Detenido
0x06BD      0x0020      MOVLB  0
0x06BE      0x0831      MOVF   _pot+1, 0
0x06BF      0x3C03      SUBLW  3
0x06C0      0x1D03      BTFSS  STATUS, 2
0x06C1      0x2EC4      GOTO   L__main14
0x06C2      0x0830      MOVF   _pot, 0
0x06C3      0x3CFD      SUBLW  253
L__main14:
0x06C4      0x1803      BTFSC  STATUS, 0
0x06C5      0x2EC8      GOTO   L_main4
0x06C6      0x0022      MOVLB  2
0x06C7      0x120D      BCF    LATB, 4
L_main4:
;PuenteH.c,123 ::      } while(tiempo);
0x06C8      0x0020      MOVLB  0
0x06C9      0x0832      MOVF   _tiempo, 0
0x06CA      0x1D03      BTFSS  STATUS, 2
0x06CB      0x2EBB      GOTO   L_main1
;PuenteH.c,125 ::      tiempo = 61;

```

```

0x06CC      0x303D      MOVLW      61
0x06CD      0x00B2      MOVWF      _tiempo
;PuenteH.c,126 ::      LATB.LATB4 = 0;
0x06CE      0x0022      MOVLB      2
0x06CF      0x120D      BCF        LATB, 4
;PuenteH.c,127 ::      LATB.LATB5 = 0;
0x06D0      0x128D      BCF        LATB, 5
;PuenteH.c,128 ::      do{
L_main5:
;PuenteH.c,129 ::      ADC();
0x06D1      0x2621      CALL       _ADC
;PuenteH.c,130 ::      Enviar();
0x06D2      0x2606      CALL       _Enviar
;PuenteH.c,132 ::      }while(tiempo);
0x06D3      0x0020      MOVLB      0
0x06D4      0x0832      MOVF       _tiempo, 0
0x06D5      0x1D03      BTFSS     STATUS, 2
0x06D6      0x2ED1      GOTO      L_main5
;PuenteH.c,133 ::      }
L_end_main:
0x06D7      0x2ED7      GOTO      $+0
; end of _main
0x06E6      0x30DB      MOVLW      219
0x06E7      0x0084      MOVWF     FSR0
0x06E8      0x3086      MOVLW     134
0x06E9      0x0085      MOVWF     FSR0H
0x06EA      0x300A      MOVLW     10
0x06EB      0x00F0      MOVWF     R0
0x06EC      0x3001      MOVLW     1
0x06ED      0x00F1      MOVWF     R1
0x06EE      0x3022      MOVLW     34
0x06EF      0x0086      MOVWF     FSR1
0x06F0      0x3000      MOVLW     0
0x06F1      0x0087      MOVWF     FSR1H
0x06F2      0x25FD      CALL      1533
0x06F3      0x0008      RETURN

```

D1.2

Esquemático DAQ

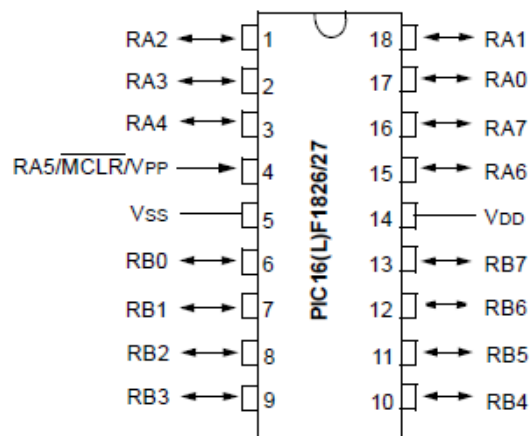
- Características a destacar del microcontrolador PIC16F1827:



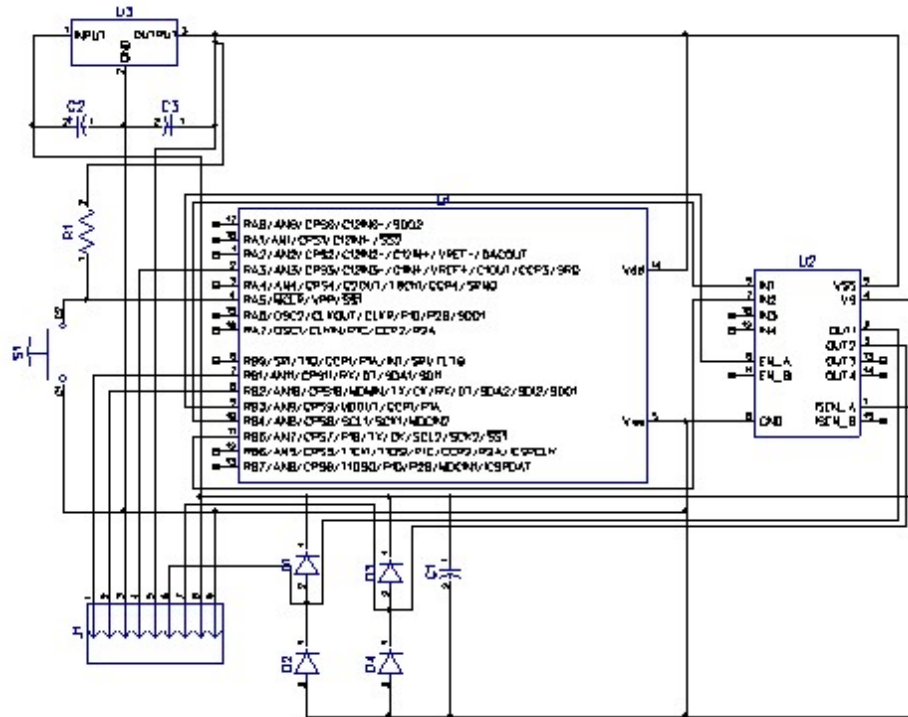
- Convertidor analógico digital de 10 bits
- Oscilador de precisión interno de hasta 32 Mhz
- Memoria Flash: 7kBytes
- Memoria RAM: 384Bytes

Distribución de pines:

PDIP, SOIC



Esquemático circuito DAQ.



D2.1

Firmware control de posición

```
717                ;psect for function _main
718 0013            _main:
719
720                ;incstack = 0
721                ; Regs used in _main: [wreg+status,2+status,0+pclath+cstack]
722 0015            org    2        ;#
723
724                ;PID.c: 76: TRISA = 0x04;
725 0015 3004        movlw 4
726 0016 0021        movlb 1        ; select bank1
727 0017 008C        movwf 12       ;volatile
728
729                ;PID.c: 81: ADCON0=0x09;
730 0018 3009        movlw 9
731 0019 009D        movwf 29       ;volatile
732
733                ;PID.c: 82: ADCON1 = 0x90;
734 001A 3090        movlw 144
735 001B 009E        movwf 30       ;volatile
736
737                ;PID.c: 86: DAC1CON0 = 0xA0;
738 001C 30A0        movlw 160
739 001D 0022        movlb 2        ; select bank2
740 001E 0098        movwf 24       ;volatile
741
742                ;PID.c: 90: ANSELA = 0x04;
743 001F 3004        movlw 4
744 0020 0023        movlb 3        ; select bank3
745 0021 008C        movwf 12       ;volatile
746
747                ;PID.c: 96: PID1CON = 0x85;
748 0022 3085        movlw 133
749 0023 002C        movlb 12       ; select bank12
750 0024 0094        movwf 20       ;volatile
751
752                ;PID.c: 104: PPSLOCK = 0x55;
753 0025 3055        movlw 85
754 0026 003C        movlb 28       ; select bank28
755 0027 008F        movwf 15       ;volatile
756
757                ;PID.c: 105: PPSLOCK = 0xAA;
758 0028 30AA        movlw 170
759 0029 008F        movwf 15       ;volatile
```

```

760
761      ;PID.c: 106: PPSLOCK = 0x00;
762 002A 018F      clrf  15      ;volatile
763
764      ;PID.c: 107: RC0PPS = 0x08;
765 002B 3008      movlw 8
766 002C 003D      movlb 29      ; select bank29
767 002D 00A0      movwf32      ;volatile
768
769      ;PID.c: 108: RC1PPS = 0x09;
770 002E 3009      movlw 9
771 002F 00A1      movwf33      ;volatile
772
773      ;PID.c: 109: PPSLOCK = 0x01;
774 0030 3001      movlw 1
775 0031 003C      movlb 28      ; select bank28
776 0032 008F      movwf15      ;volatile
777
778      ;PID.c: 111: TRISC = 0x03;
779 0033 3003      movlw 3
780 0034 0021      movlb 1      ; select bank1
781 0035 008E      movwf14      ;volatile
782
783      ;PID.c: 112: PWM3CON = 0x00;
784 0036 002C      movlb 12      ; select bank12
785 0037 0199      clrf  25      ;volatile
786
787      ;PID.c: 115: PR2=155;
788 0038 309B      movlw 155
789 0039 0020      movlb 0      ; select bank0
790 003A 009B      movwf27      ;volatile
791
792      ;PID.c: 118: PWM3DCH = 0x00;
793 003B 002C      movlb 12      ; select bank12
794 003C 0198      clrf  24      ;volatile
795
796      ;PID.c: 119: PWM3DCL = 0x00;
797 003D 0197      clrf  23      ;volatile
798
799      ;PID.c: 121: PIR1bits.TMR2IF = 0;
800 003E 0020      movlb 0      ; select bank0
801 003F 1090      bcf  16,1      ;volatile
802
803      ;PID.c: 122: T2CLKCON = 0x00;
804 0040 019E      clrf  30      ;volatile
805
806      ;PID.c: 123: T2RST = 0x0D;

```

```

807 0041 300D      movlw 13
808 0042 009F      movwf31    ;volatile
809
810                ;PID.c: 124: T2CON = 0xF0;
811 0043 30F0      movlw 240
812 0044 009C      movwf28    ;volatile
813
814                ;PID.c: 126: PWM3CON = 0x80;
815 0045 3080      movlw 128
816 0046 002C      movlb 12   ;select bank12
817 0047 0099      movwf25    ;volatile
818
819                ;PID.c: 127: TRISC = 0x00;
820 0048 0021      movlb 1    ;select bank1
821 0049 018E      clrf 14   ;volatile
822
823                ;PID.c: 129: CWG1CON0 = 0x84;
824 004A 3084      movlw 132
825 004B 002D      movlb 13   ;select bank13
826 004C 0096      movwf22    ;volatile
827
828                ;PID.c: 130: CWG1ISM = 0x09;
829 004D 3009      movlw 9
830 004E 009A      movwf26    ;volatile
831
832                ;PID.c: 138: PID1K1 = 21870;
833 004F 3055      movlw 85
834 0050 002B      movlb 11   ;select bank11
835 0051 0091      movwf17    ;volatile
836 0052 306E      movlw 110
837 0053 0090      movwf16    ;volatile
838
839                ;PID.c: 139: PID1K2 = -36461;
840 0054 3071      movlw 113
841 0055 0093      movwf19    ;volatile
842 0056 3093      movlw 147
843 0057 0092      movwf18    ;volatile
844
845                ;PID.c: 140: PID1K3 = 14800;
846 0058 3039      movlw 57
847 0059 0095      movwf21    ;volatile
848 005A 30D0      movlw 208
849 005B 0094      movwf20    ;volatile
850
851                ;PID.c: 154: PID1SET = 0x000;
852 005C 018C      clrf 12   ;volatile
853 005D 018D      clrf 13   ;volatile

```

```

854
855      ;PID.c: 160: PWM3DCH = 0x4E;
856 005E 304E      movlw 78
857 005F 002C      movlb 12      ; select bank12
858 0060 0098      movwf24      ;volatile
859
860      ;PID.c: 161: PWM3DCL = 0x00;
861 0061 0197      clrf 23      ;volatile
862
863      ;PID.c: 163: PID1ACCU = 0x00;
864 0062 0193      clrf 19      ;volatile
865
866      ;PID.c: 164: PID1ACCHH = 0x00;
867 0063 0192      clrf 18      ;volatile
868
869      ;PID.c: 165: PID1ACCHL = 0x00;
870 0064 0191      clrf 17      ;volatile
871
872      ;PID.c: 166: PID1ACCLH = 0x00;
873 0065 0190      clrf 16      ;volatile
874
875      ;PID.c: 167: PID1ACCLL = 0x00;
876 0066 018F      clrf 15      ;volatile
877 0067      l1103:
878      ;PID.c: 207: while(1) {
879
880
881      ;PID.c: 208: _delay((unsigned long)((10)*(8000000/4000.0)));
882 0067 301A      movlw 26
883 0068 0020      movlb 0      ; select bank0
884 0069 00CE      movwf??_main+1
885 006A 30F8      movlw 248
886 006B 00CD      movwf??_main
887 006C      u1457:
888 006C 0BCD      decfsz ??_main,f
889 006D 286C      goto u1457
890 006E 0BCE      decfsz ??_main+1,f
891 006F 286C      goto u1457
892 0070 0000      nop
893
894      ;PID.c: 209: ADCON0bits.GO_nDONE = 1;
895 0071 0021      movlb 1      ; select bank1
896 0072 149D      bsf 29,1      ;volatile
897 0073 189D      btfsc 157,1 ;#
898 0074 2814      goto ($+-1) ;#
899
900      ;PID.c: 212: PID1INH = ADRESH;

```

```

901 0075 0021      movlb 1      ; select bank1
902 0076 081C      movf 28,w   ; volatile
903 0077 002B      movlb 11    ; select bank11
904 0078 008F      movwf 15    ; volatile
905
906                ;PID.c: 213: PID1INL = ADRESL;
907 0079 0021      movlb 1      ; select bank1
908 007A 081B      movf 27,w   ; volatile
909 007B 002B      movlb 11    ; select bank11
910 007C 008E      movwf 14    ; volatile
911 007D                l1113:
912                ;PID.c: 217: while(PID1CONbits.BUSY)
913
914 007D 002C      movlb 12    ; select bank12
915 007E 1F14      btss 20,6   ; volatile
916 007F 2890      goto 11115
917
918                ;PID.c: 253: error = PID1Z1H;
919 0080 002B      movlb 11    ; select bank11
920 0081 081C      movf 28,w   ; volatile
921 0082 0020      movlb 0     ; select bank0
922 0083 00CD      movwf??_main
923 0084 01CE      clrf ??_main+1
924 0085 01CF      clrf ??_main+2
925 0086 01D0      clrf ??_main+3
926 0087 0850      movf ??_main+3,w
927 0088 00DC      movwf _error+3
928 0089 084F      movf ??_main+2,w
929 008A 00DB      movwf _error+2
930 008B 084E      movf ??_main+1,w
931 008C 00DA      movwf _error+1
932 008D 084D      movf ??_main,w
933 008E 00D9      movwf _error
934 008F 287D      goto 11113
935 0090                l1115:
936
937                ;PID.c: 254: error = error << 8;
938 0090 0020      movlb 0     ; select bank0
939 0091 0859      movf _error,w
940 0092 00CD      movwf??_main
941 0093 085A      movf _error+1,w
942 0094 00CE      movwf??_main+1
943 0095 085B      movf _error+2,w
944 0096 00CF      movwf??_main+2
945 0097 085C      movf _error+3,w
946 0098 00D0      movwf??_main+3
947 0099 3008      movlw 8

```

```

948 009A          u1445:
949 009A 35CD      lslf   ??_main,f
950 009B 0DCE      rlf    ??_main+1,f
951 009C 0DCF      rlf    ??_main+2,f
952 009D 0DD0      rlf    ??_main+3,f
953 009E 0B89      decfsz 9,f
954 009F 289A      goto  u1445
955 00A0 0850      movf   ??_main+3,w
956 00A1 00DC      movwf  _error+3
957 00A2 084F      movf   ??_main+2,w
958 00A3 00DB      movwf  _error+2
959 00A4 084E      movf   ??_main+1,w
960 00A5 00DA      movwf  _error+1
961 00A6 084D      movf   ??_main,w
962 00A7 00D9      movwf  _error
963
964          ;PID.c: 255: error = error + PID1Z1L;
965 00A8 0859      movf   _error,w
966 00A9 00CD      movwf  ??_main
967 00AA 085A      movf   _error+1,w
968 00AB 00CE      movwf  ??_main+1
969 00AC 085B      movf   _error+2,w
970 00AD 00CF      movwf  ??_main+2
971 00AE 085C      movf   _error+3,w
972 00AF 00D0      movwf  ??_main+3
973 00B0 002B      movlb  11      ; select bank11
974 00B1 081B      movf   27,w    ; volatile
975 00B2 0020      movlb  0      ; select bank0
976 00B3 00D1      movwf  ??_main+4
977 00B4 01D2      clrf   ??_main+5
978 00B5 01D3      clrf   ??_main+6
979 00B6 01D4      clrf   ??_main+7
980 00B7 0851      movf   ??_main+4,w
981 00B8 07CD      addwf  ??_main,f
982 00B9 0852      movf   ??_main+5,w
983 00BA 3DCE          addwfc??_main+1,f
984 00BB 0853      movf   ??_main+6,w
985 00BC 3DCF      addwfc??_main+2,f
986 00BD 0854      movf   ??_main+7,w
987 00BE 3DD0      addwfc??_main+3,f
988 00BF 0850      movf   ??_main+3,w
989 00C0 00DC      movwf  _error+3
990 00C1 084F      movf   ??_main+2,w
991 00C2 00DB      movwf  _error+2
992 00C3 084E      movf   ??_main+1,w
993 00C4 00DA      movwf  _error+1
994 00C5 084D      movf   ??_main,w

```

```

995 00C6 00D9      movwf _error
996
997                ;PID.c: 256: error = error*4.97;
998 00C7 085C      movf  _error+3,w
999 00C8 00FB      movwf __altoft@c+3
1000 00C9 085B      movf  _error+2,w
1001 00CA 00FA      movwf __altoft@c+2
1002 00CB 085A      movf  _error+1,w
1003 00CC 00F9      movwf __altoft@c+1
1004 00CD 0859      movf  _error,w
1005 00CE 00F8      movwf __altoft@c
1006 00CF 3184 2463 3180  fcall  __altoft
1007 00D2 0878      movf  ?__altoft,w
1008 00D3 0020      movlb 0      ; select bank0
1009 00D4 00A5      movwf __ftmul@f2
1010 00D5 0879      movf  ?__altoft+1,w
1011 00D6 00A6      movwf __ftmul@f2+1
1012 00D7 087A      movf  ?__altoft+2,w
1013 00D8 00A7      movwf __ftmul@f2+2
1014 00D9 300A      movlw 10
1015 00DA 00A2      movwf __ftmul@f1
1016 00DB 309F      movlw 159
1017 00DC 00A3      movwf __ftmul@f1+1
1018 00DD 3040      movlw 64
1019 00DE 00A4      movwf __ftmul@f1+2
1020 00DF 3182 2242 3180  fcall  __ftmul
1021 00E2 0020      movlb 0      ; select bank0
1022 00E3 0822      movf  ?__ftmul,w
1023 00E4 00BF      movwf __fttol@f1
1024 00E5 0823      movf  ?__ftmul+1,w
1025 00E6 00C0      movwf __fttol@f1+1
1026 00E7 0824      movf  ?__ftmul+2,w
1027 00E8 00C1      movwf __fttol@f1+2
1028 00E9 3182 22F6 3180  fcall  __fttol
1029 00EC 0020      movlb 0      ; select bank0
1030 00ED 0842      movf  ?__fttol+3,w
1031 00EE 00DC      movwf _error+3
1032 00EF 0841      movf  ?__fttol+2,w
1033 00F0 00DB      movwf _error+2
1034 00F1 0840      movf  ?__fttol+1,w
1035 00F2 00DA      movwf _error+1
1036 00F3 083F      movf  ?__fttol,w
1037 00F4 00D9      movwf _error
1038
1039                ;PID.c: 257: error = error/1023;
1040 00F5 3000      movlw 0
1041 00F6 00F3      movwf __aldiv@divisor+3

```

```

1042 00F7 3000      movlw 0
1043 00F8 00F2      movwf __aldiv@divisor+2
1044 00F9 3003      movlw 3
1045 00FA 00F1      movwf __aldiv@divisor+1
1046 00FB 30FF      movlw 255
1047 00FC 00F0      movwf __aldiv@divisor
1048 00FD 085C      movf  _error+3,w
1049 00FE 00F7      movwf __aldiv@dividend+3
1050 00FF 085B      movf  _error+2,w
1051 0100 00F6      movwf __aldiv@dividend+2
1052 0101 085A      movf  _error+1,w
1053 0102 00F5      movwf __aldiv@dividend+1
1054 0103 0859      movf  _error,w
1055 0104 00F4      movwf __aldiv@dividend
1056 0105 3183 237D 3180      fcall  __aldiv
1057 0108 0873      movf  ?__aldiv+3,w
1058 0109 0020      movlb 0      ; select bank0
1059 010A 00DC      movwf _error+3
1060 010B 0872      movf  ?__aldiv+2,w
1061 010C 00DB      movwf _error+2
1062 010D 0871      movf  ?__aldiv+1,w
1063 010E 00DA      movwf _error+1
1064 010F 0870      movf  ?__aldiv,w
1065 0110 00D9      movwf _error
1066
1067                ;PID.c: 258: PWM3DCH = 15.6*(error)+78;
1068 0111 085C      movf  _error+3,w
1069 0112 00FB      movwf __altoft@c+3
1070 0113 085B      movf  _error+2,w
1071 0114 00FA      movwf __altoft@c+2
1072 0115 085A      movf  _error+1,w
1073 0116 00F9      movwf __altoft@c+1
1074 0117 0859      movf  _error,w
1075 0118 00F8      movwf __altoft@c
1076 0119 3184 2463 3180      fcall  __altoft
1077 011C 0878      movf  ?__altoft,w
1078 011D 0020      movlb 0      ; select bank0
1079 011E 00A5      movwf __ftmul@f2
1080 011F 0879      movf  ?__altoft+1,w
1081 0120 00A6      movwf __ftmul@f2+1
1082 0121 087A      movf  ?__altoft+2,w
1083 0122 00A7      movwf __ftmul@f2+2
1084 0123 309A      movlw 154
1085 0124 00A2      movwf __ftmul@f1
1086 0125 3079      movlw 121
1087 0126 00A3      movwf __ftmul@f1+1
1088 0127 3041      movlw 65

```

```

1089 0128 00A4      movwf __ftmul@f1+2
1090 0129 3182 2242 3180      fcall  __ftmul
1091 012C 0020      movlb 0      ; select bank0
1092 012D 0822      movf  ?__ftmul,w
1093 012E 00B5      movwf __ftadd@f2
1094 012F 0823      movf  ?__ftmul+1,w
1095 0130 00B6      movwf __ftadd@f2+1
1096 0131 0824      movf  ?__ftmul+2,w
1097 0132 00B7      movwf __ftadd@f2+2
1098 0133 3000      movlw 0
1099 0134 00B2      movwf __ftadd@f1
1100 0135 309C      movlw 156
1101 0136 00B3      movwf __ftadd@f1+1
1102 0137 3042      movlw 66
1103 0138 00B4      movwf __ftadd@f1+2
1104 0139 3181 214C 3180      fcall  __ftadd
1105 013C 0020      movlb 0      ; select bank0
1106 013D 0832      movf  ?__ftadd,w
1107 013E 00BF      movwf __fttol@f1
1108 013F 0833      movf  ?__ftadd+1,w
1109 0140 00C0      movwf __fttol@f1+1
1110 0141 0834      movf  ?__ftadd+2,w
1111 0142 00C1      movwf __fttol@f1+2
1112 0143 3182 22F6 3180      fcall  __fttol
1113 0146 0020      movlb 0      ; select bank0
1114 0147 083F      movf  ?__fttol,w
1115 0148 002C      movlb 12     ; select bank12
1116 0149 0098      movwf 24     ;volatile
1117
1118                ;PID.c: 259: PWM3DCL = 0x00;
1119 014A 0197      clrf  23     ;volatile
1120 014B 2867      goto  11103
1121 014C                __end_of_main:
1122                ;PID.c: 315: }
1123                ;PID.c: 316: return;
1124
1125
1126                psect  text1
1127 02F6                __ptext1:
1128 ;; ***** function __fttol *****
1129 ;; Defined at:
1130 ;;                line      44      in      file      "C:\Program      Files
(x86)\Microchip\xc8\v1.38\sources\common\fttol.c"
1131 ;; Parameters:  Size Location  Type
1132 ;; f1          3  31[BANK0 ] float
1133 ;; Auto vars:  Size Location  Type
1134 ;; lval        4  40[BANK0 ] unsigned long

```

```

1135 ;; expl      1 44[BANK0 ] unsigned char
1136 ;; sign1     1 39[BANK0 ] unsigned char
1137 ;; Return value: Size Location  Type
1138 ;;           4 31[BANK0 ] long
1139 ;; Registers used:
1140 ;;           wreg, status,2, status,0
1141 ;; Tracked objects:
1142 ;;           On entry : 0/0
1143 ;;           On exit : 0/0
1144 ;;           Unchanged: 0/0
1145 ;; Data sizes:  COMMON  BANK0  BANK1  BANK2  BANK3  BANK4
BANK5  BANK6  BANK7  BANK8  BANK9  BANK10  BANK11
+1  BANK12
1146 ;; Params:    0  4  0  0  0  0  0  0  0  0  0  0  0
+0  0
1147 ;; Locals:    0  6  0  0  0  0  0  0  0  0  0  0  0
+0  0
1148 ;; Temps:     0  4  0  0  0  0  0  0  0  0  0  0  0
+0  0
1149 ;; Totals:    0 14  0  0  0  0  0  0  0  0  0  0  0
+0  0
1150 ;;Total ram usage: 14 bytes
1151 ;; Hardware stack levels used: 1
1152 ;; This function calls:
1153 ;;           Nothing
1154 ;; This function is called by:
1155 ;;           _main
1156 ;; This function uses a non-reentrant model

```

D2.2

Esquemático del circuito de control de posición

- Características a destacar del PIC16F1619



- Memoria programa: 14KBytes
- Memoria RAM: 1KByte
- Modulo matemático
- Módulo PID
- Oscilador interno de precisión hasta 32MHz
- Módulo CWG
- Módulo PWM con resolución de 10 bits
- Convertidor analógico digital con resolución de 10 bits

Distribución de pines:

